

00904642600000

FIG. 1

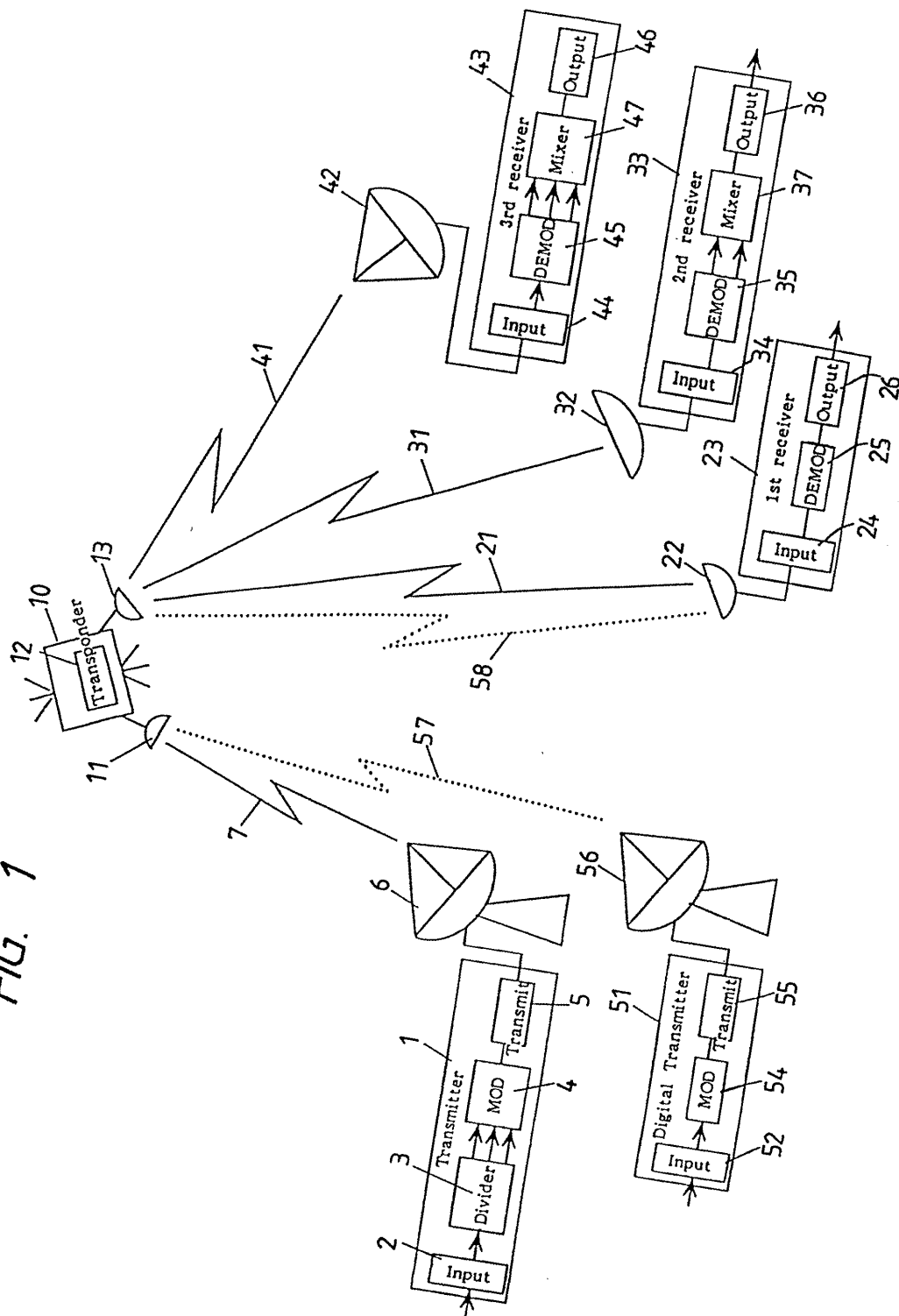


FIG. 2

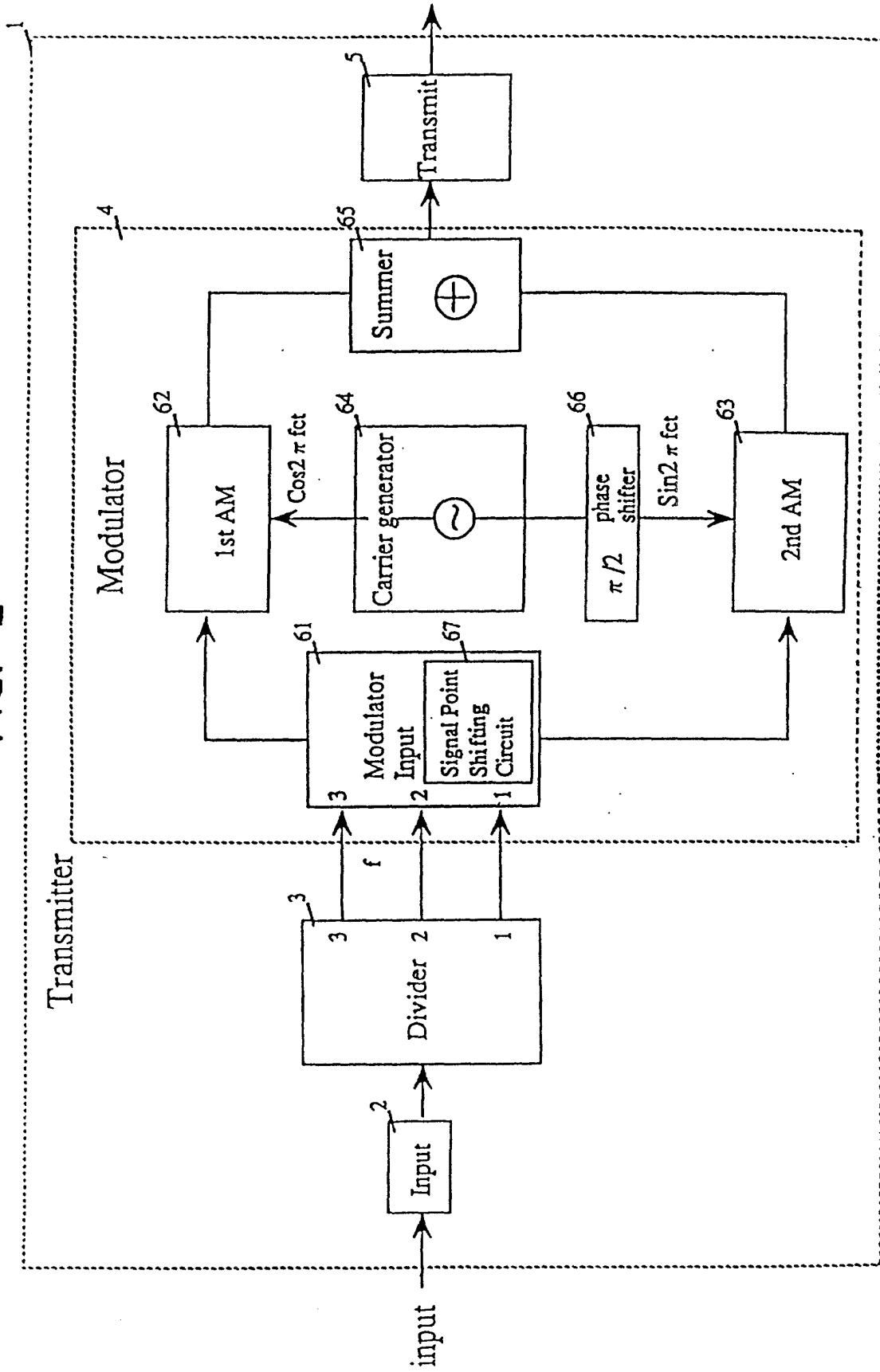
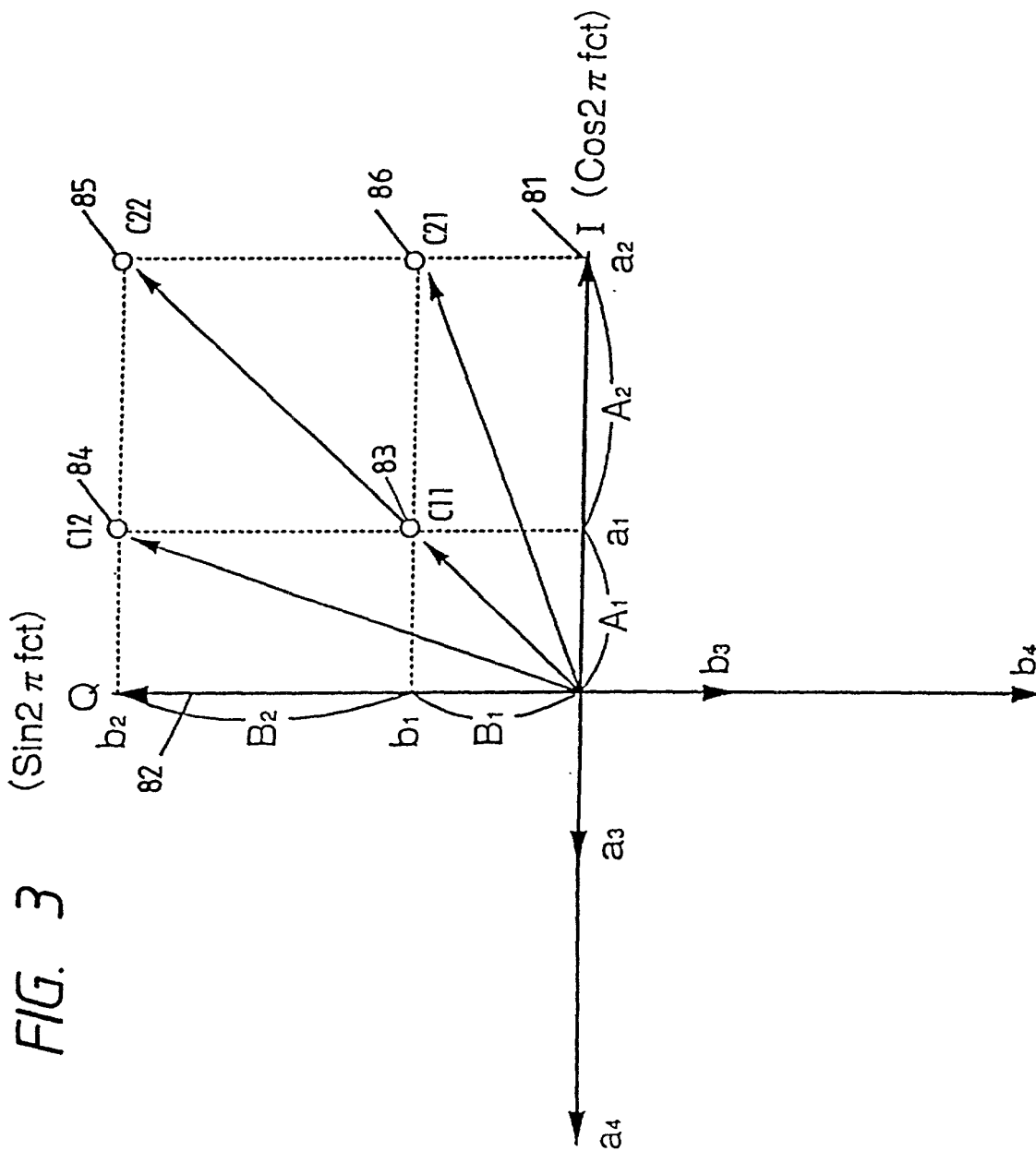


FIG. 3



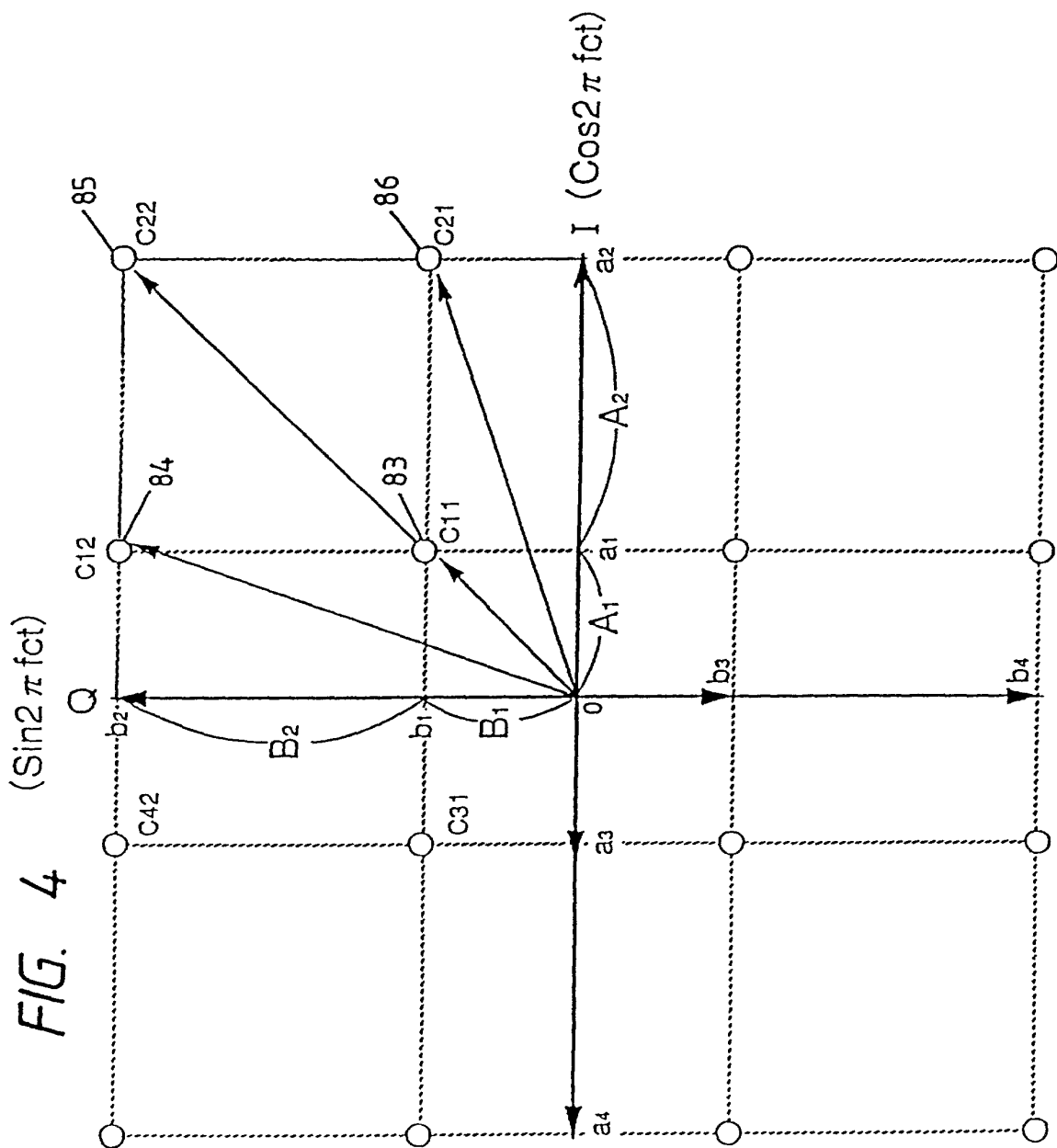


FIG. 5 ($\sin 2\pi \text{ fct}$)

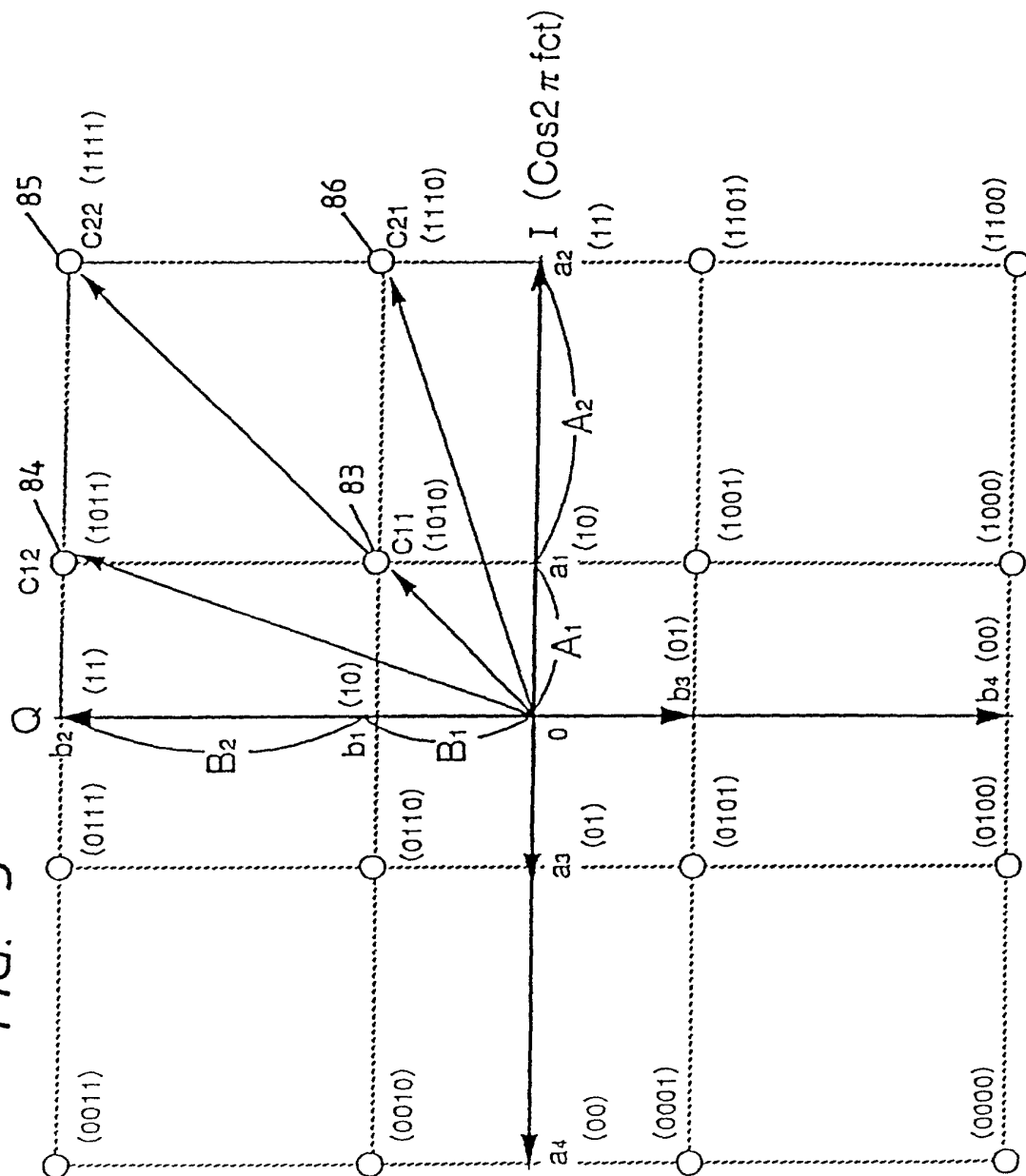


FIG. 6

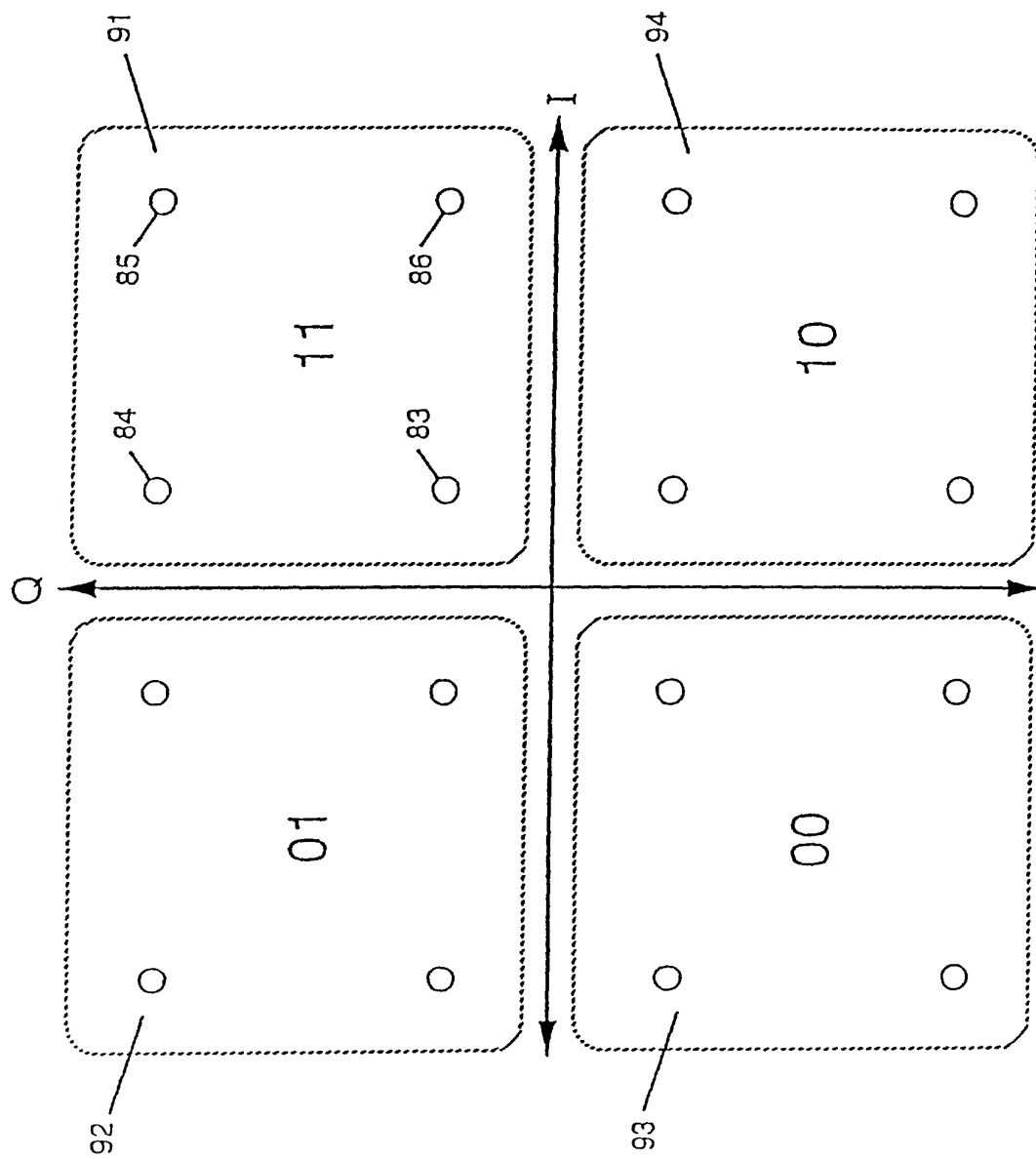


FIG. 7

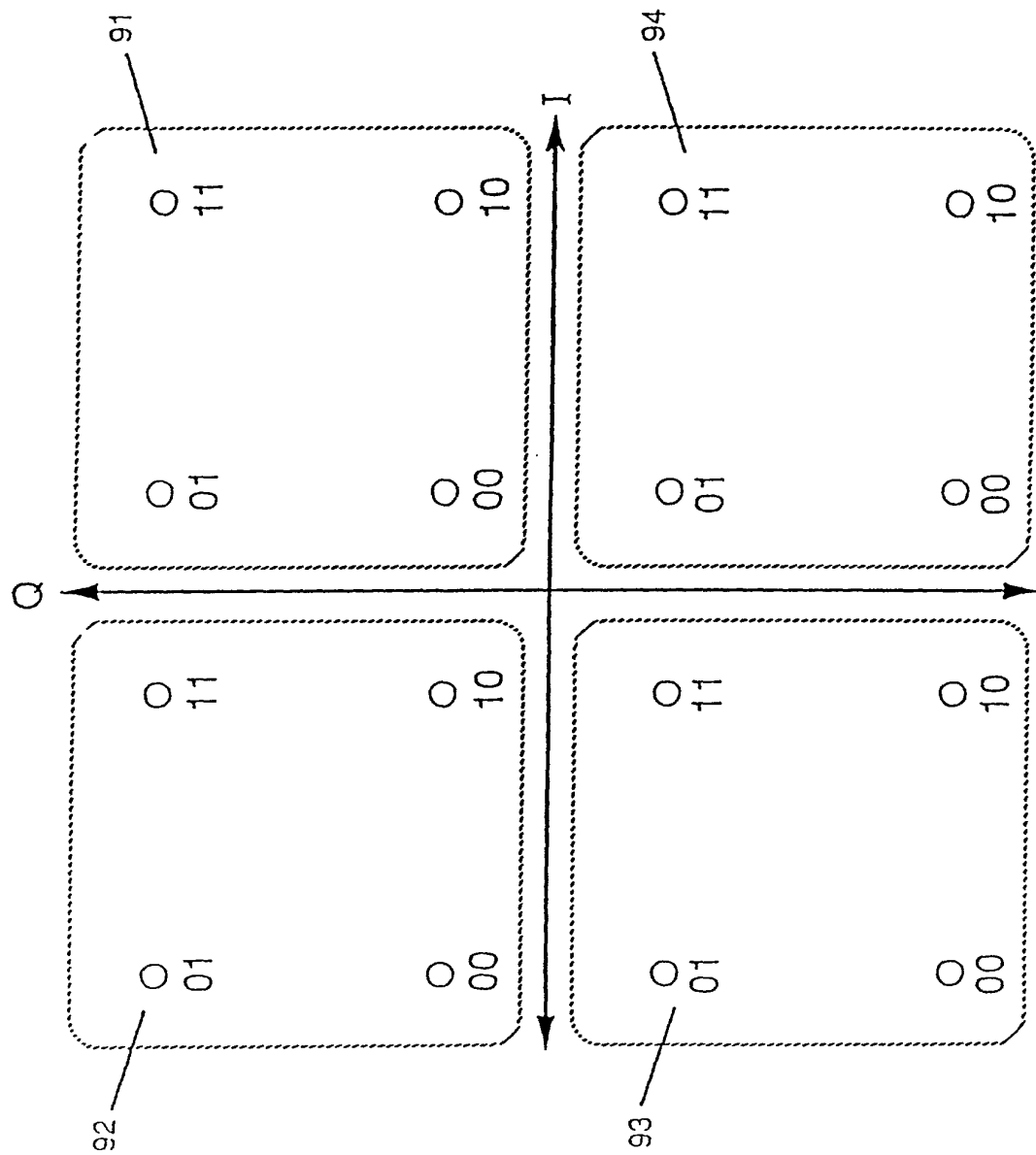


FIG. 8

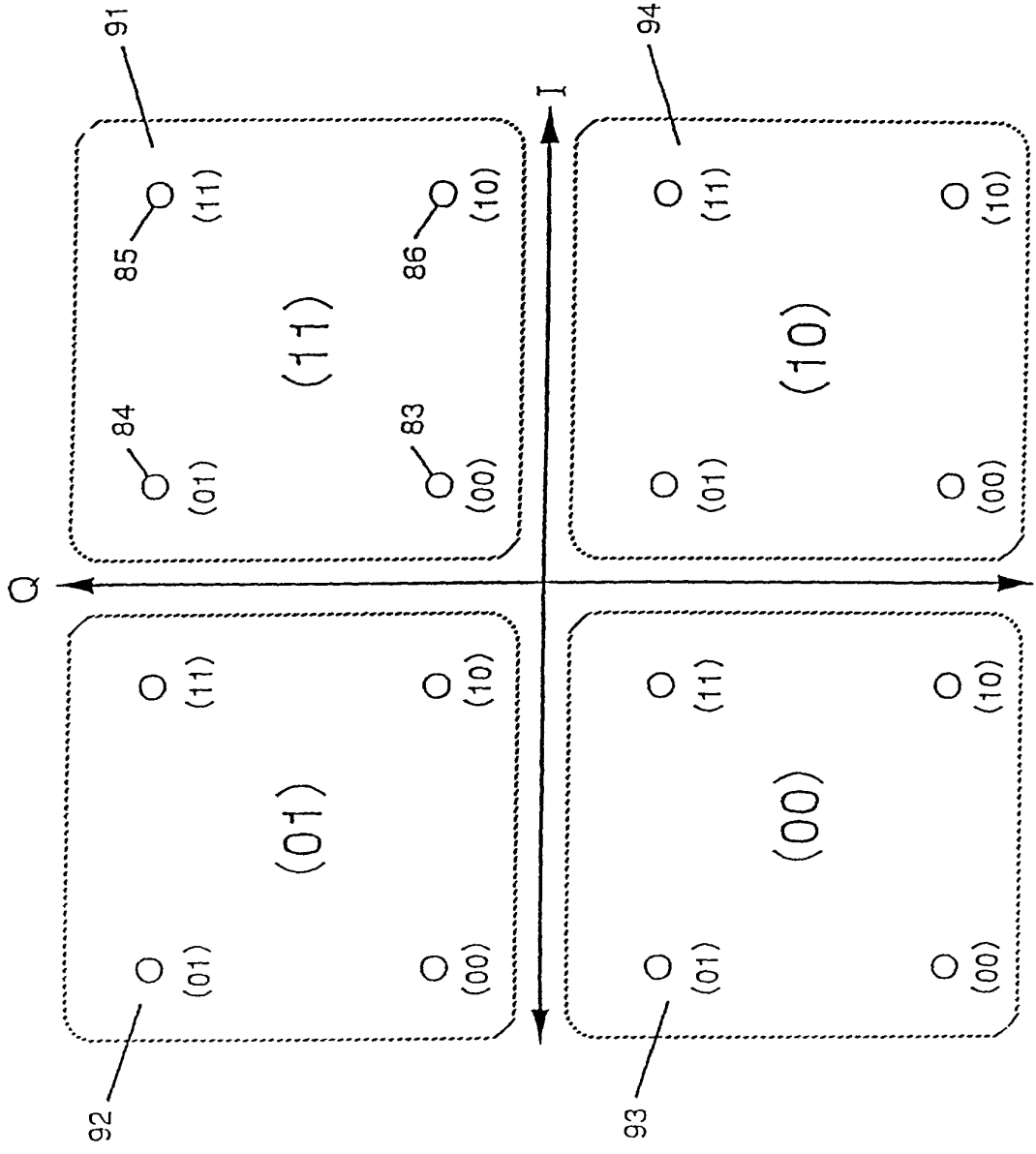


FIG. 9

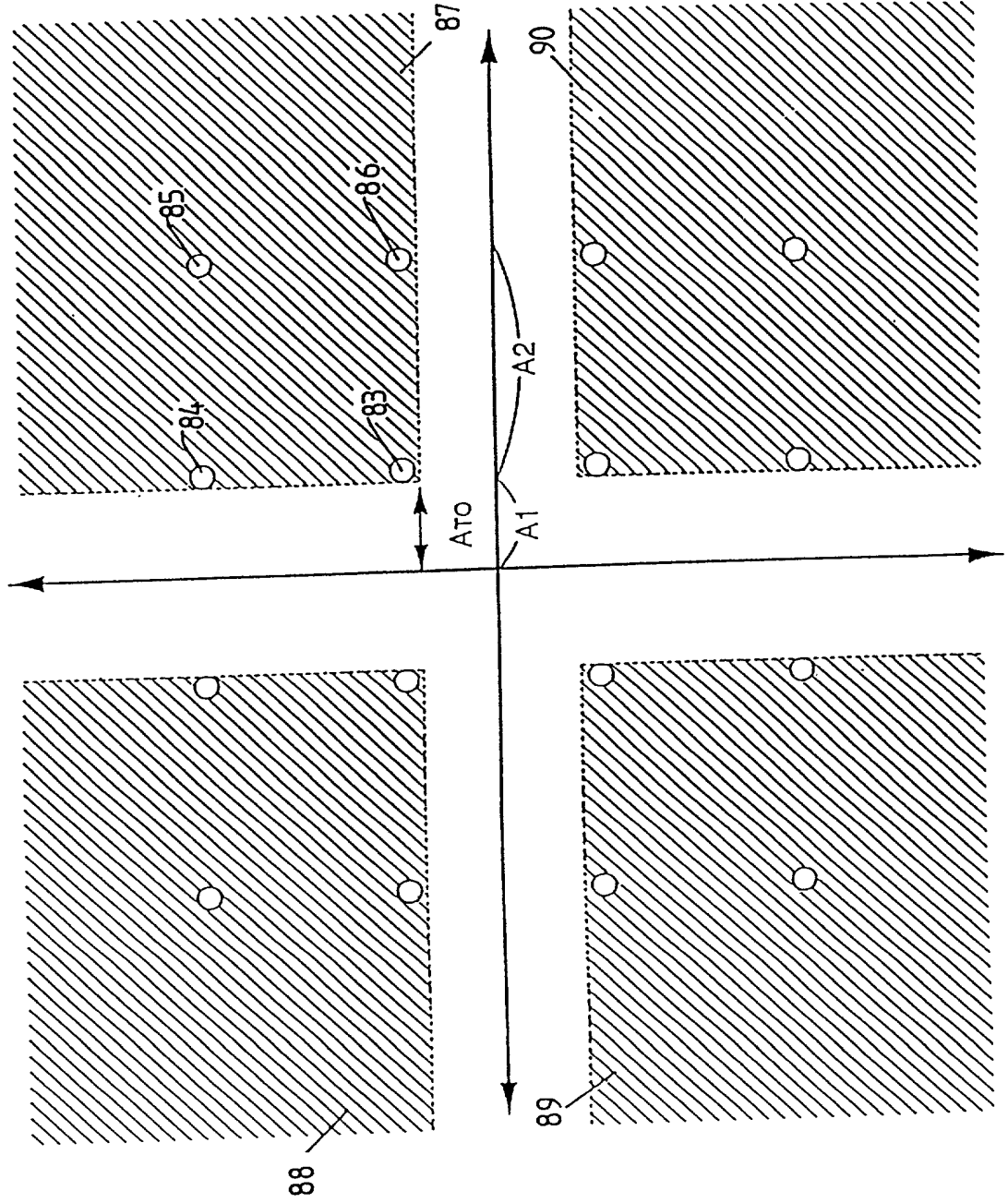


FIG. 10

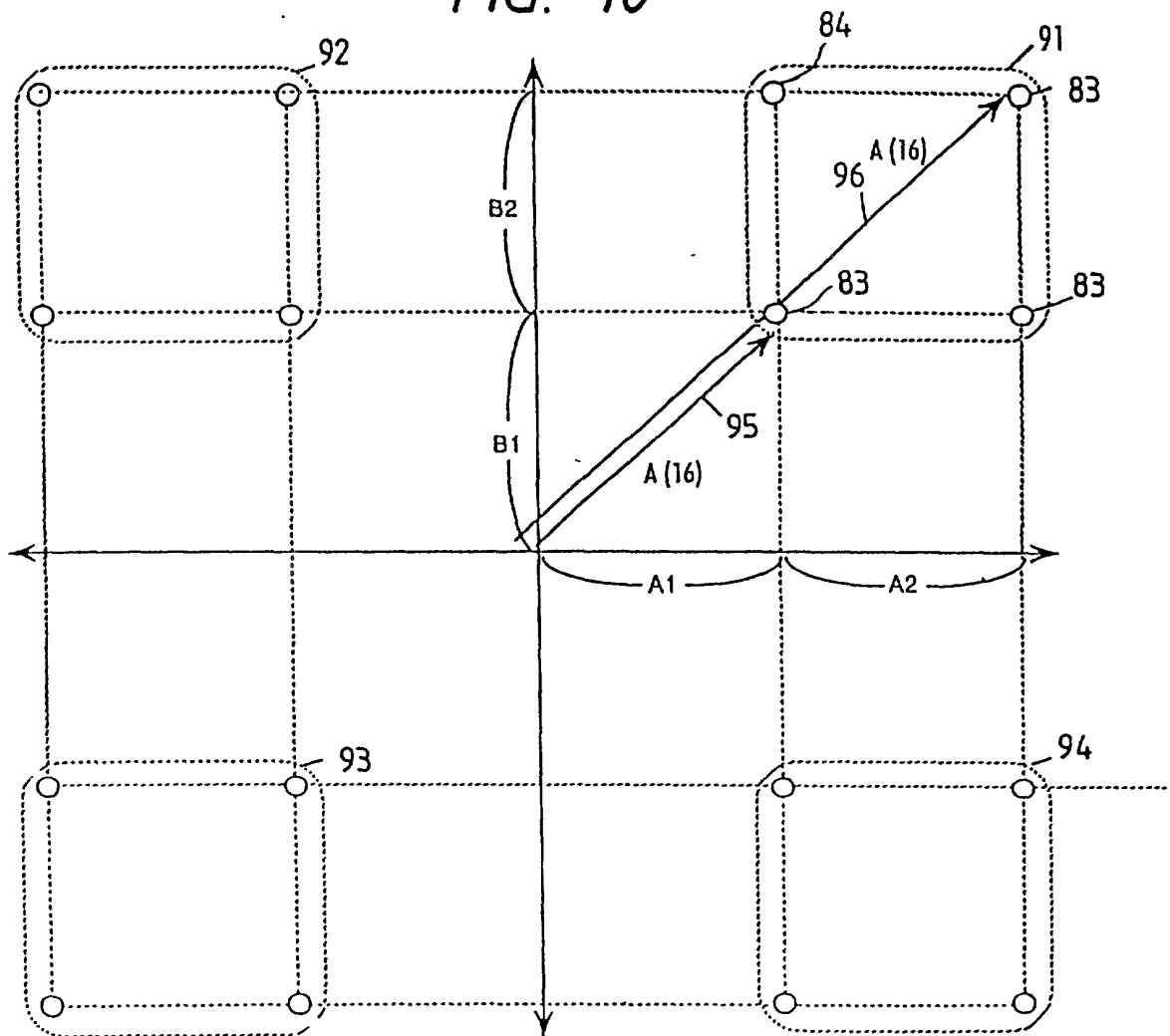


FIG. 11

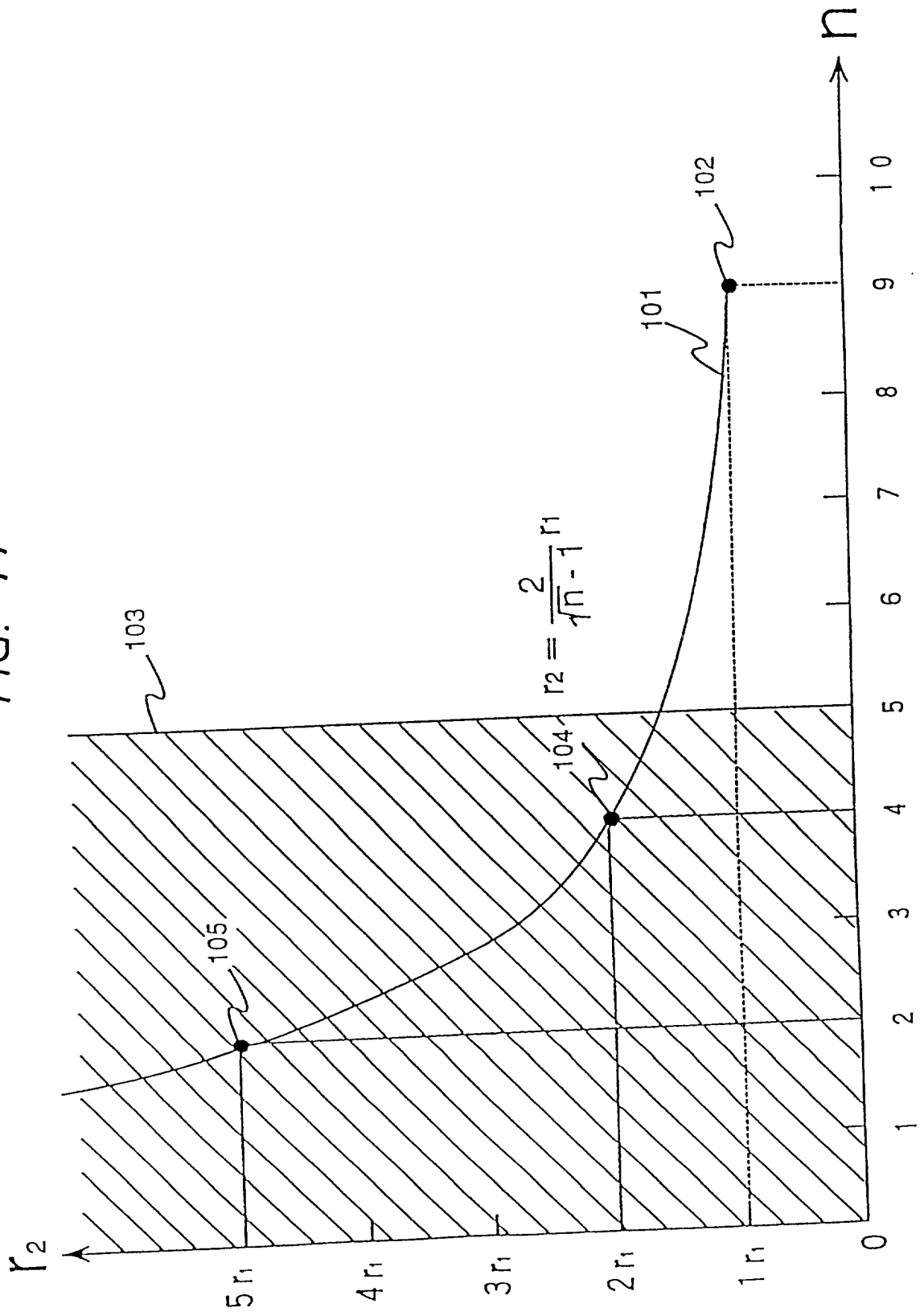


FIG. 12

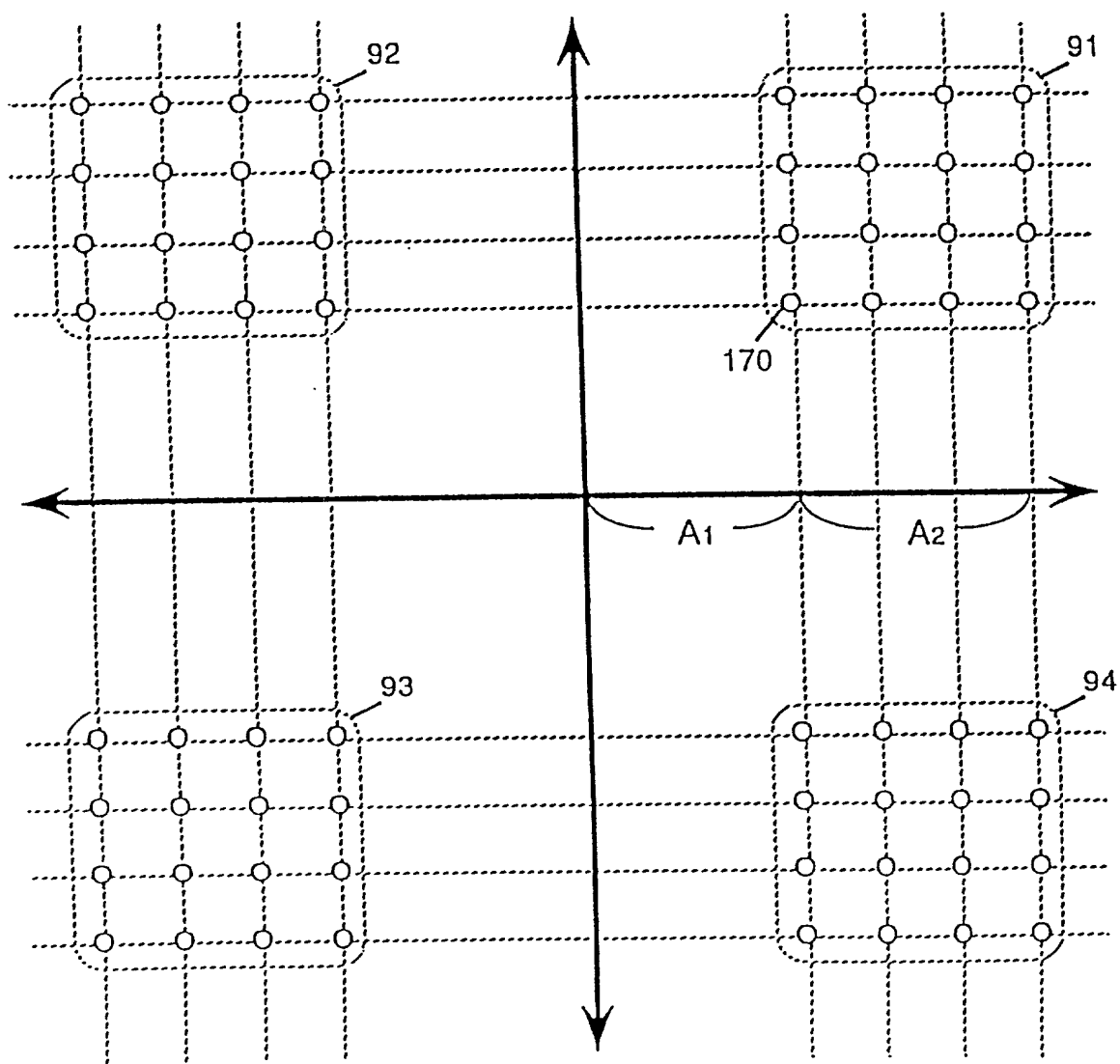


FIG. 13

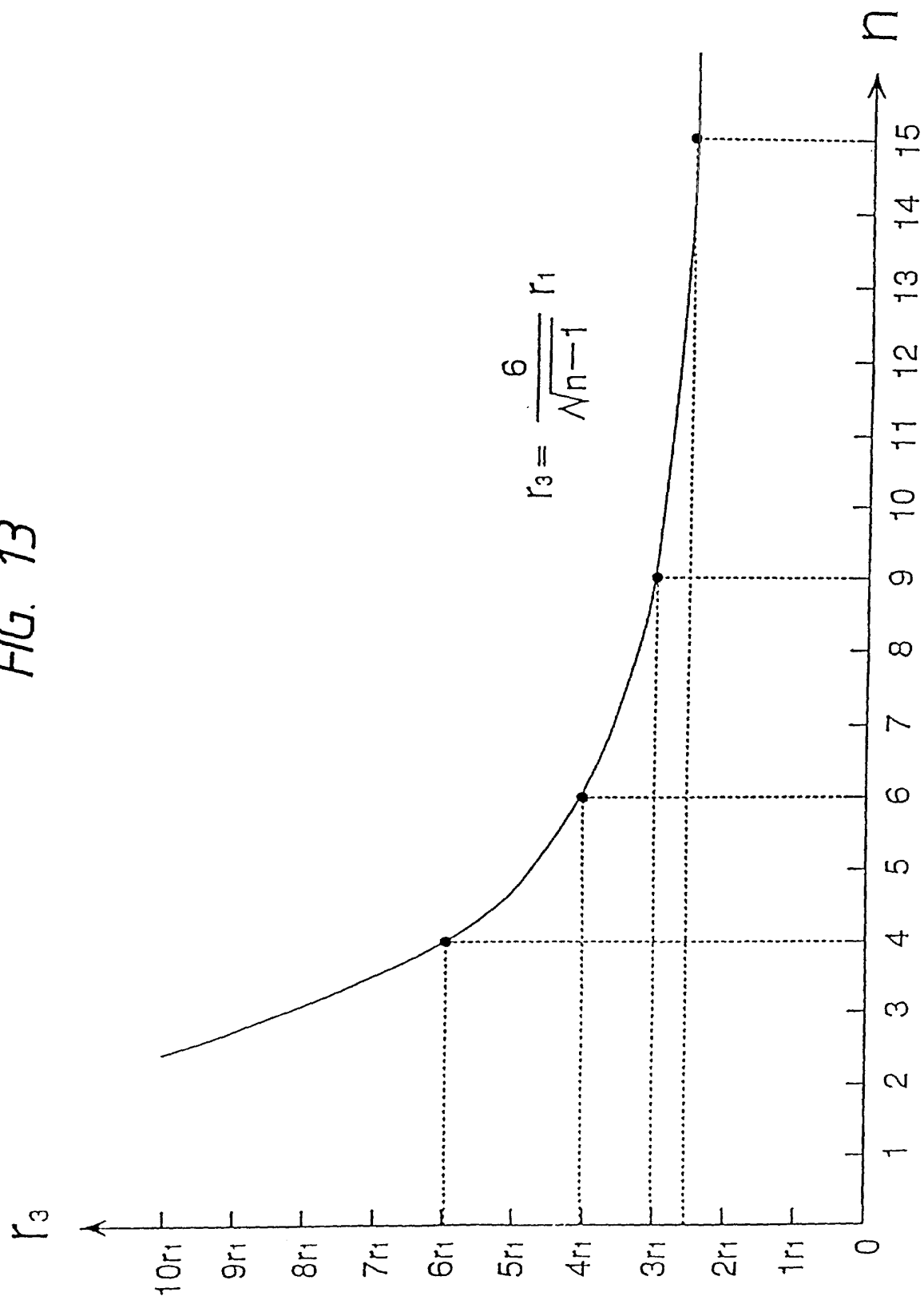


FIG. 14

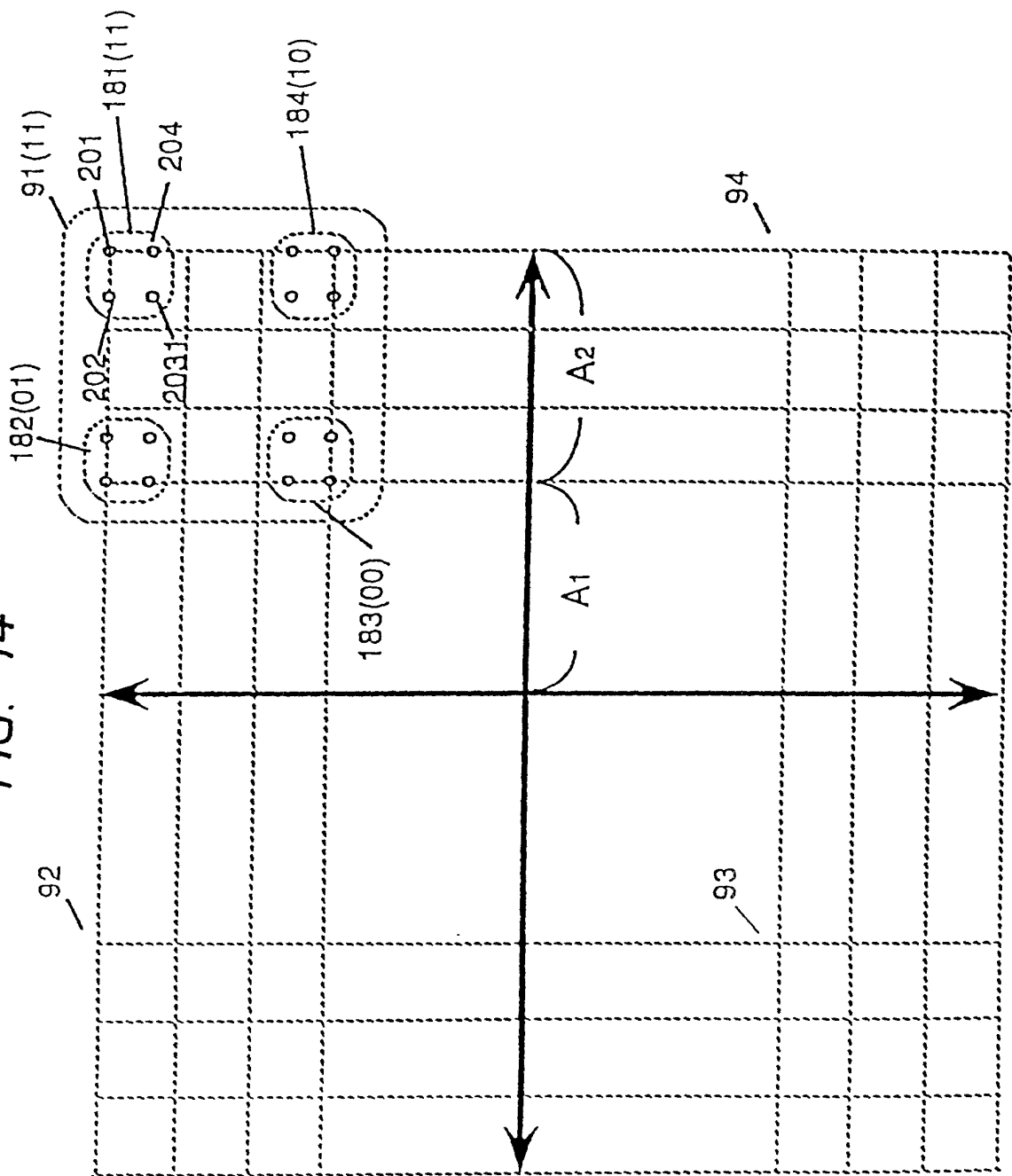


FIG. 15

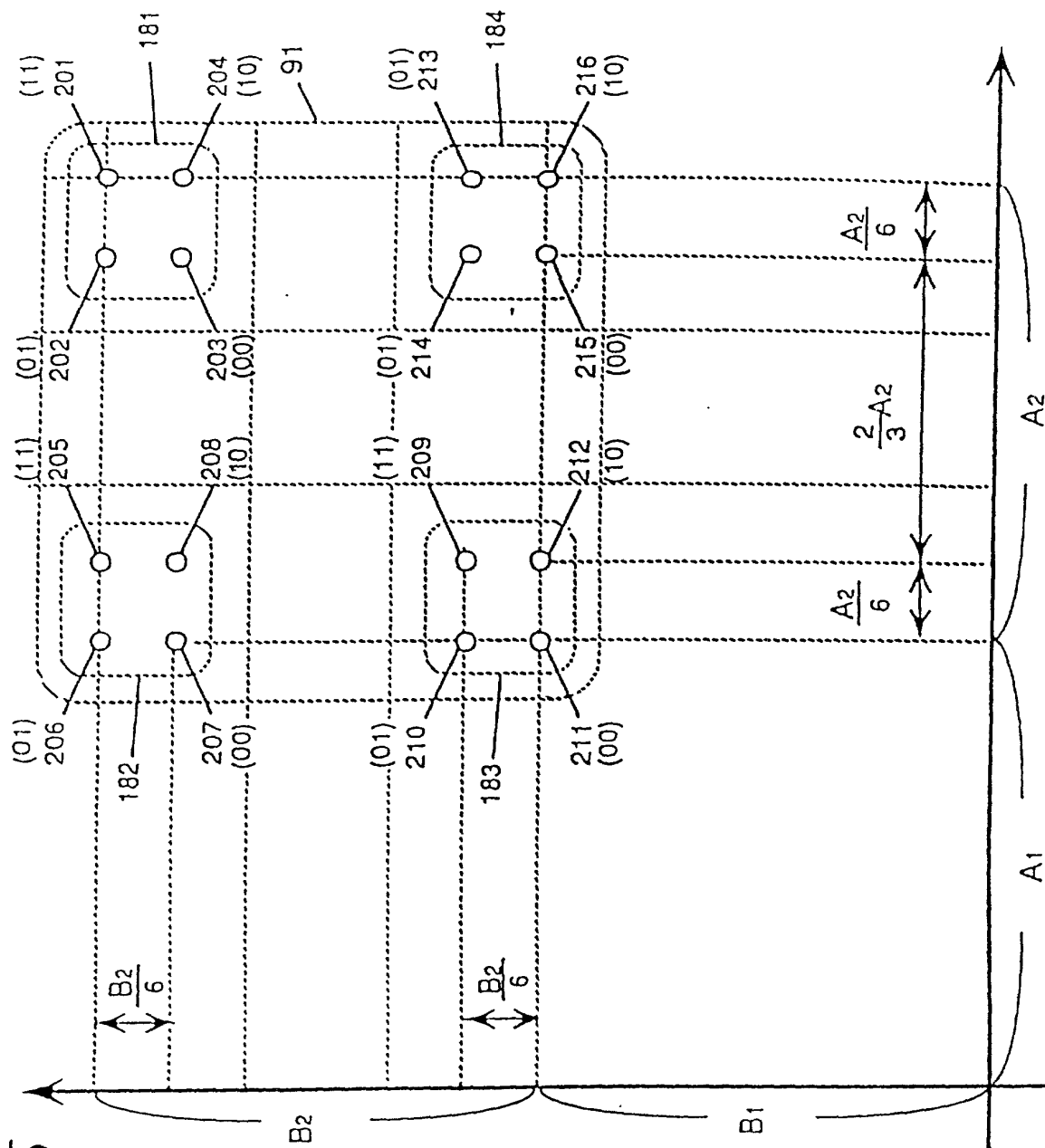


FIG. 16

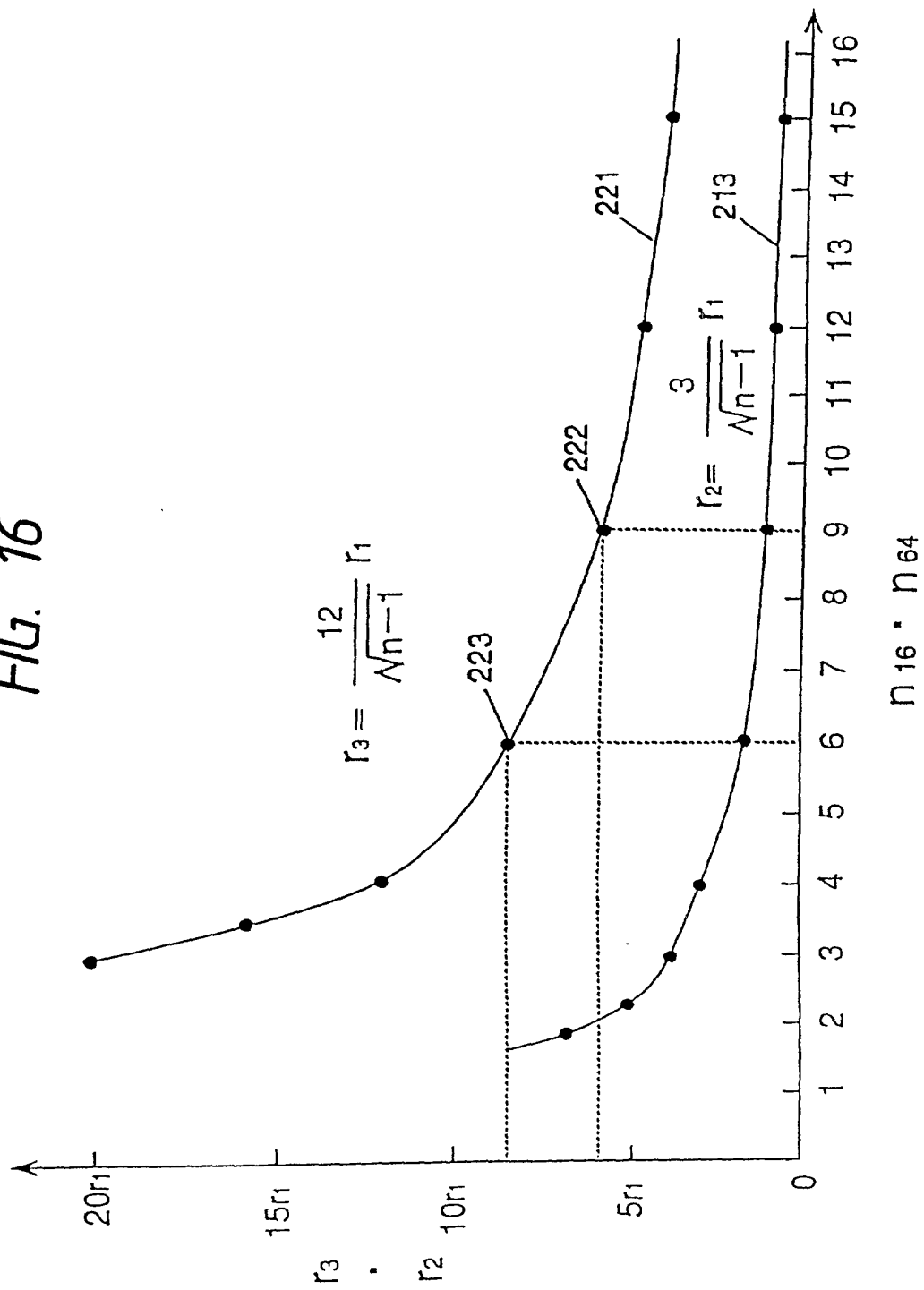


FIG. 17

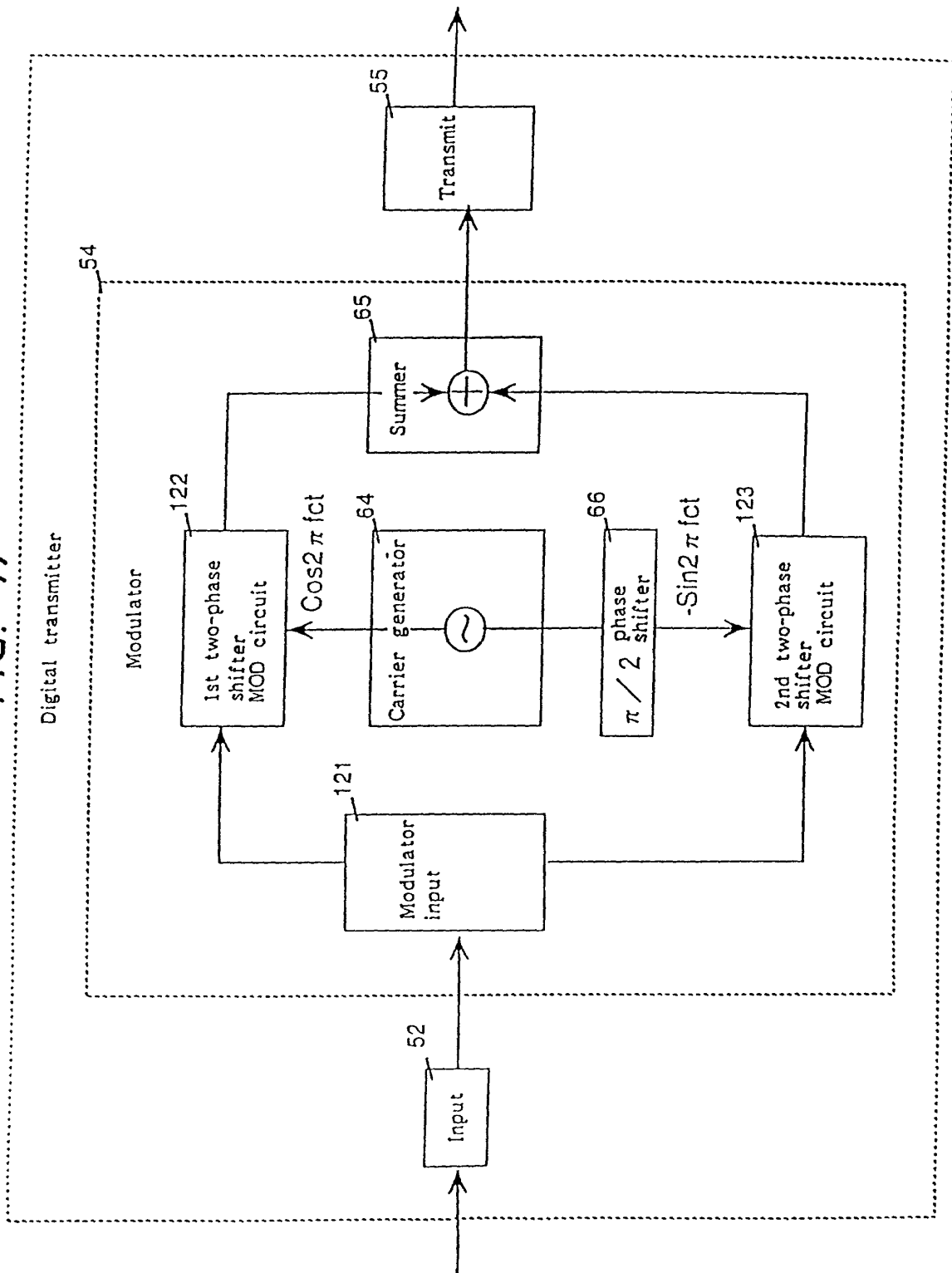


FIG. 18

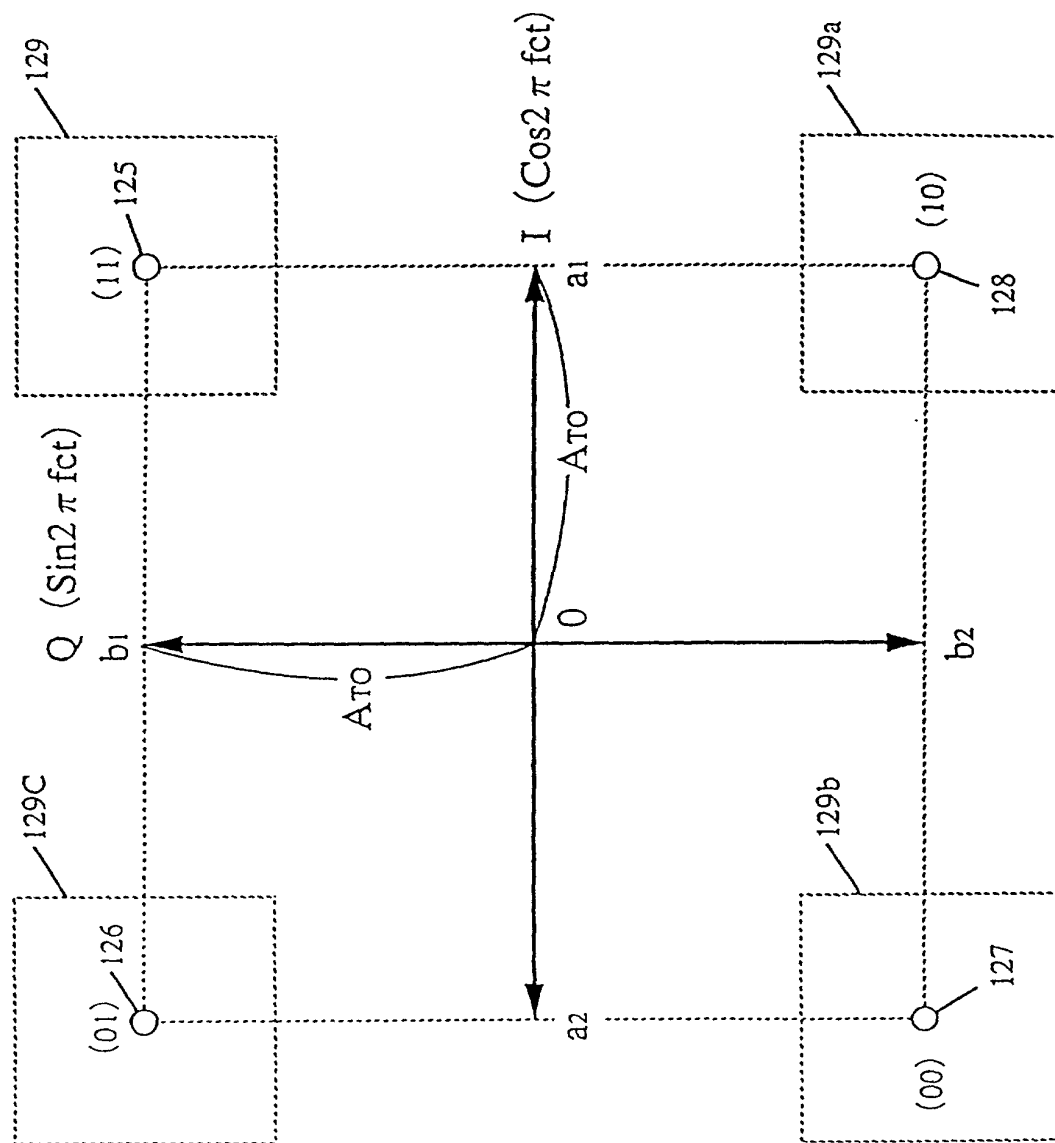


FIG. 19

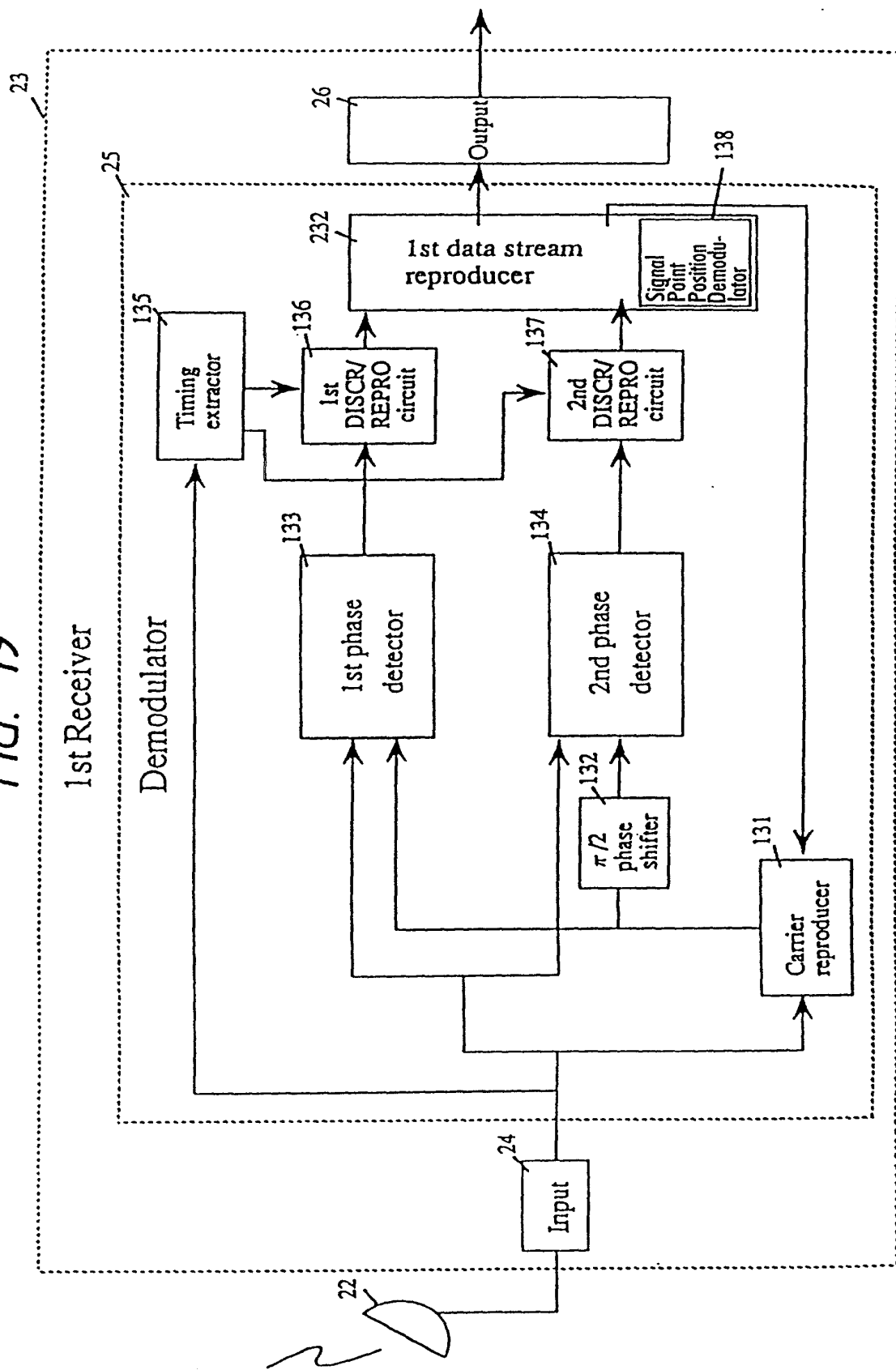


FIG. 20

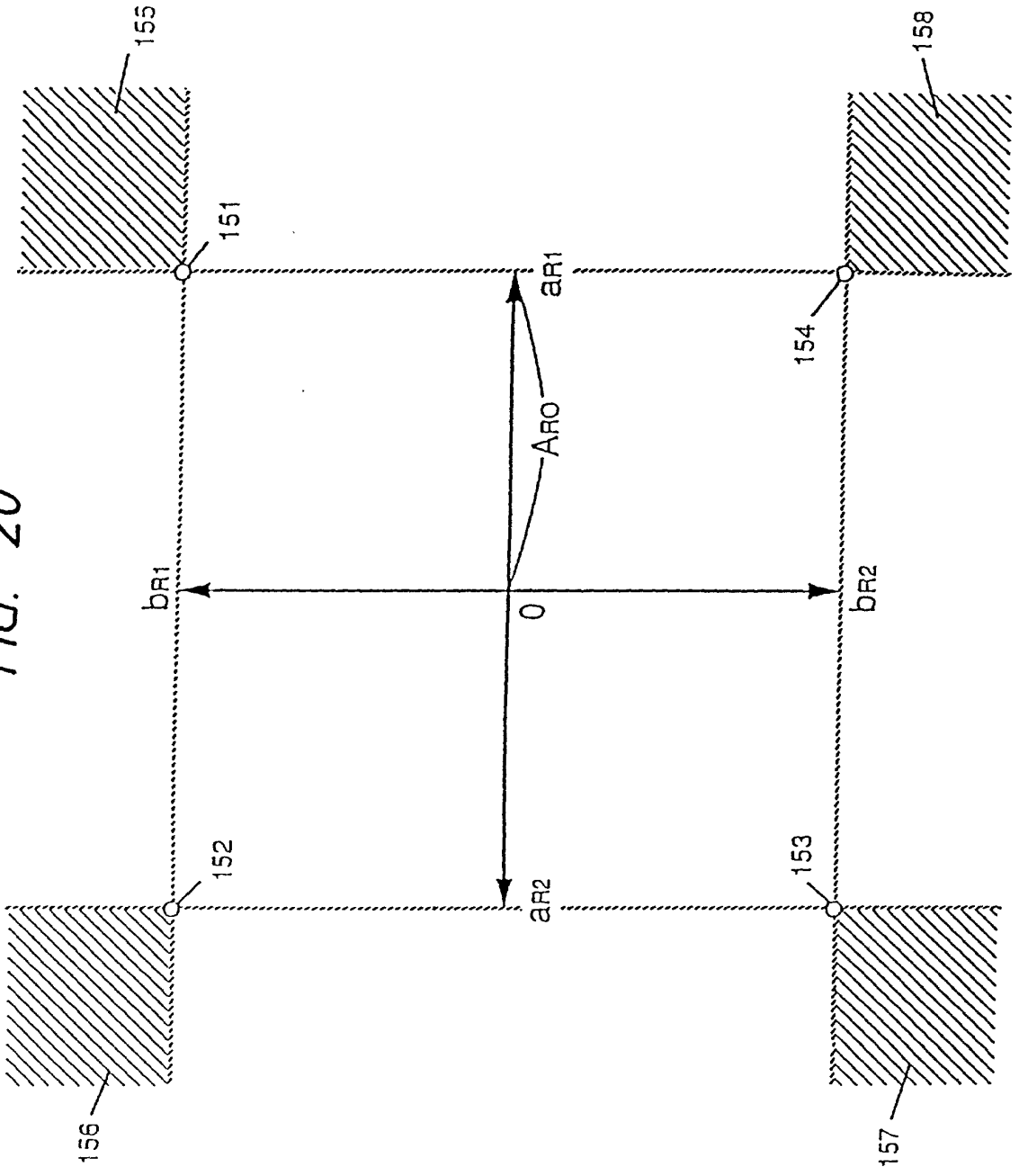


FIG. 21

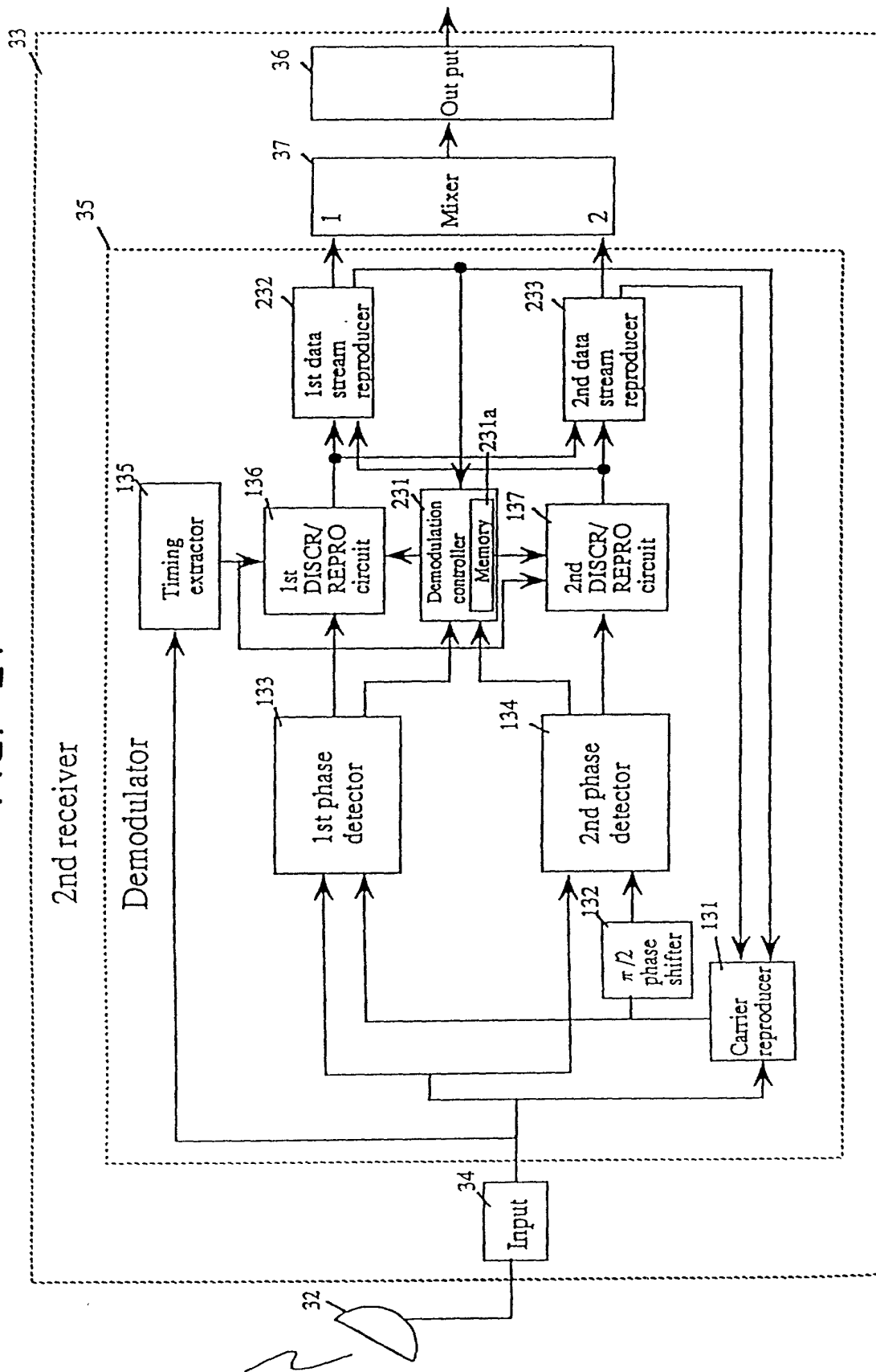


FIG. 22

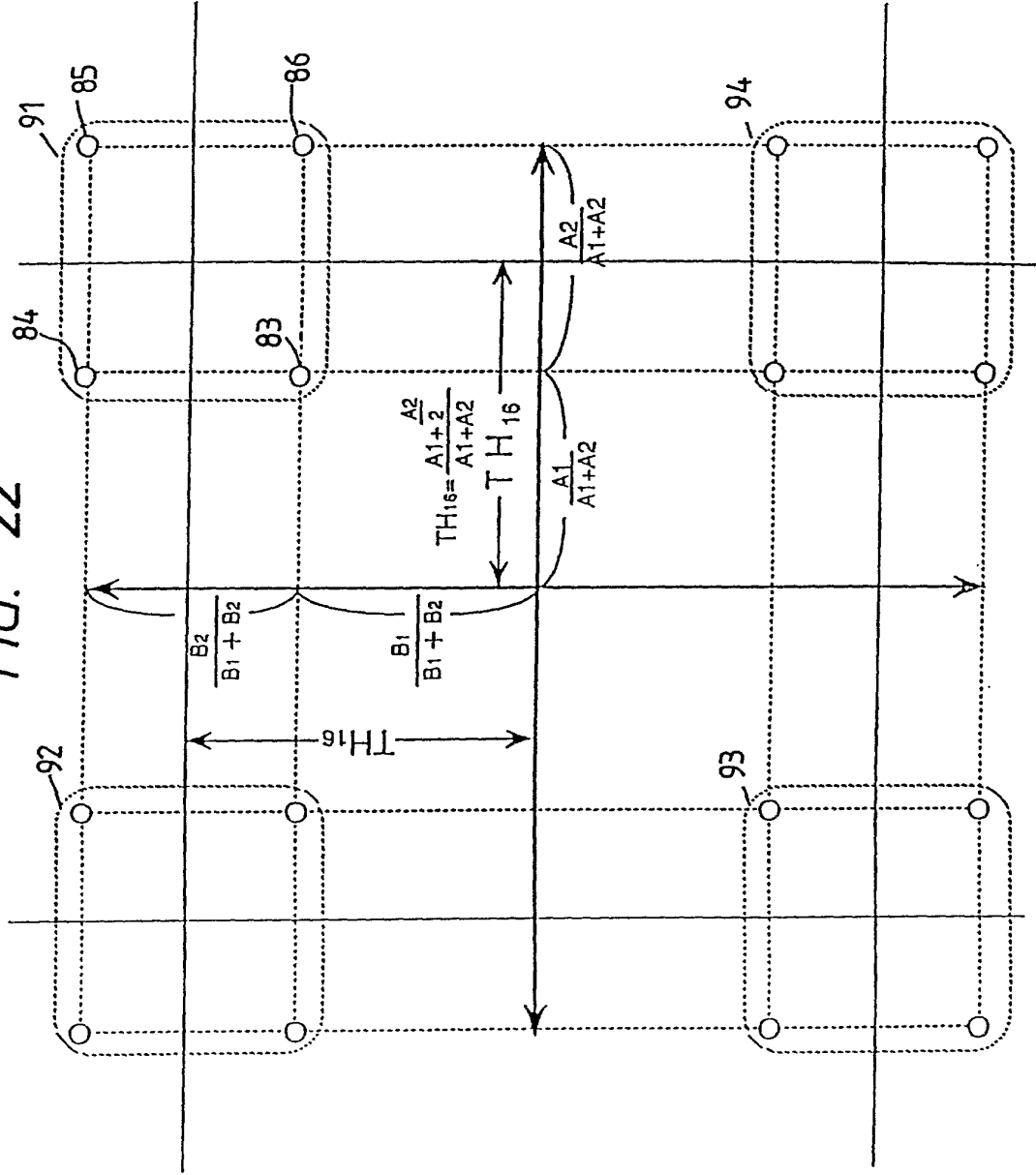


FIG. 23

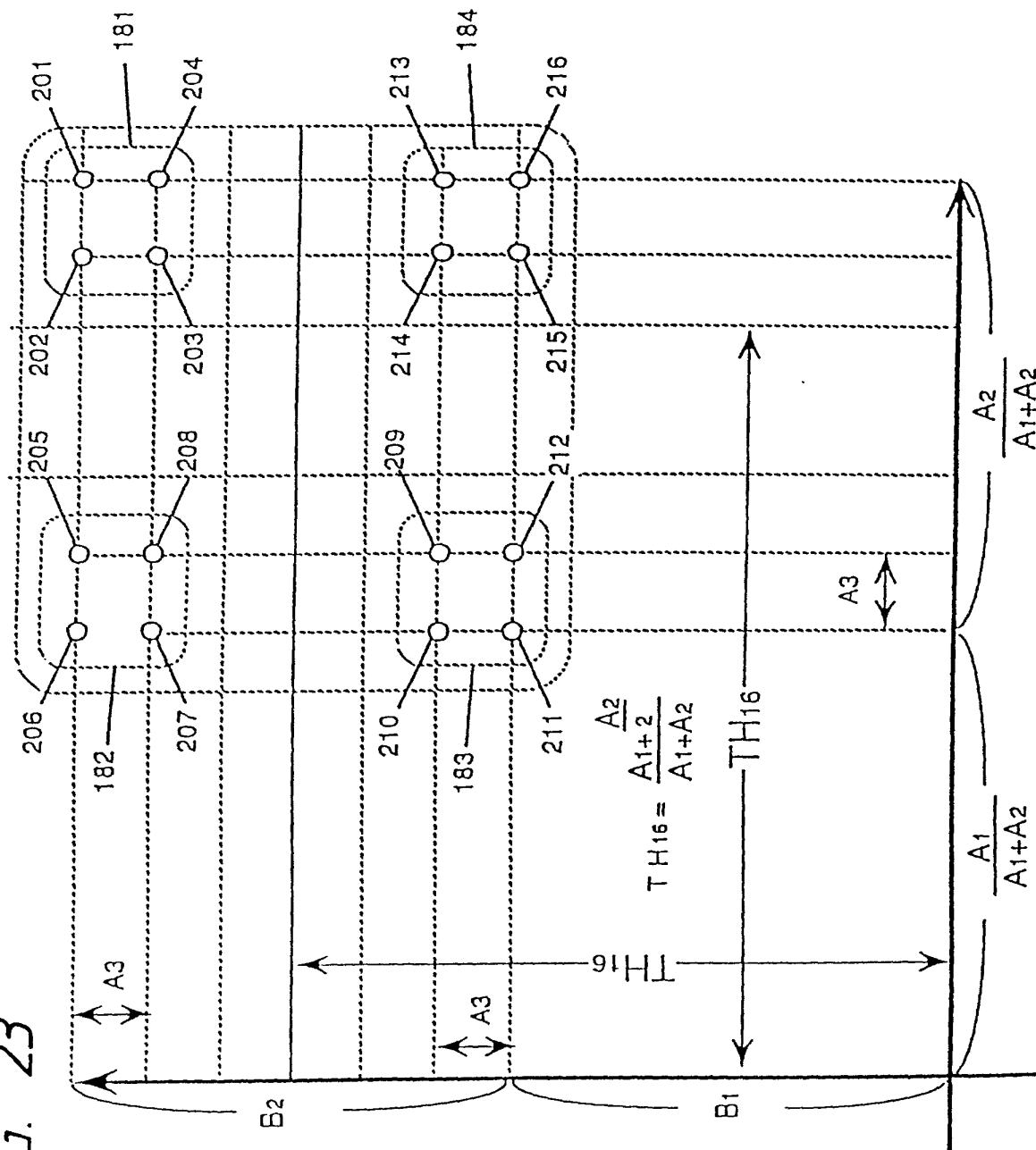


FIG. 24

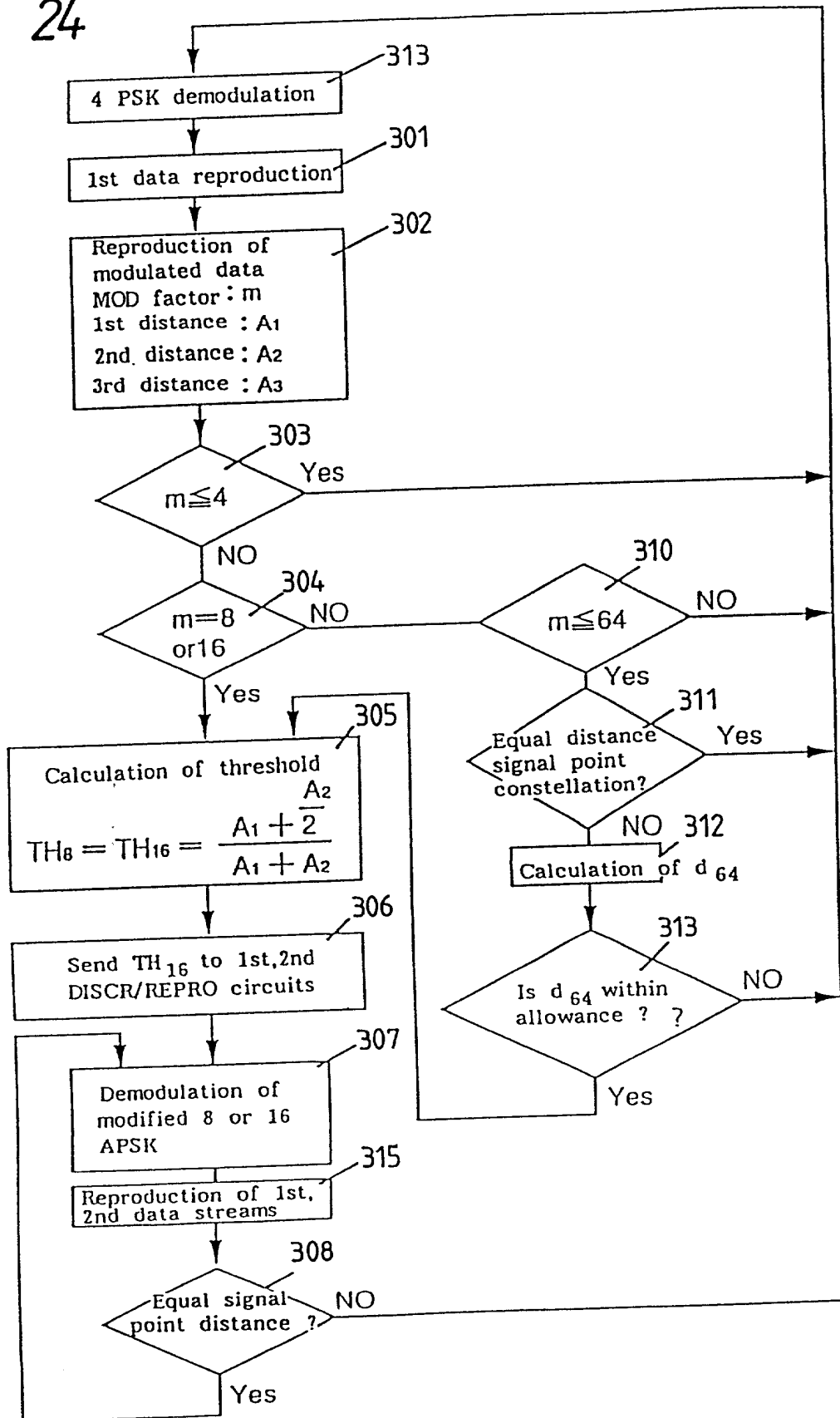


FIG. 25(a)

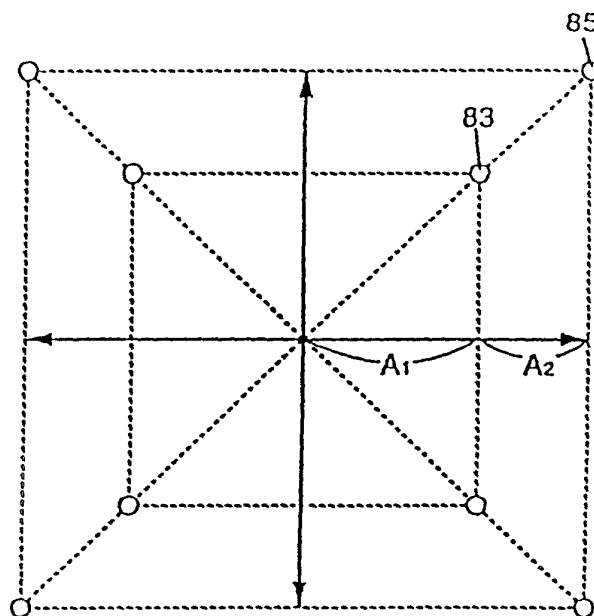


FIG. 25(b)

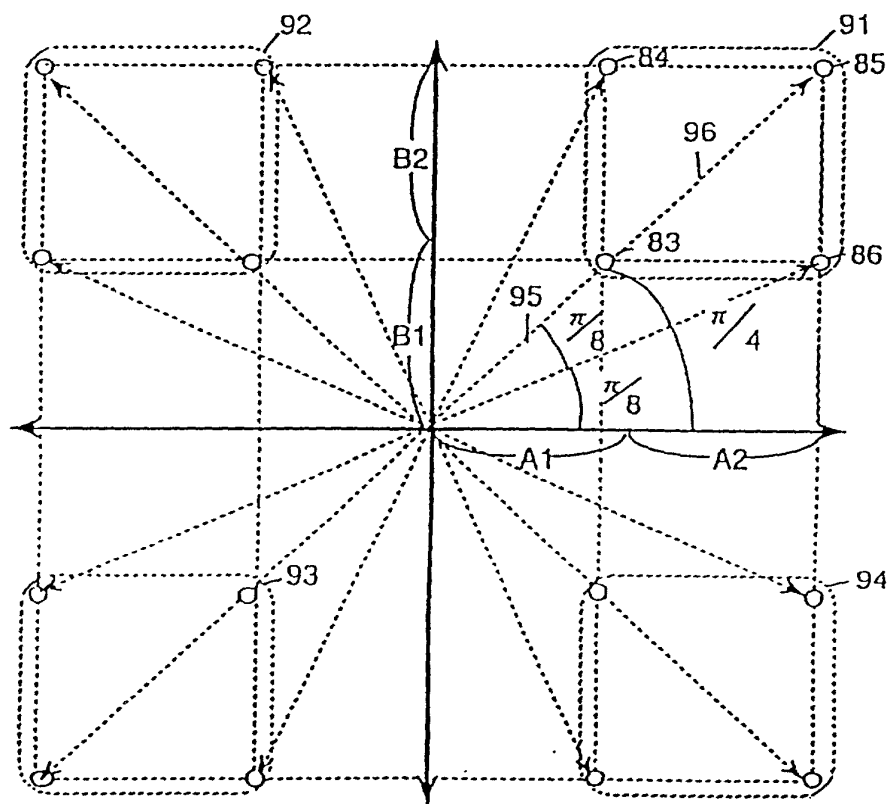


FIG. 26

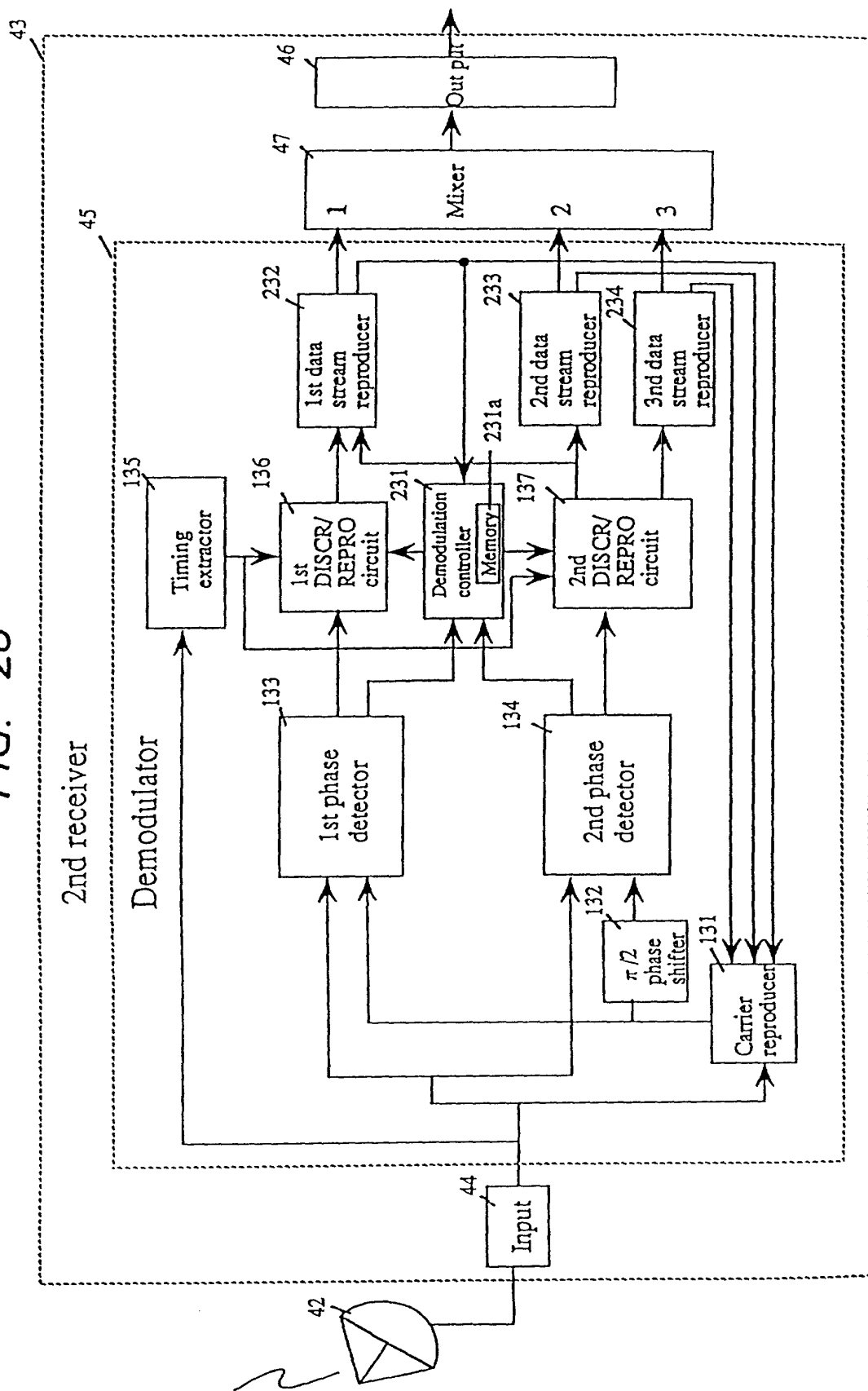


FIG. 27

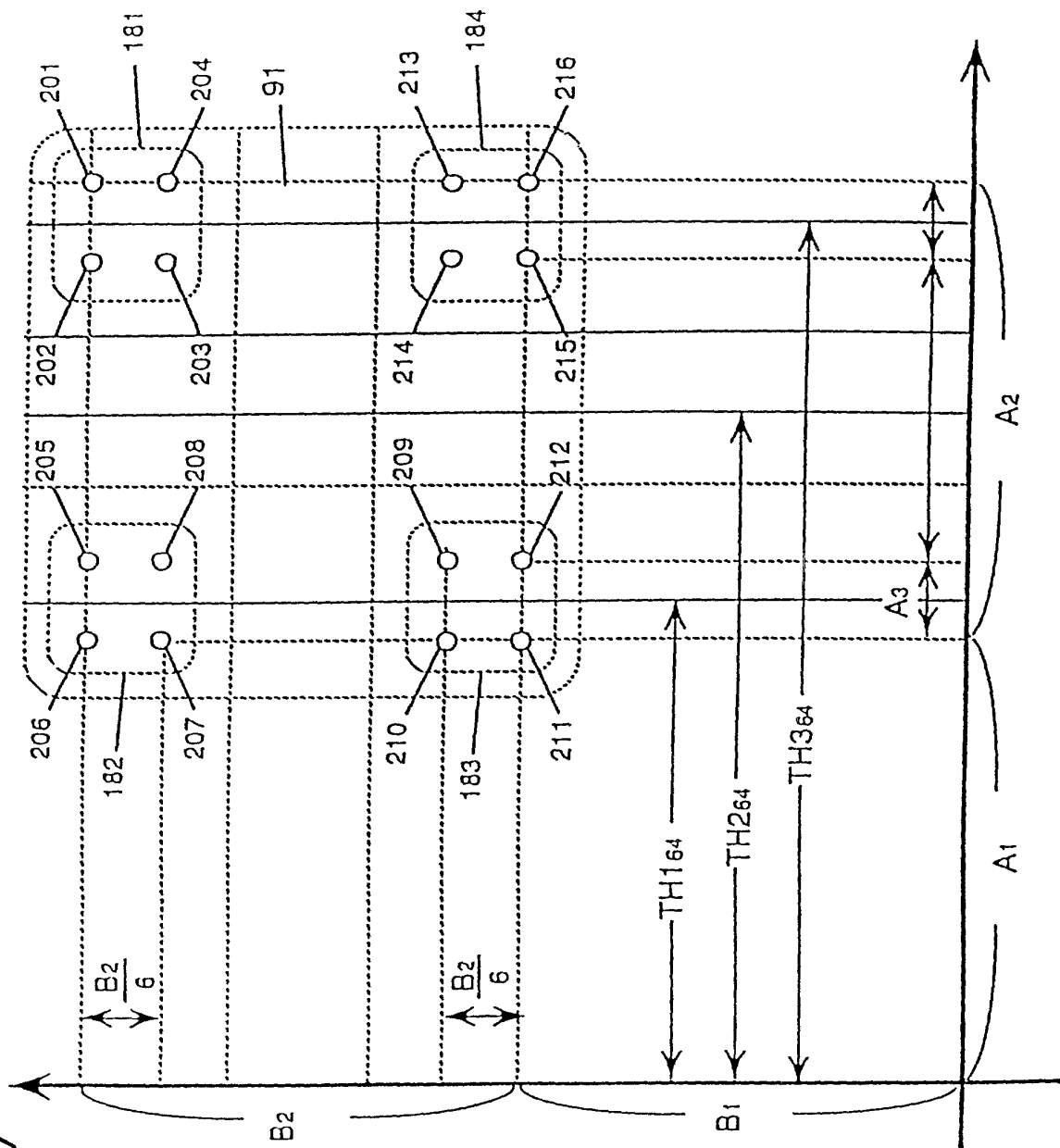


FIG. 28

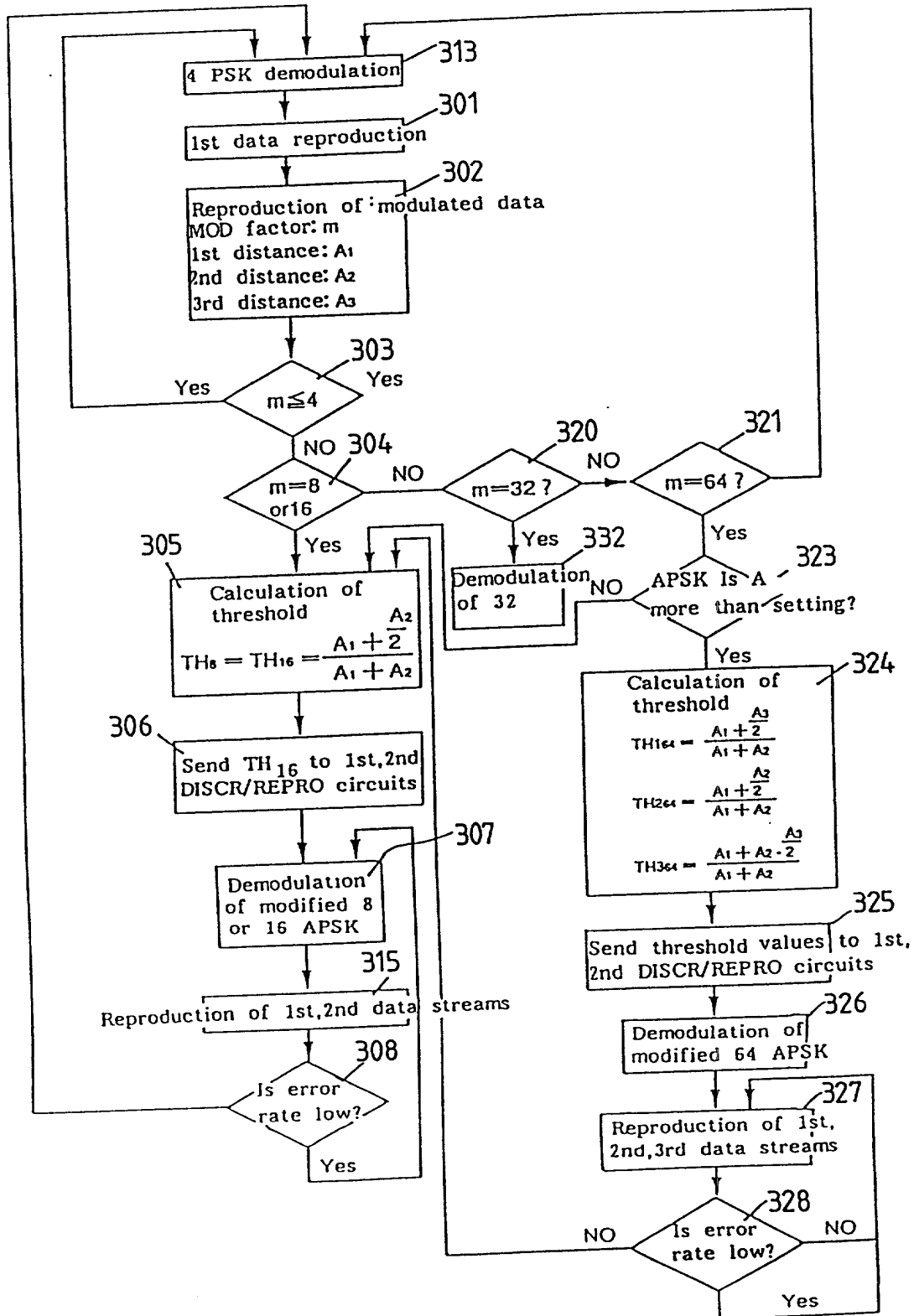


FIG. 29

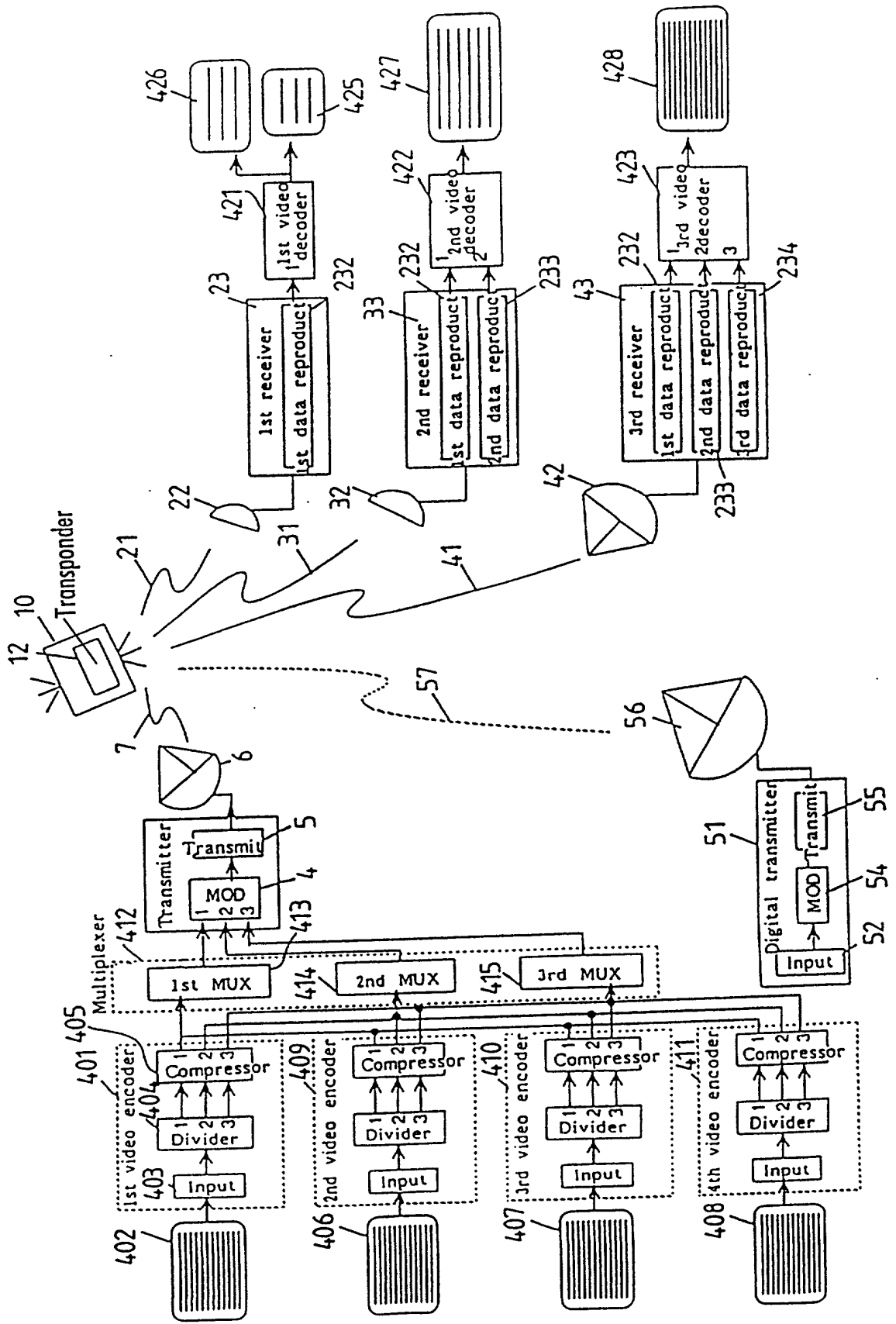


FIG. 30

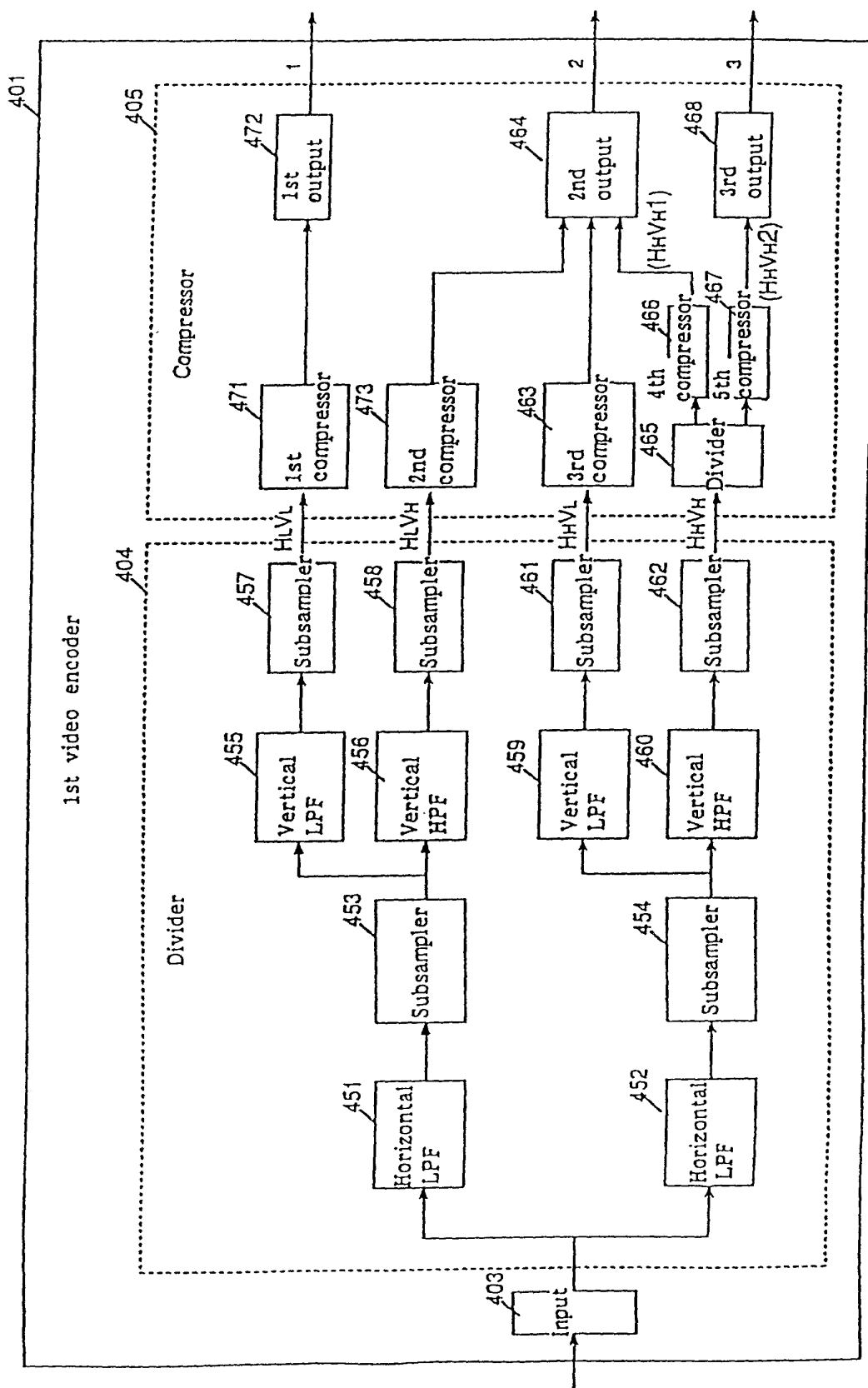


FIG. 31

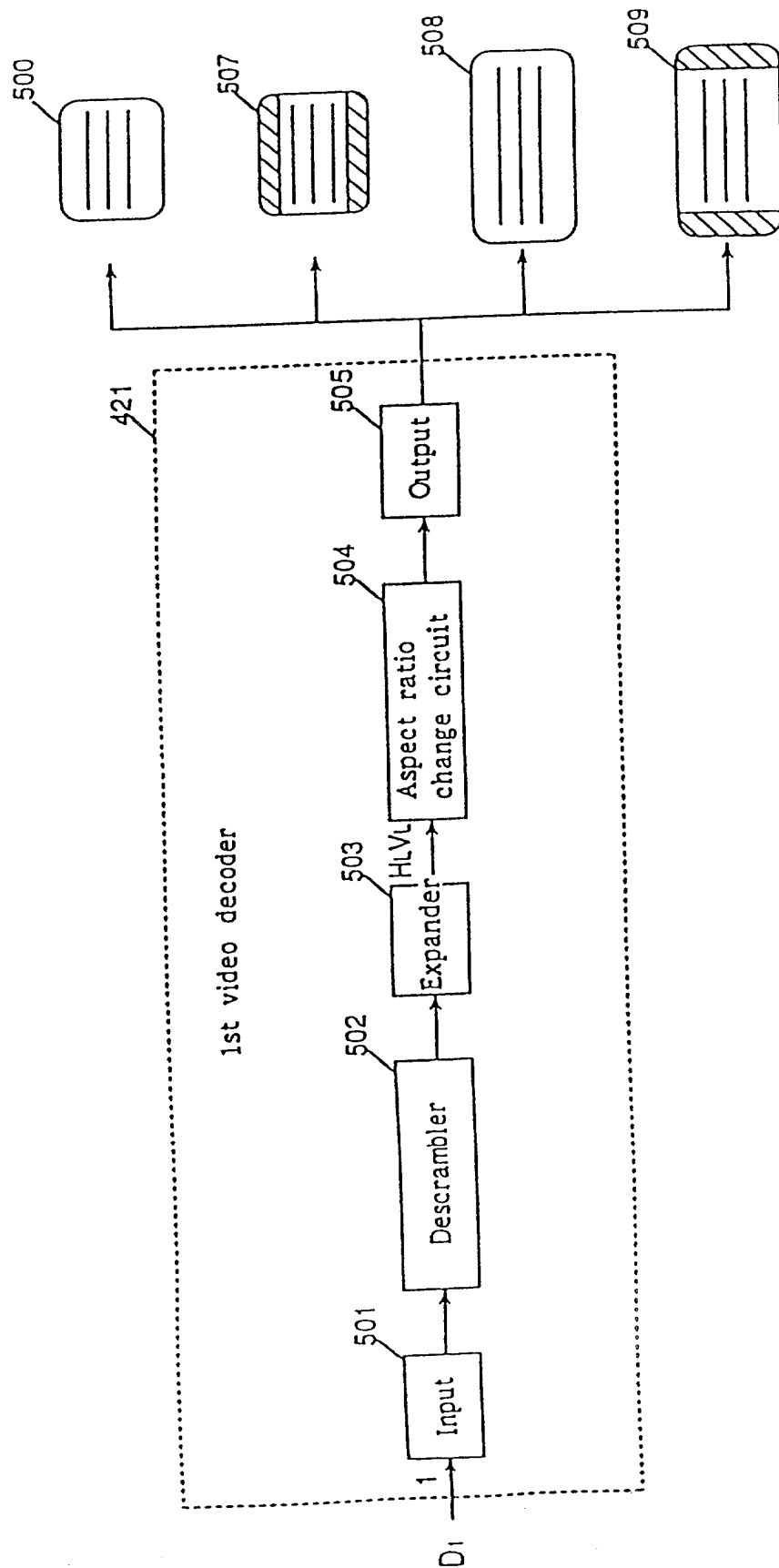


FIG. 32

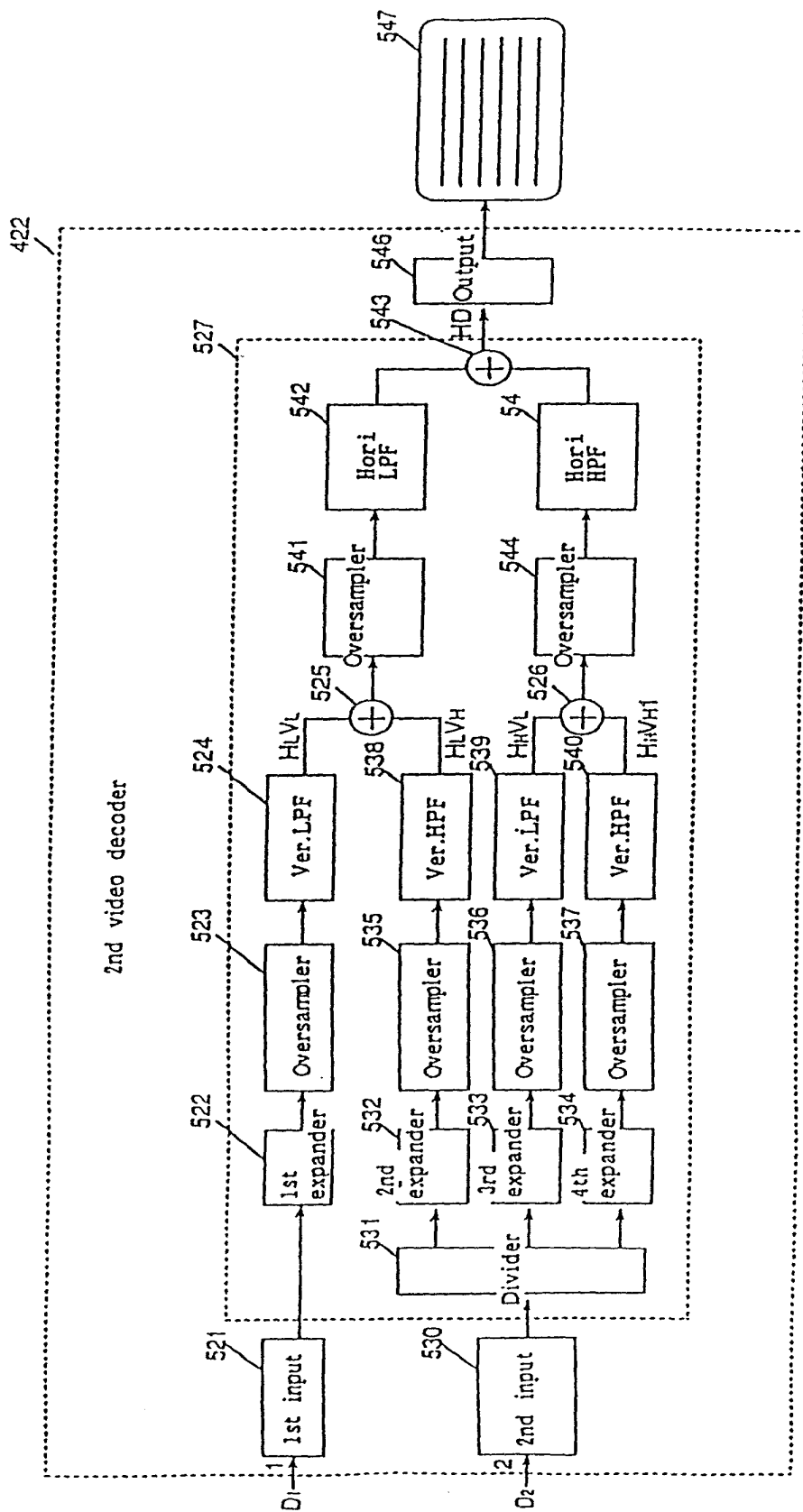


FIG. 33

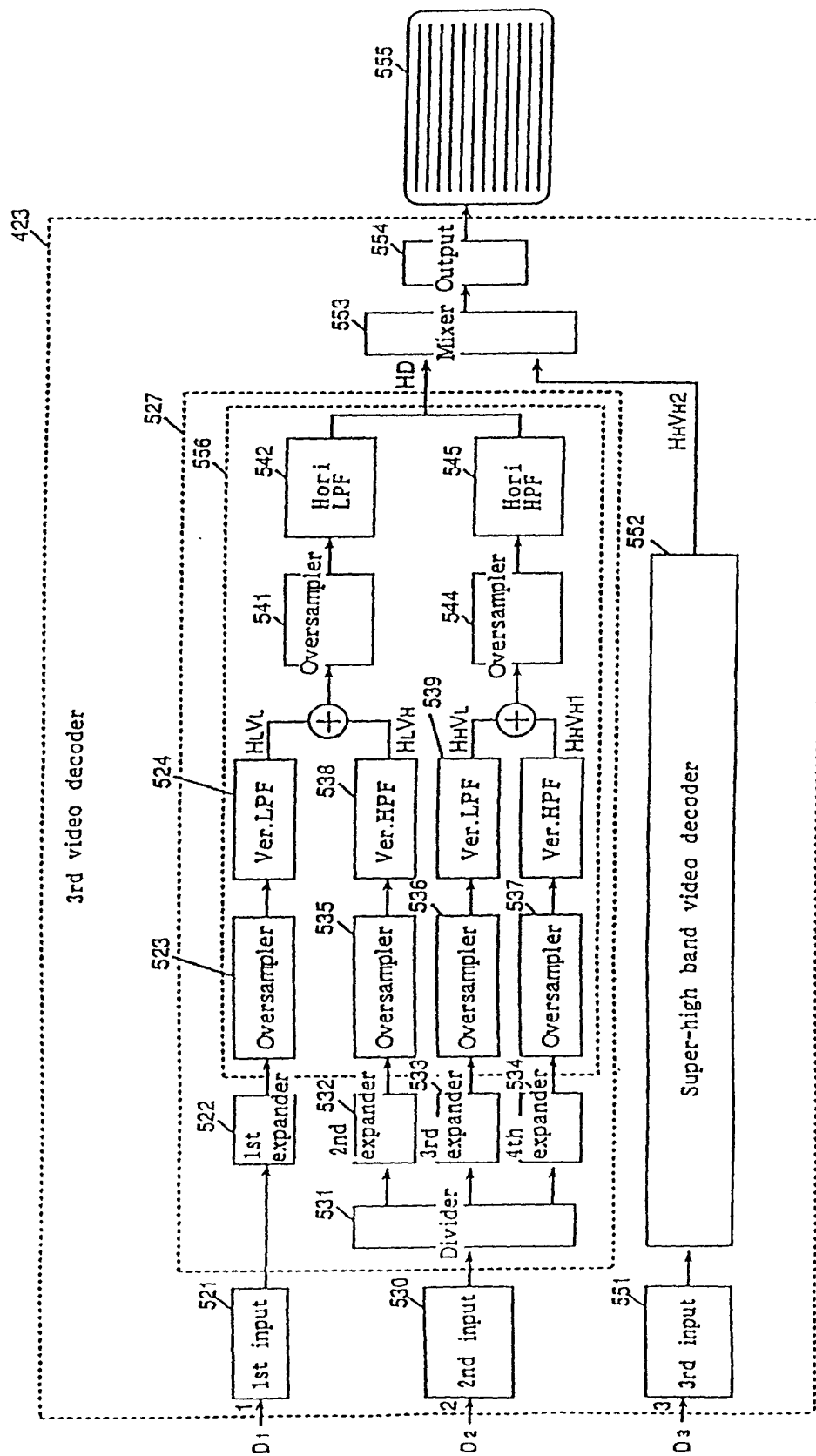


FIG. 34

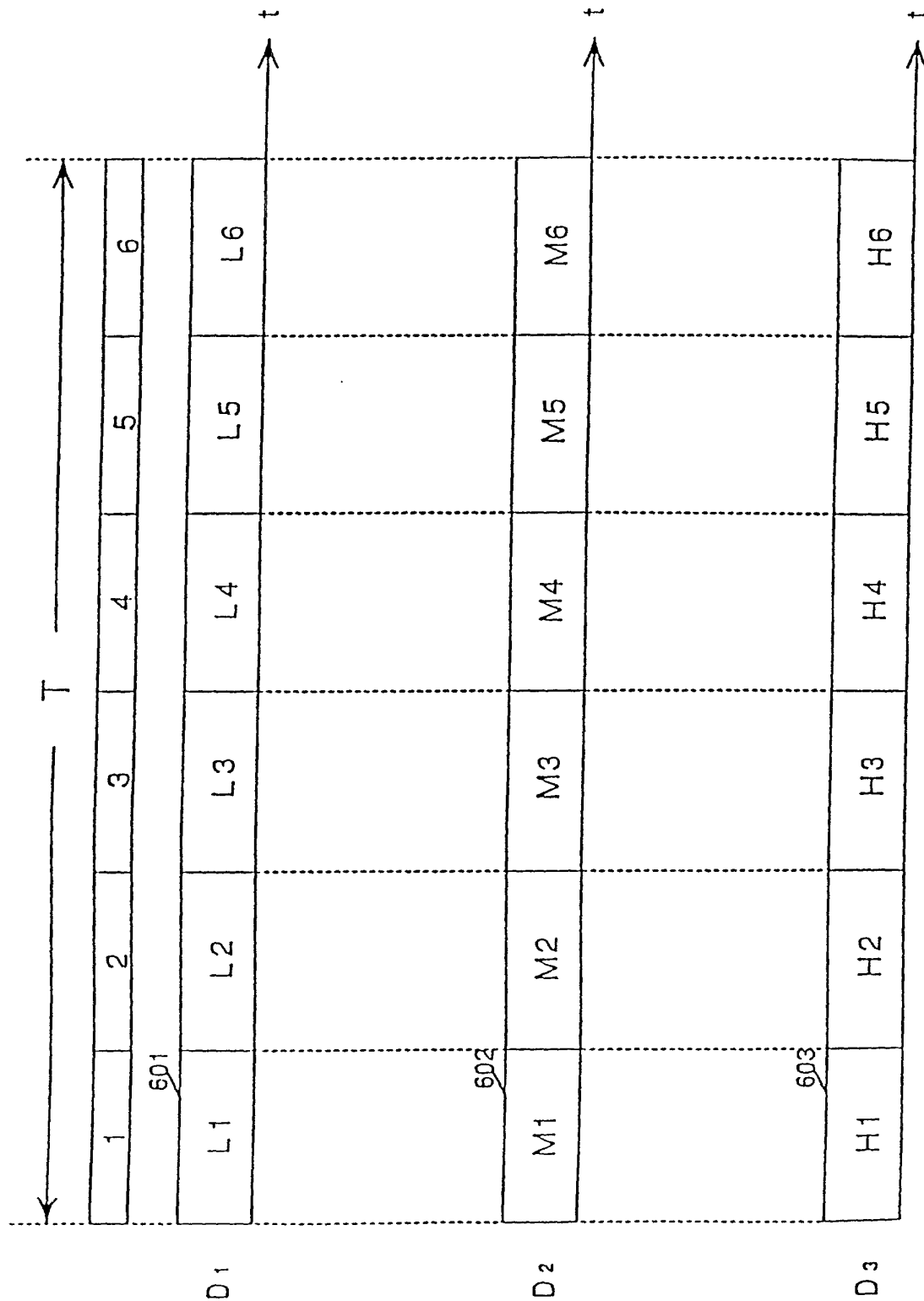


FIG. 35

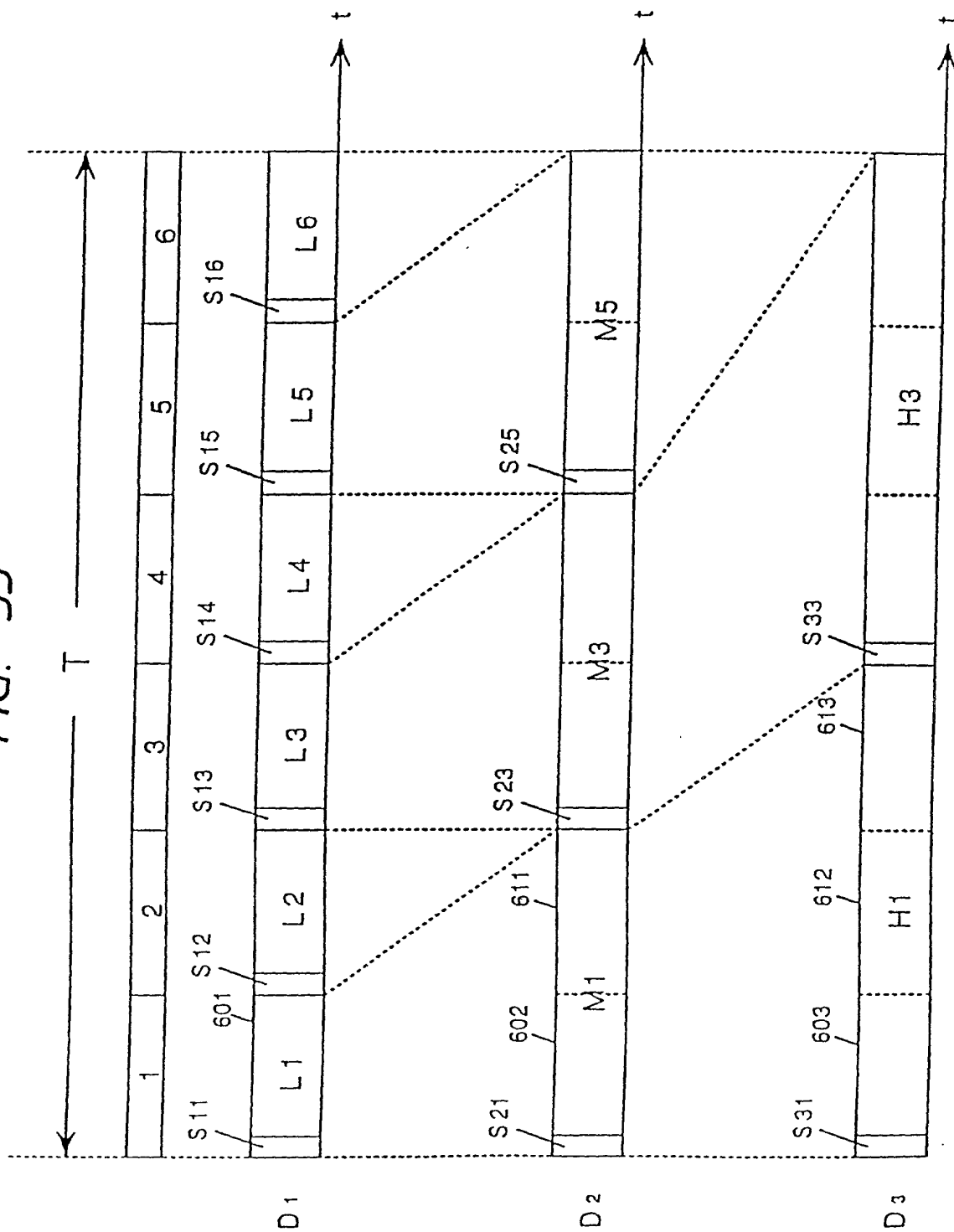


FIG. 36

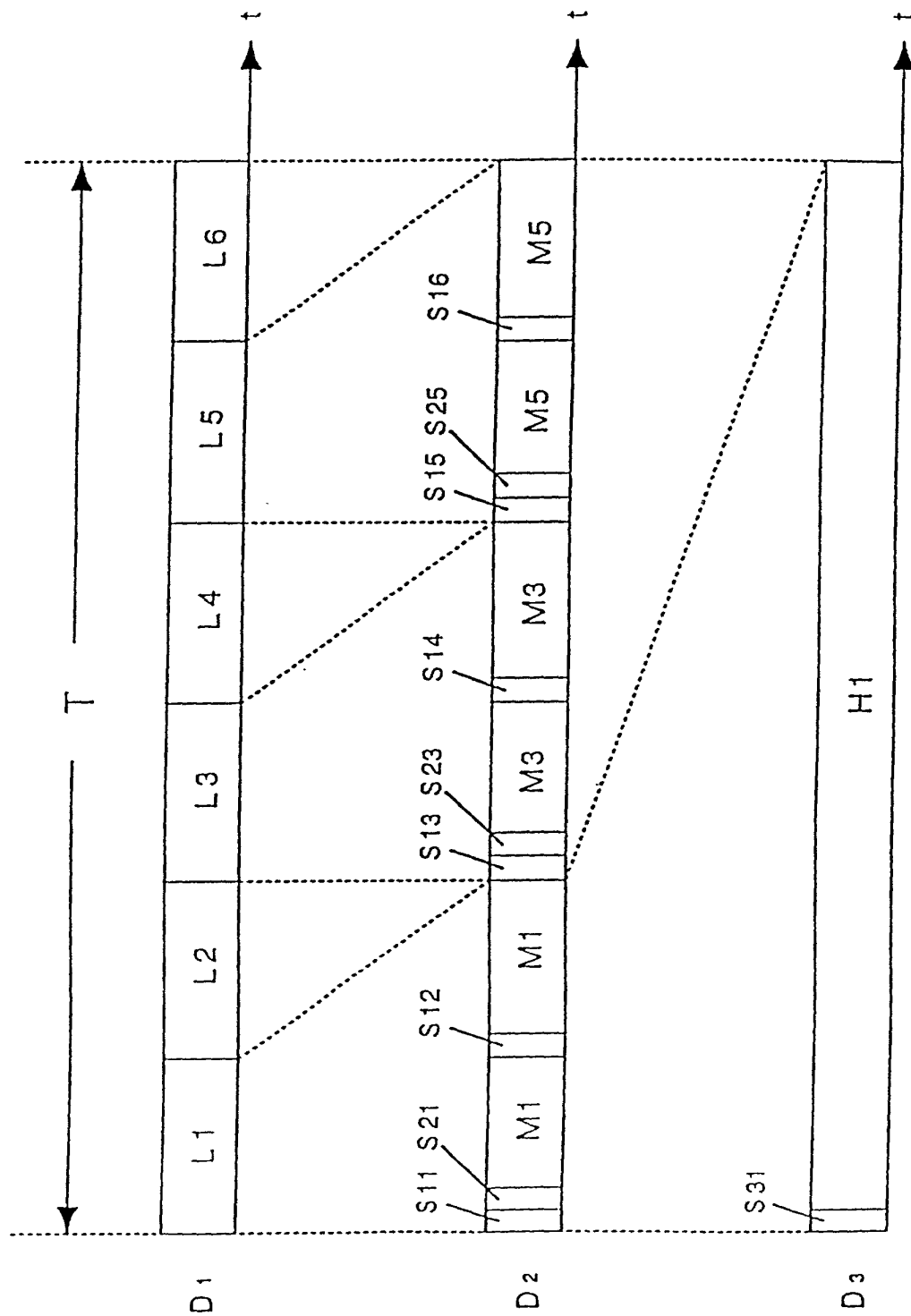


FIG. 37

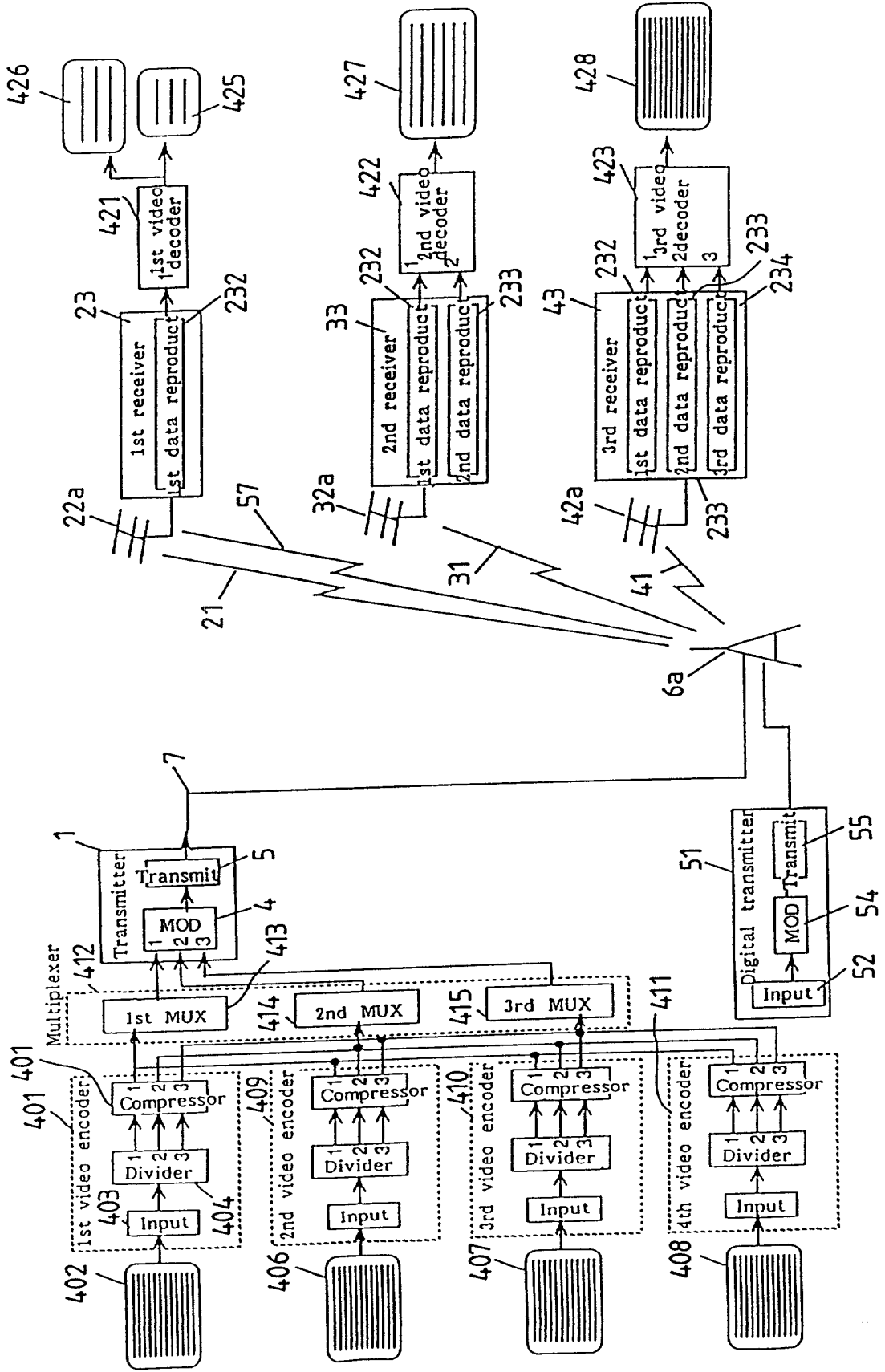
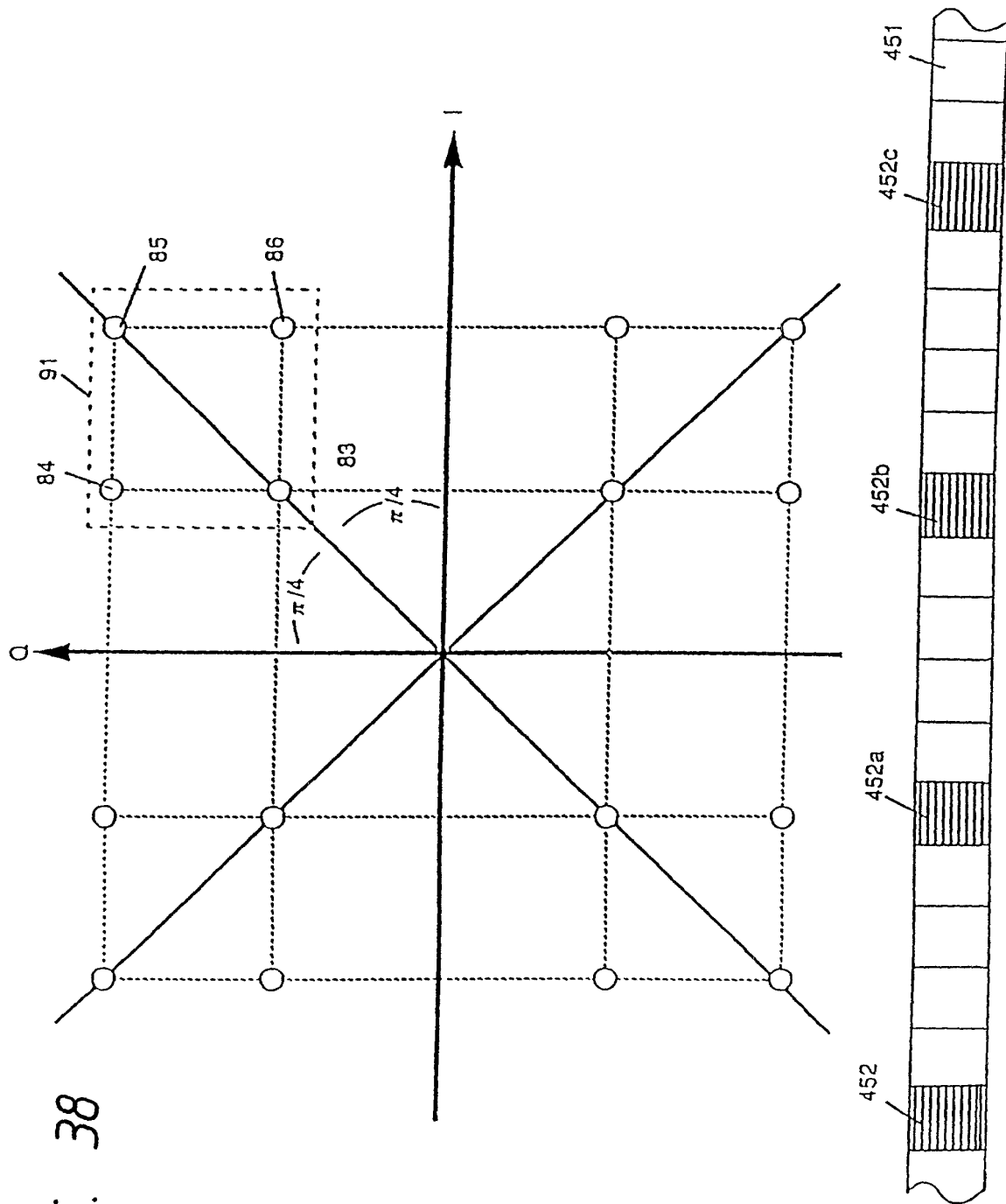
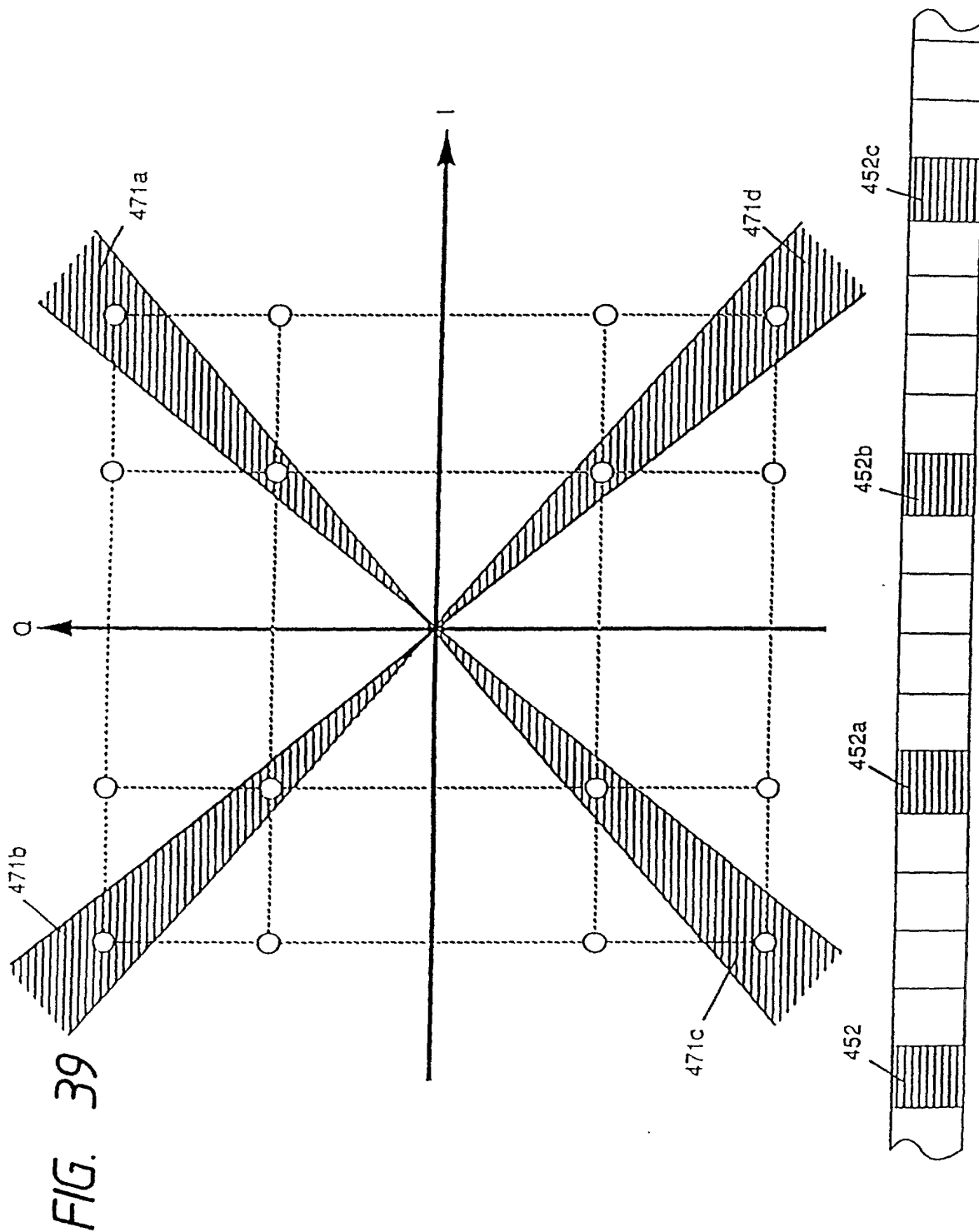


FIG. 38





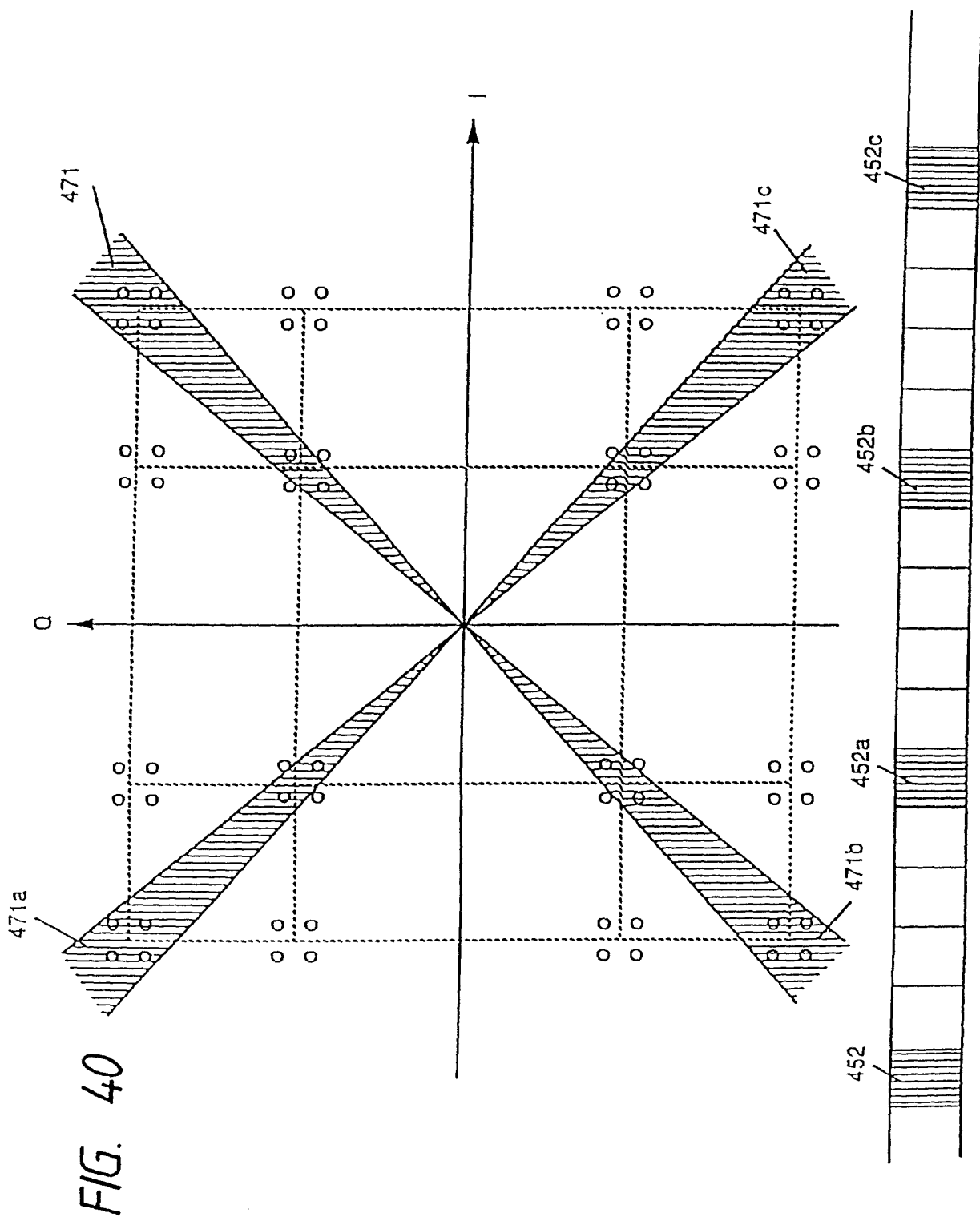


FIG. 42

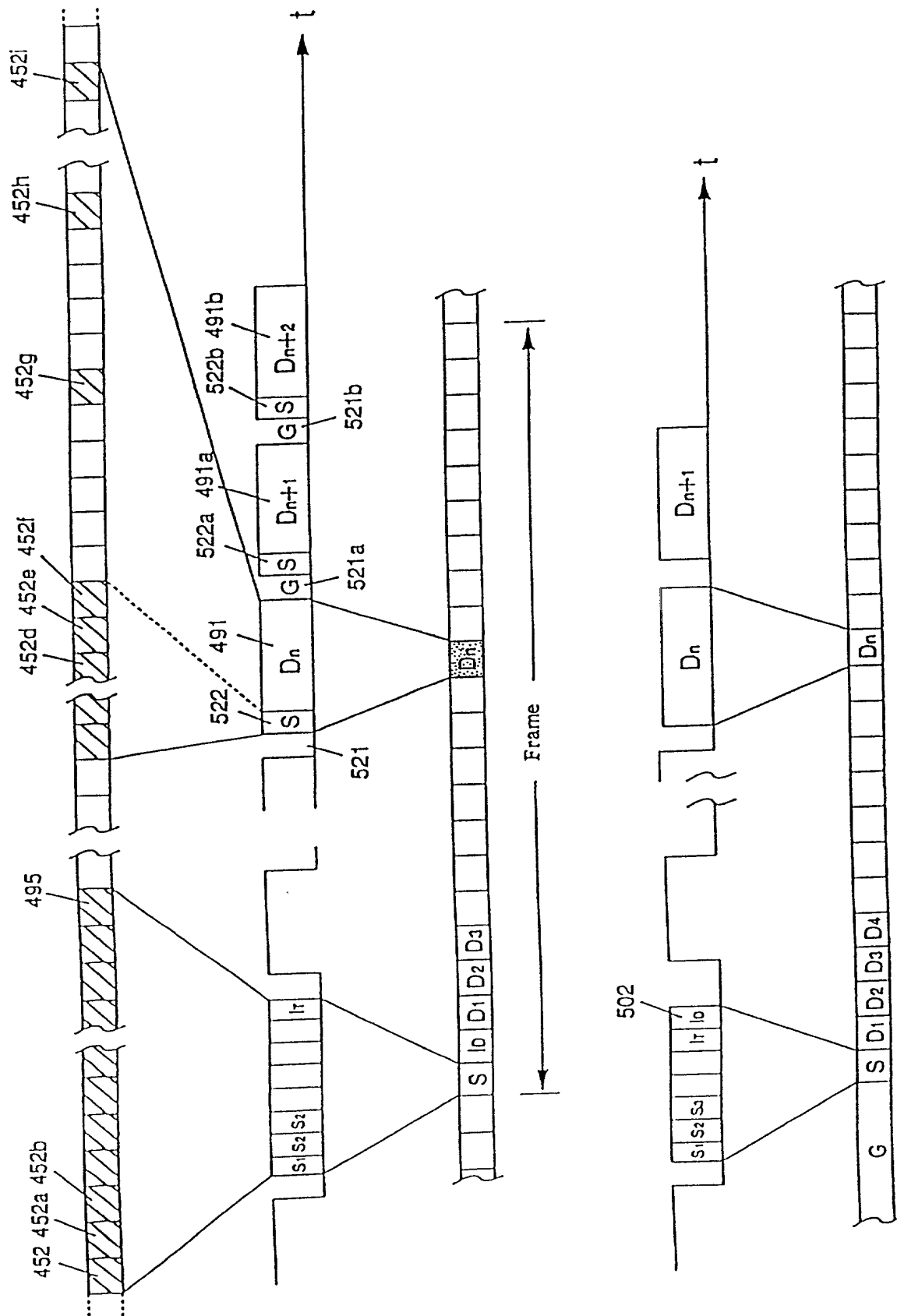


FIG. 43

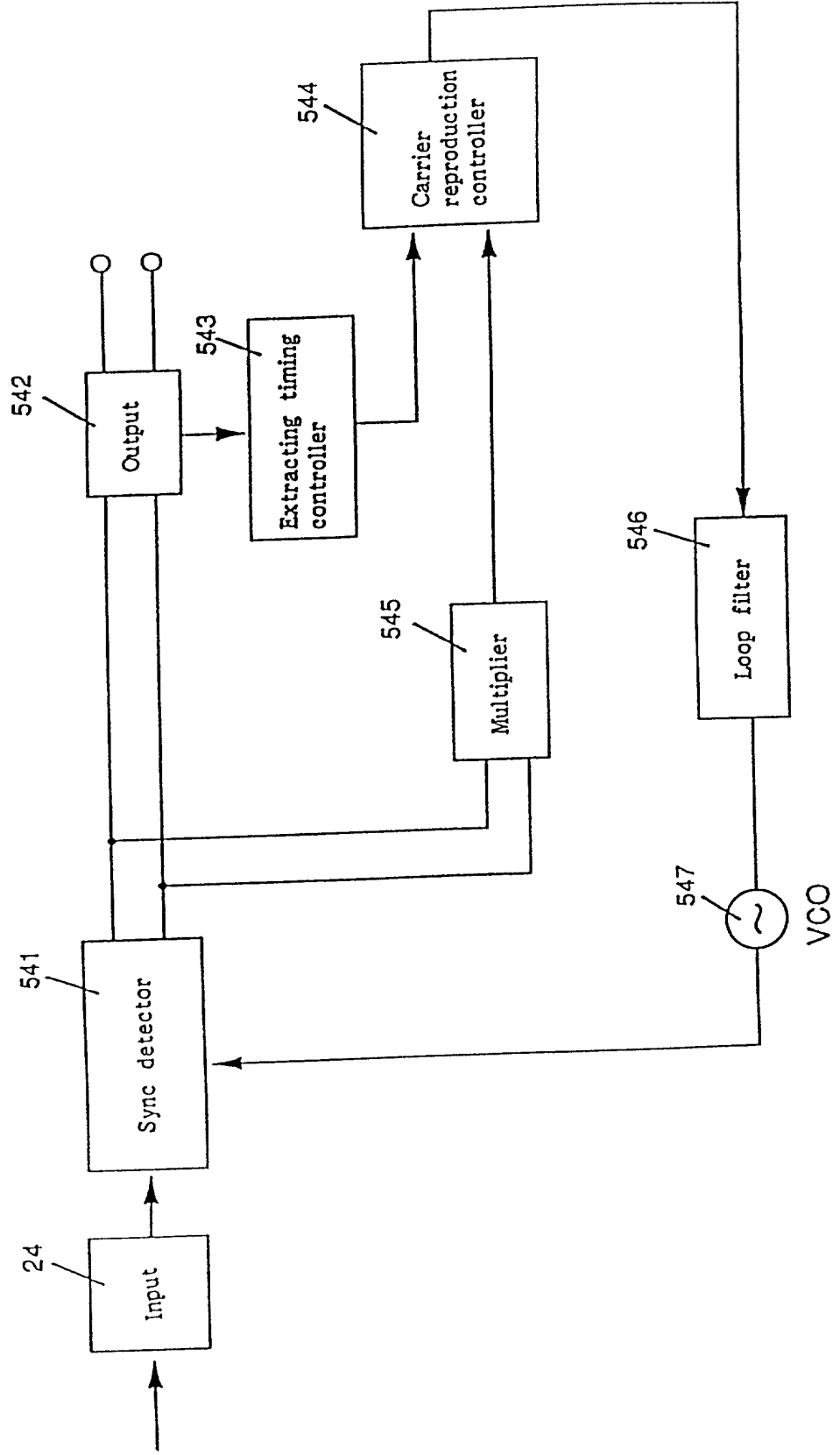


FIG. 44

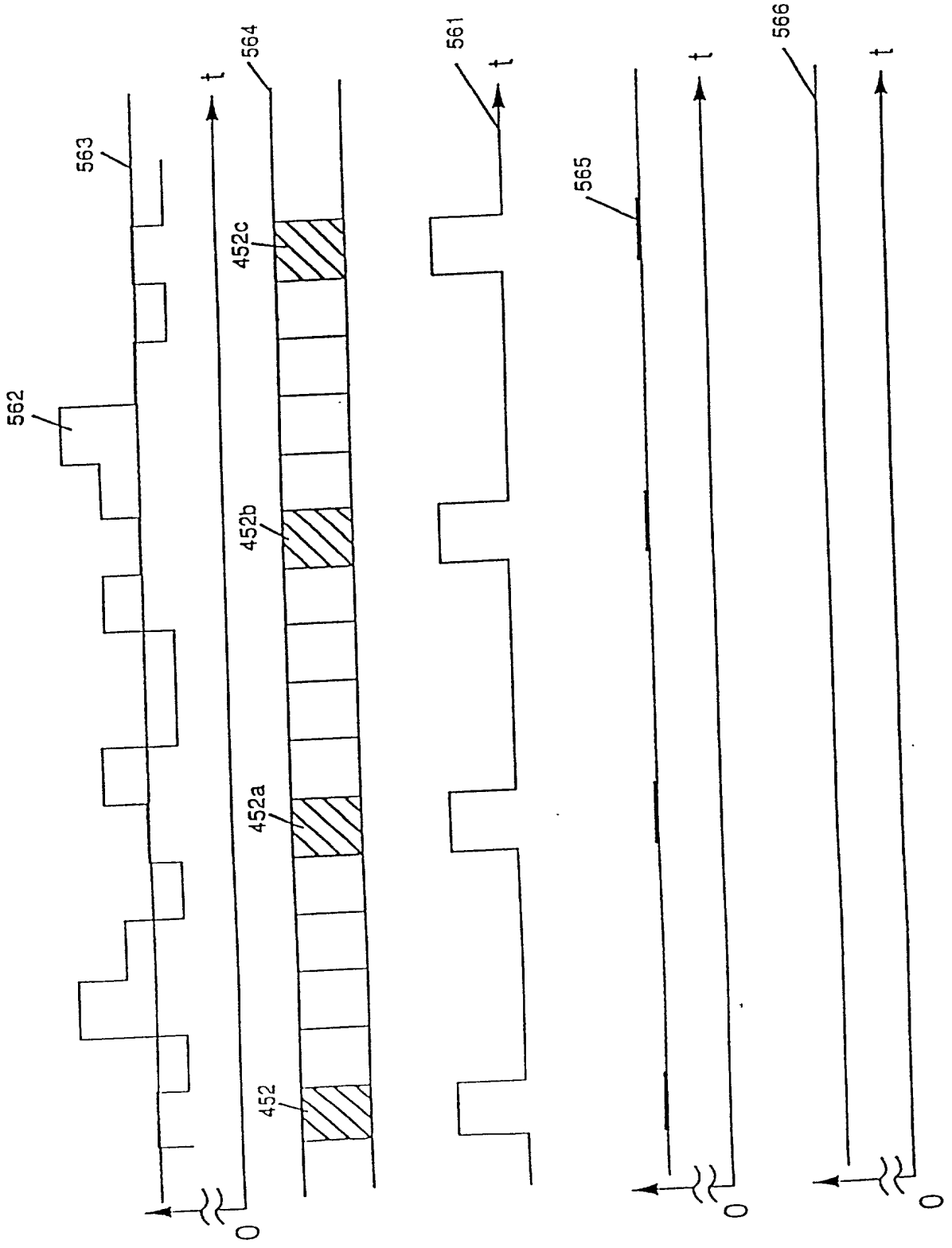


FIG. 45

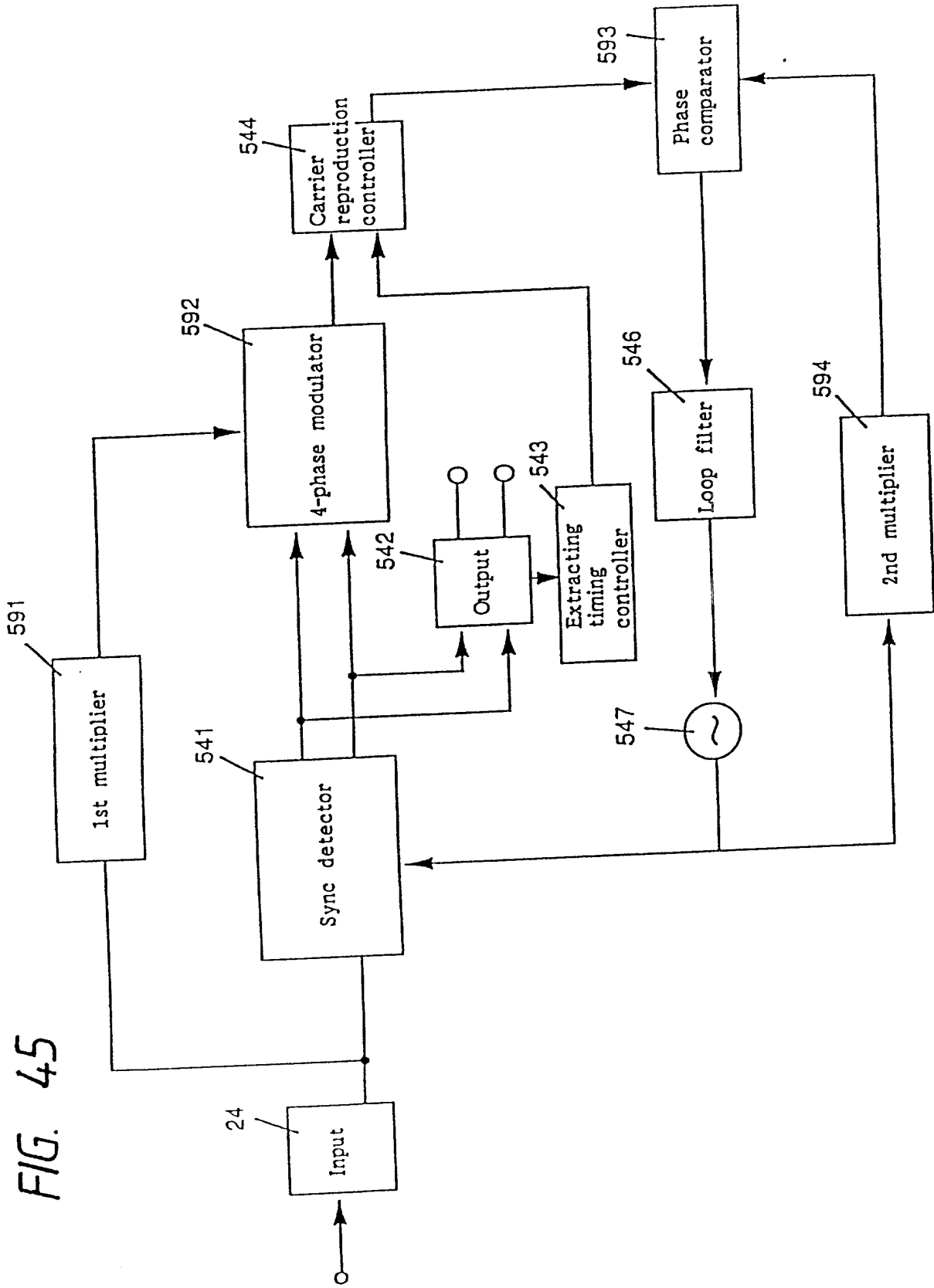


FIG. 46

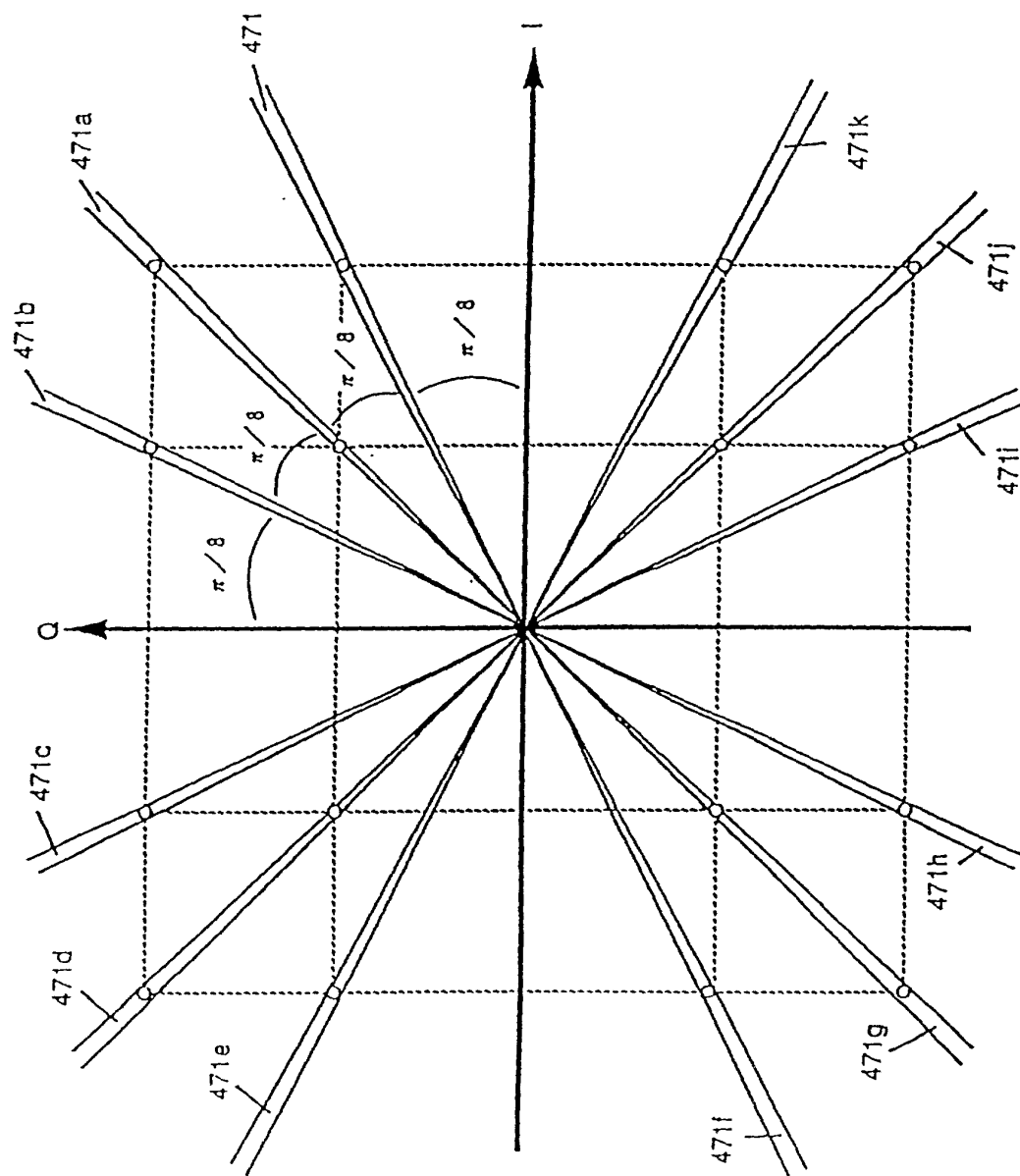


FIG. 47

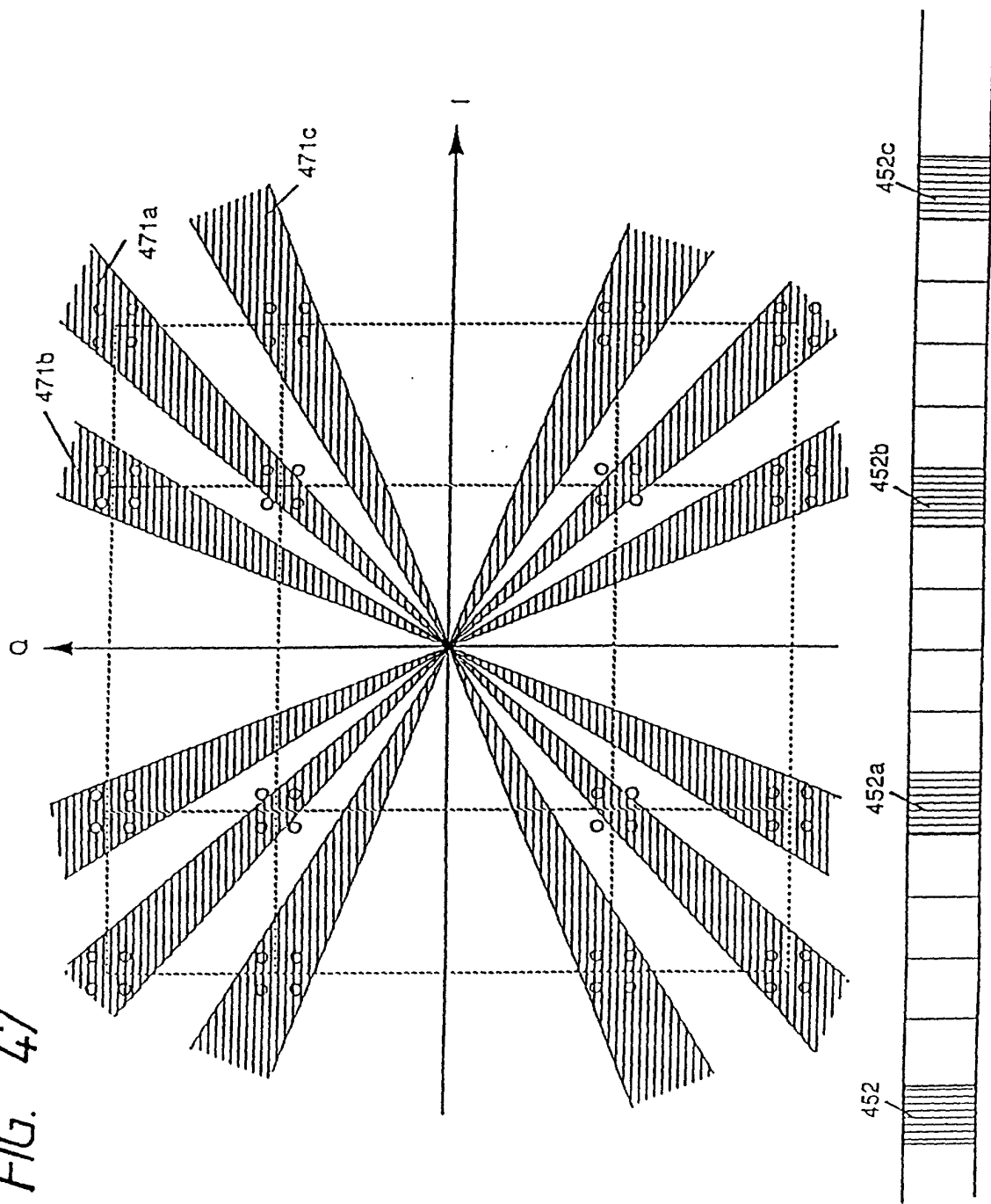


FIG. 48

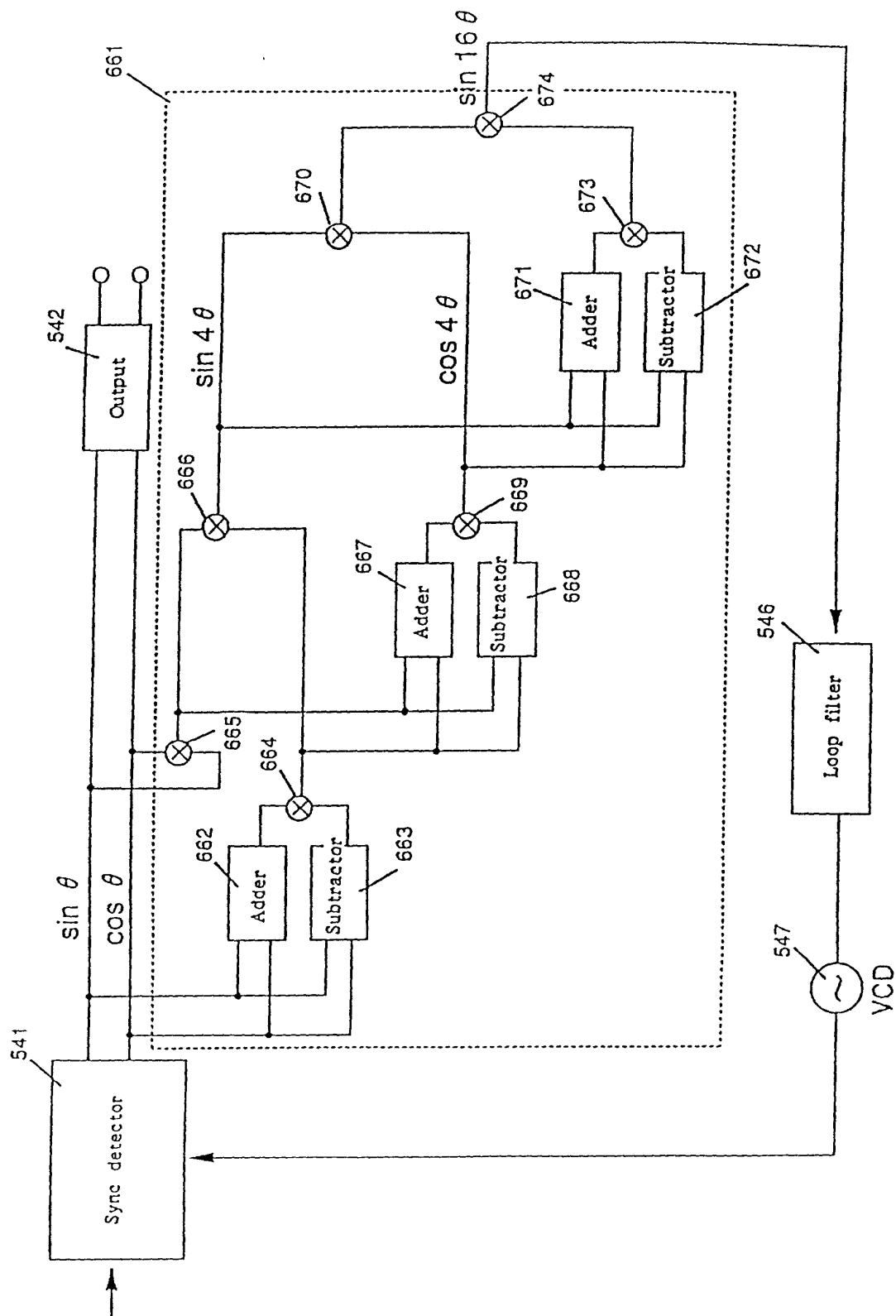


FIG. 49

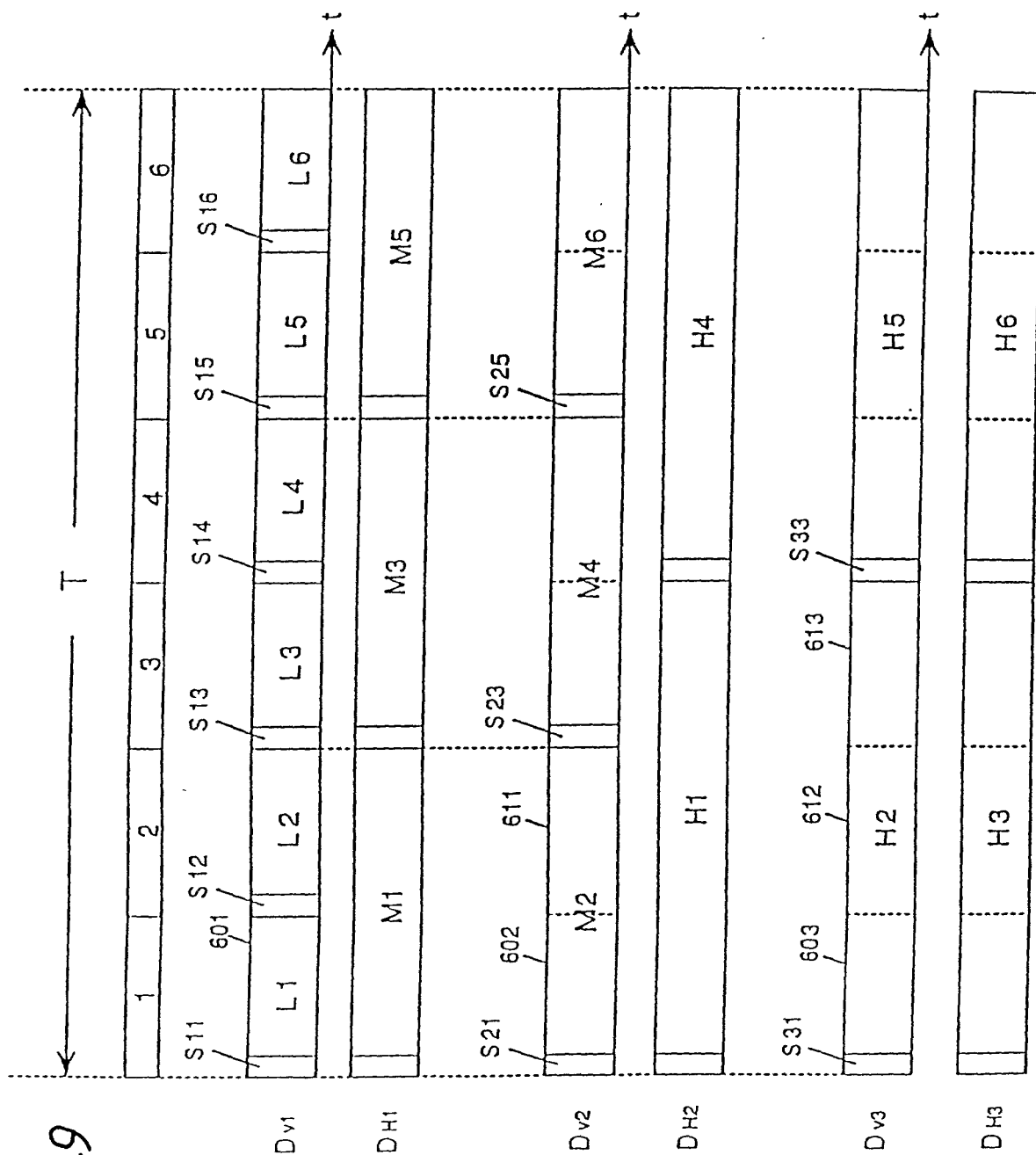


FIG. 50

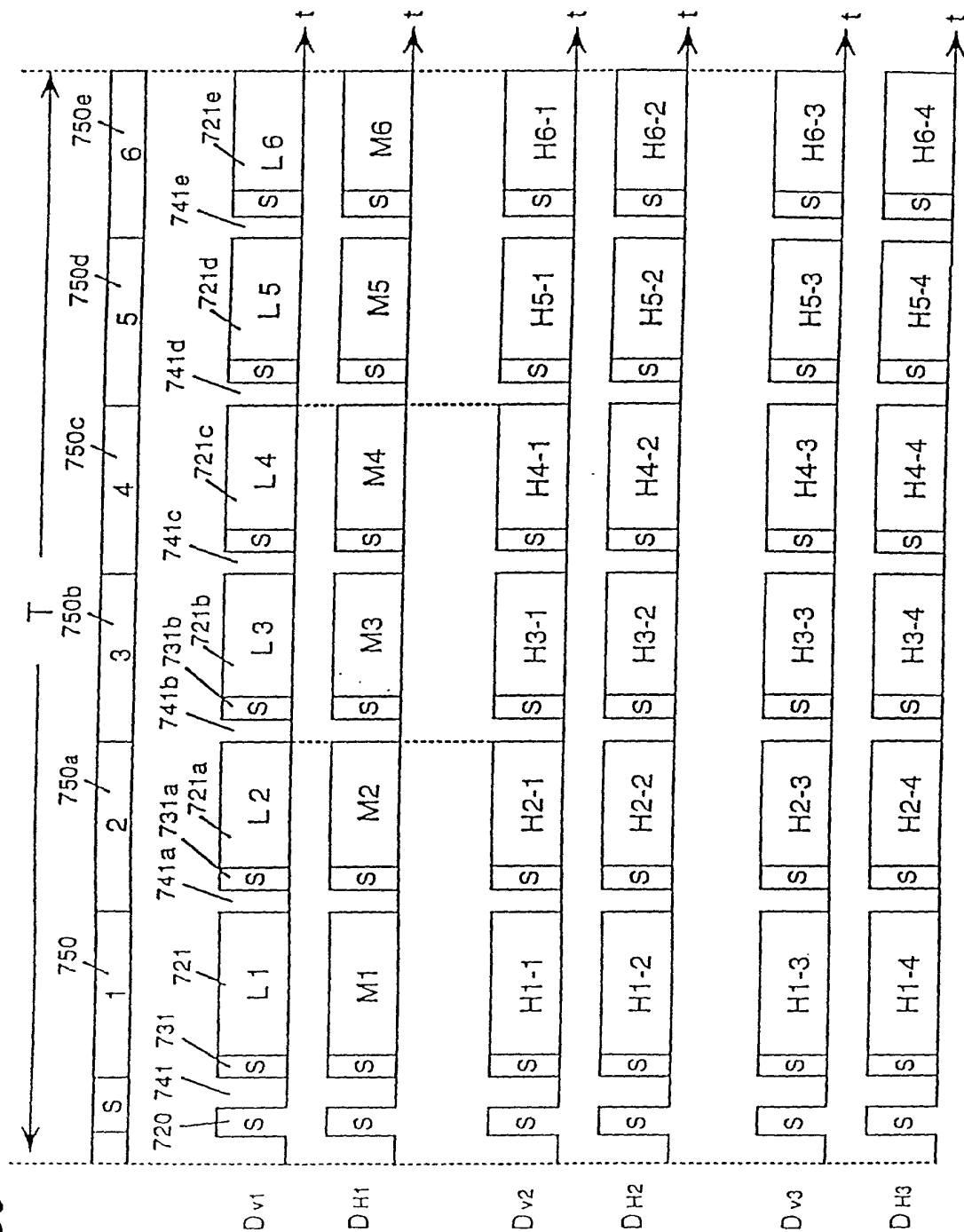


FIG. 51

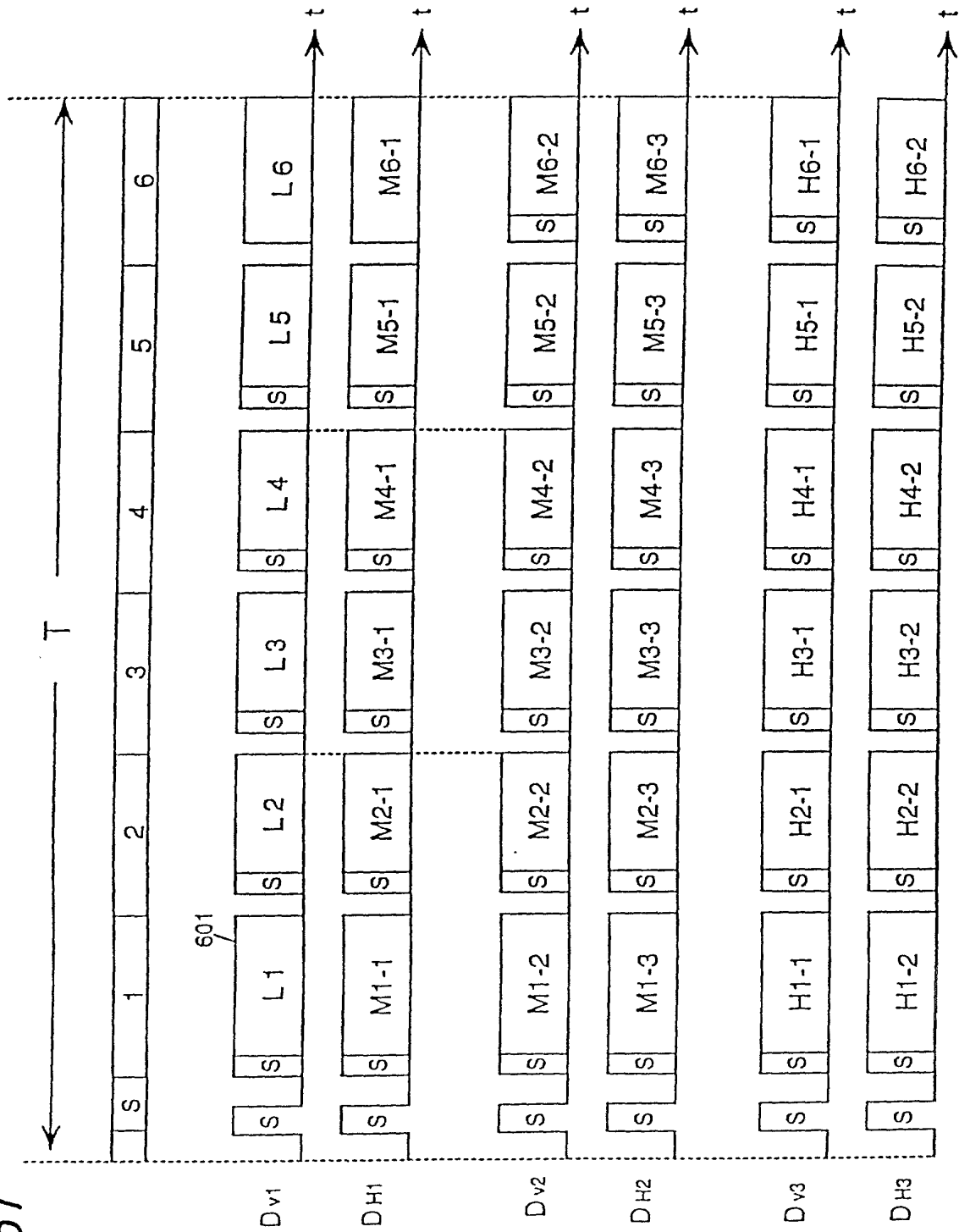


FIG. 52

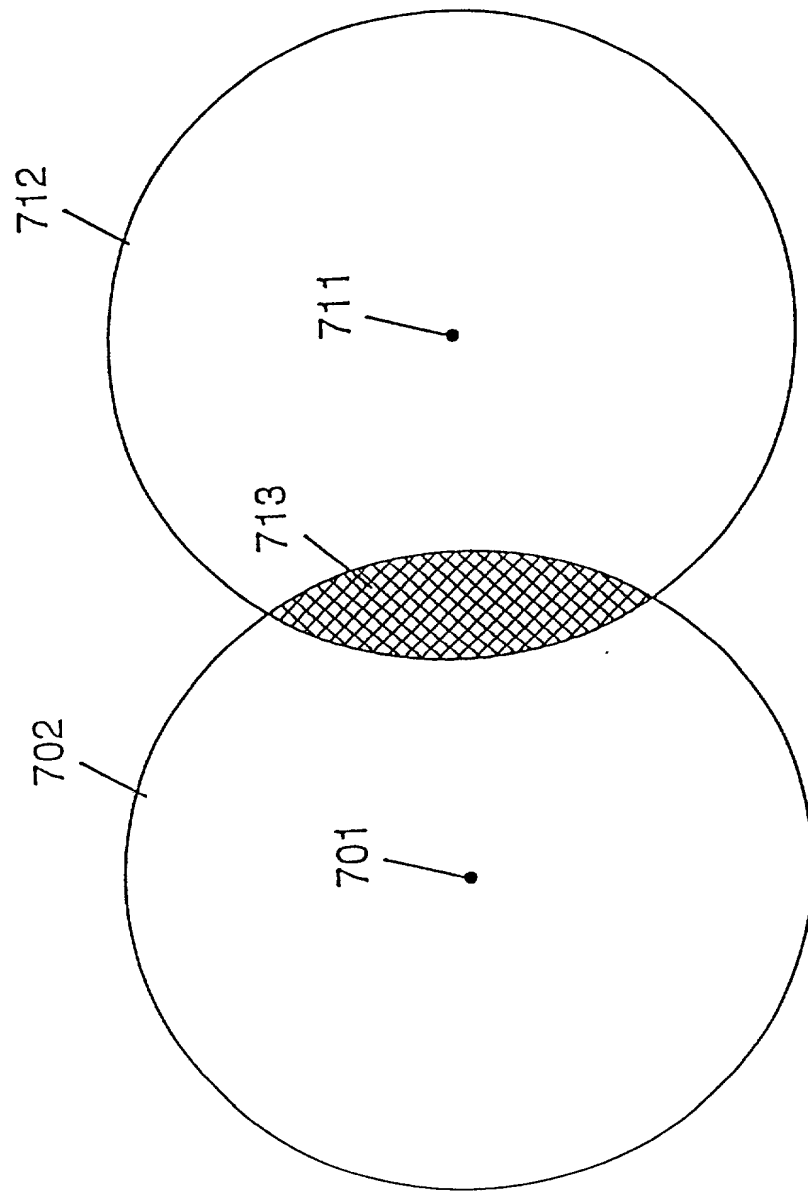


FIG. 53

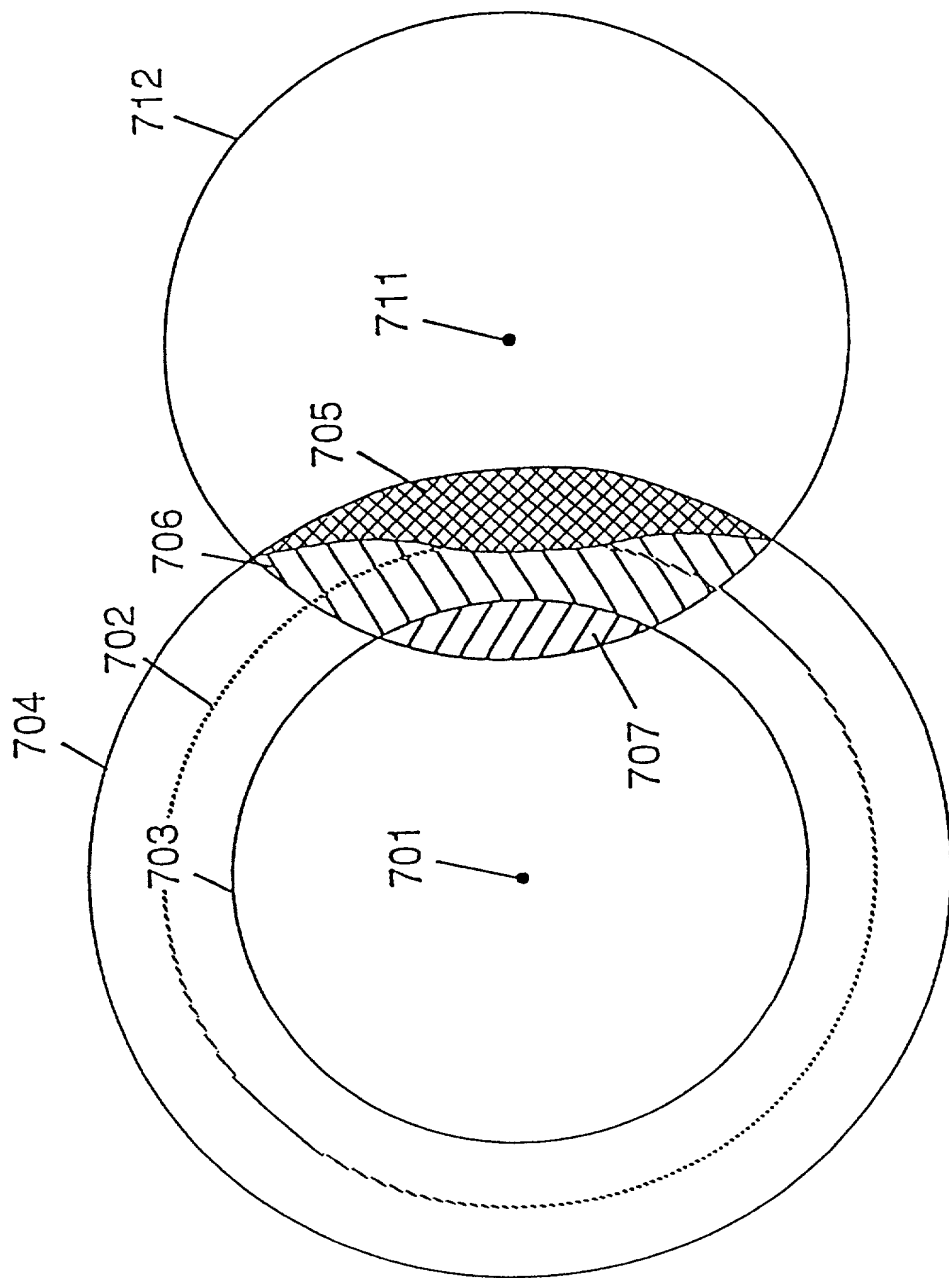


FIG. 54

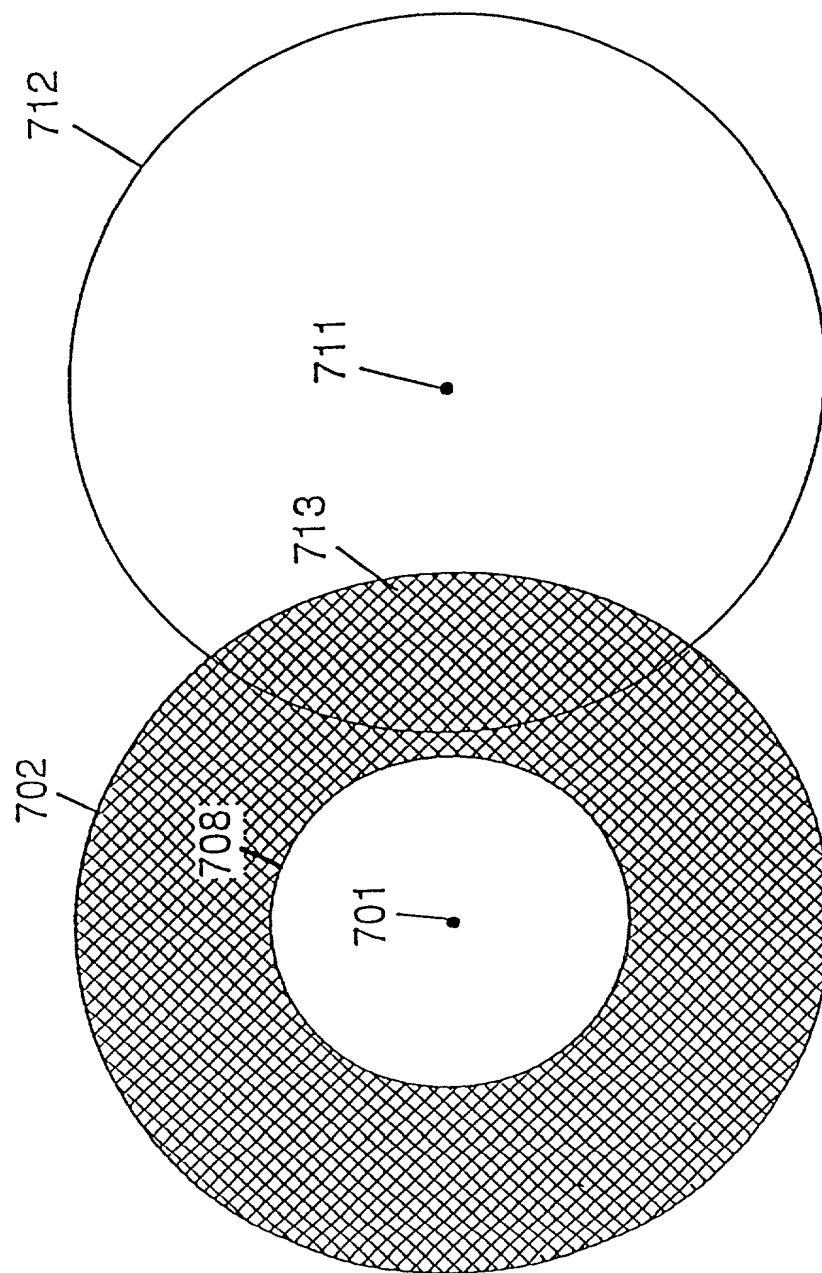


FIG. 55

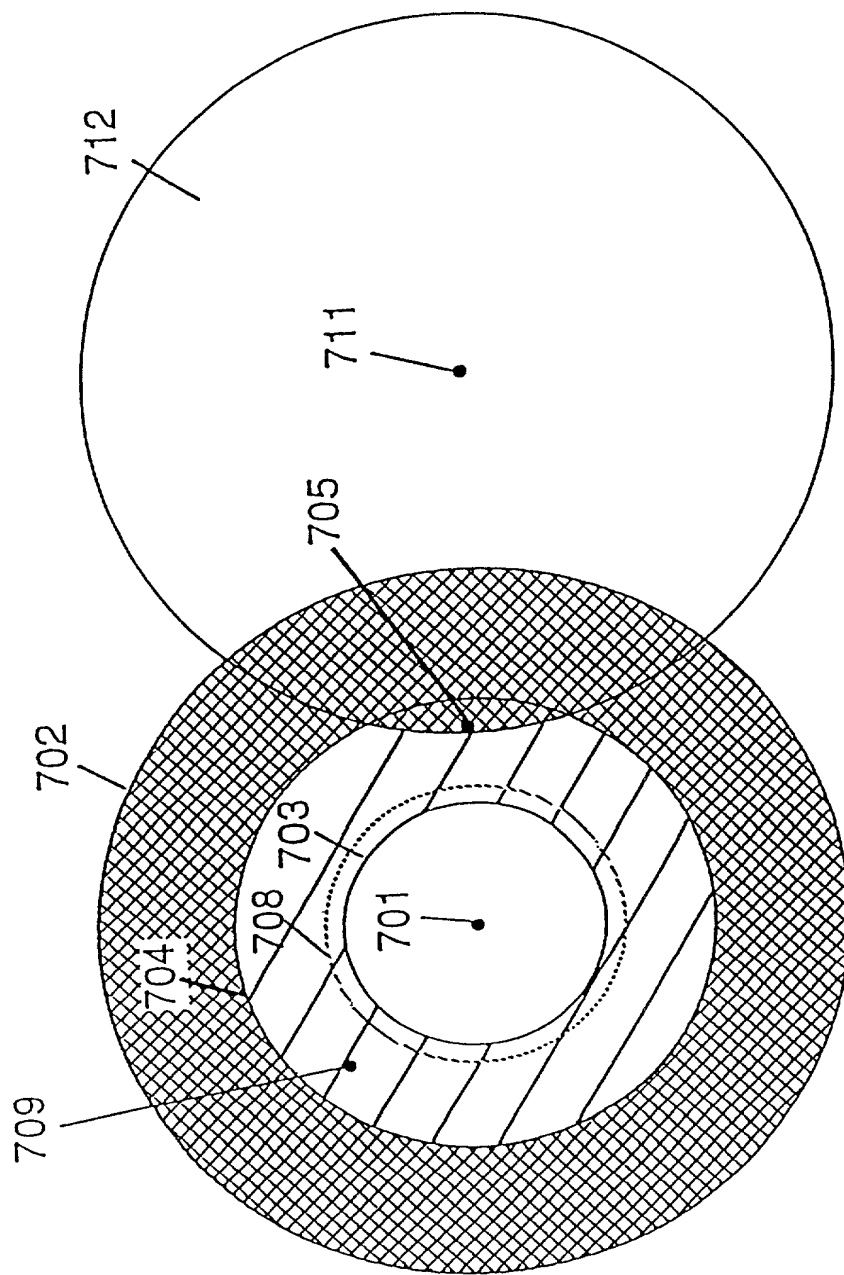


FIG. 56

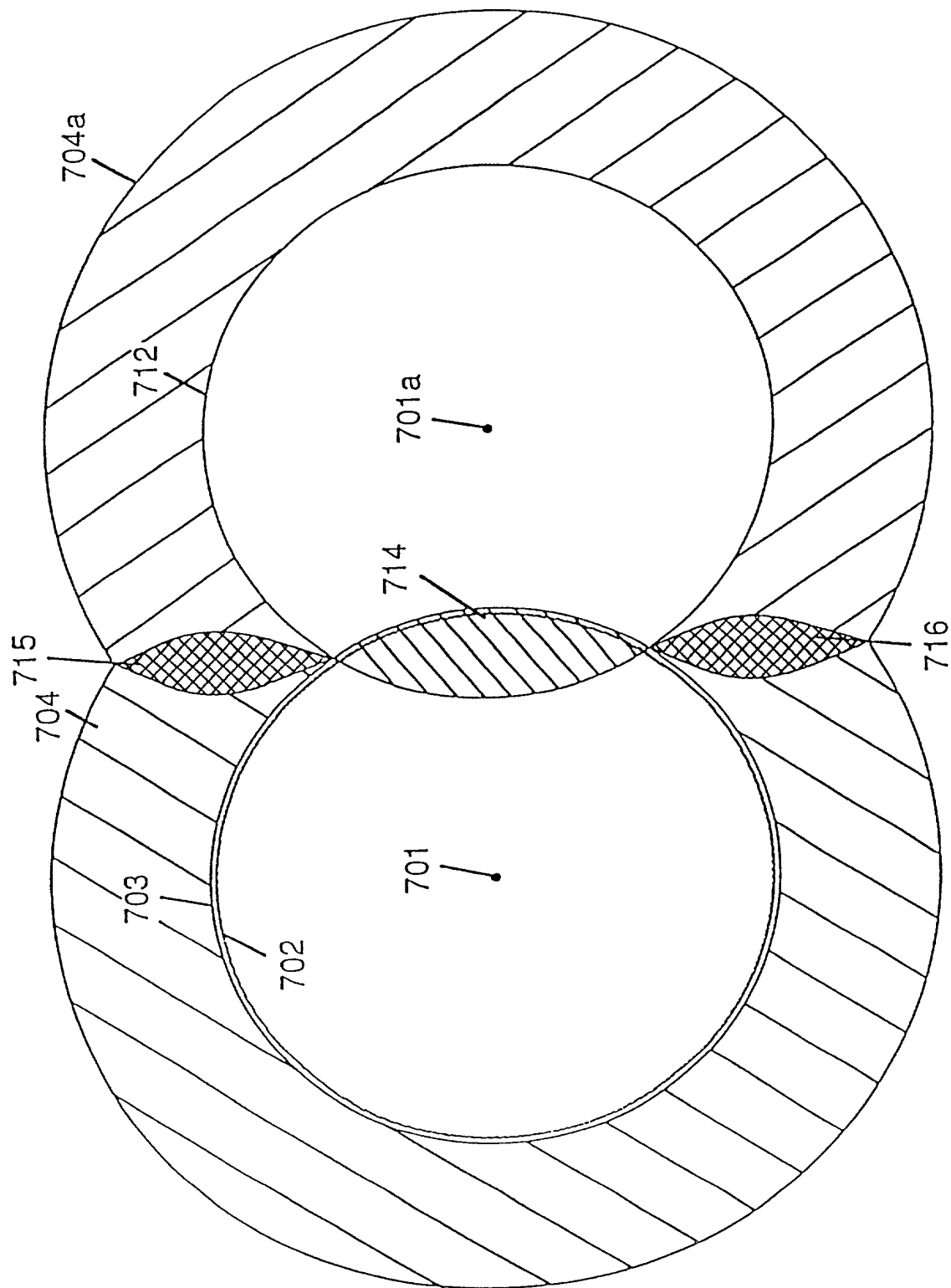


FIG. 57

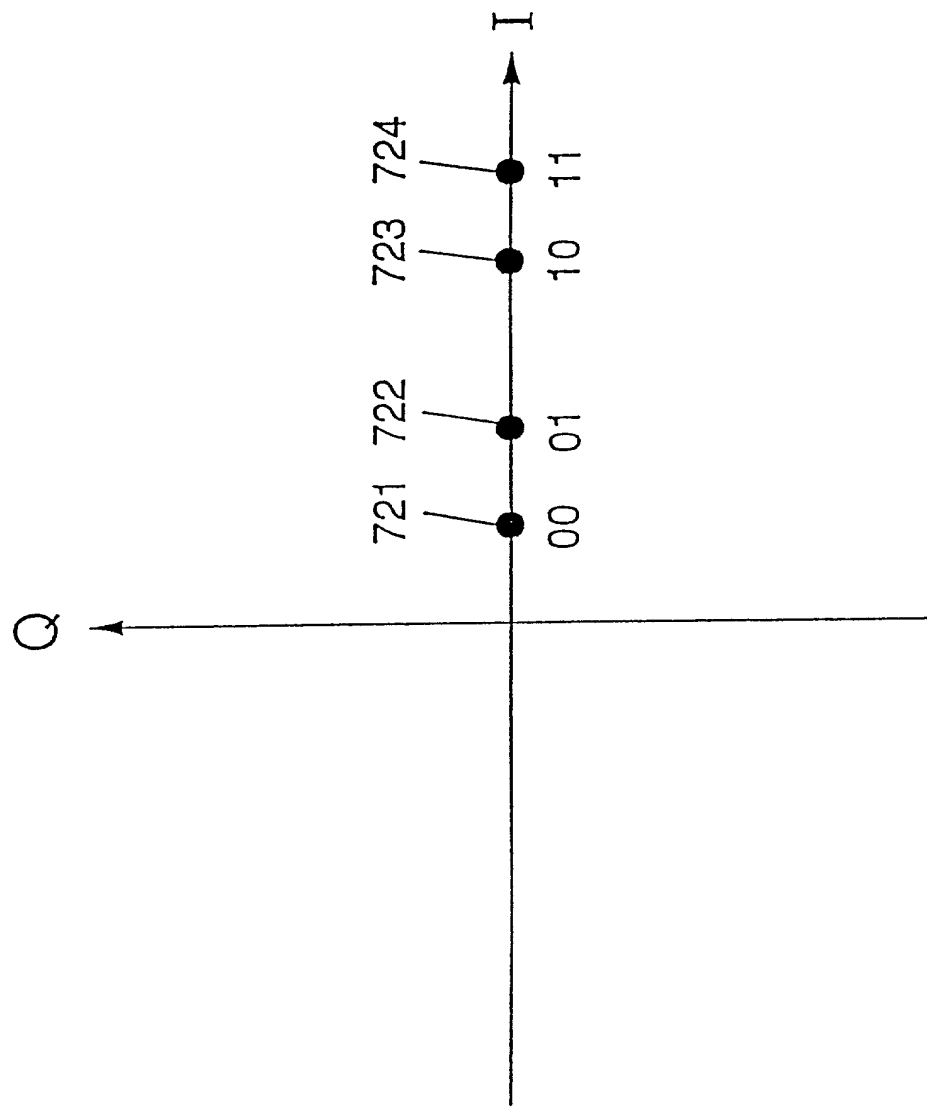


FIG. 58

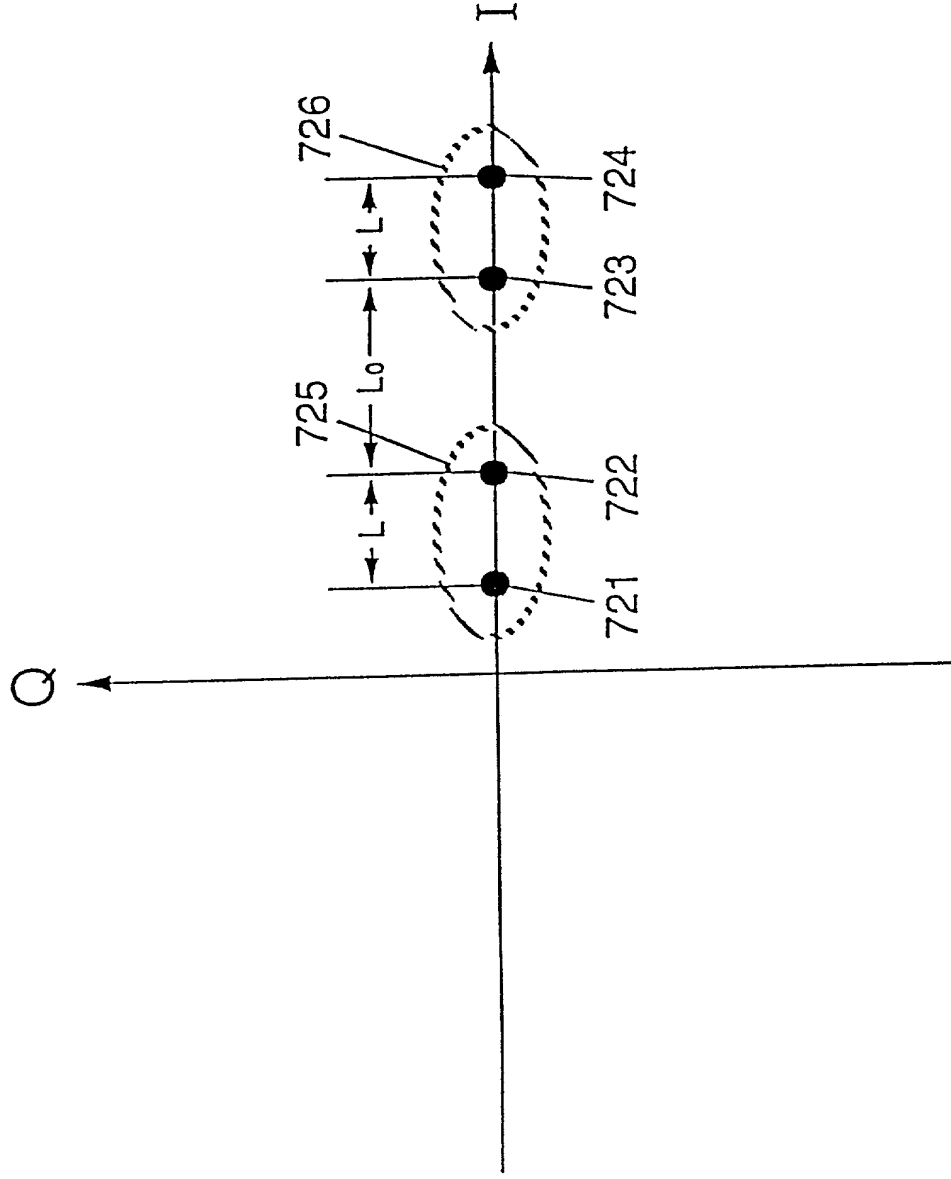


FIG. 59(a)

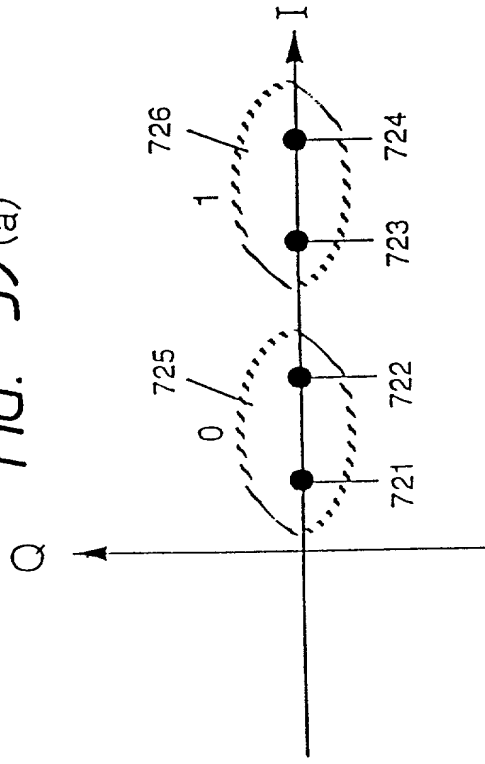


FIG. 59(c)

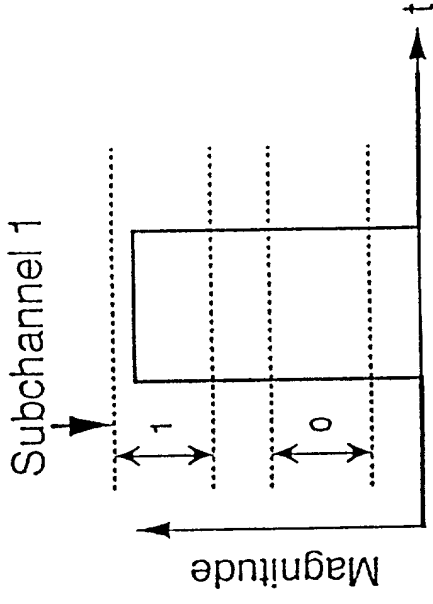


FIG. 59(b)

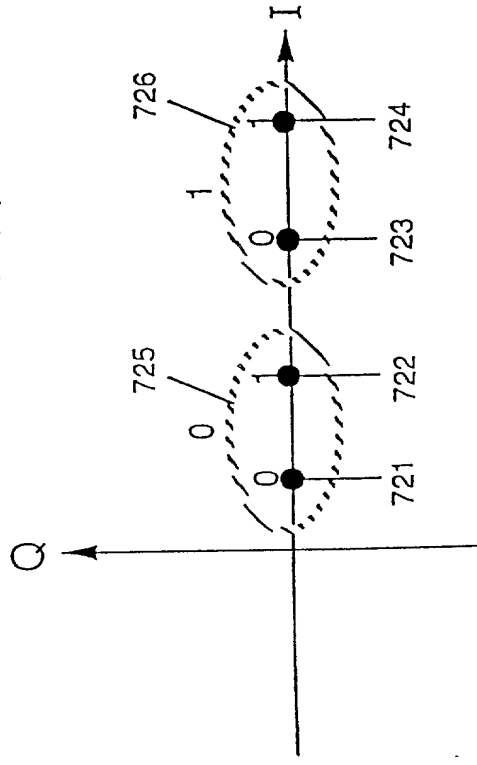


FIG. 59(d)

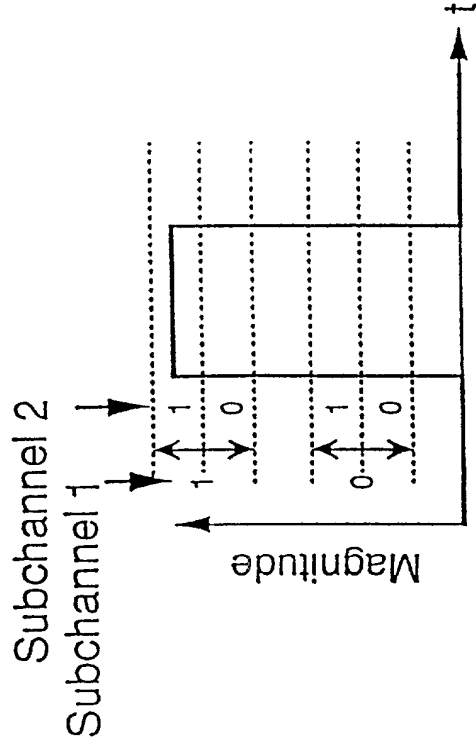


FIG. 60

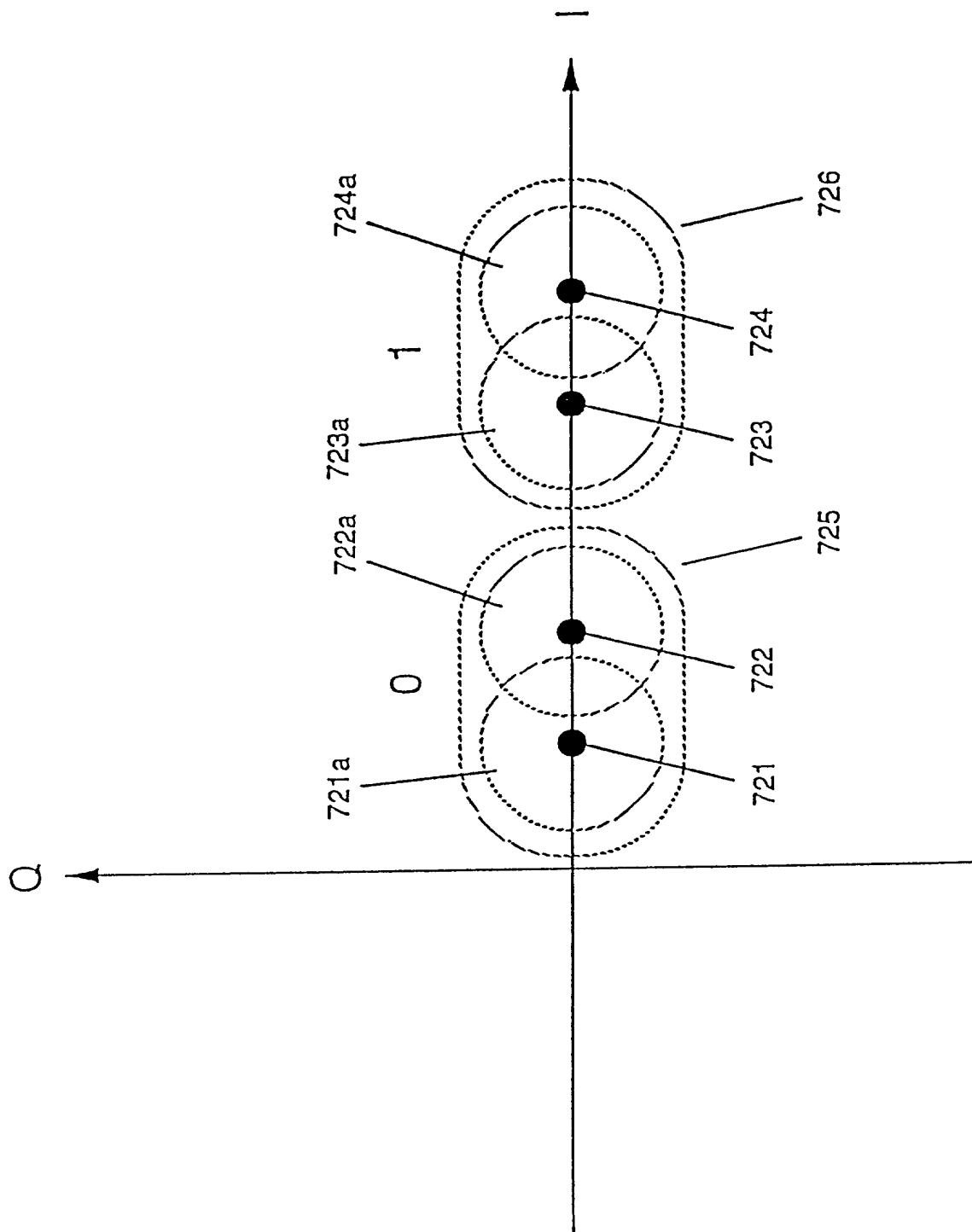


FIG. 61

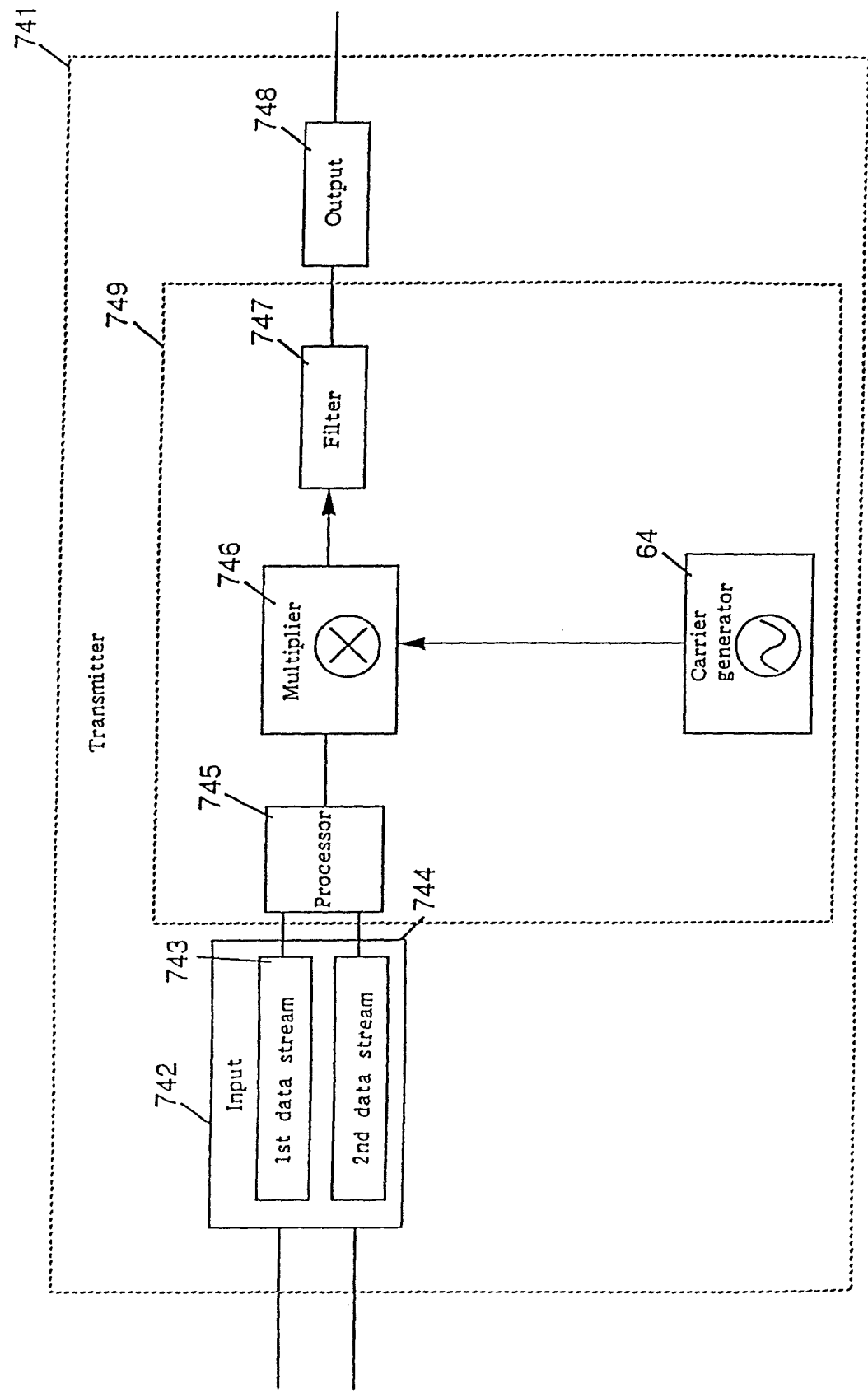


FIG. 62

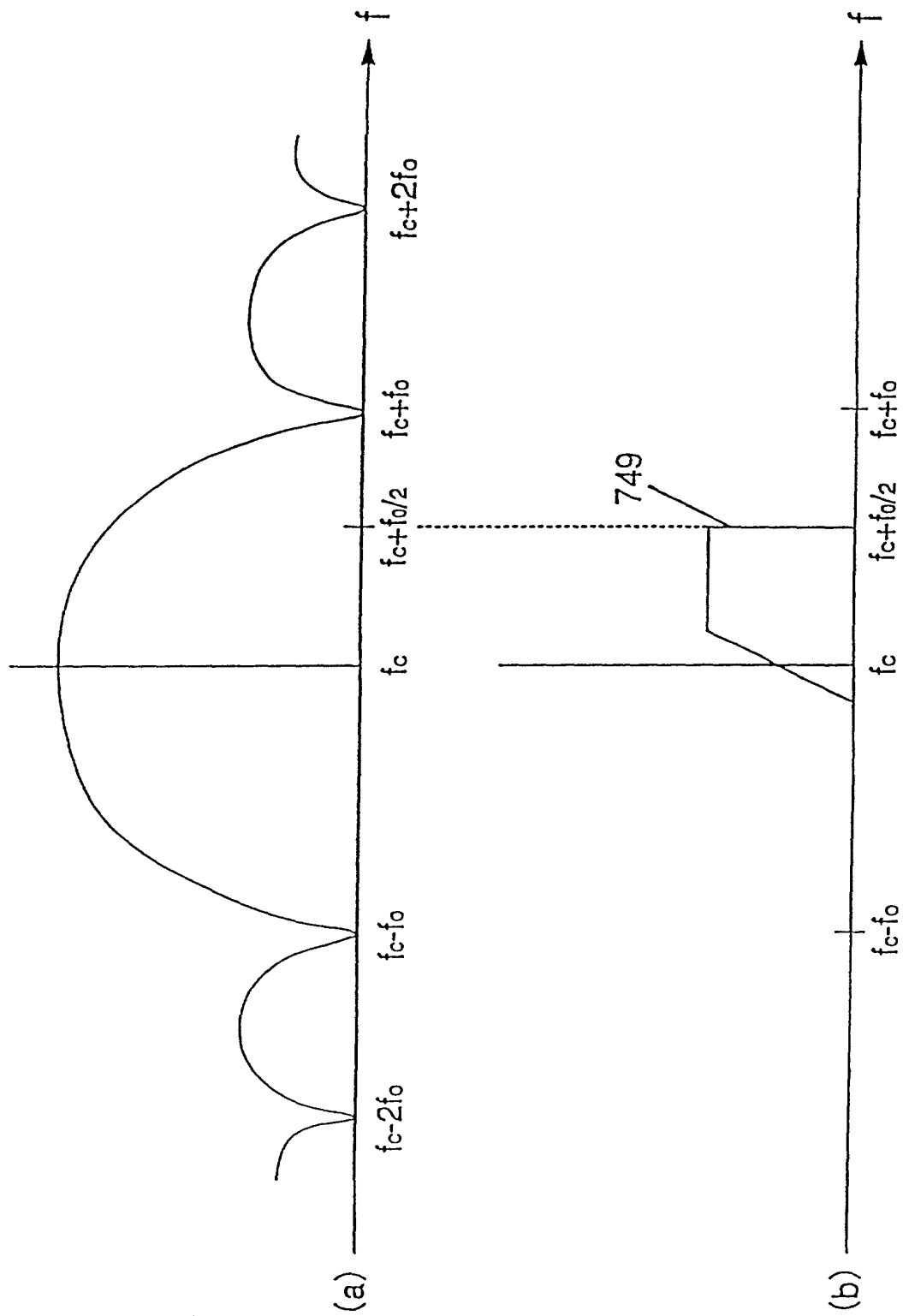


FIG. 63

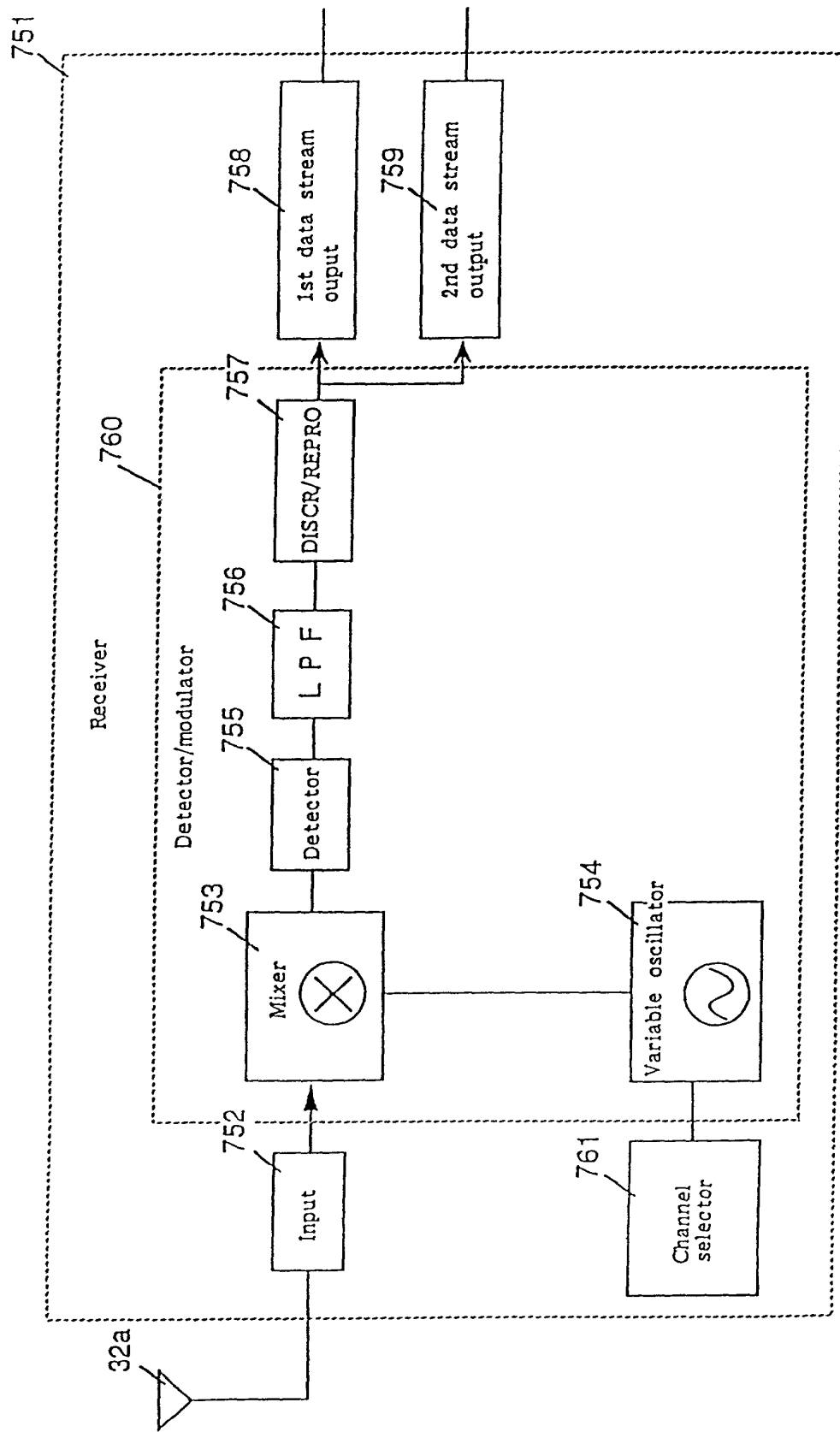


FIG. 64

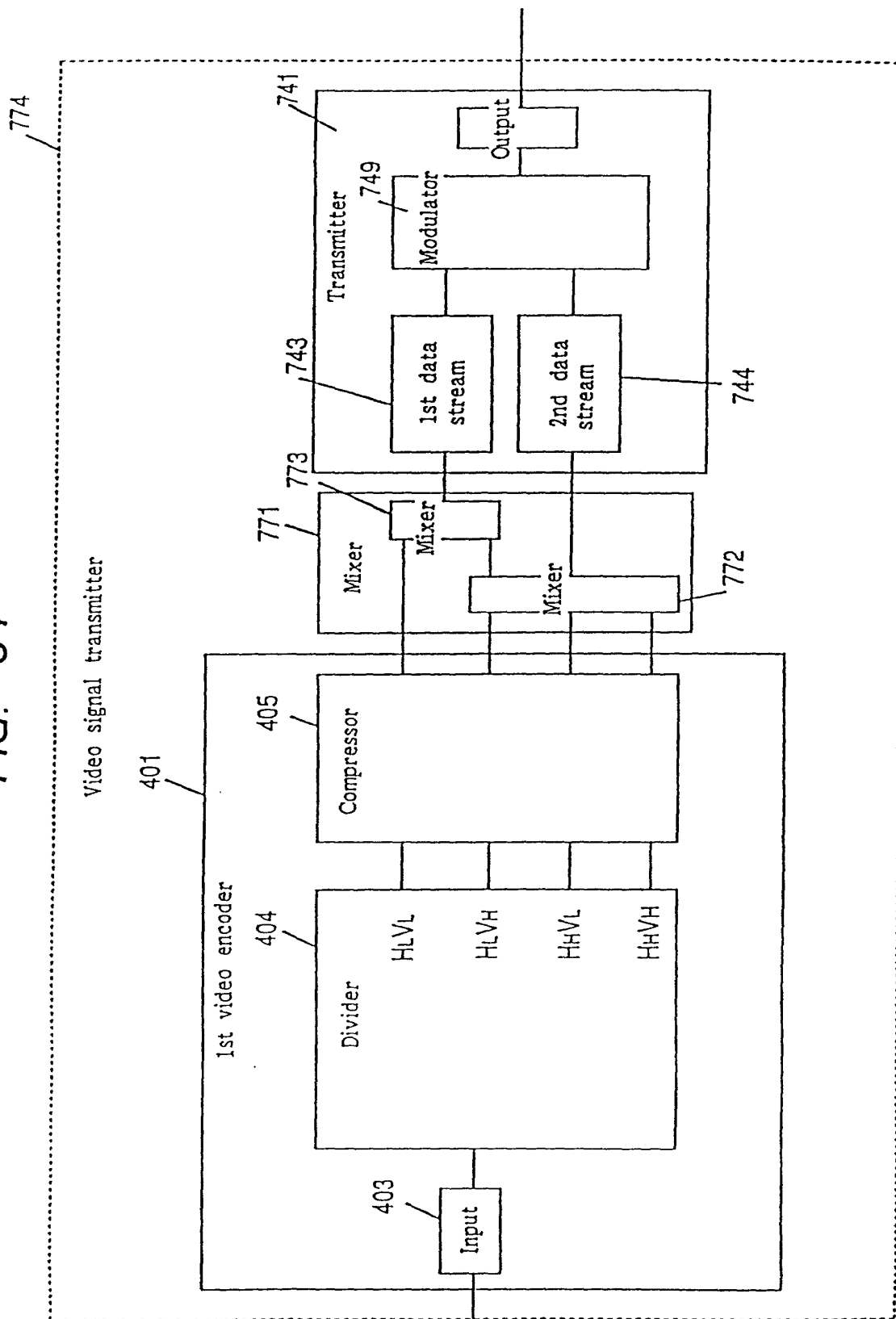


FIG. 65

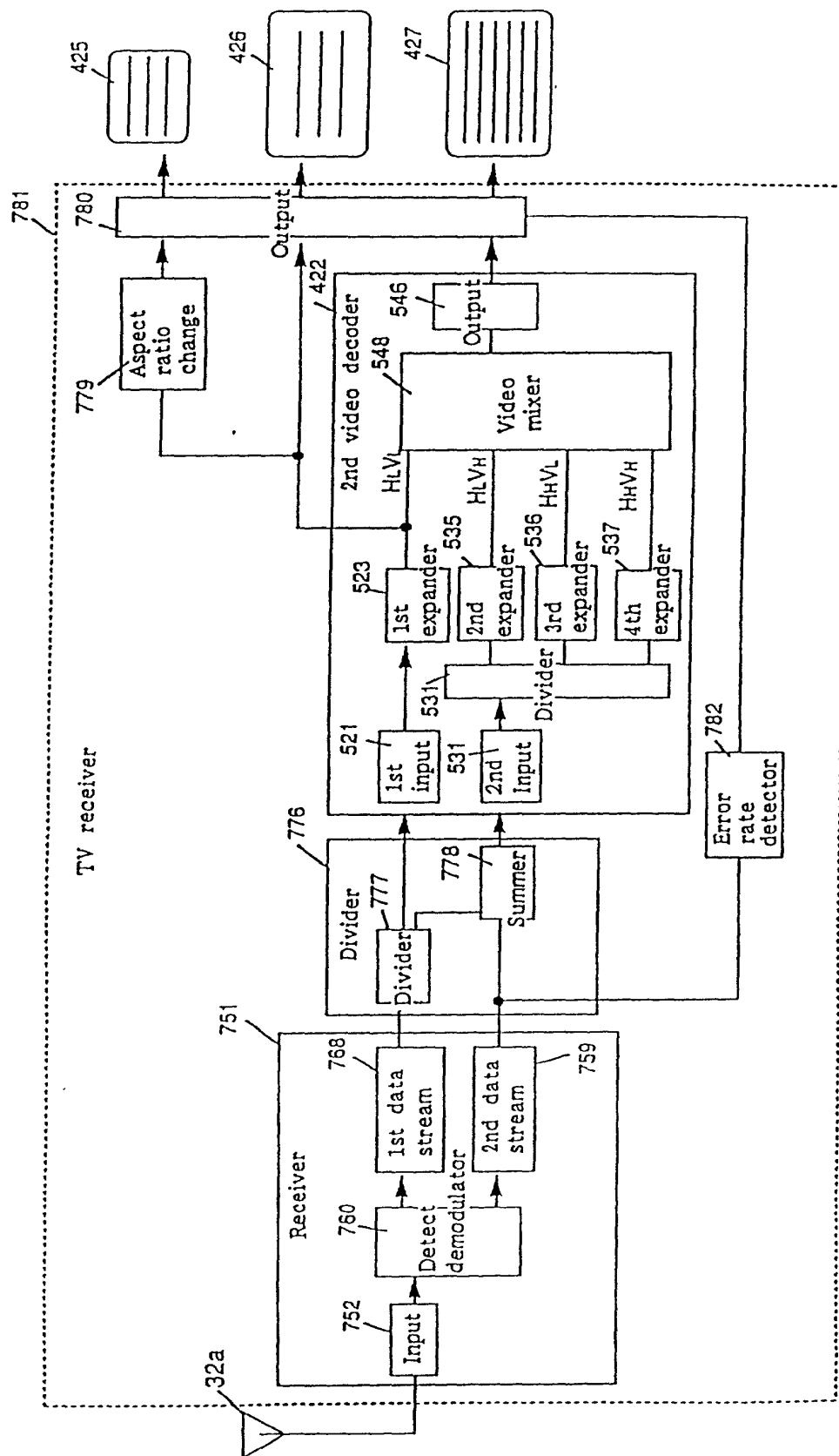


FIG. 66

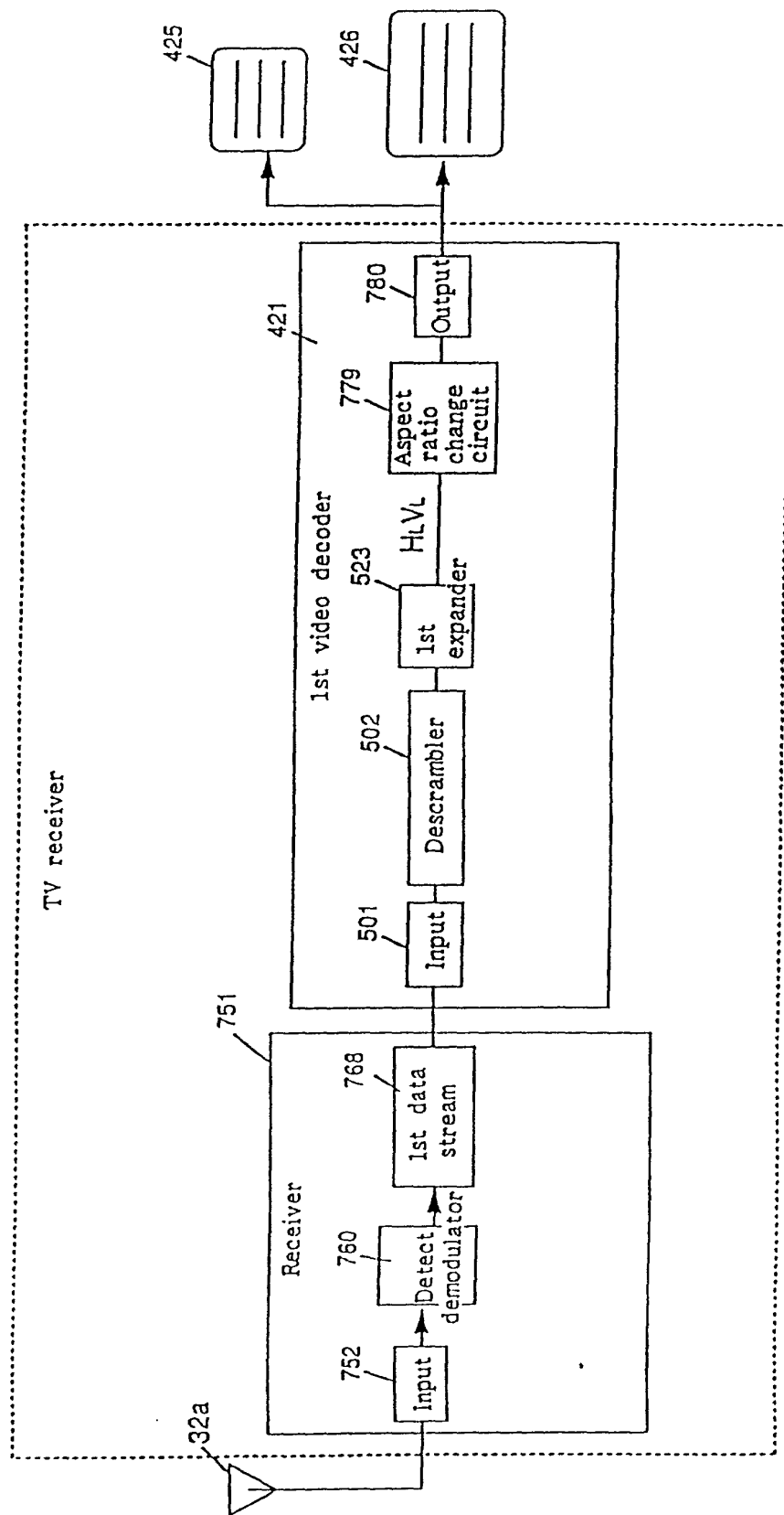


FIG. 67

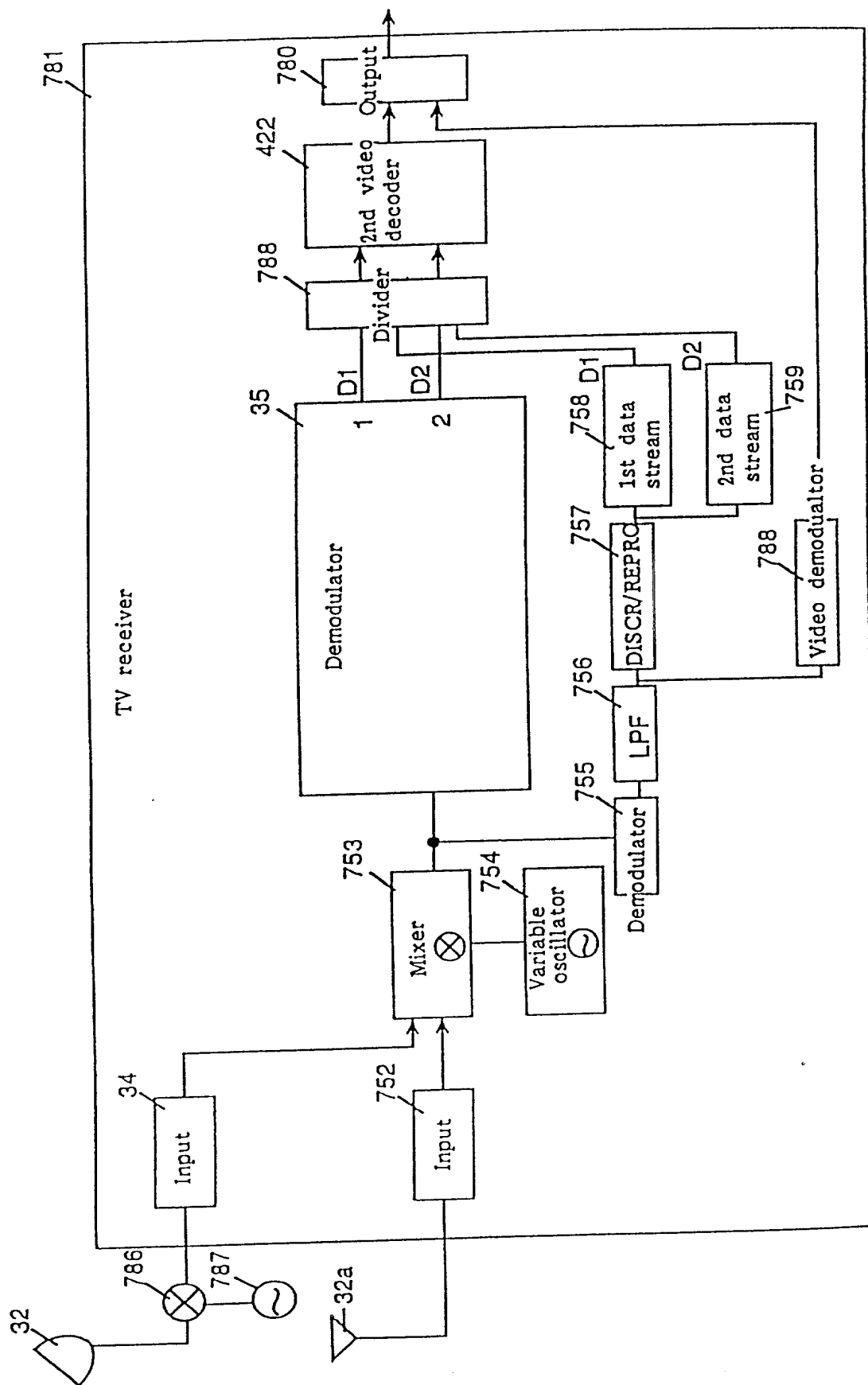


FIG. 68

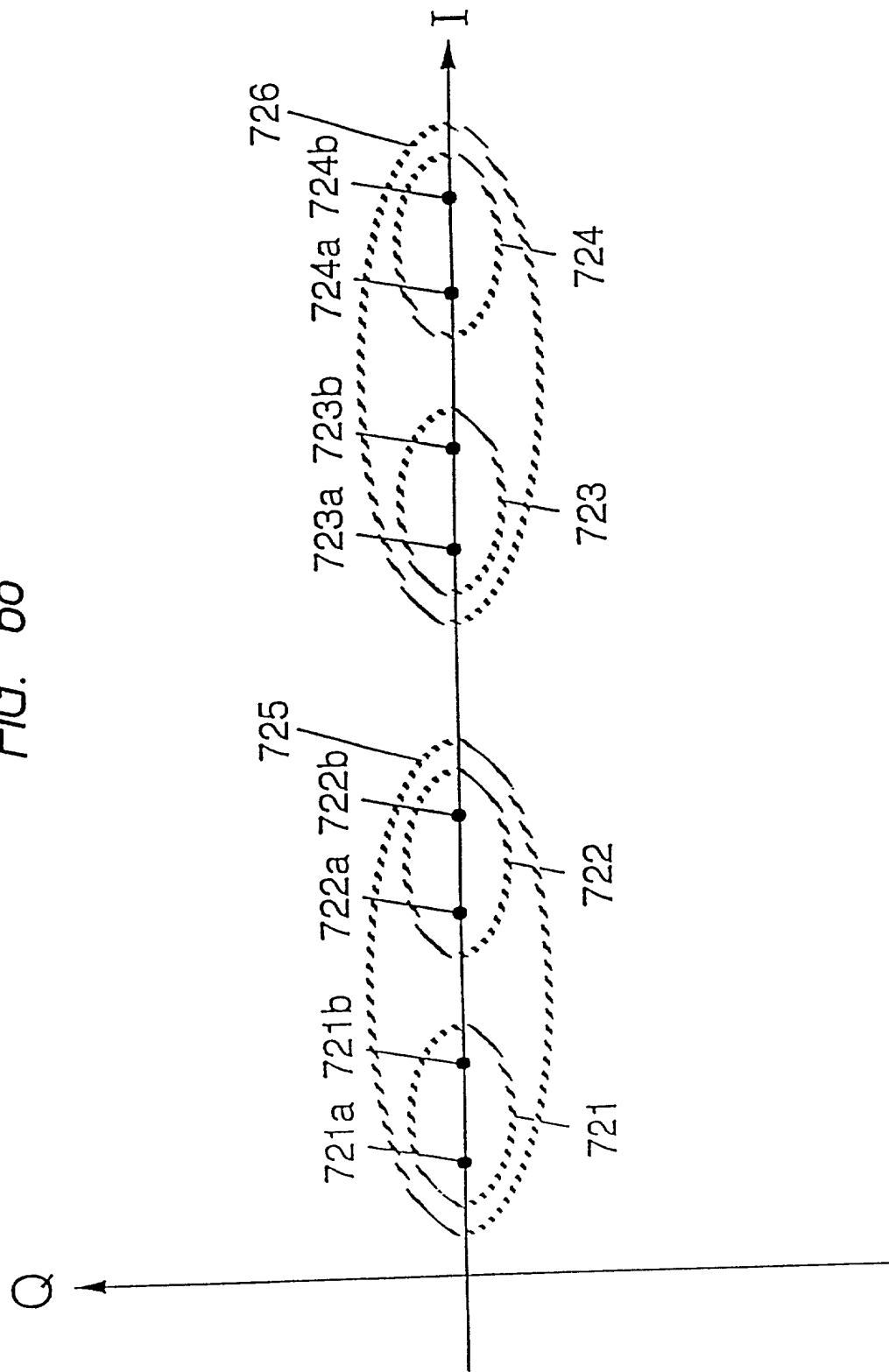


FIG. 69

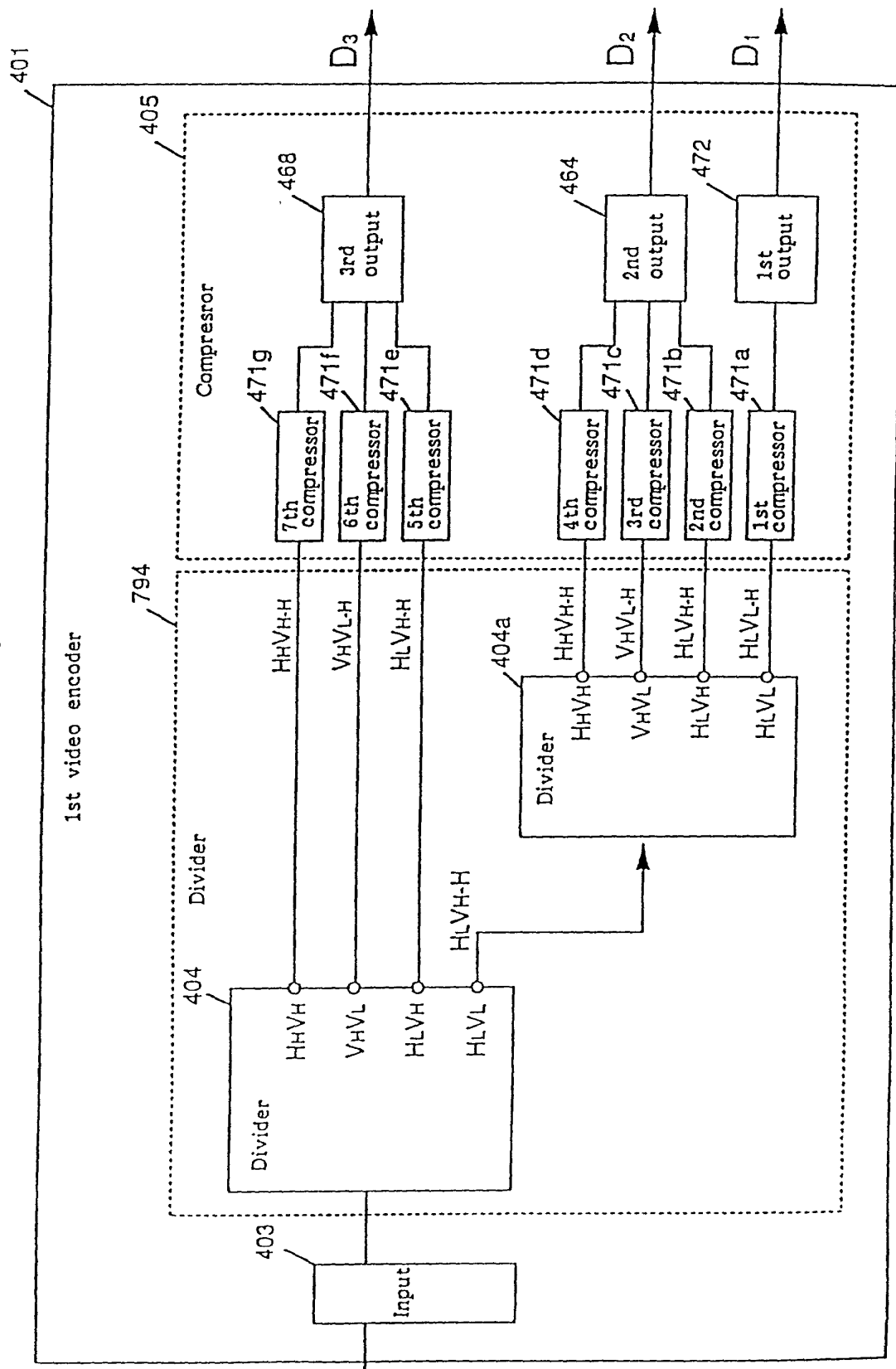


FIG. 70

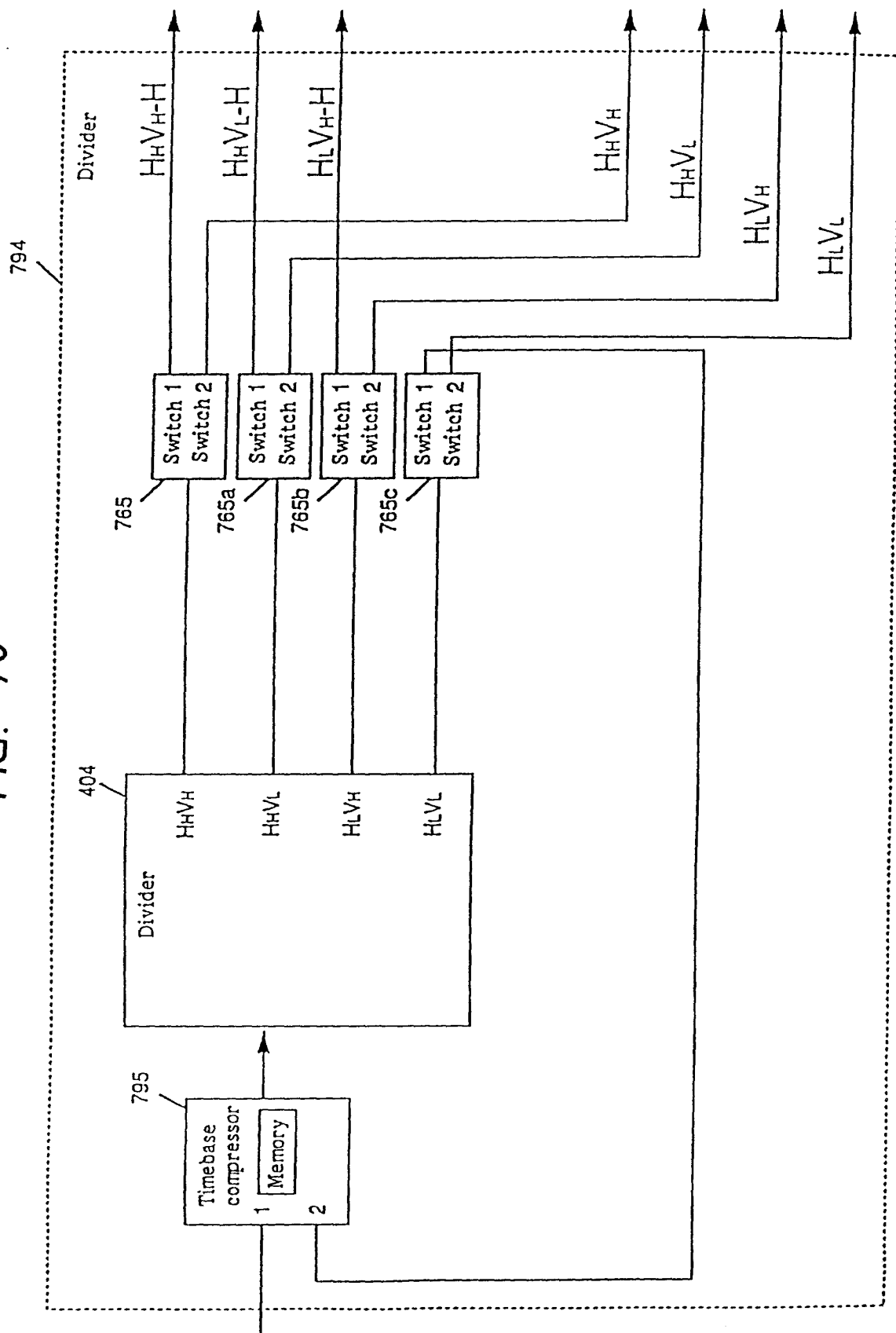


FIG. 71

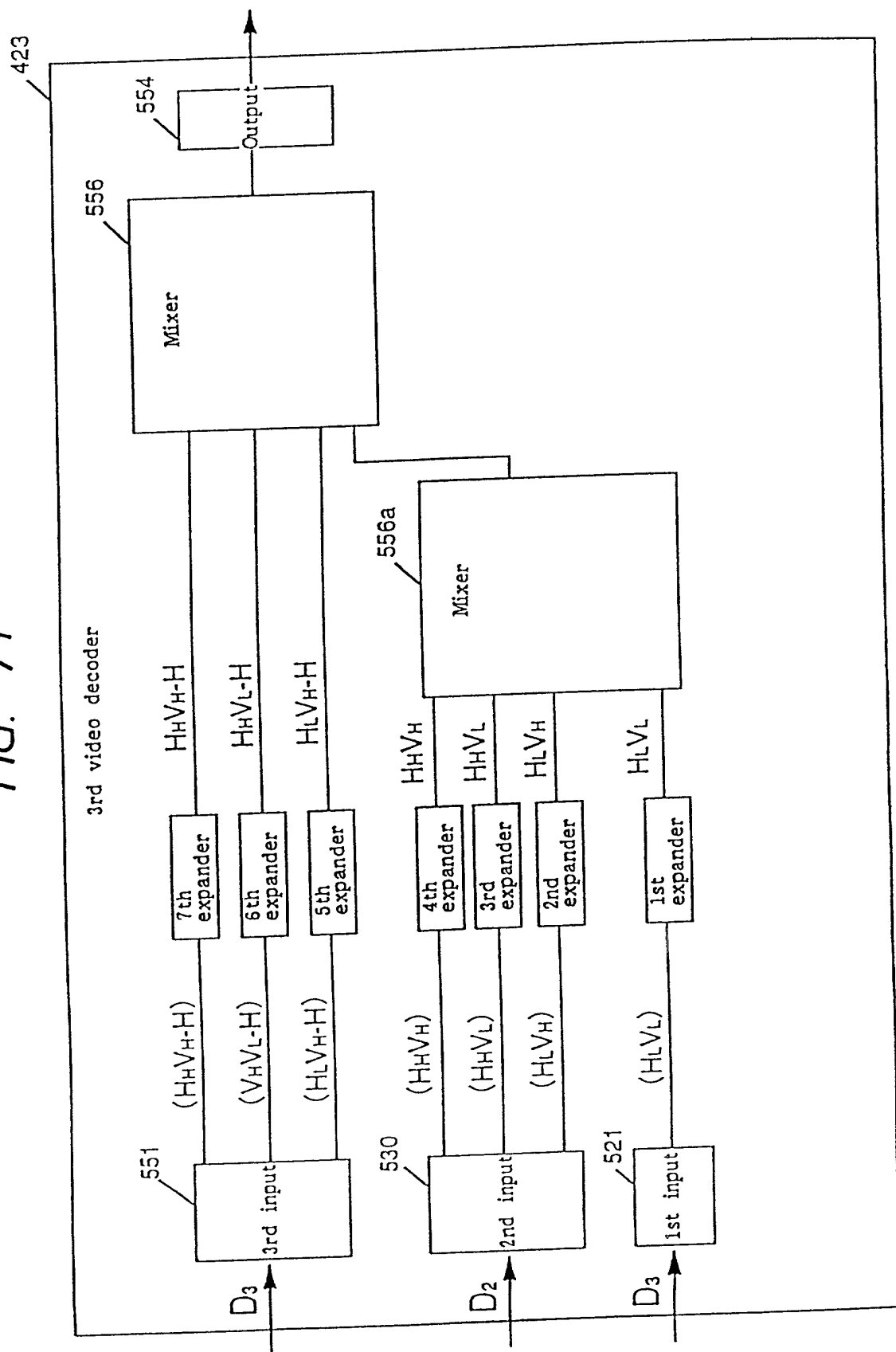


FIG. 72

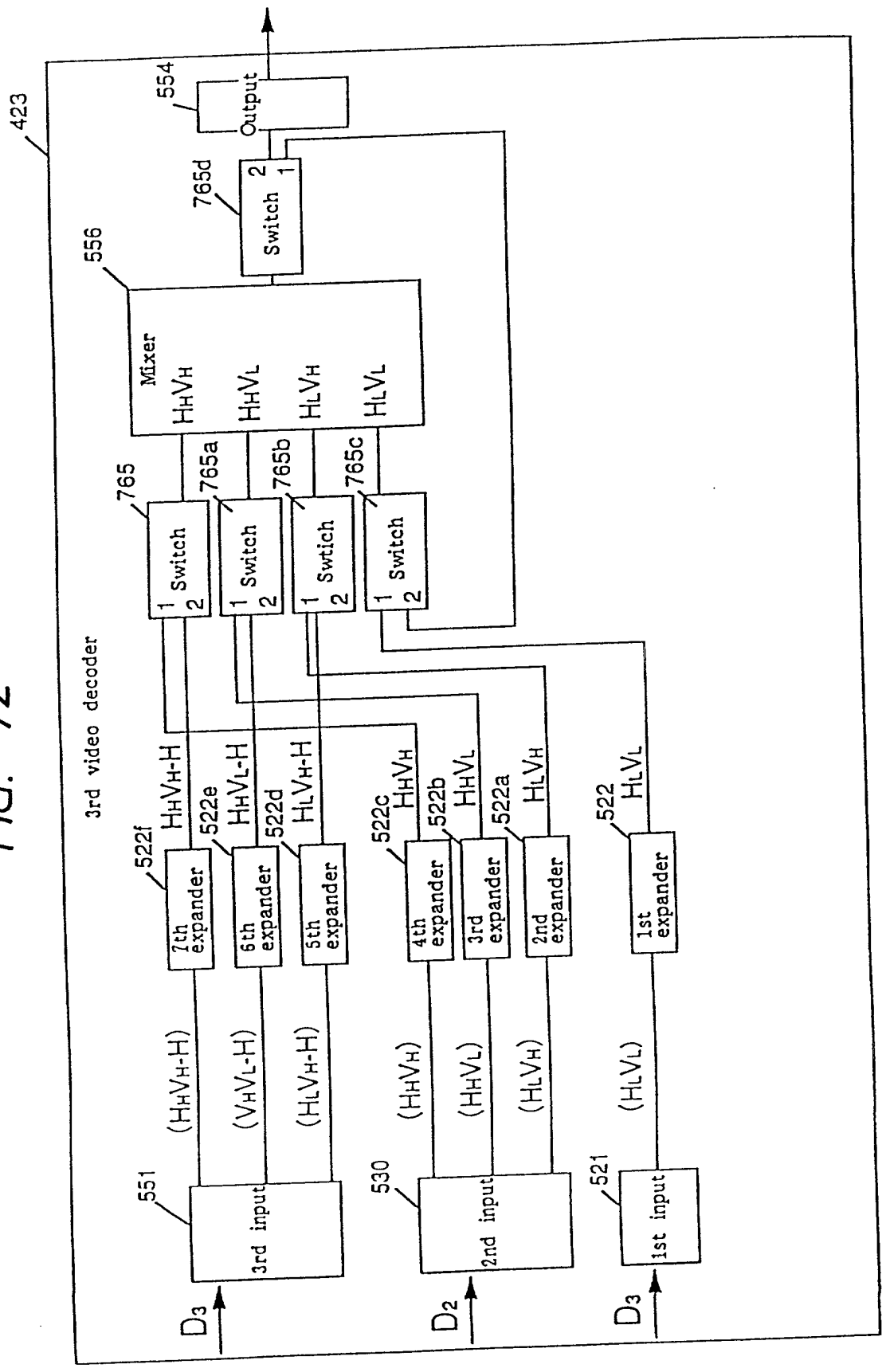


FIG. 73

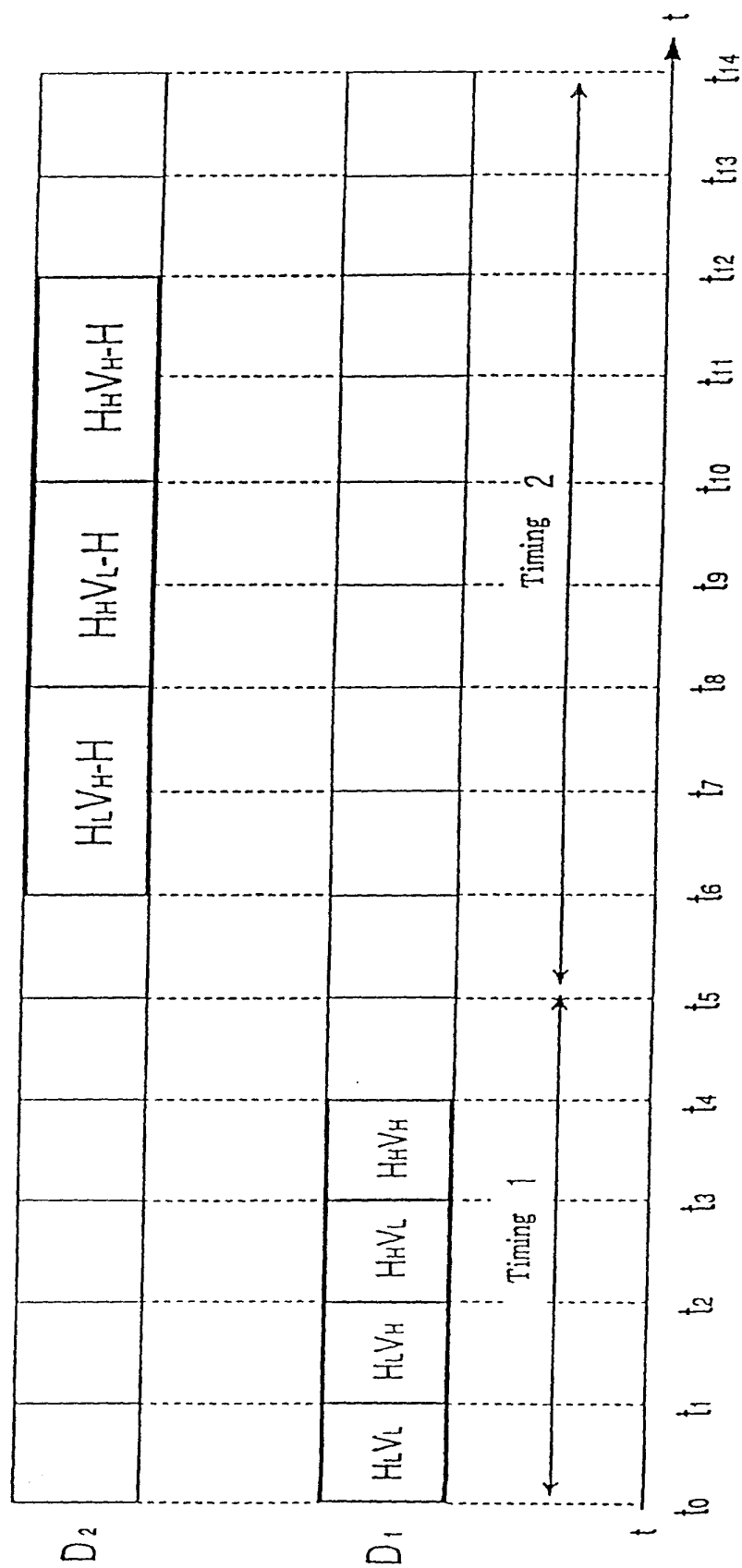


FIG. 74

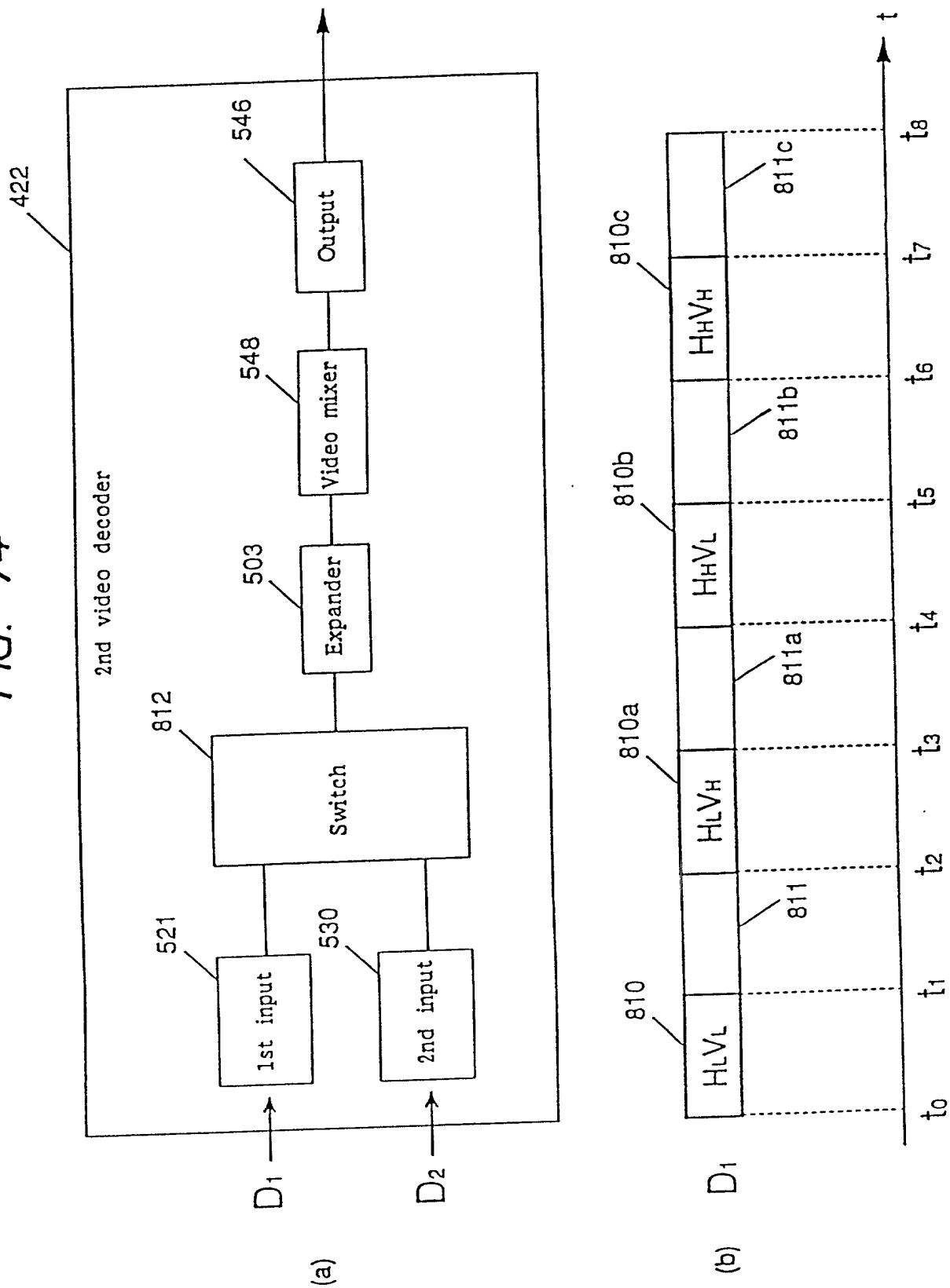


FIG. 75

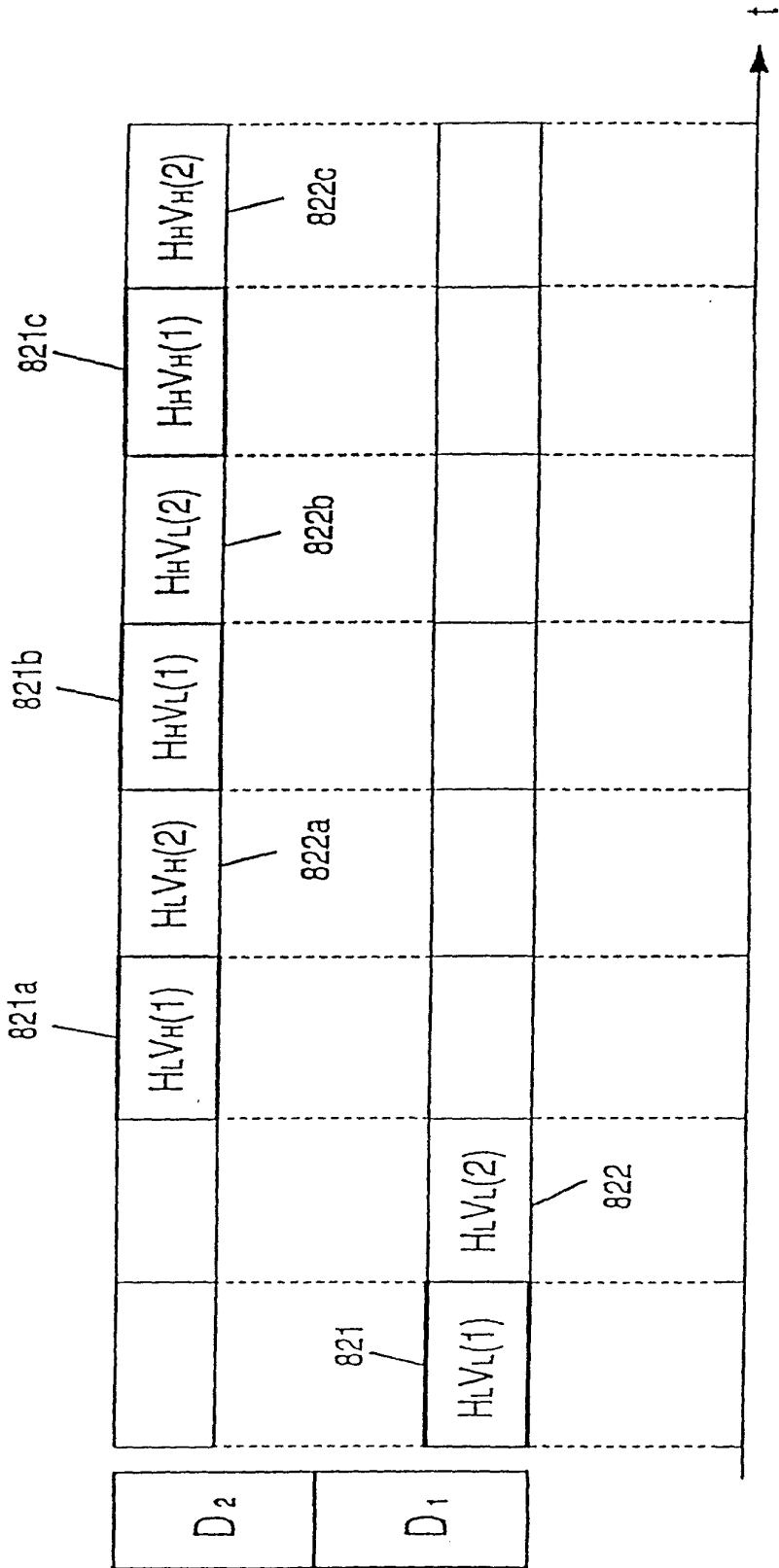


FIG. 76

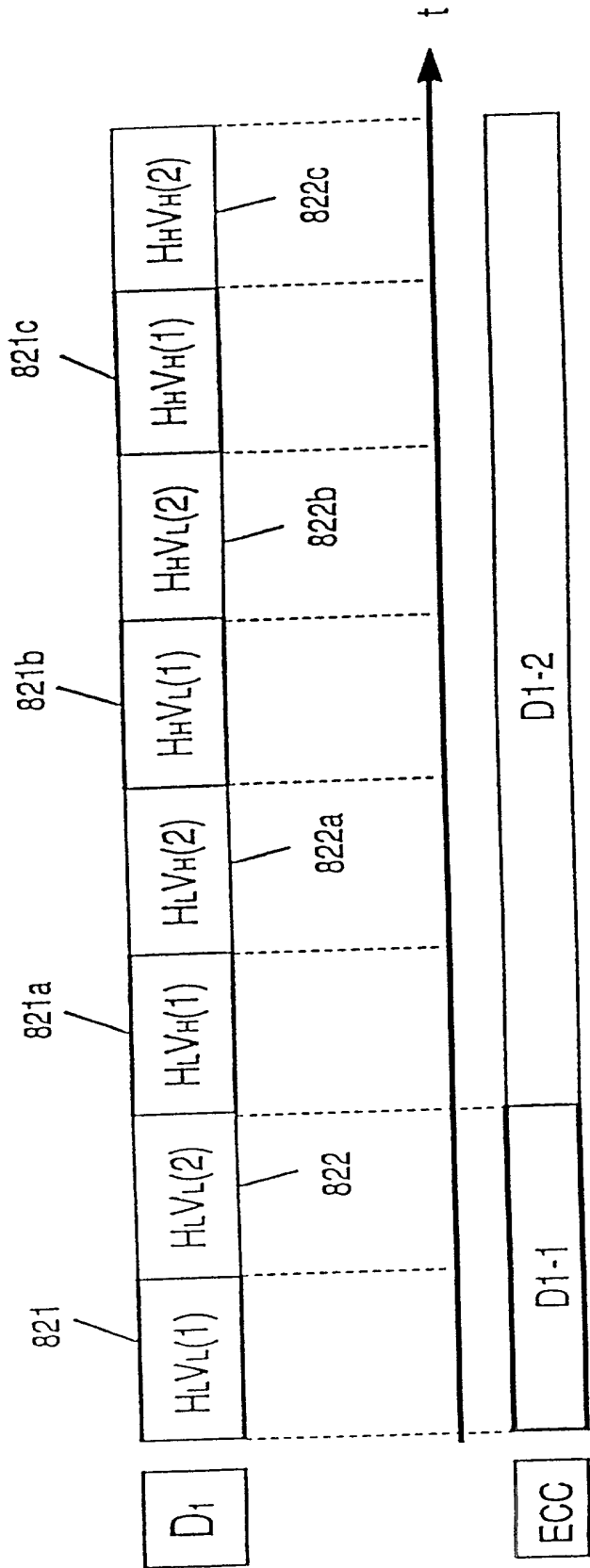


FIG. 78

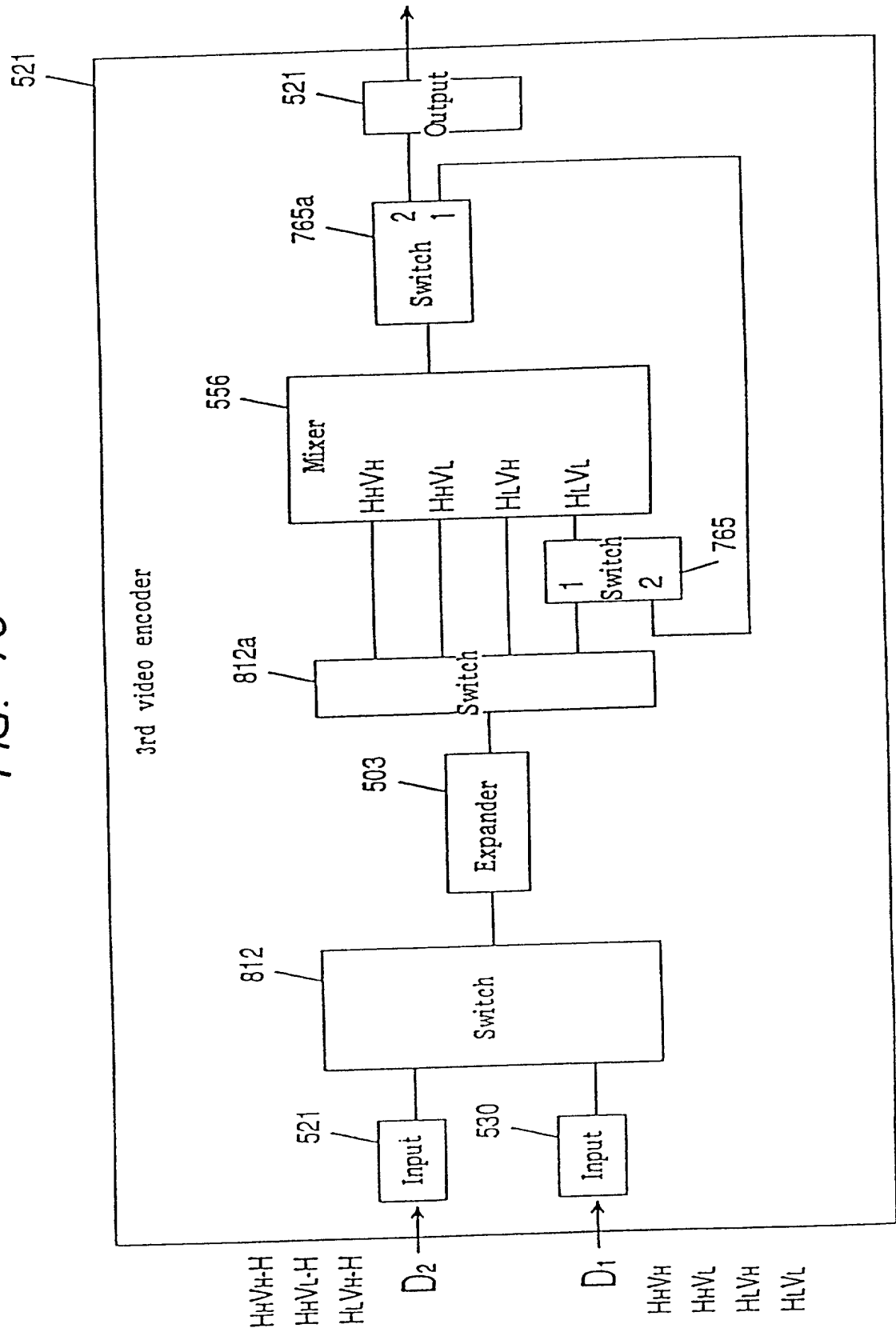


FIG. 79

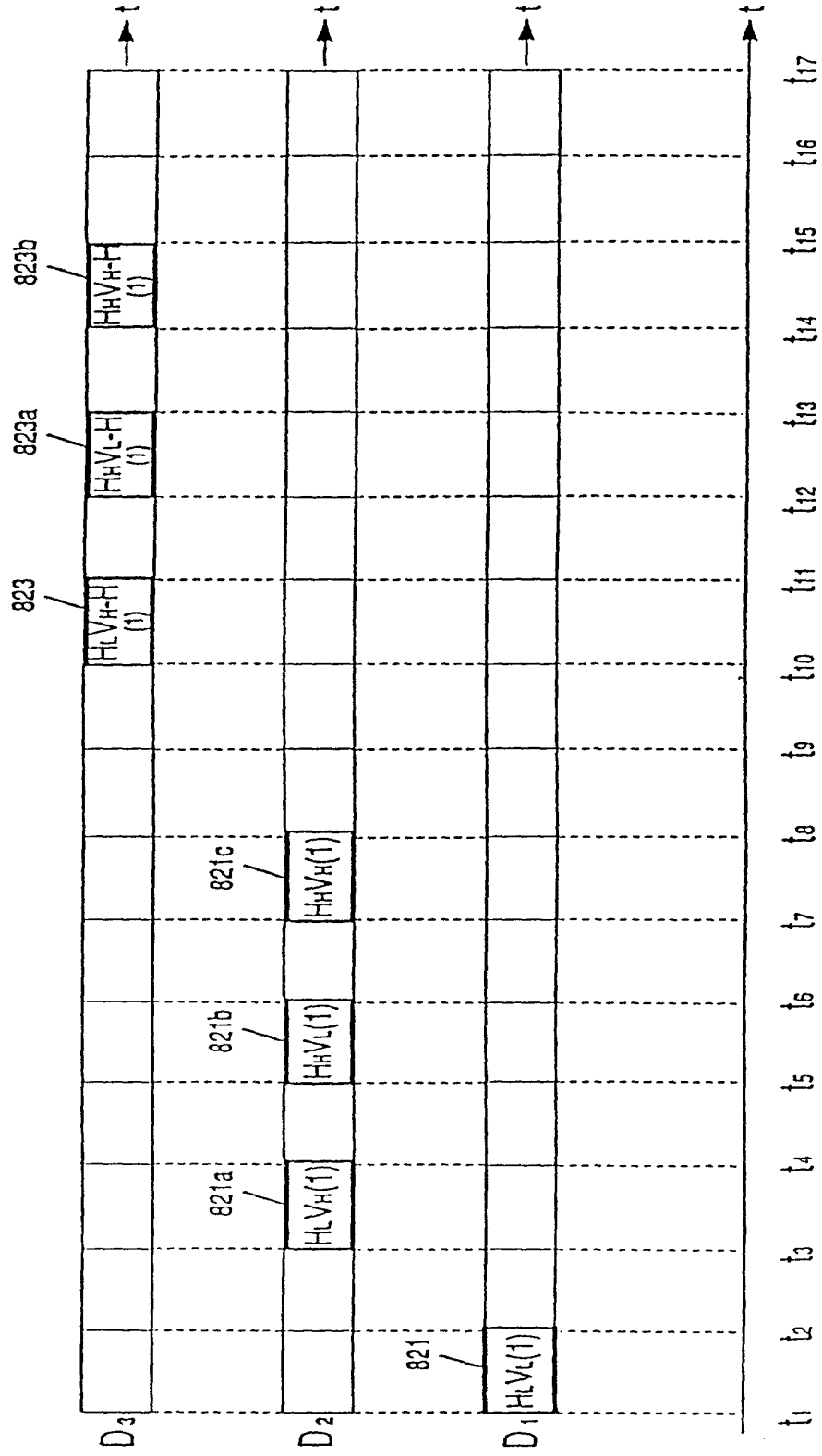


FIG. 80

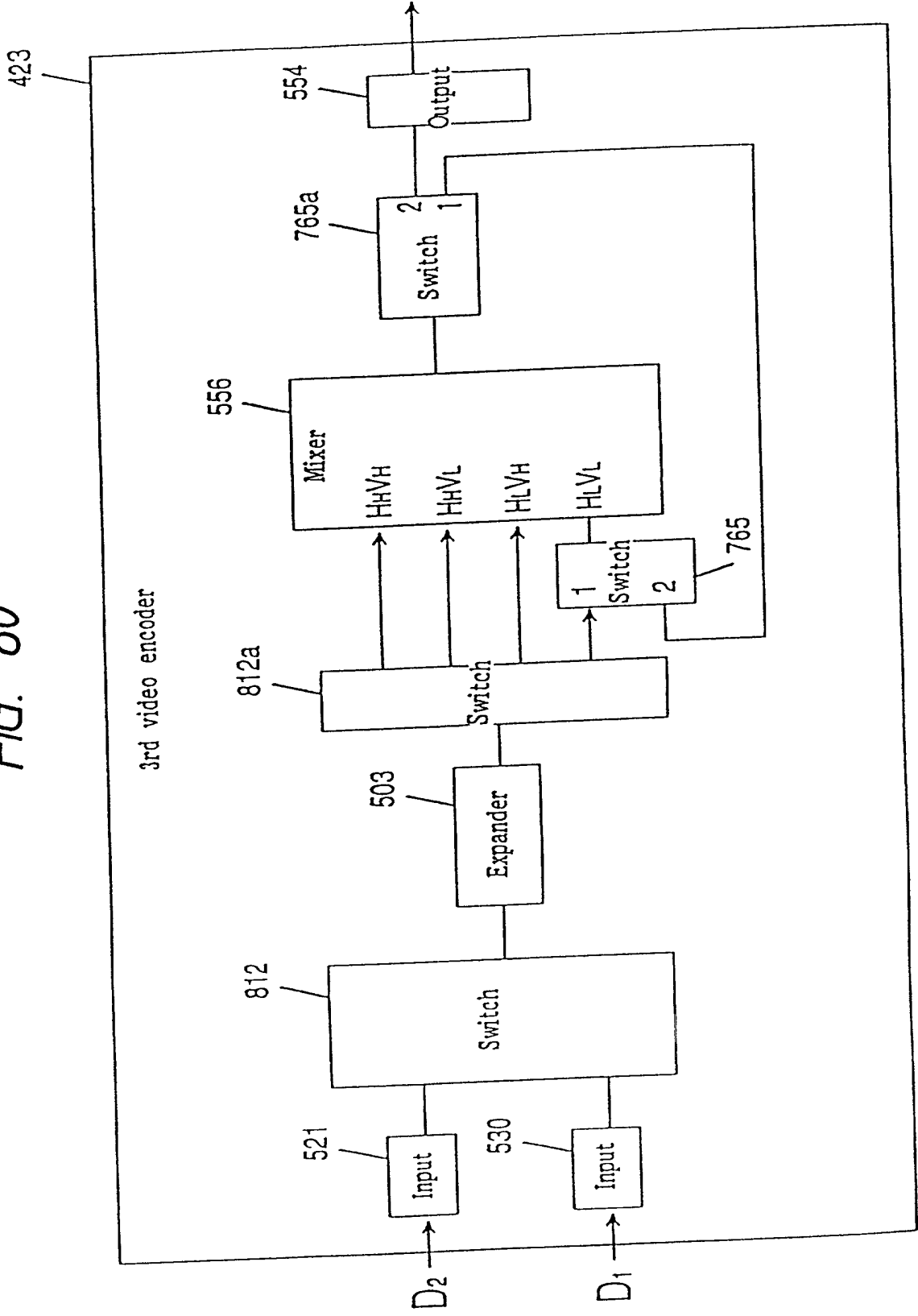


FIG. 81

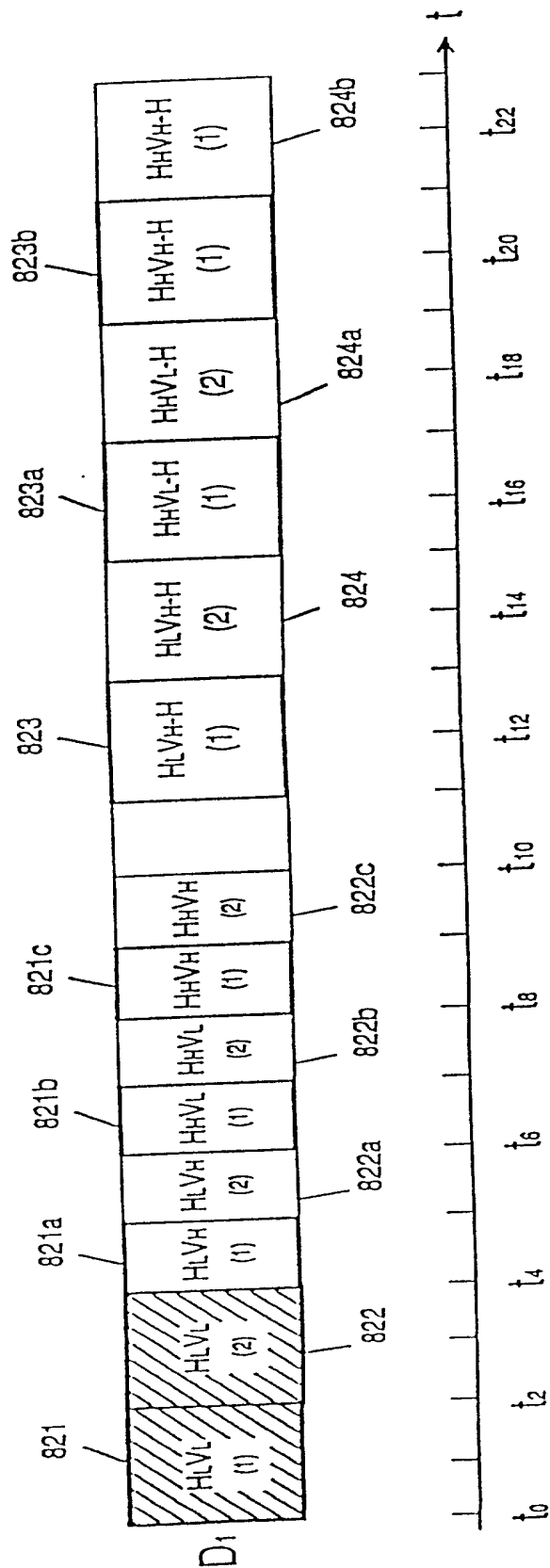


FIG. 82

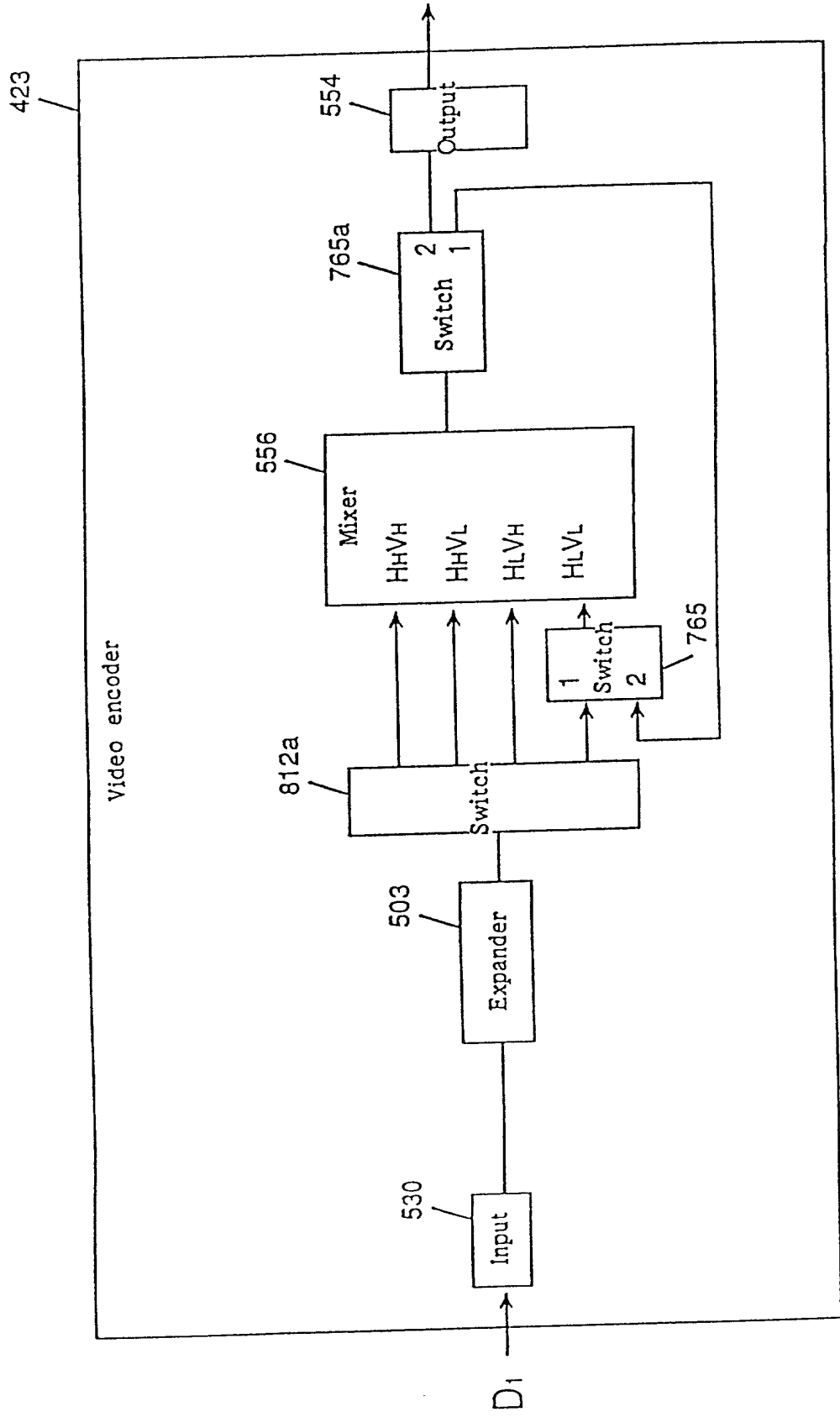


FIG. 84

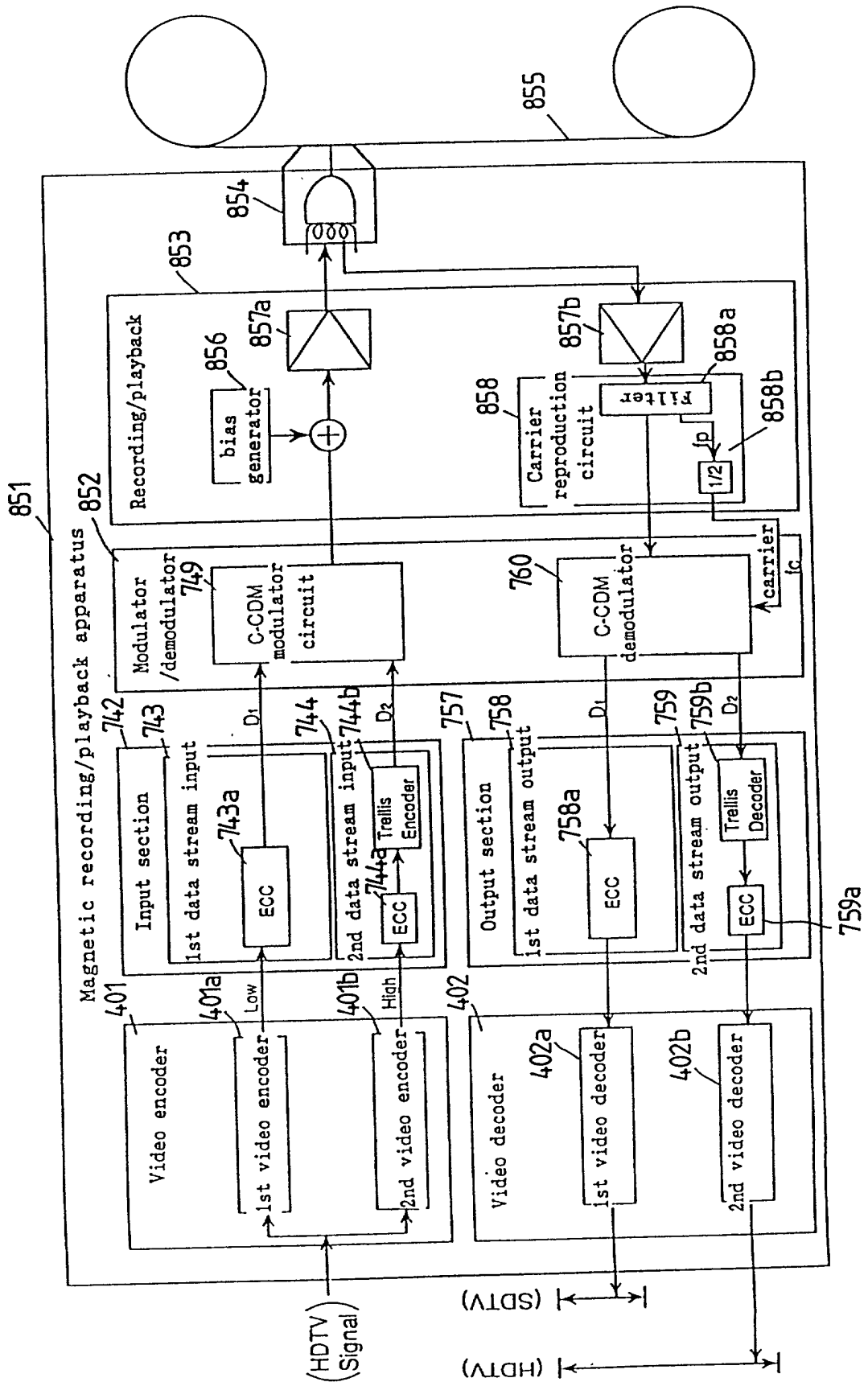


FIG. 85

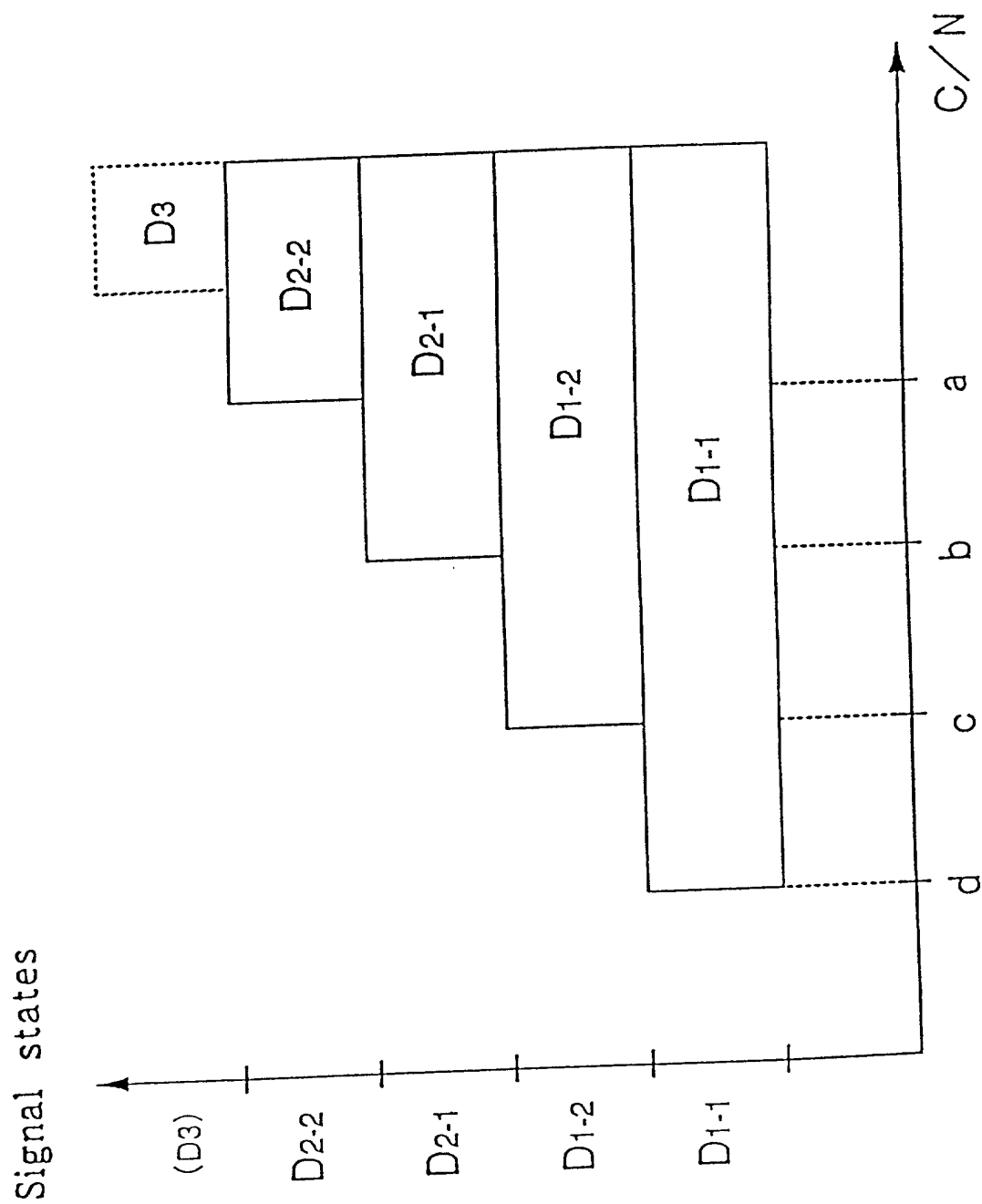


FIG. 86

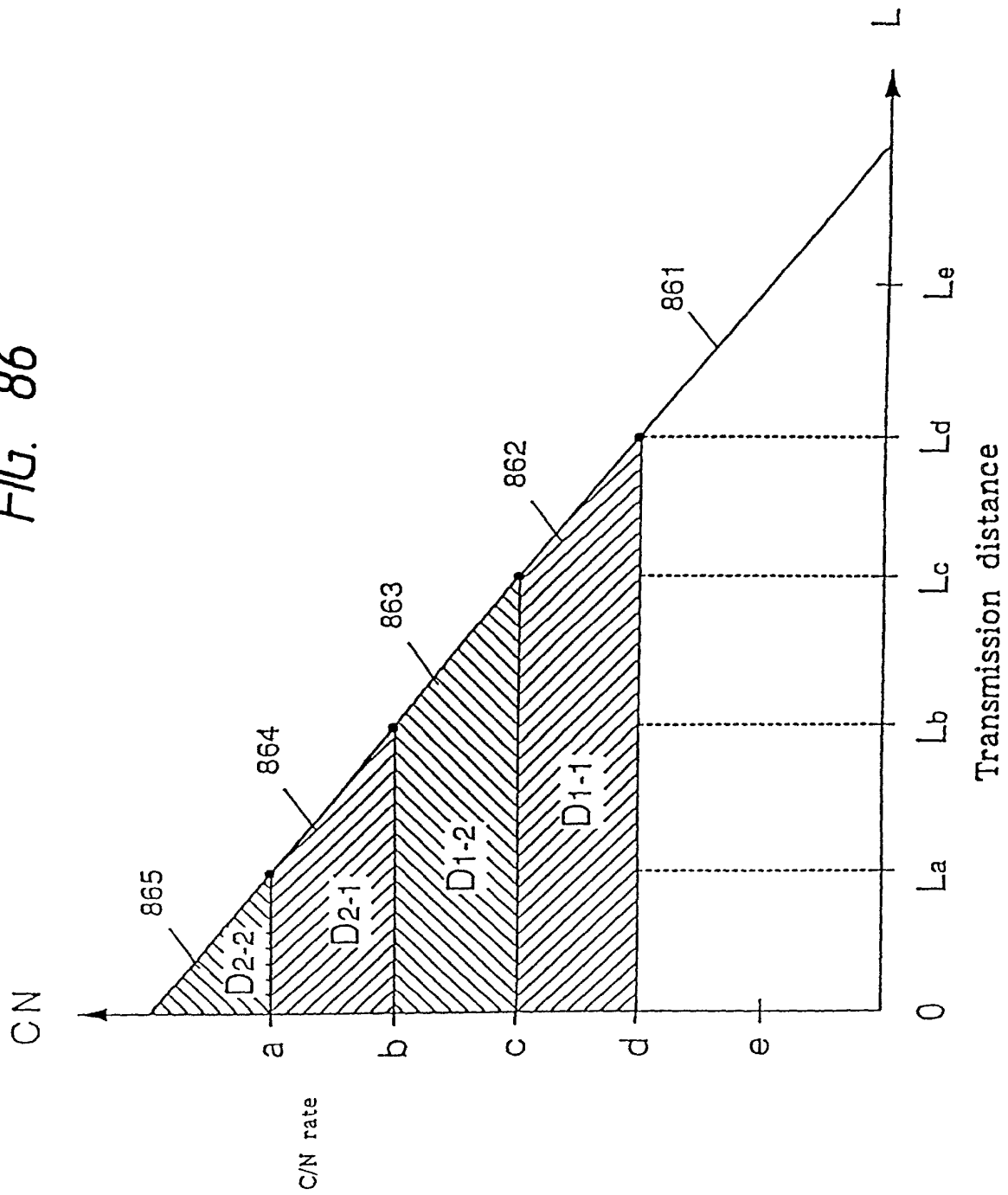


FIG. 87

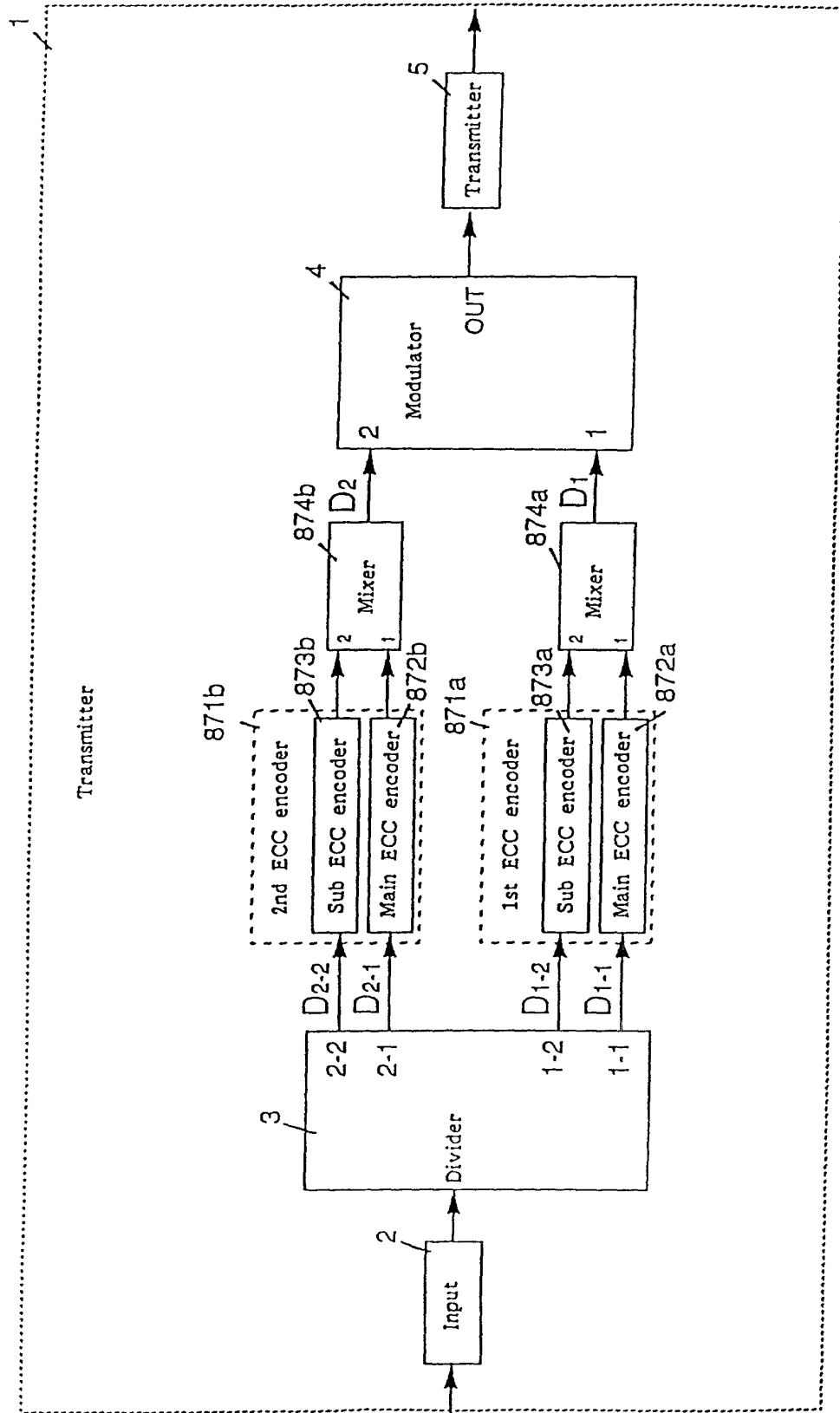


FIG. 88

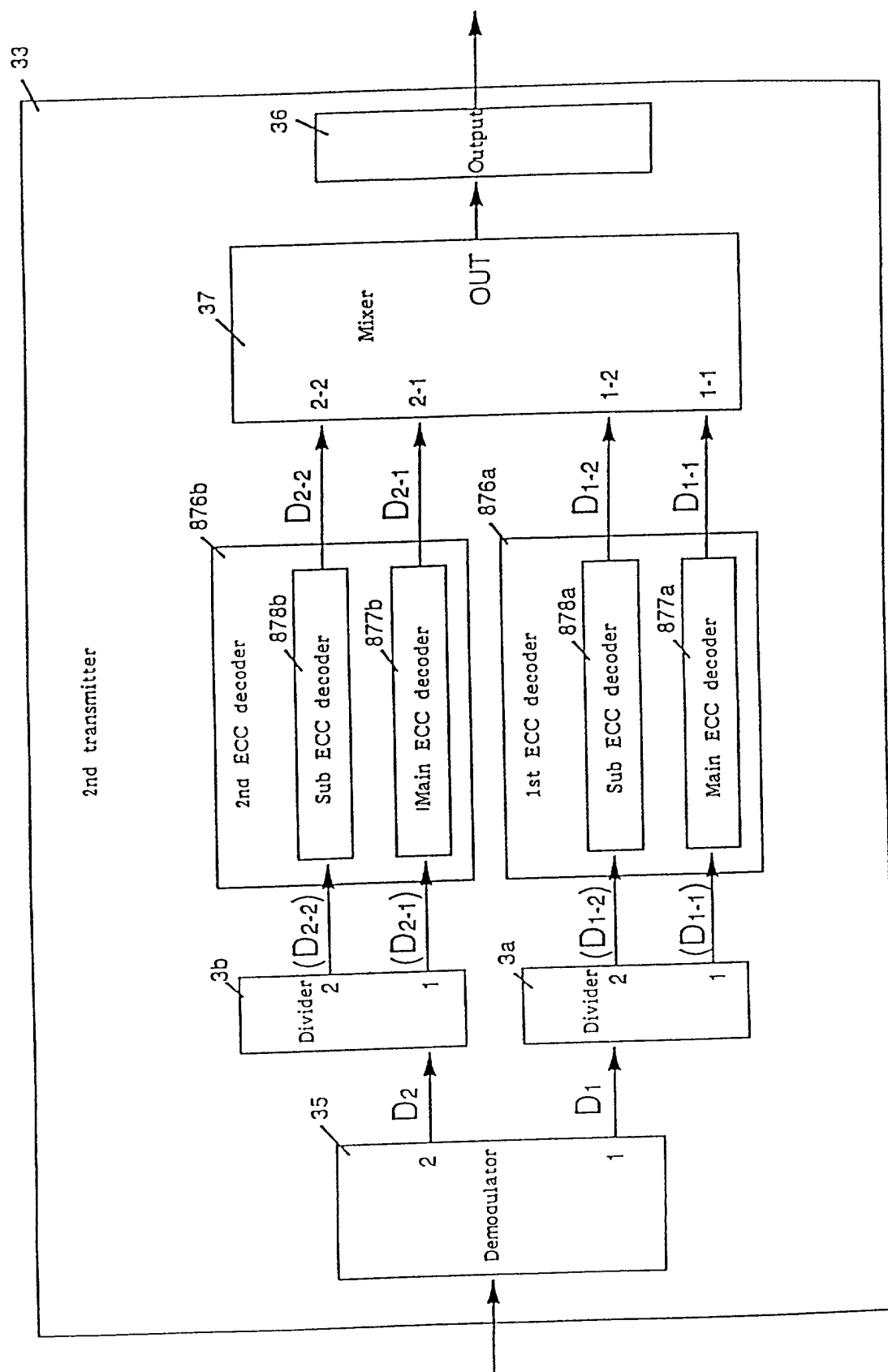


FIG. 89

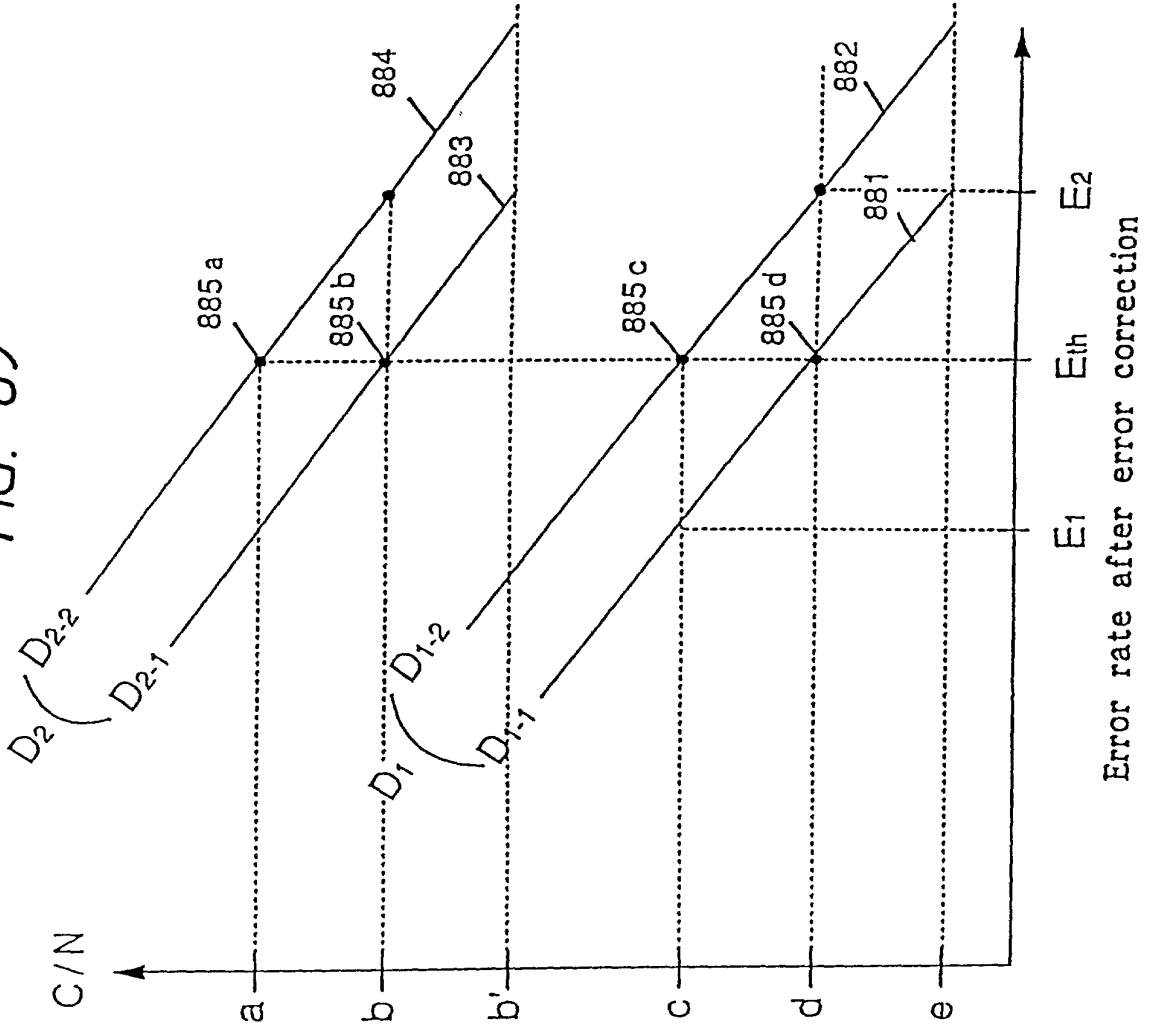


FIG. 90

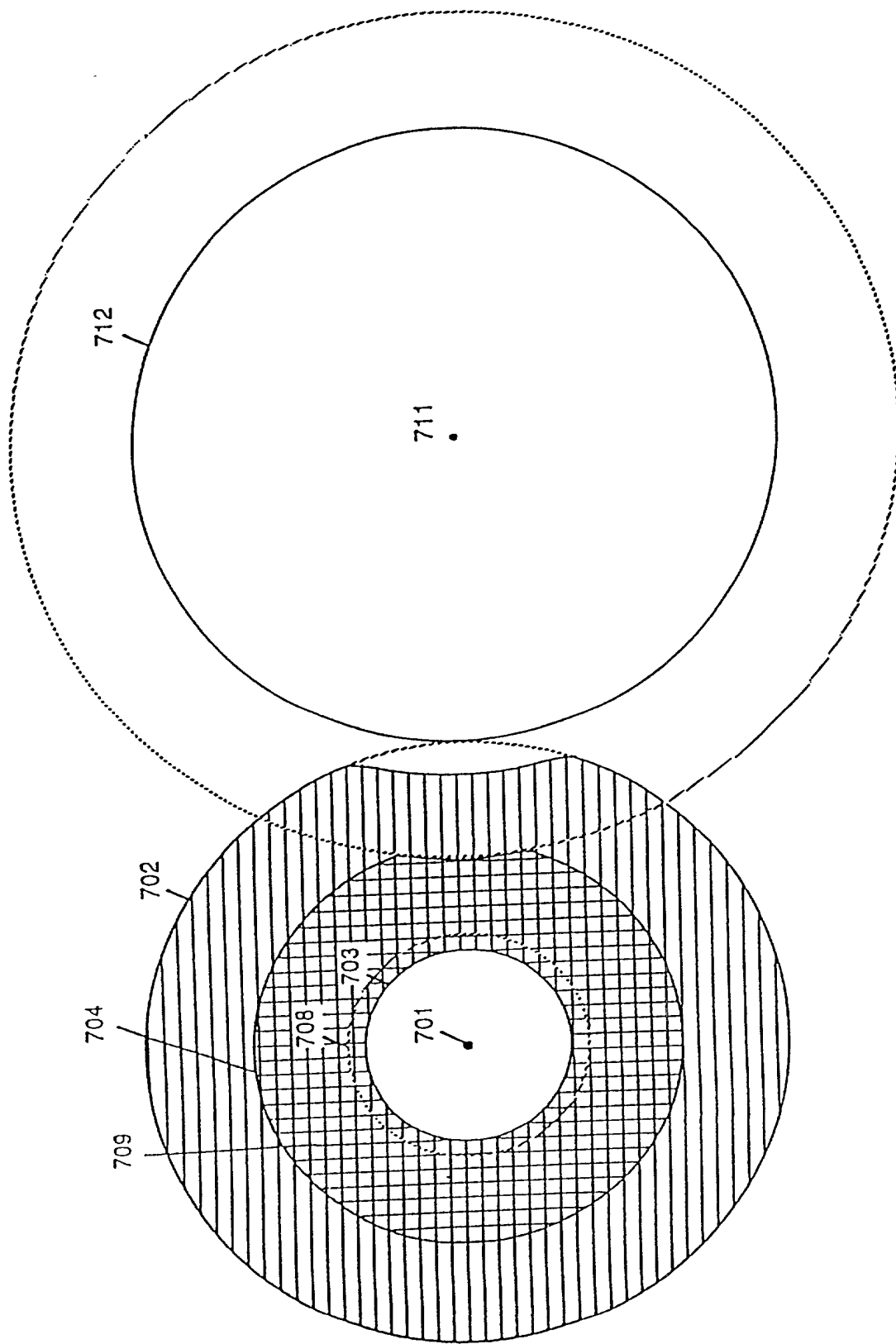


FIG. 91

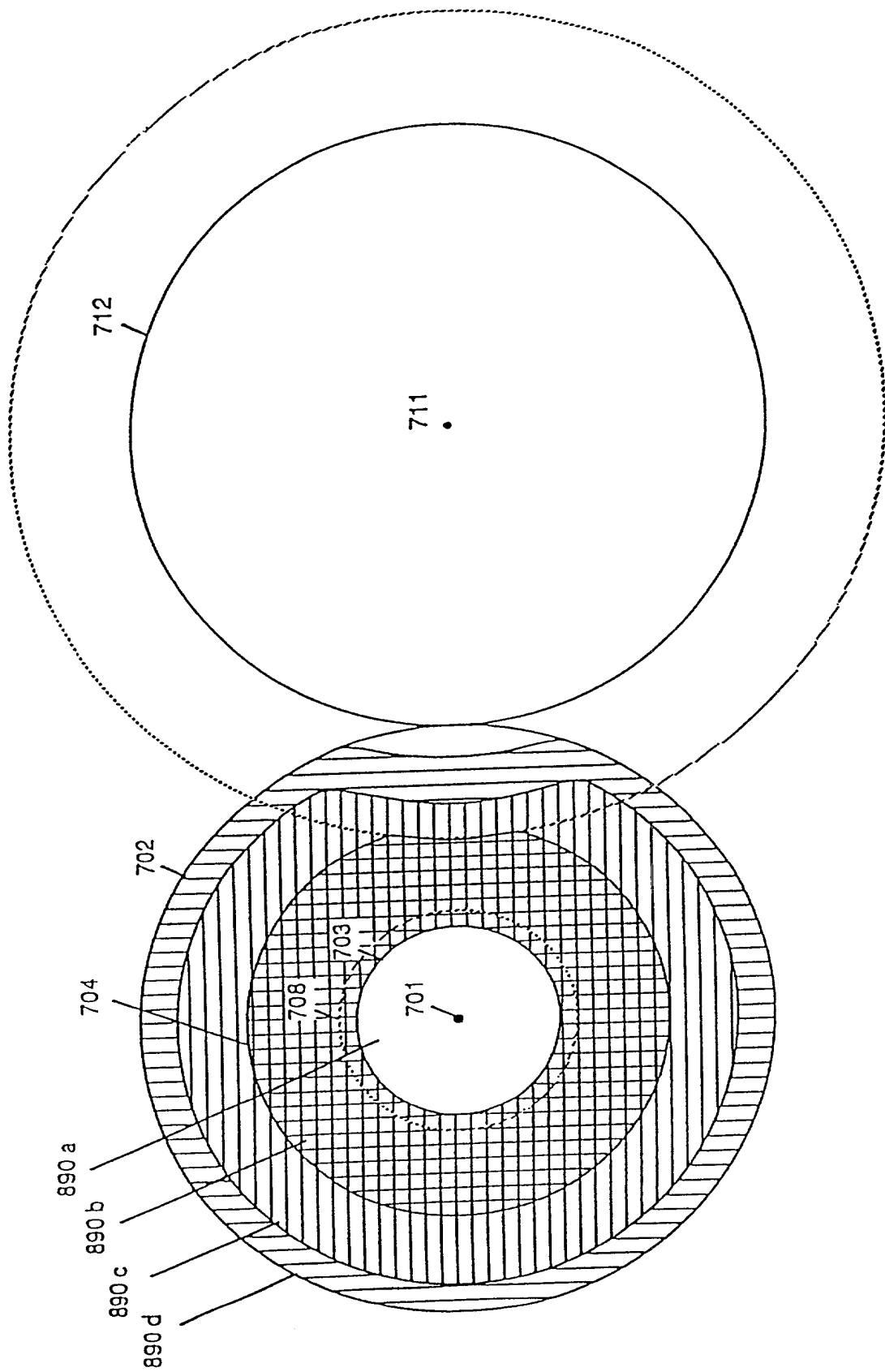


FIG. 92

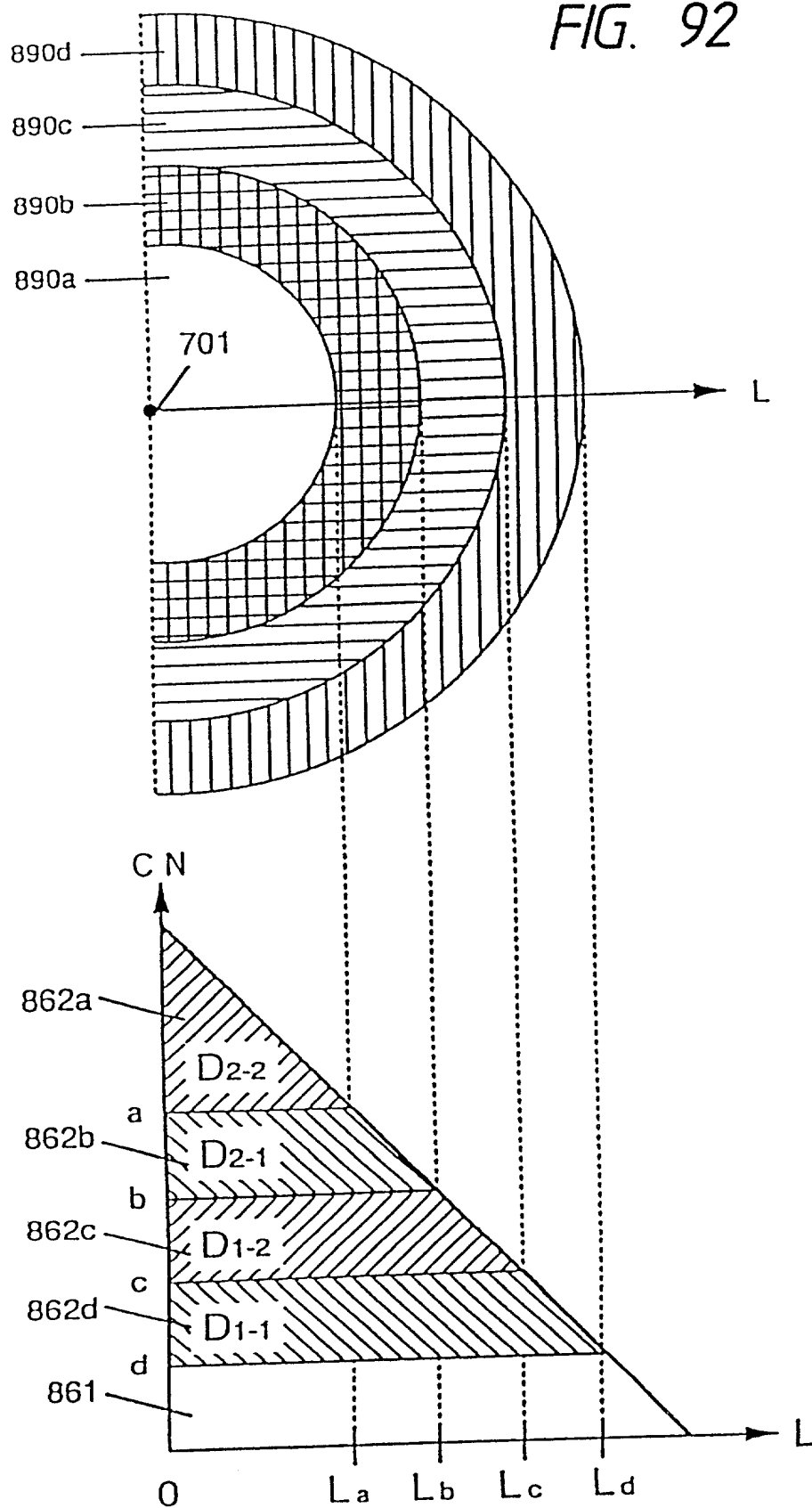


FIG. 93

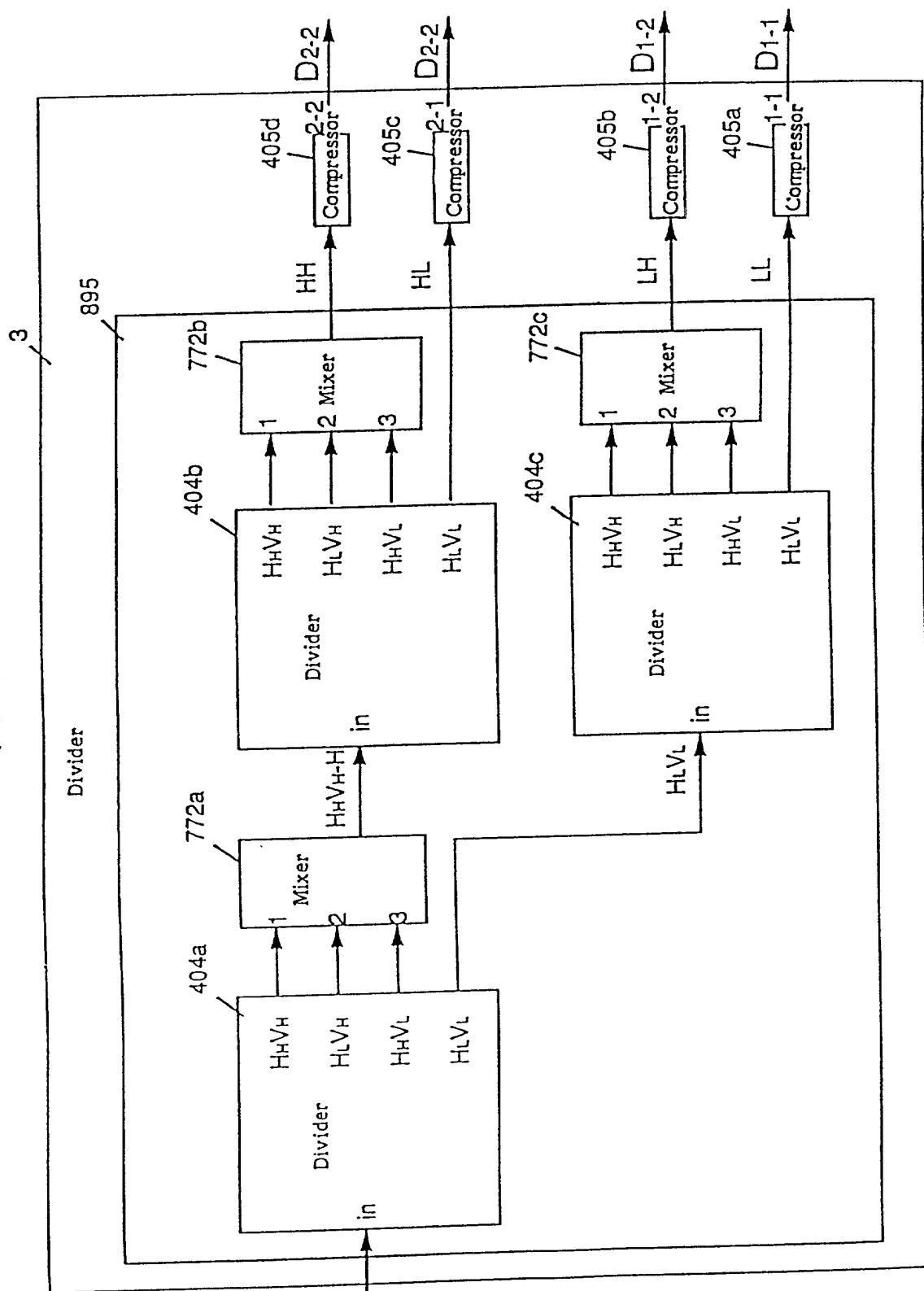


FIG. 94

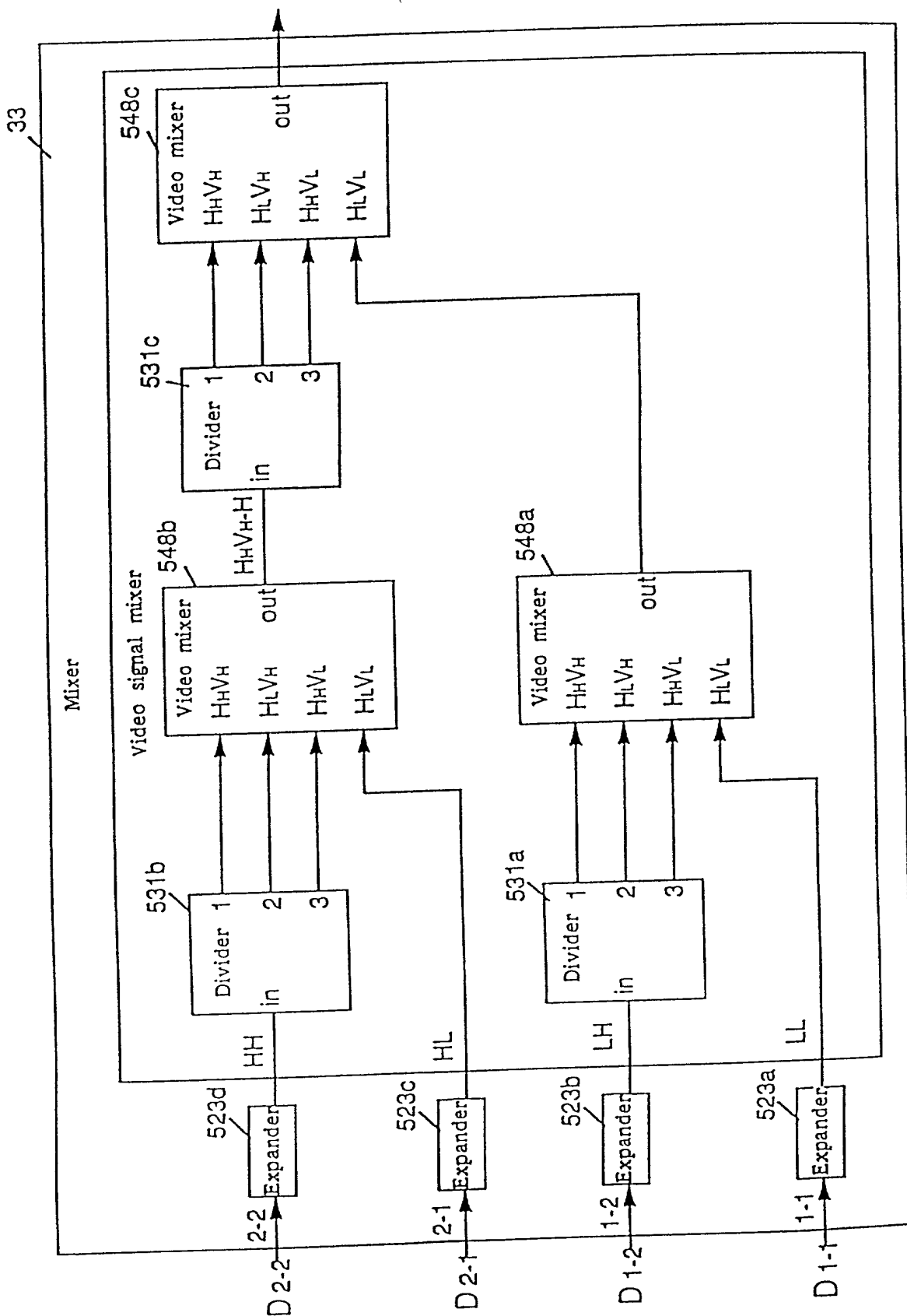


FIG. 95

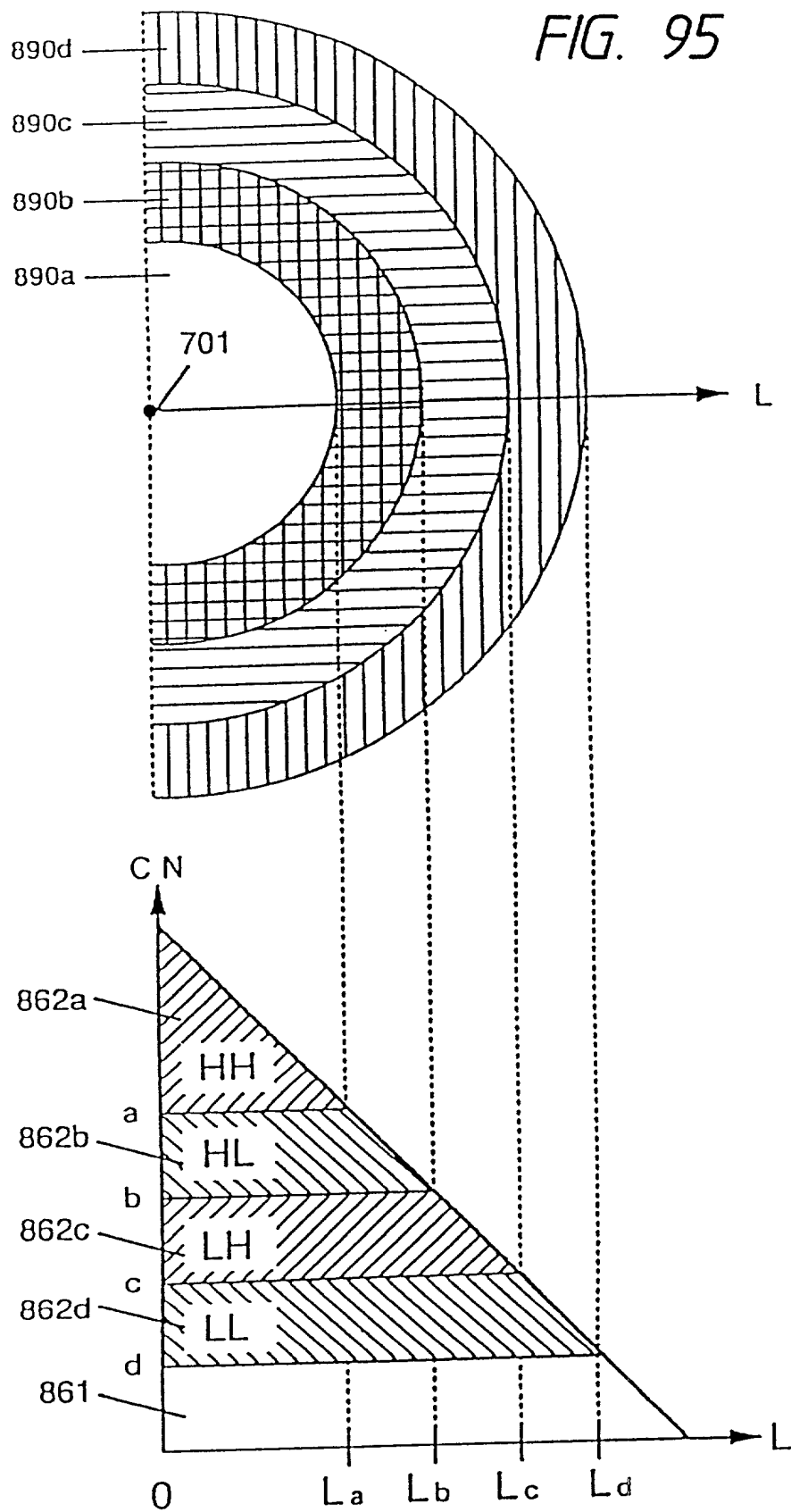


FIG. 96

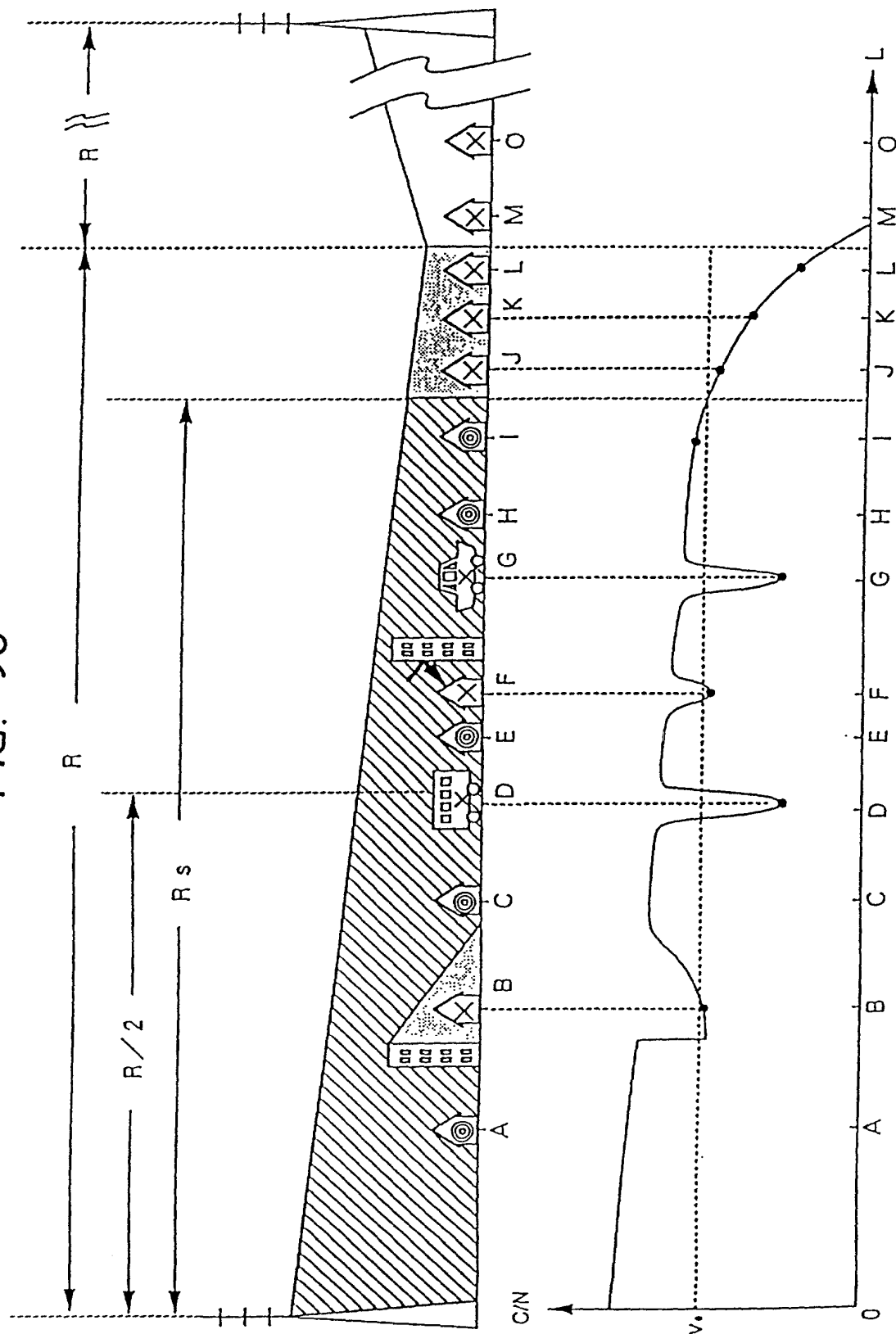


FIG. 97

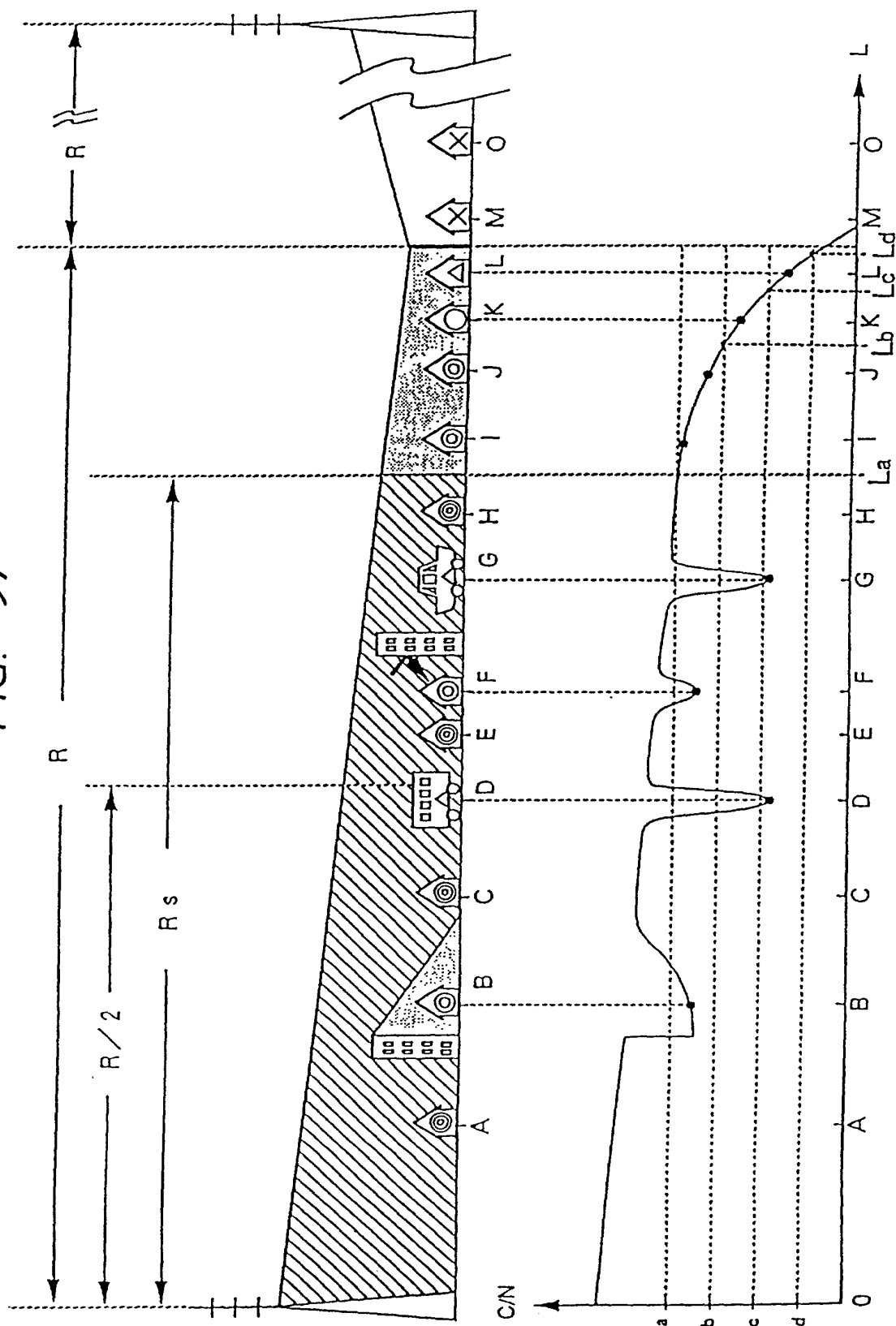


FIG. 98

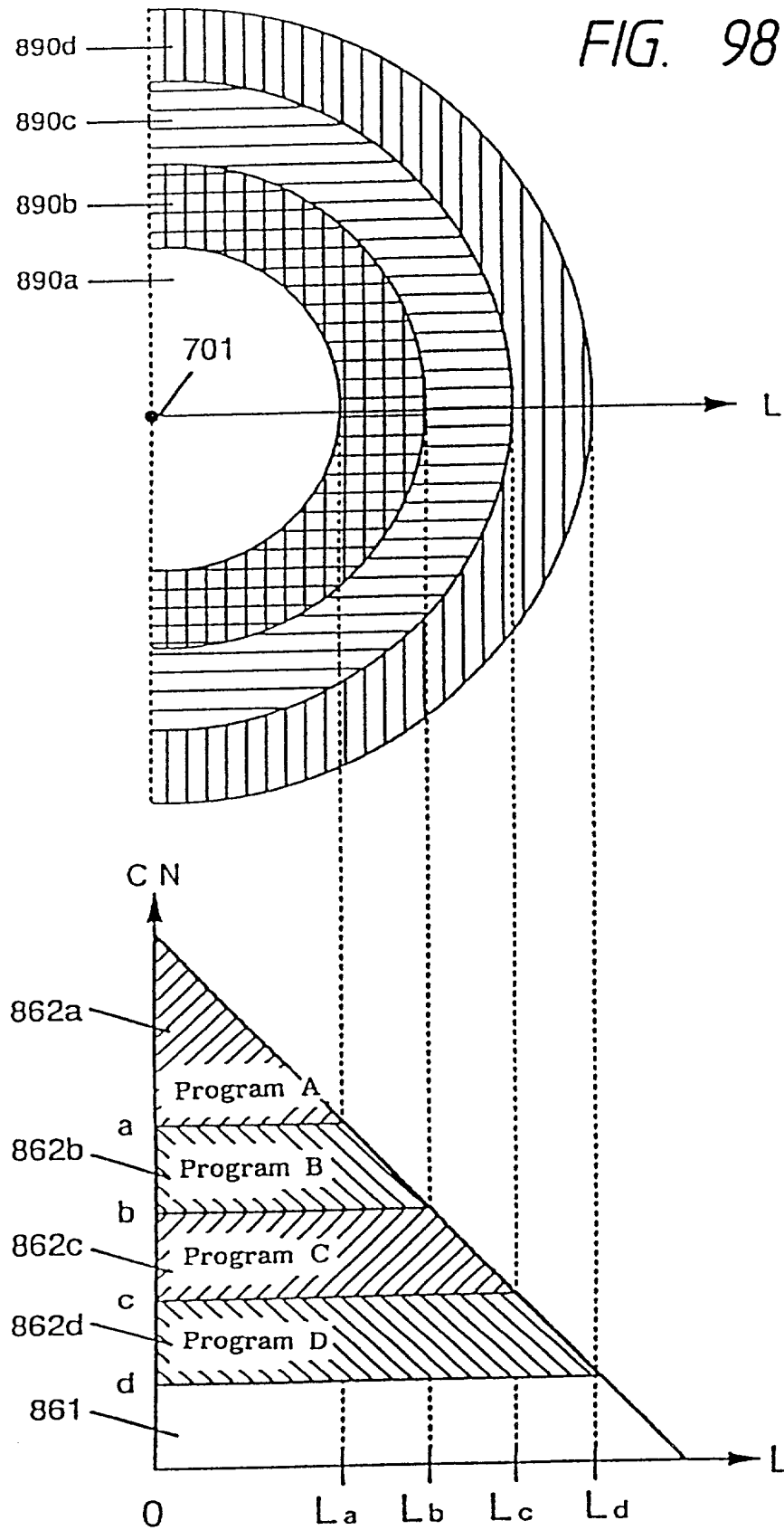


FIG. 99

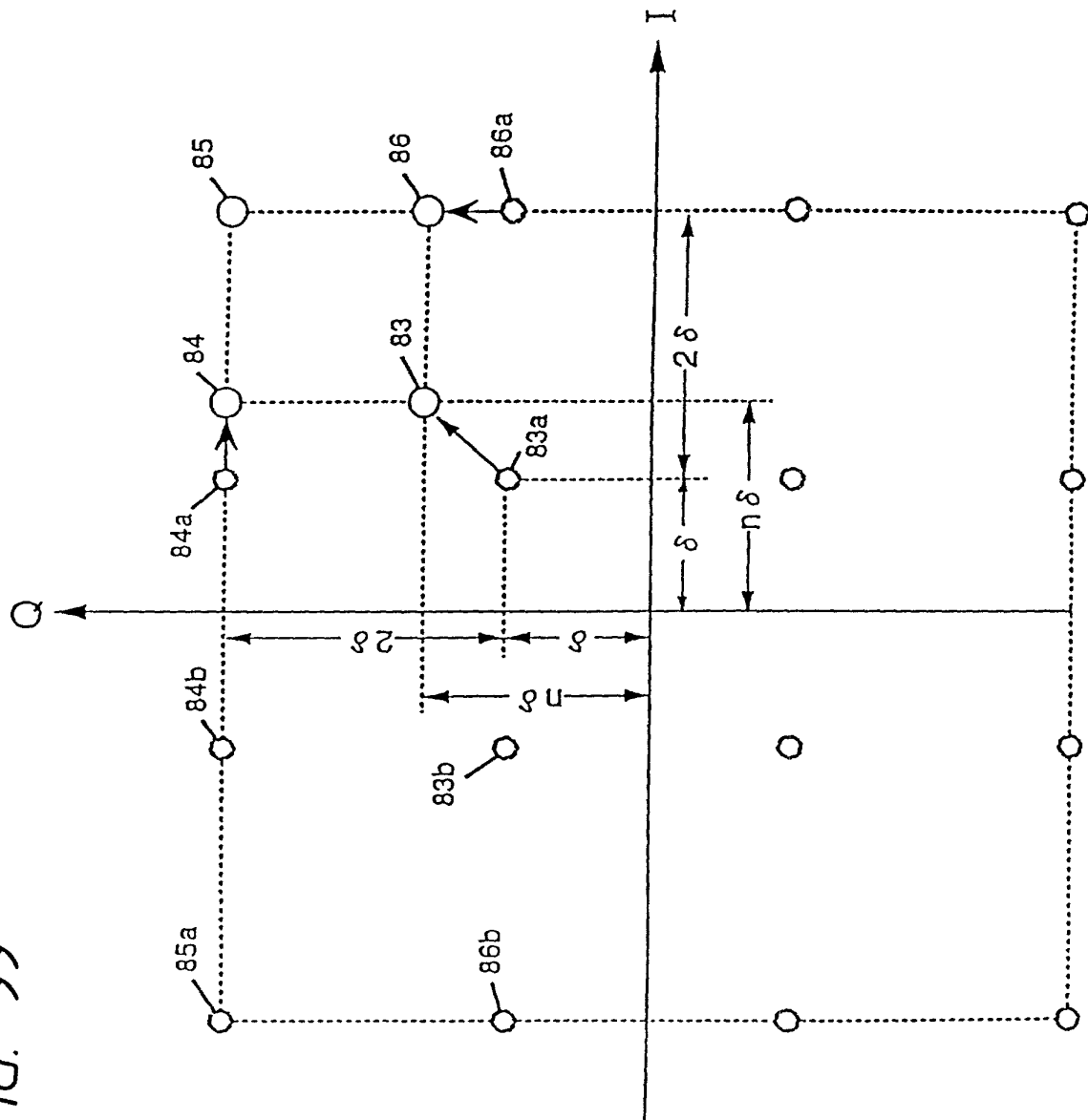


FIG. 100

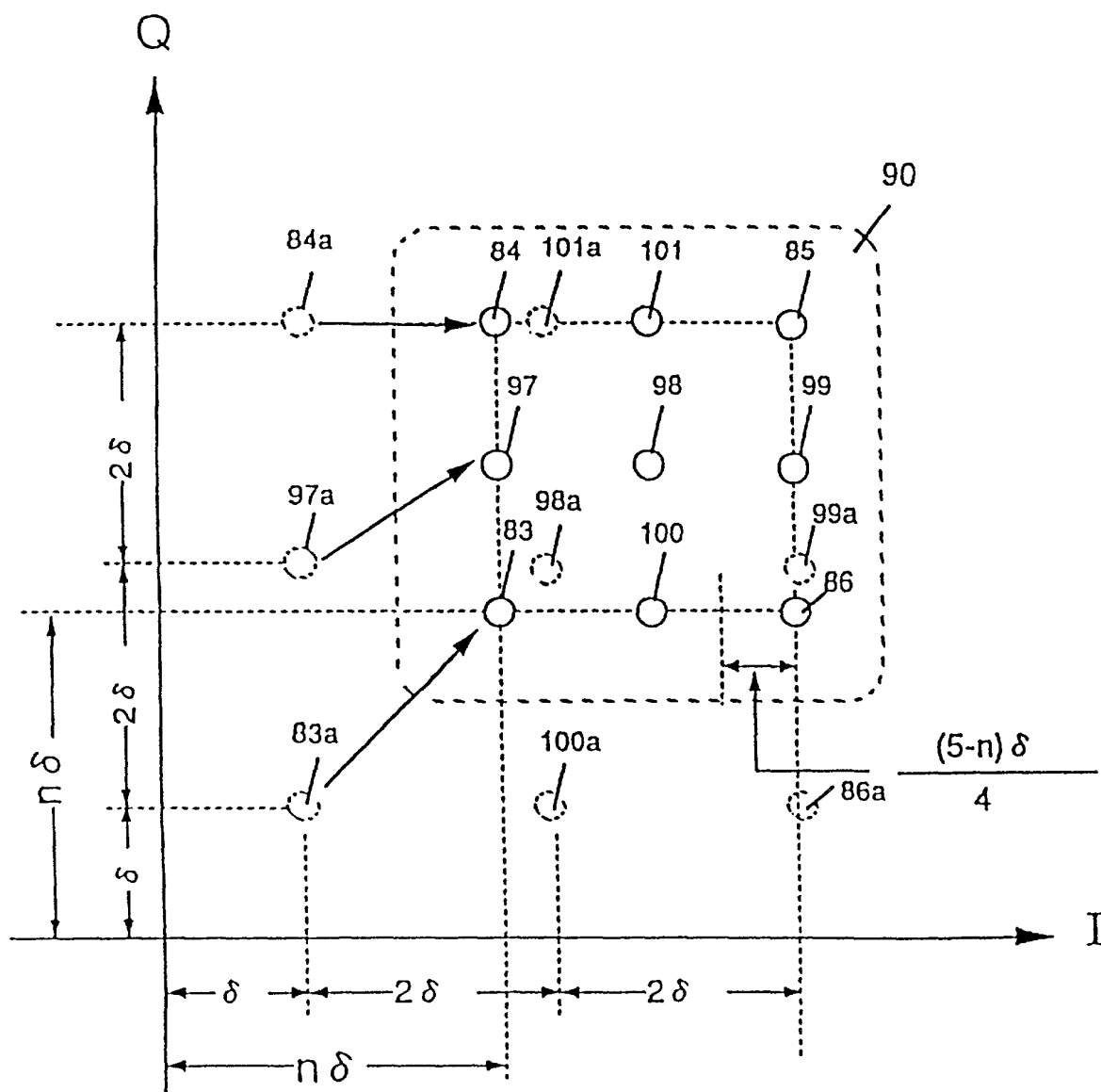


FIG. 101

Pe

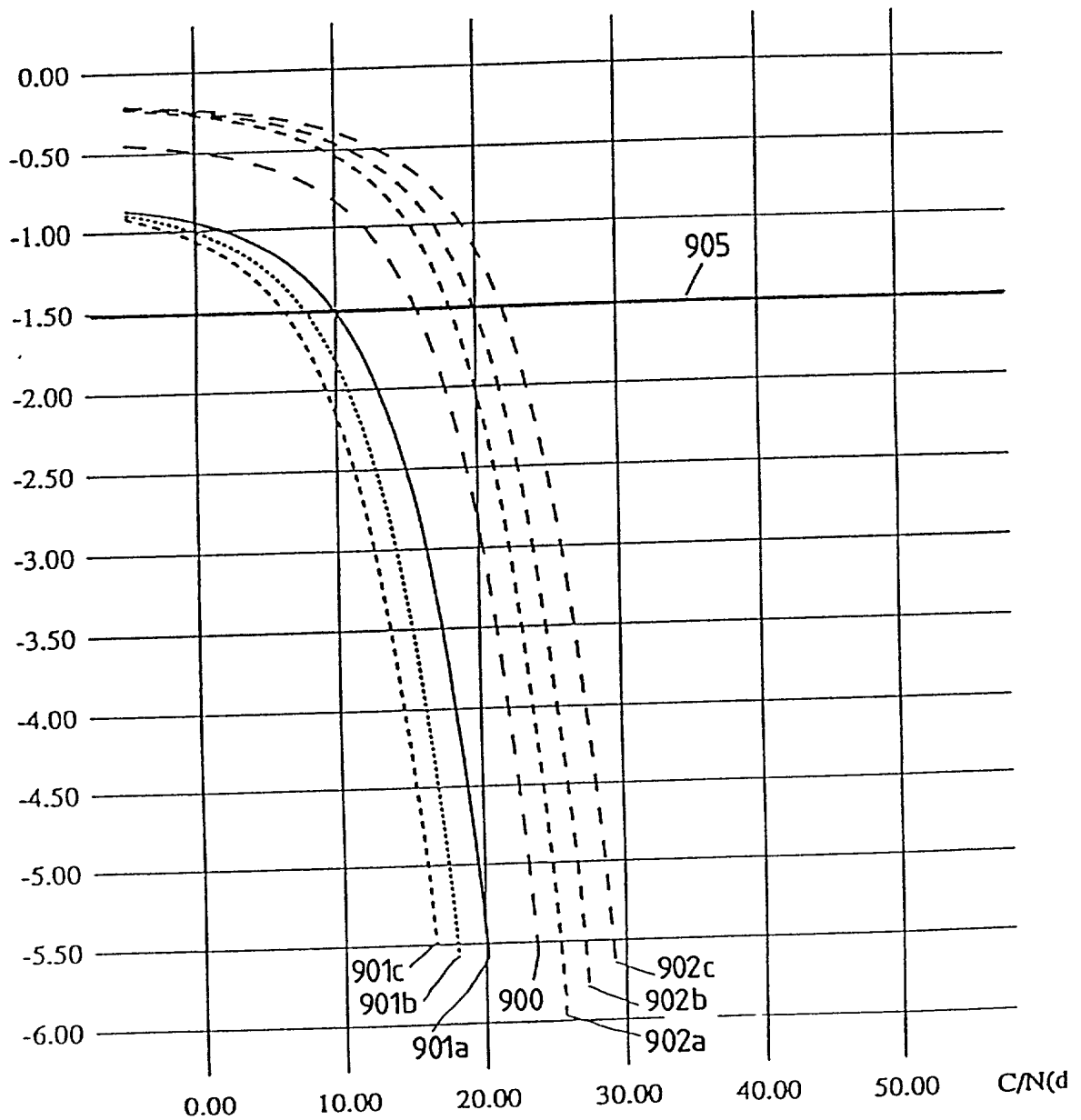


FIG. 102

Pe

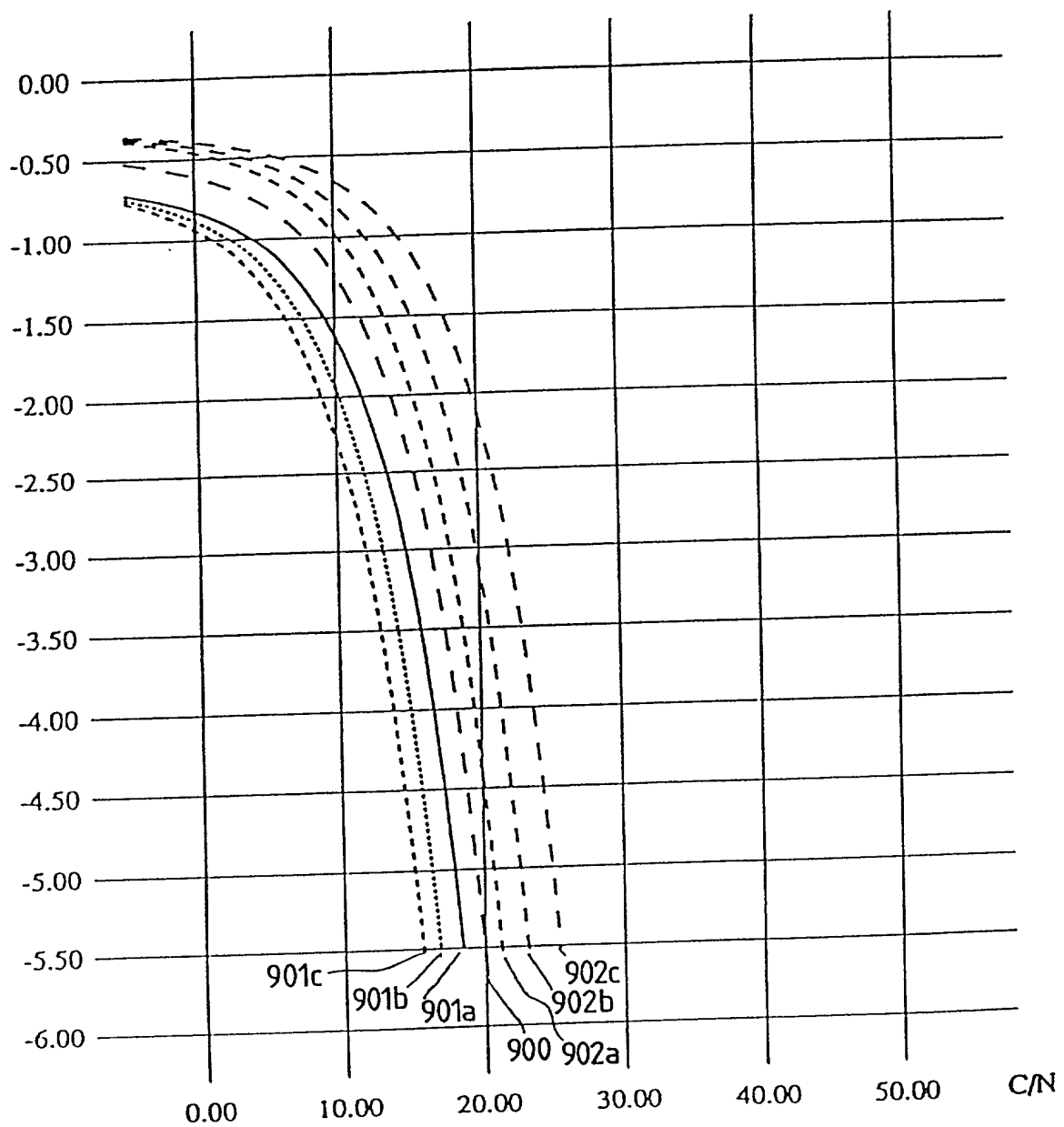


FIG. 103

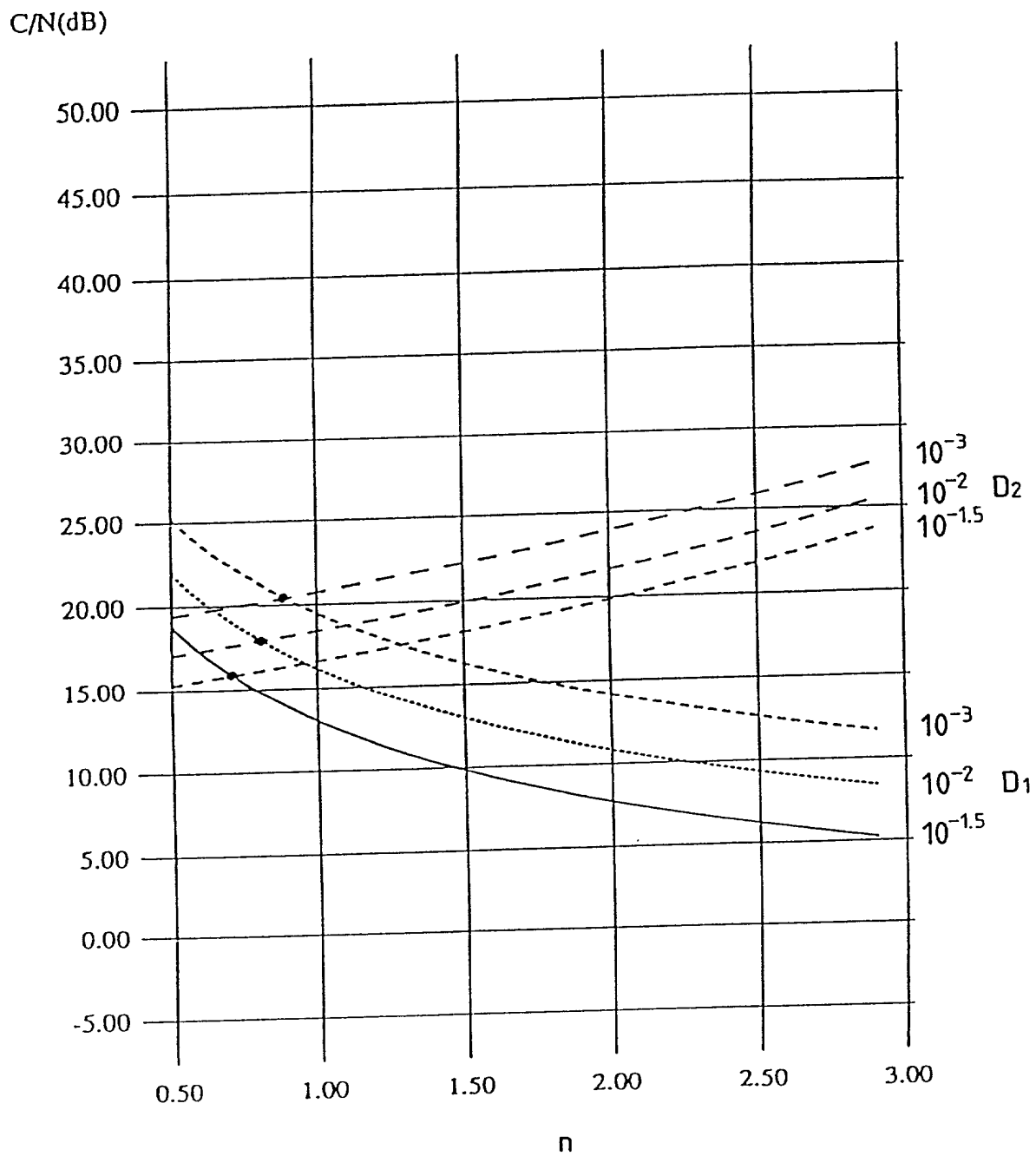
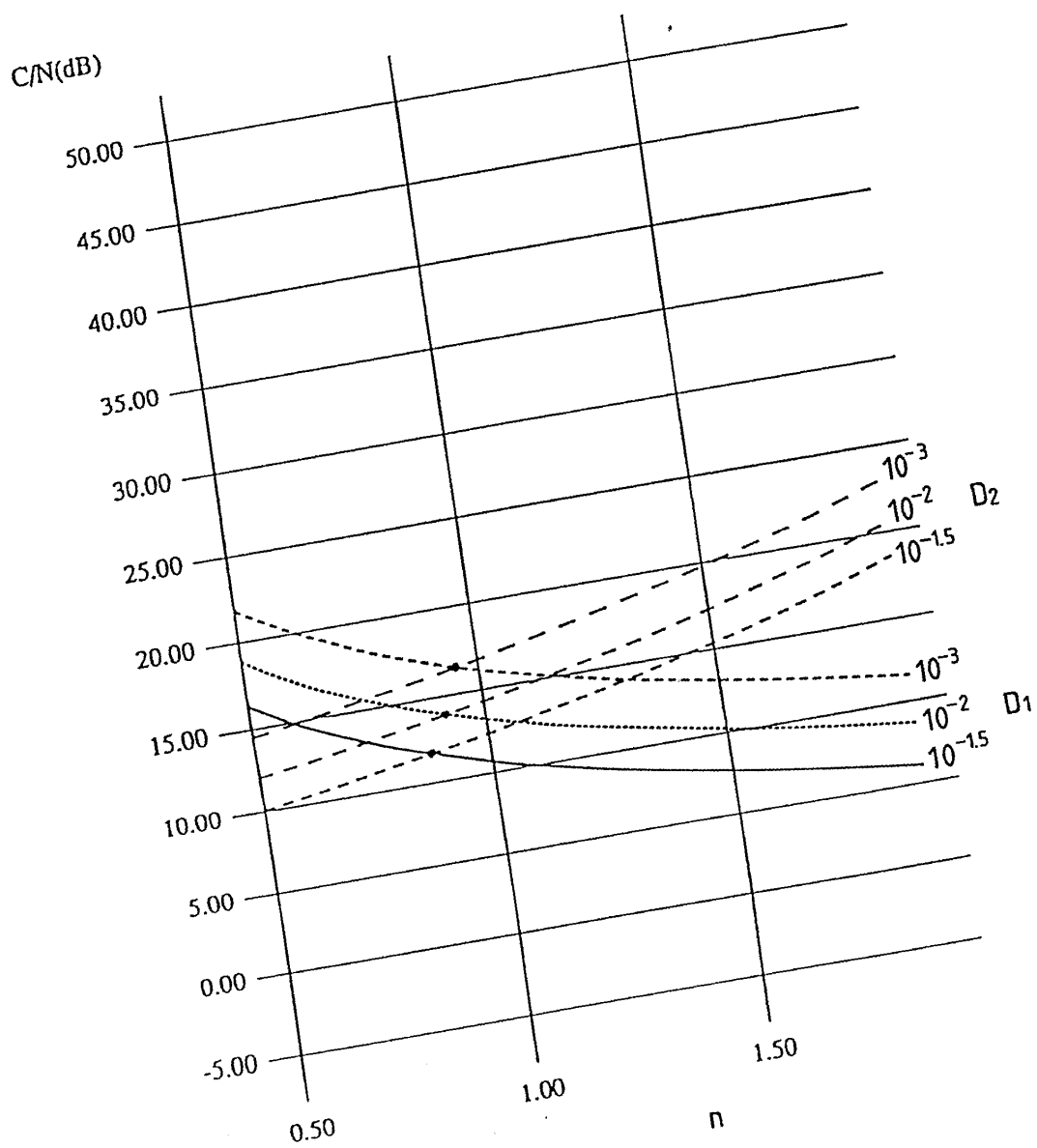


FIG. 104



09705775-340677

FIG. 105

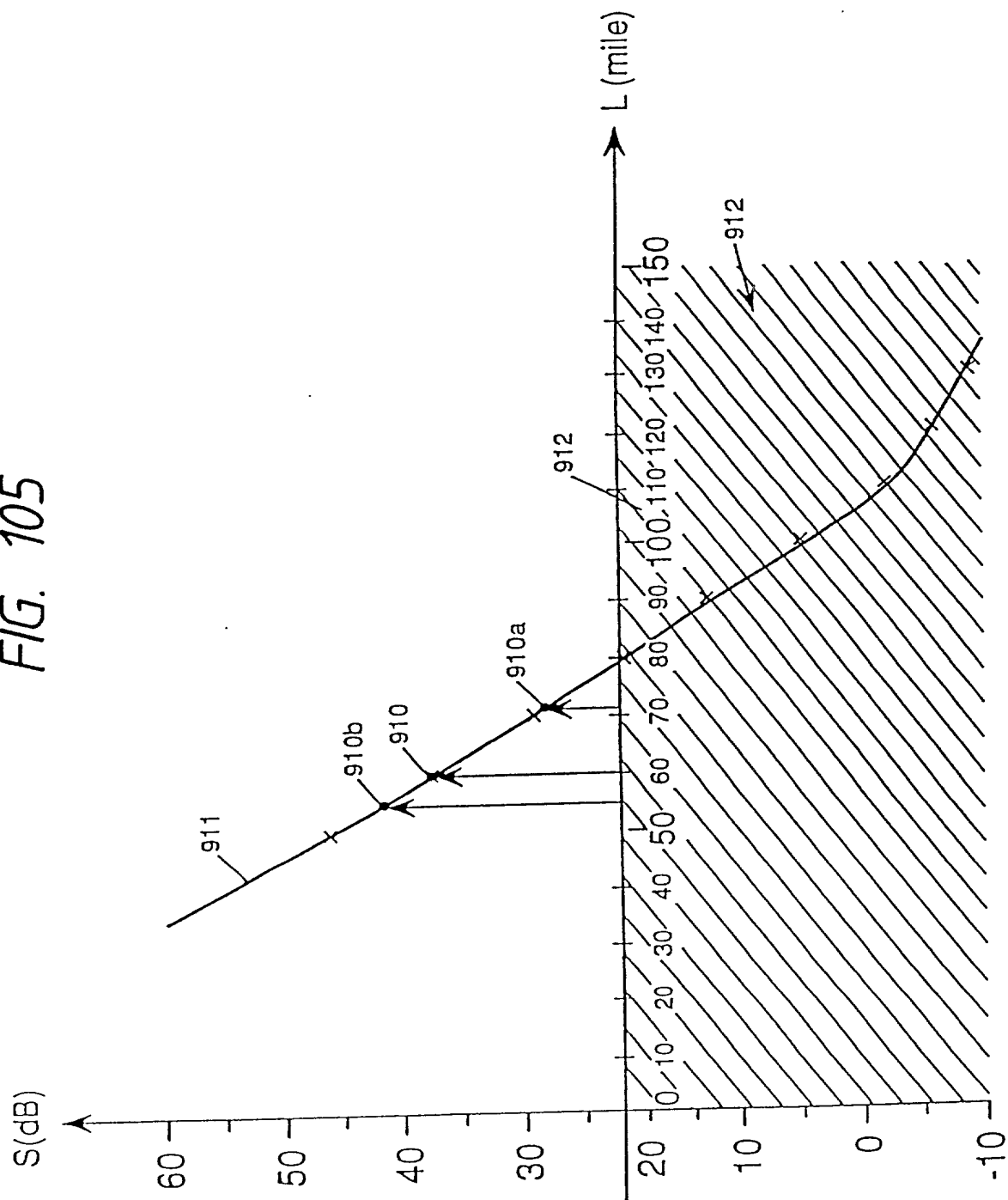


FIG. 106

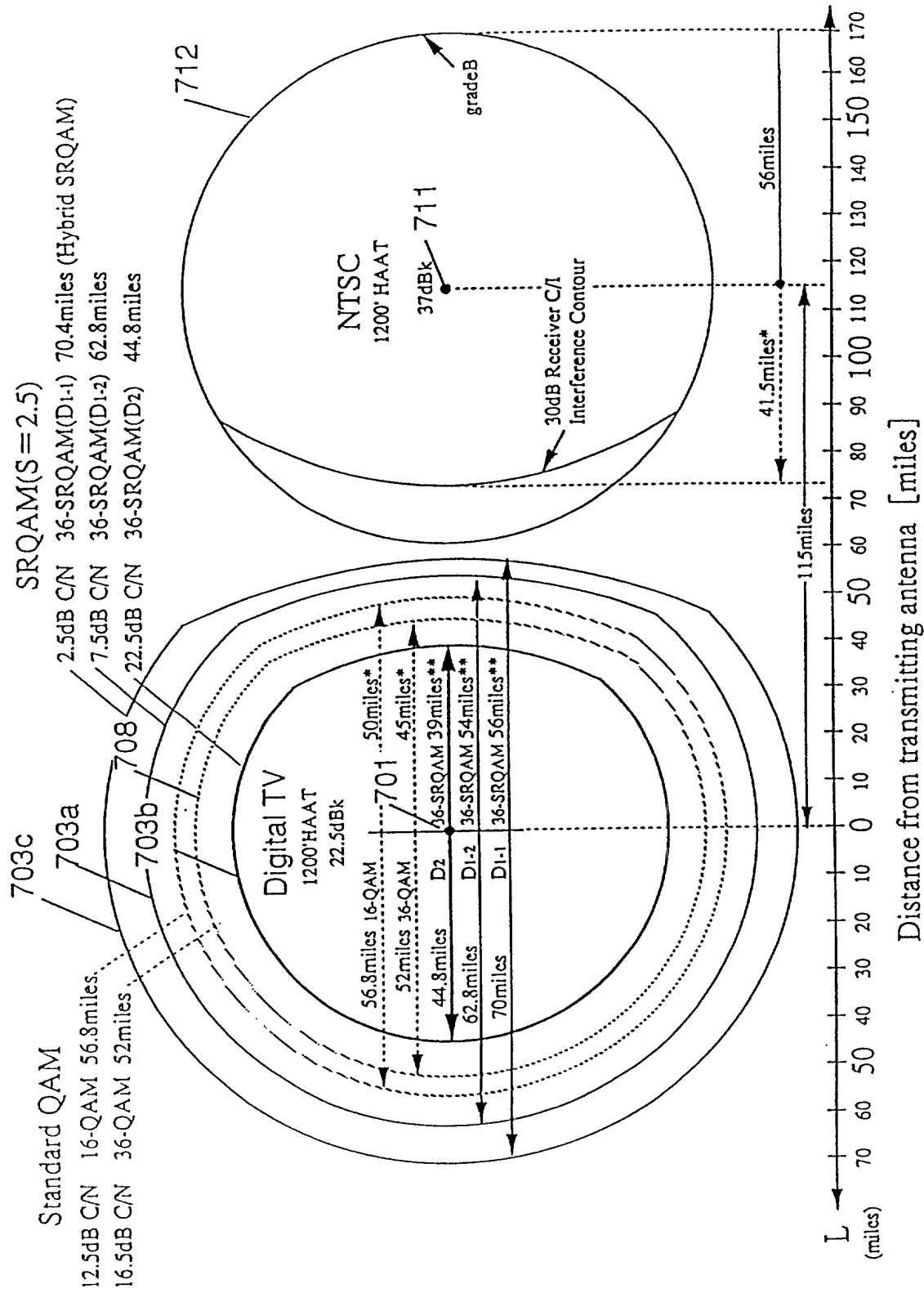
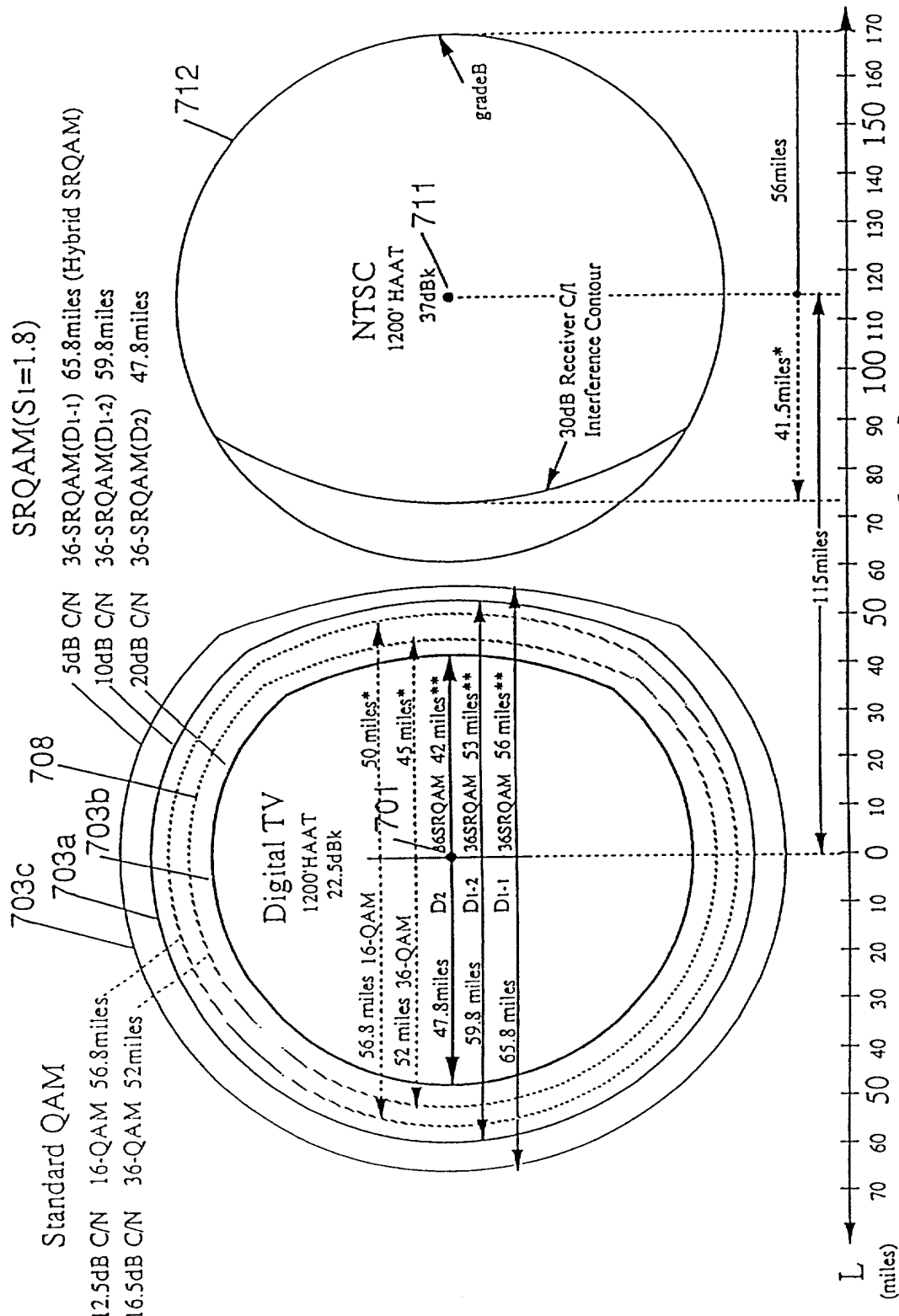


FIG. 107



** : approximately calculated

FIG. 108

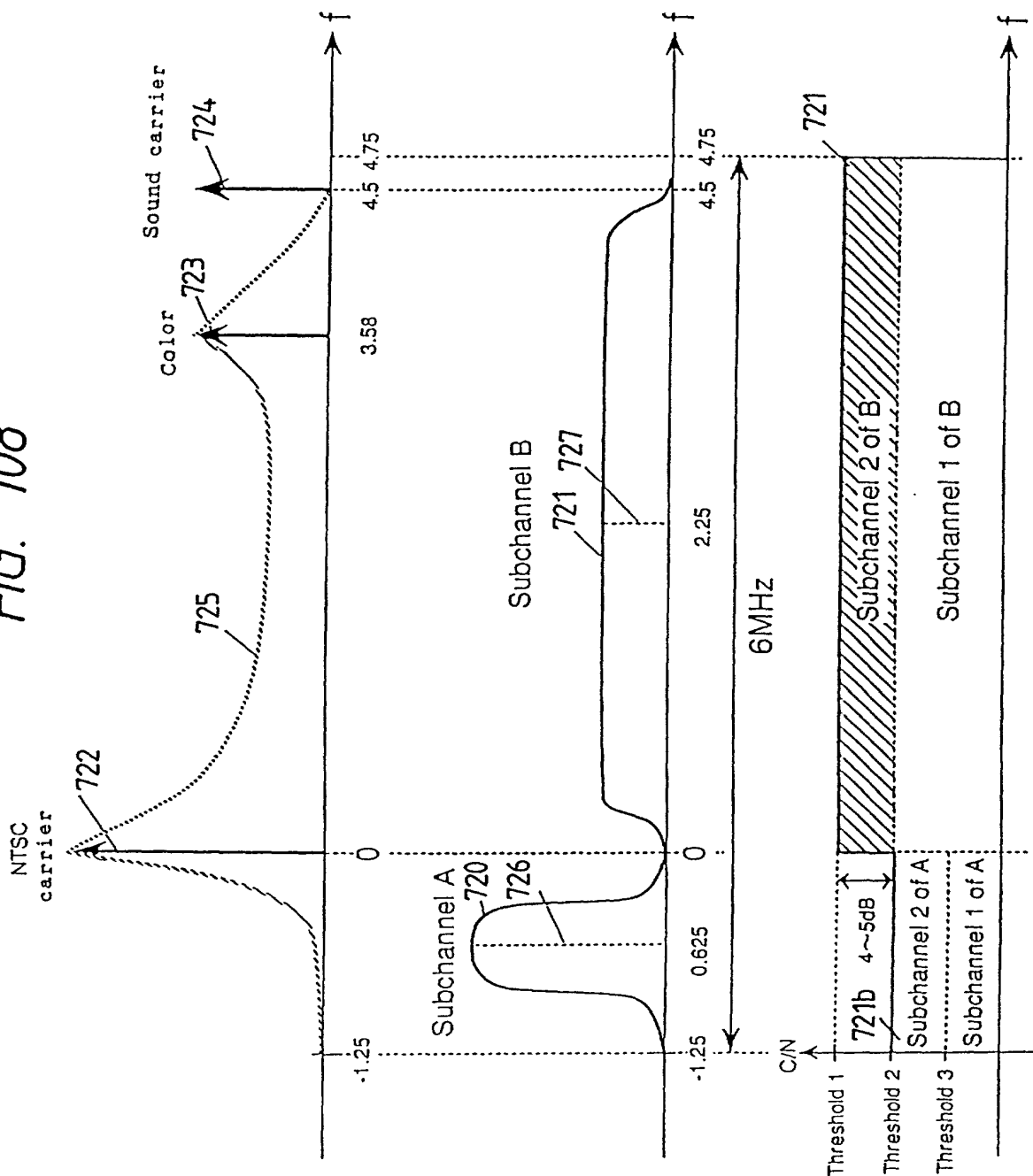


FIG. 109

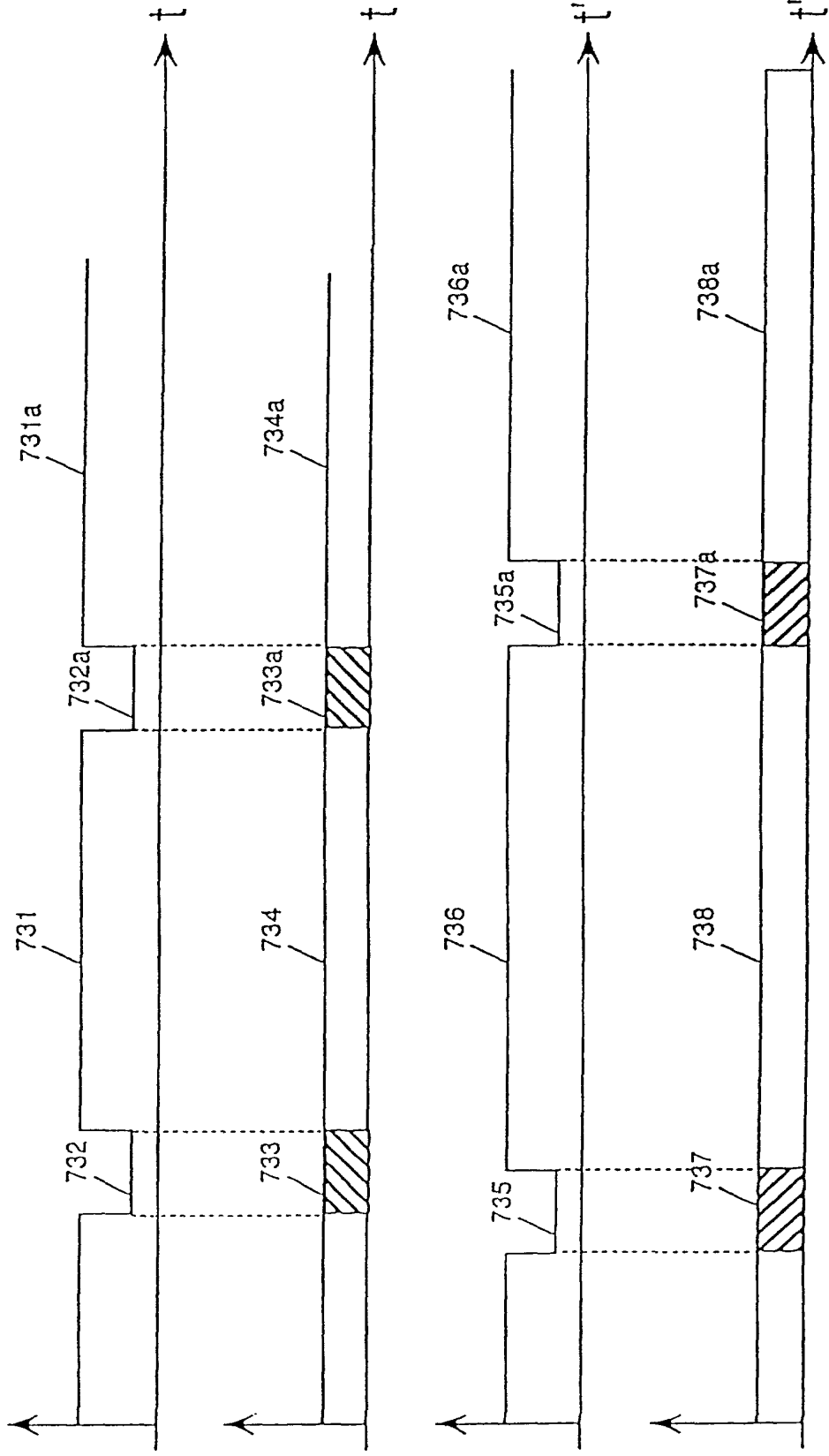
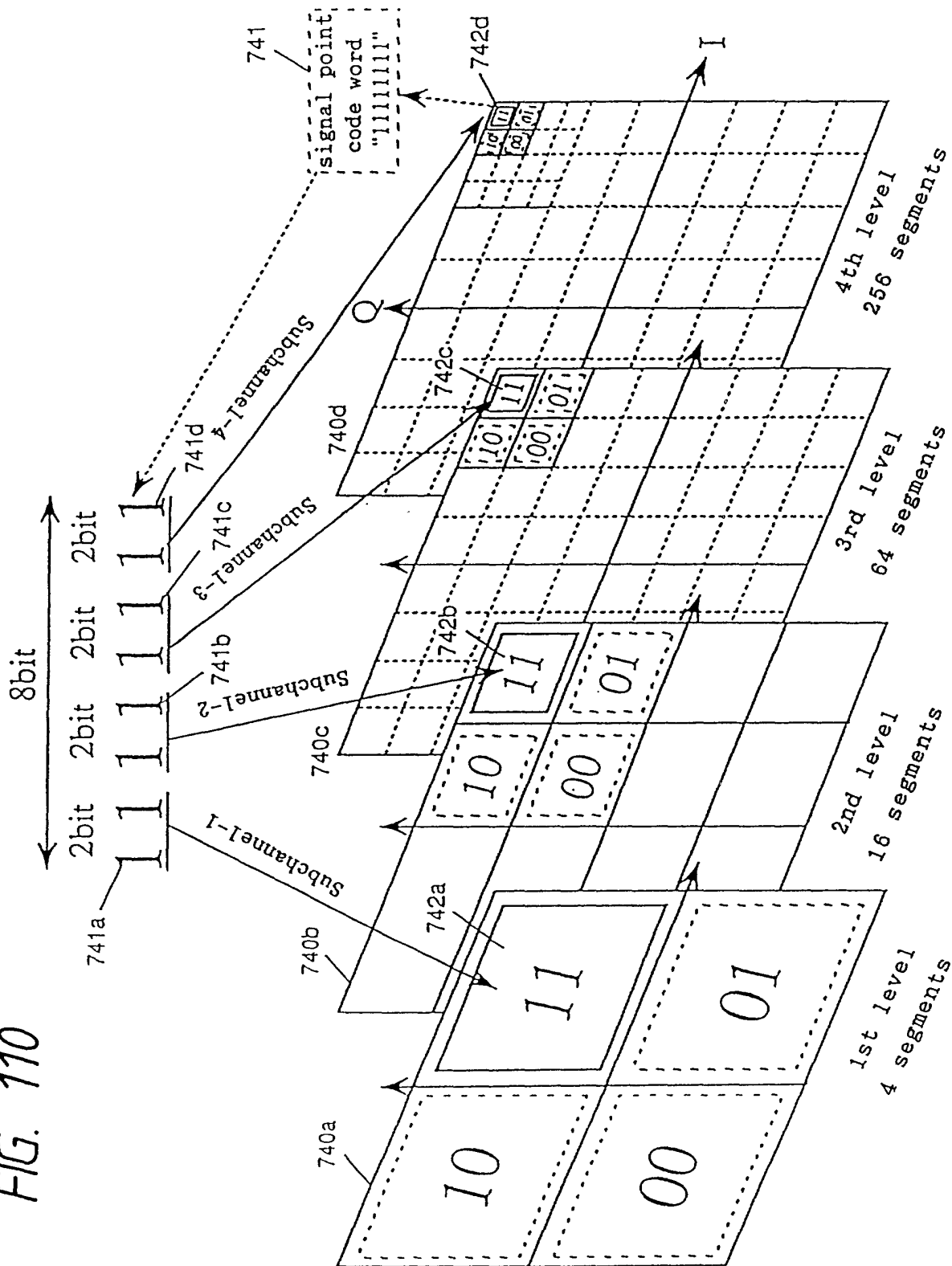


FIG. 110



009011" 92250260

Subchannel-1 (SRQAM:D₁=2bit)

FIG. 112

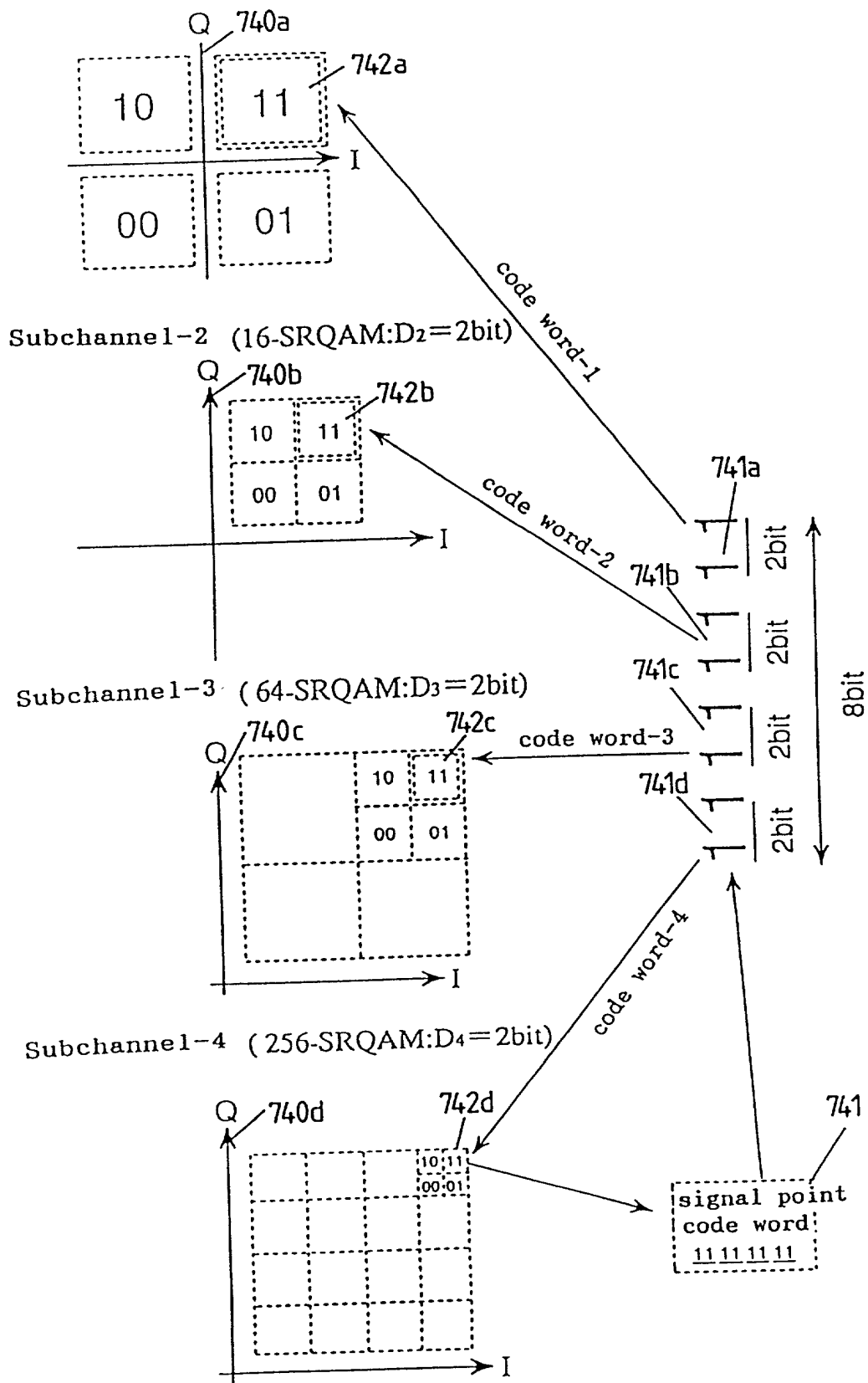


FIG. 113

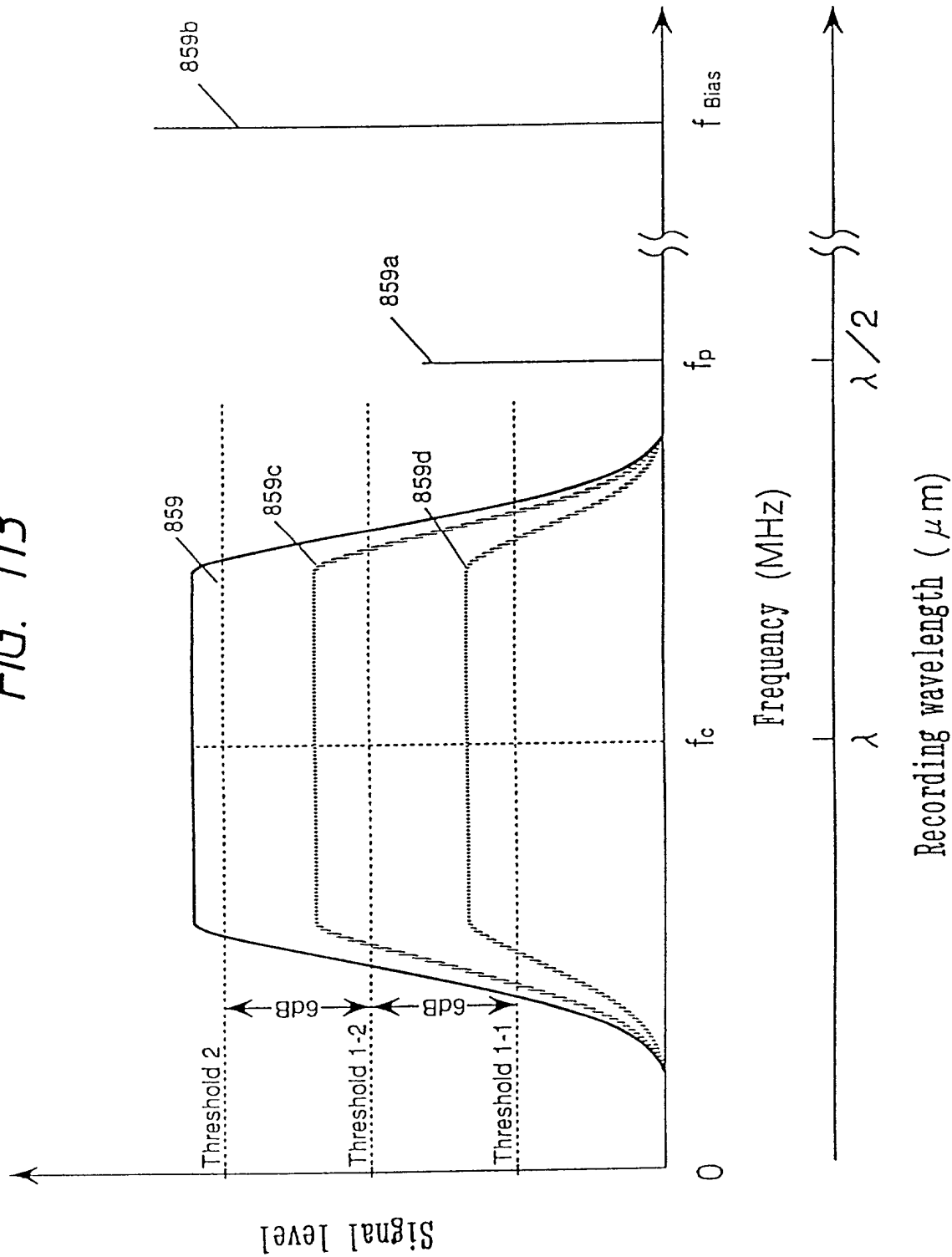


FIG. 115

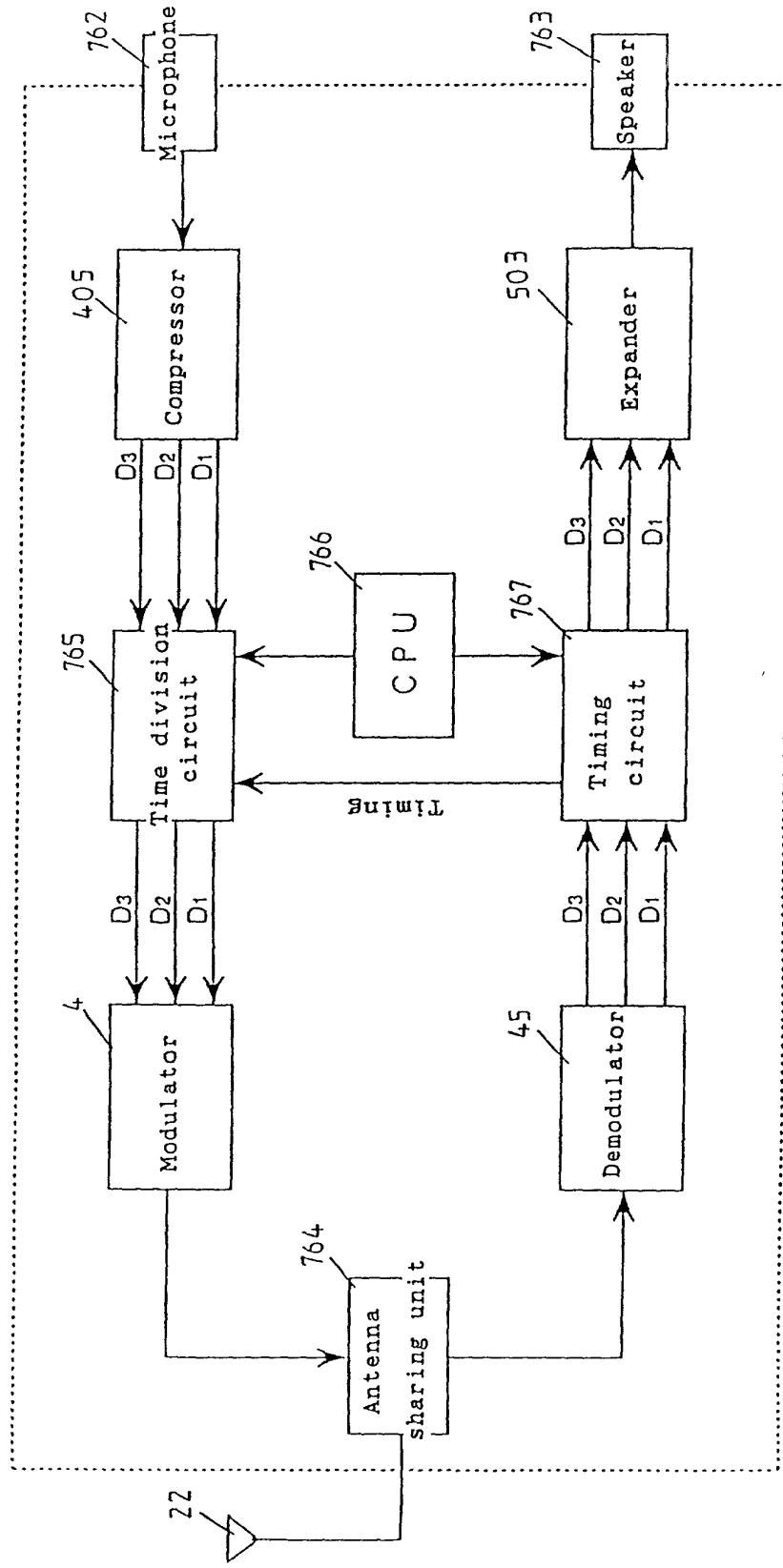


FIG. 116

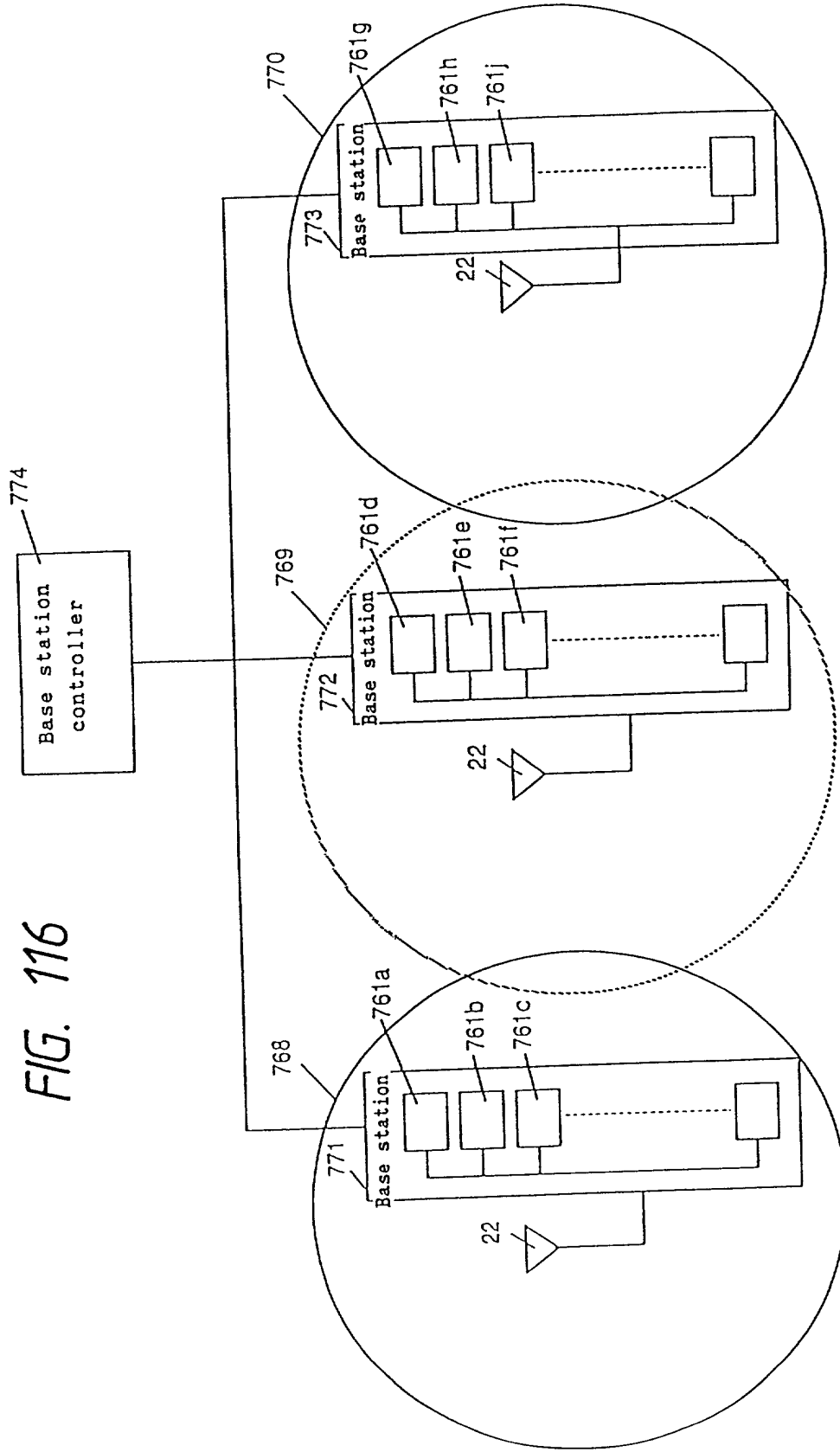


FIG. 117

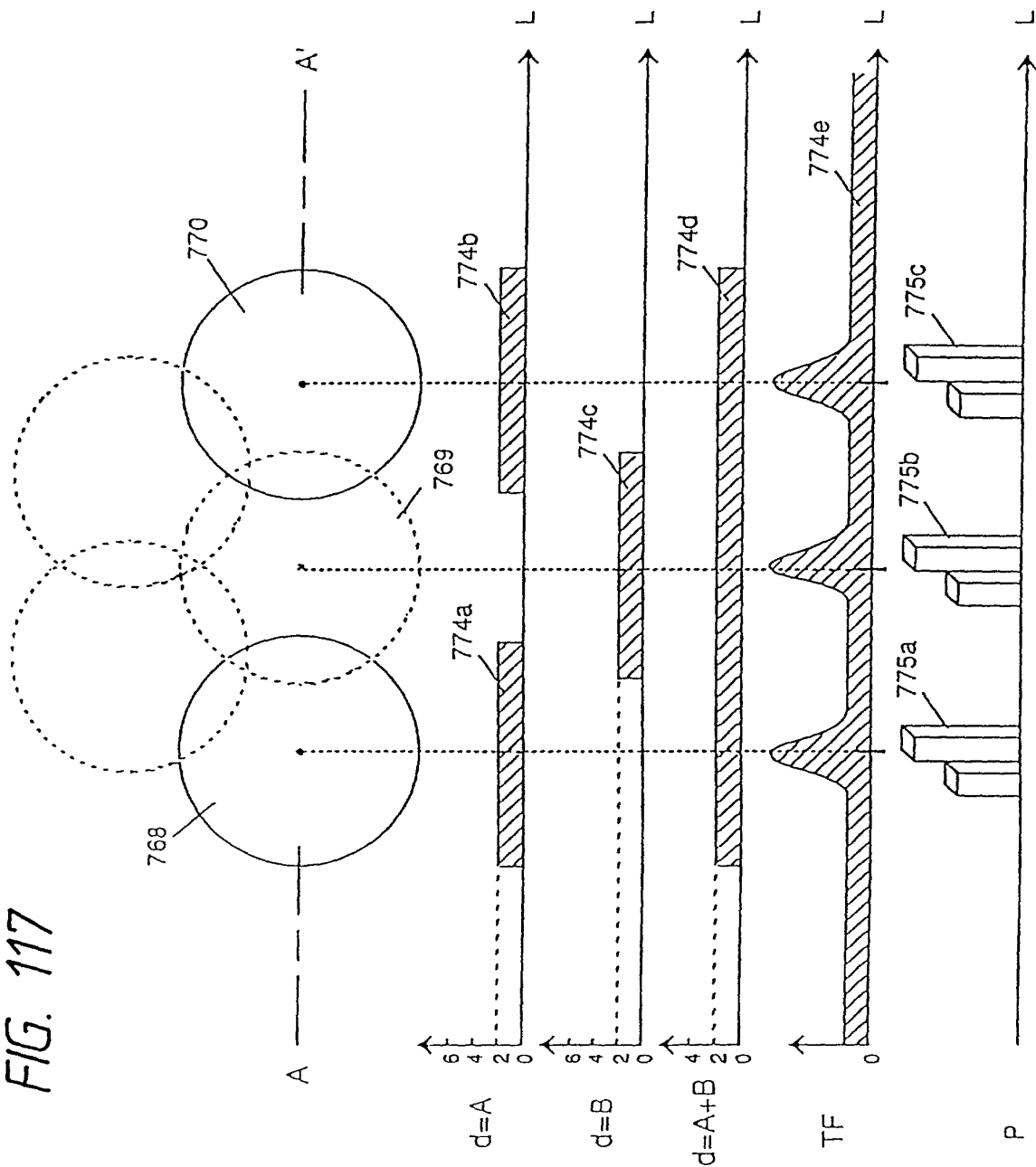


FIG. 118

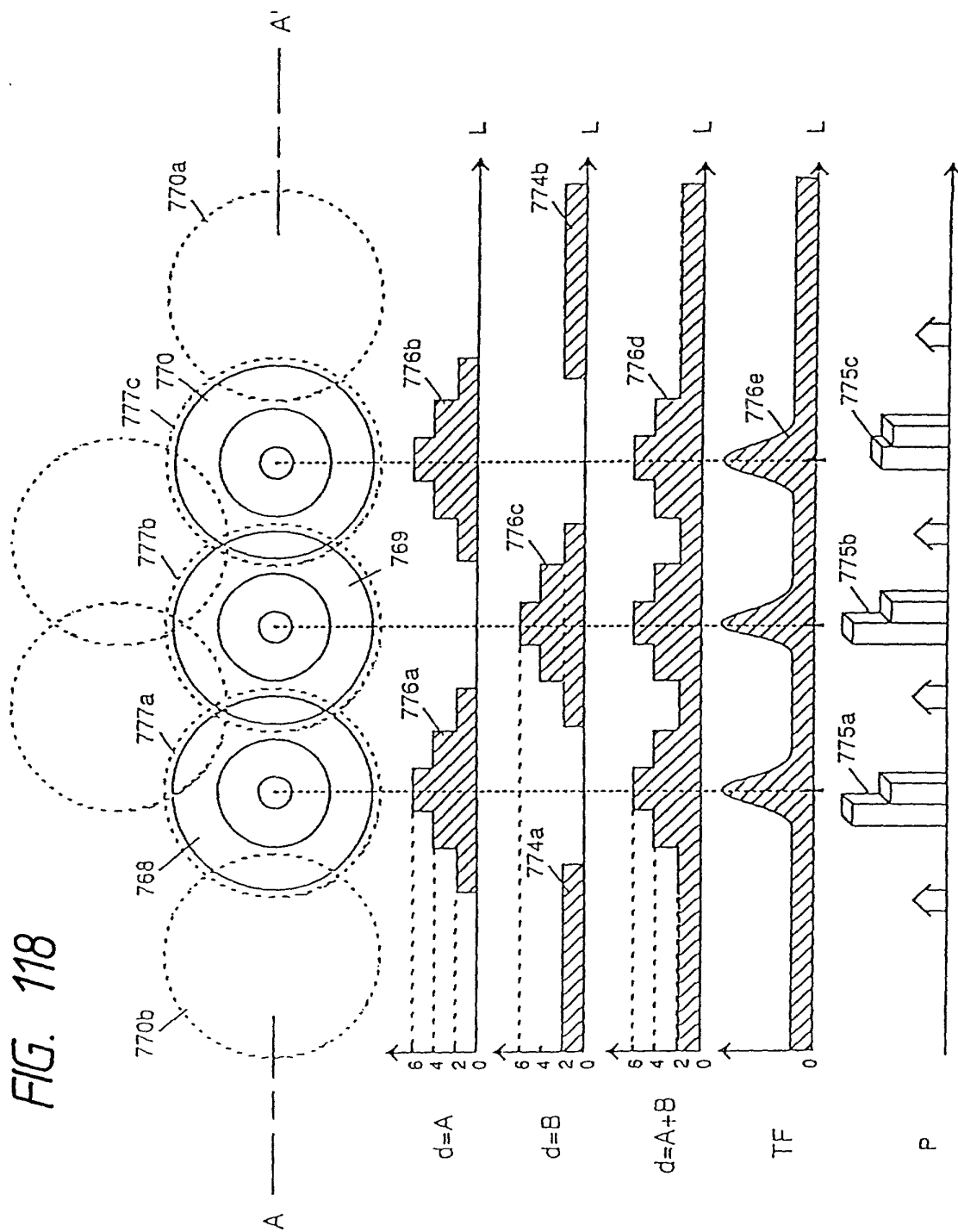


FIG. 119

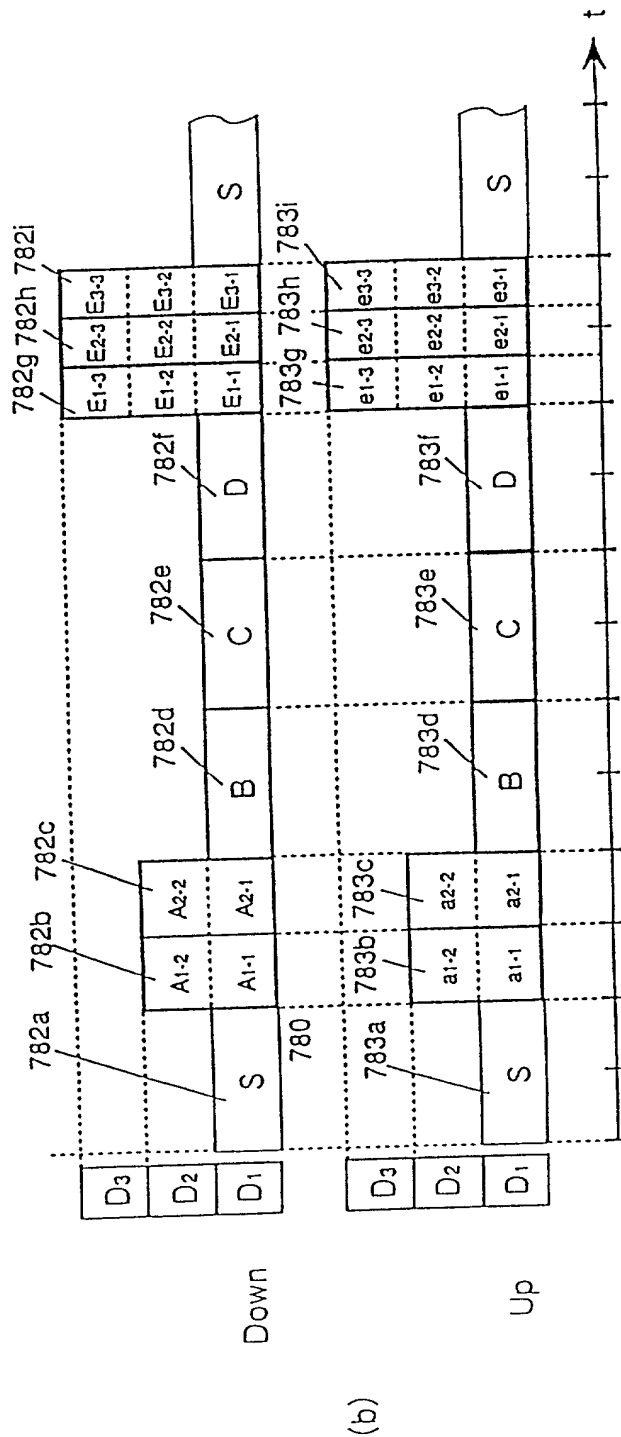
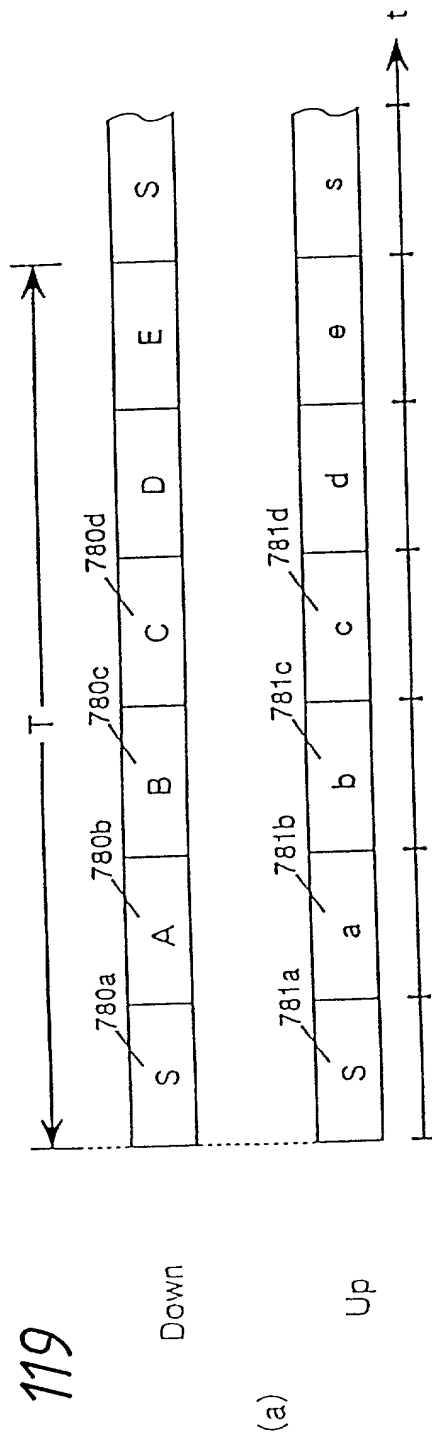


FIG. 120

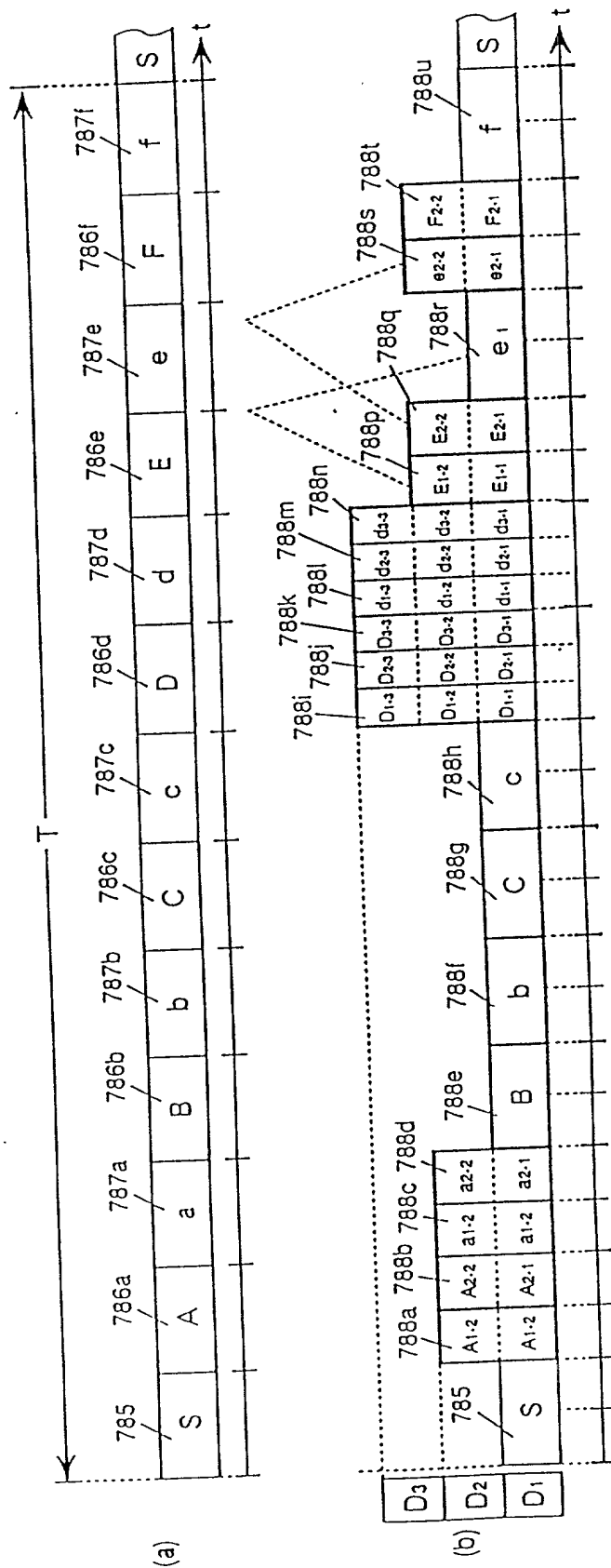


FIG. 121

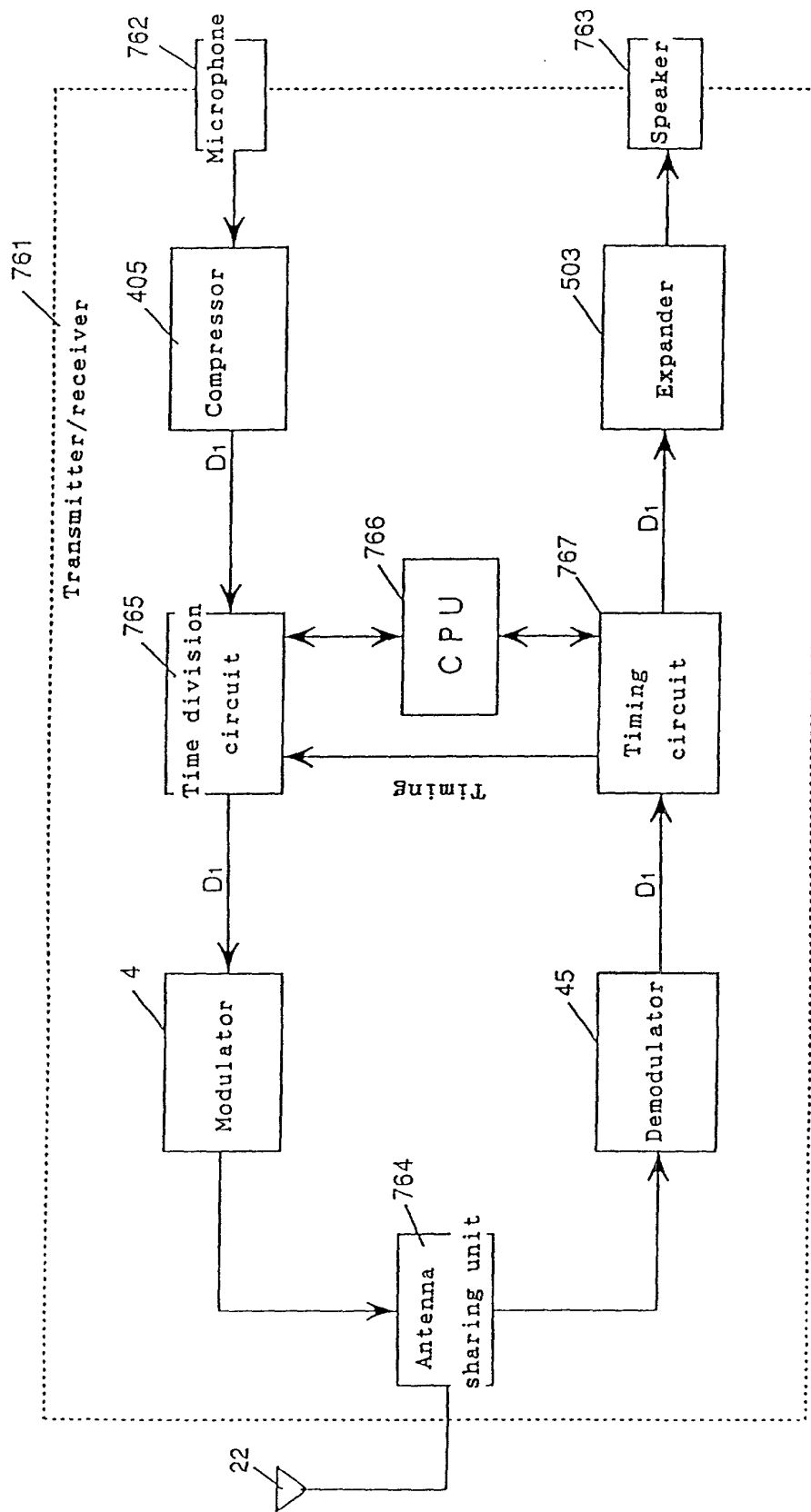


FIG. 122

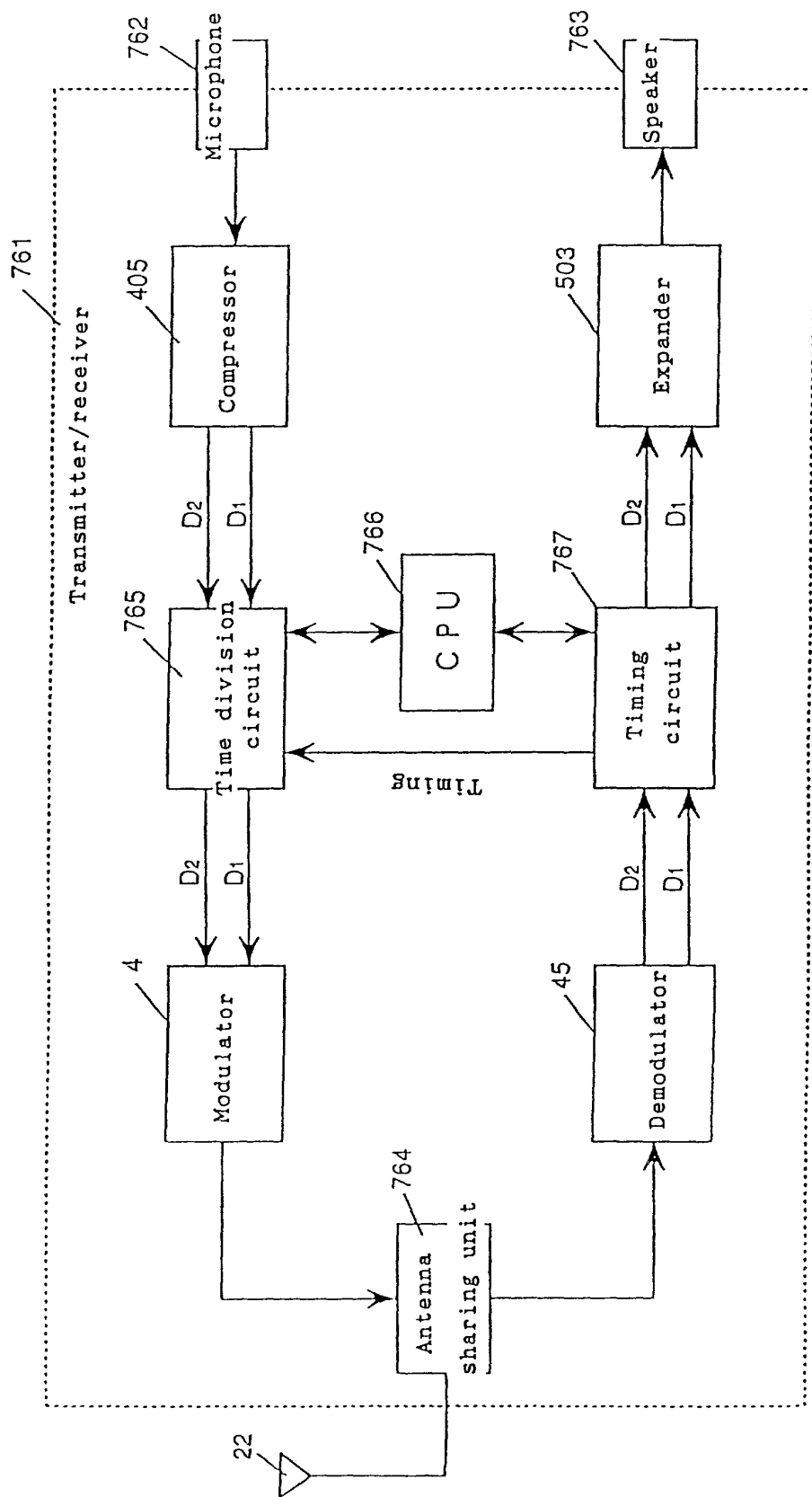


FIG. 123

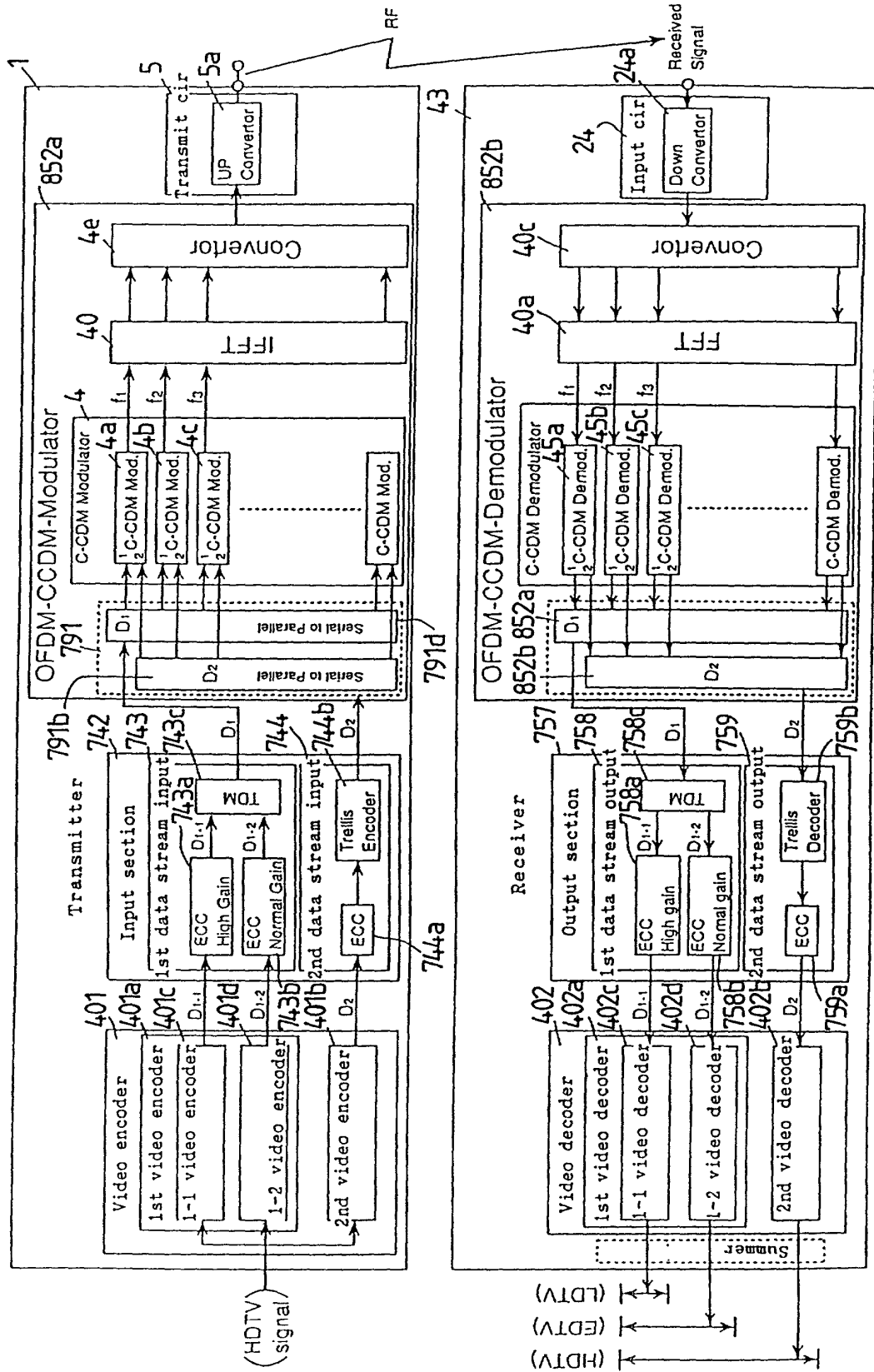


FIG. 125

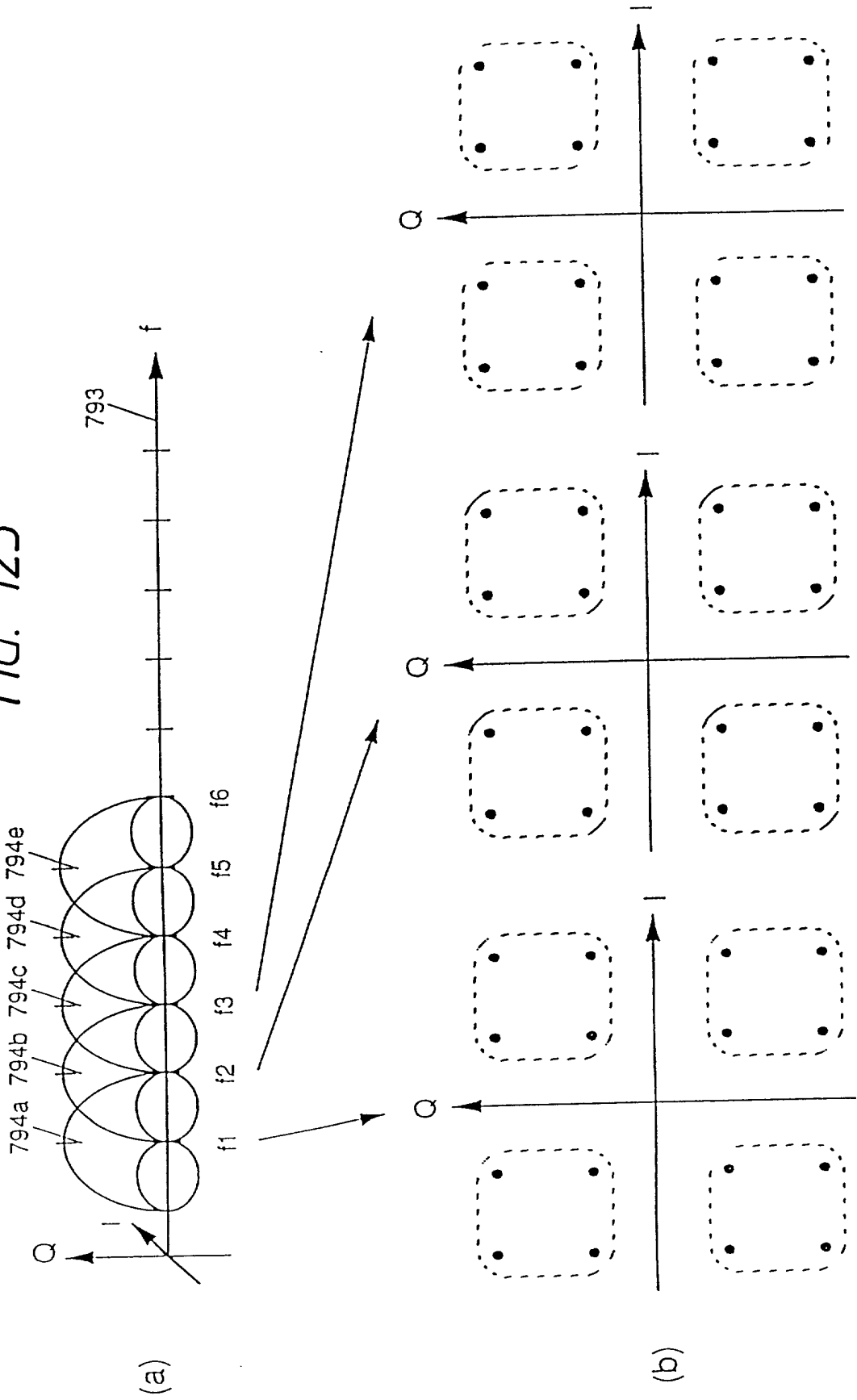


FIG. 126

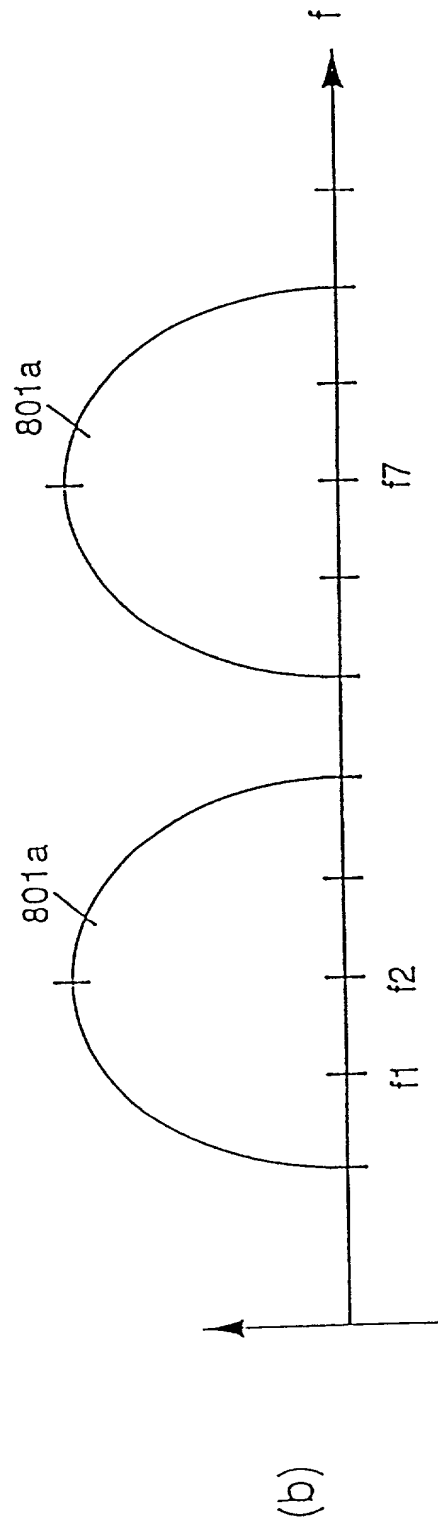
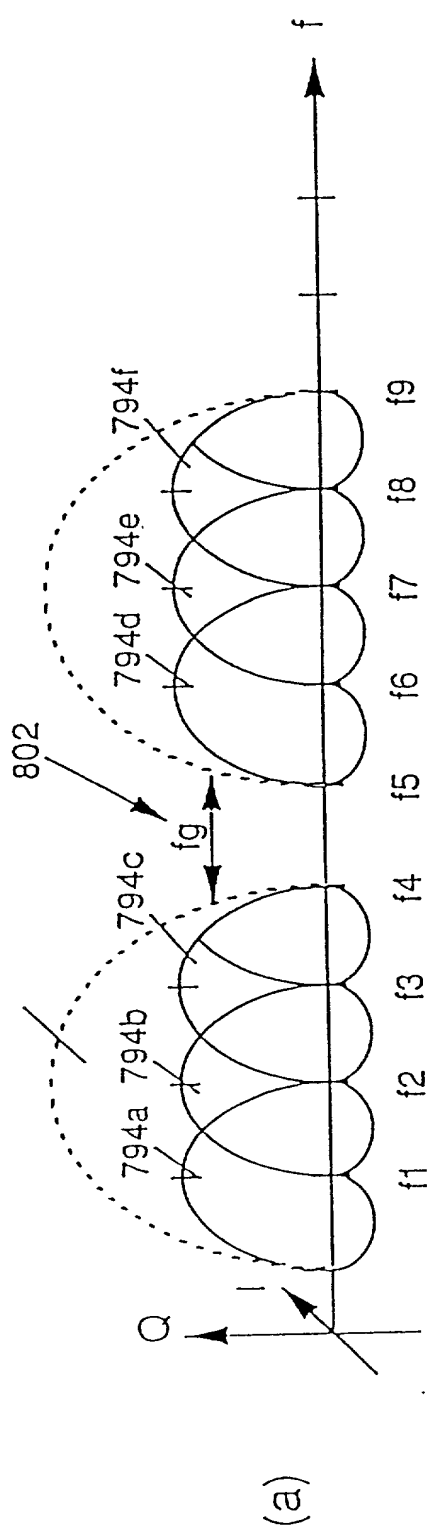


FIG. 127

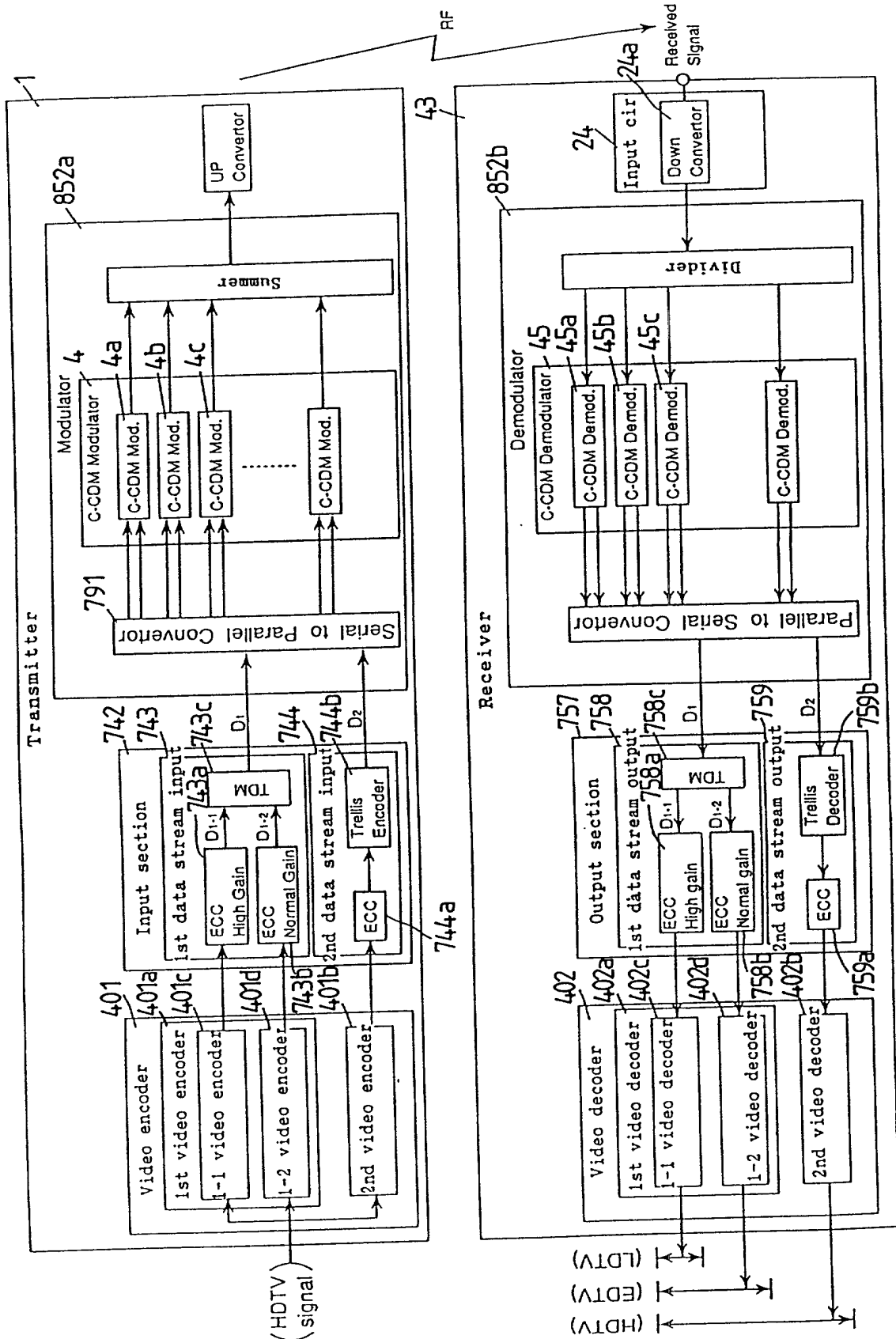


FIG. 128

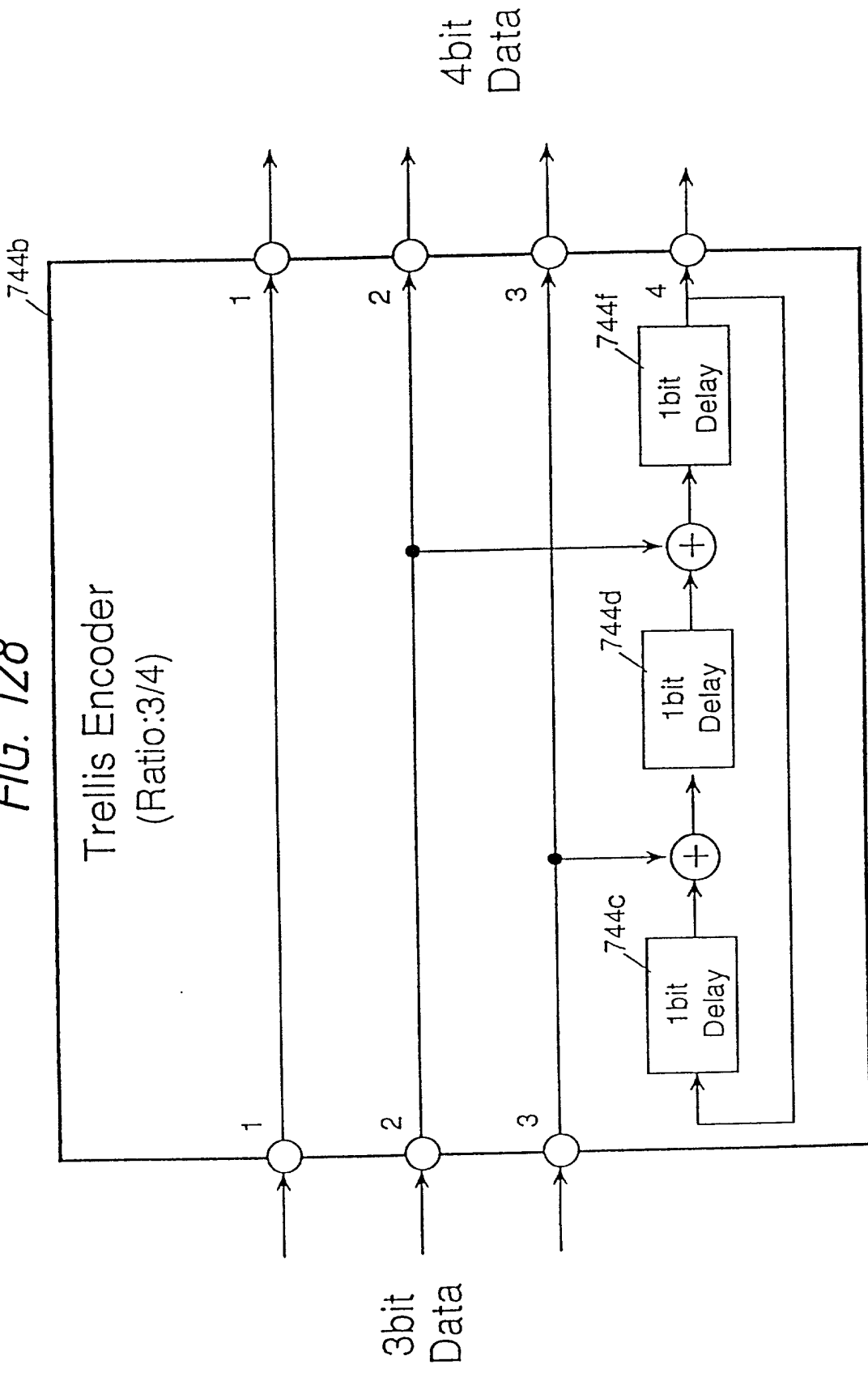


FIG. 129

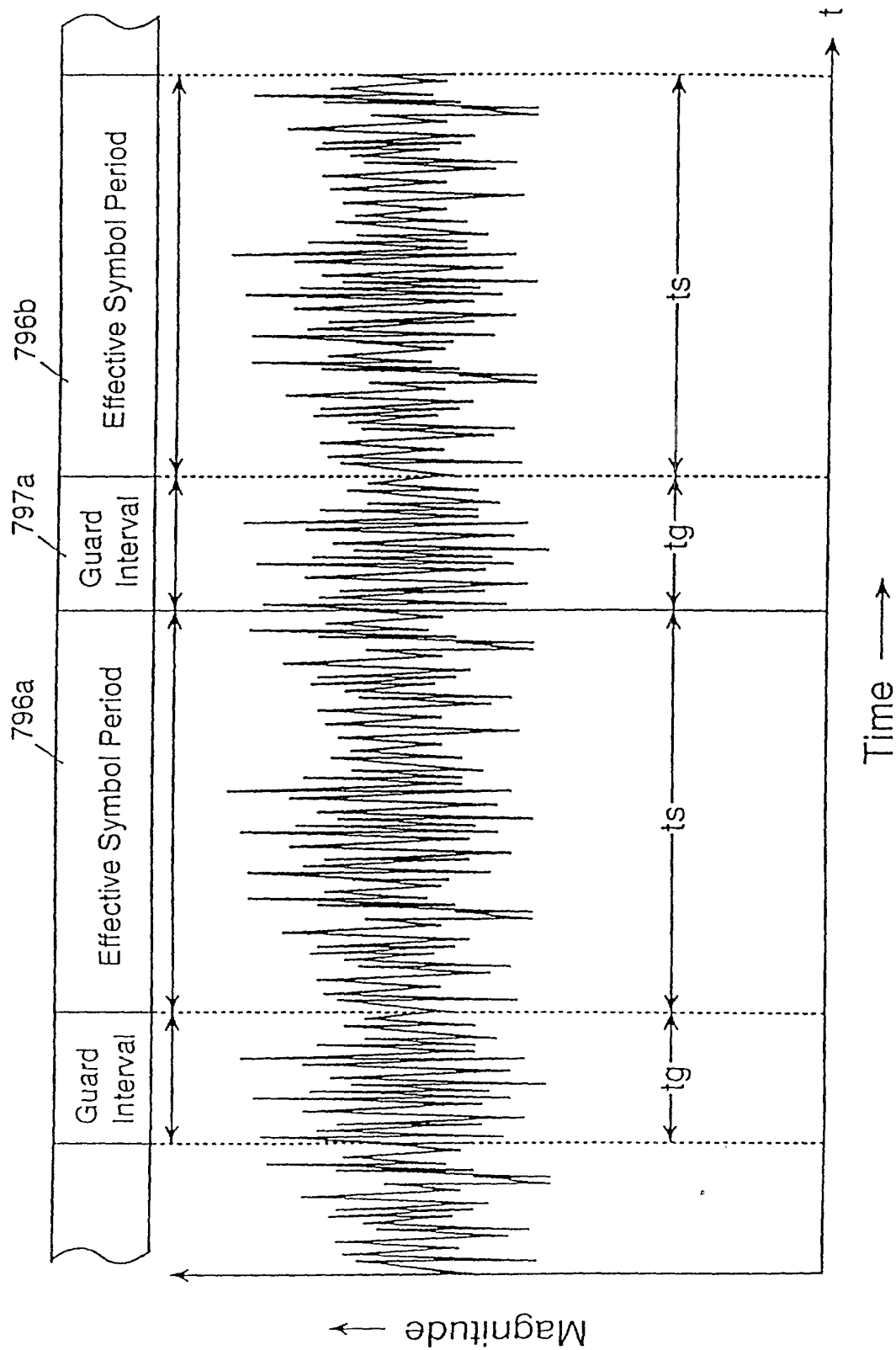


FIG. 130

GHOST DELAY=2us, D/J=8dB
Figure 8 Bit Error Rate Performance Under Single Ghost
and Gaussian Noise (1)

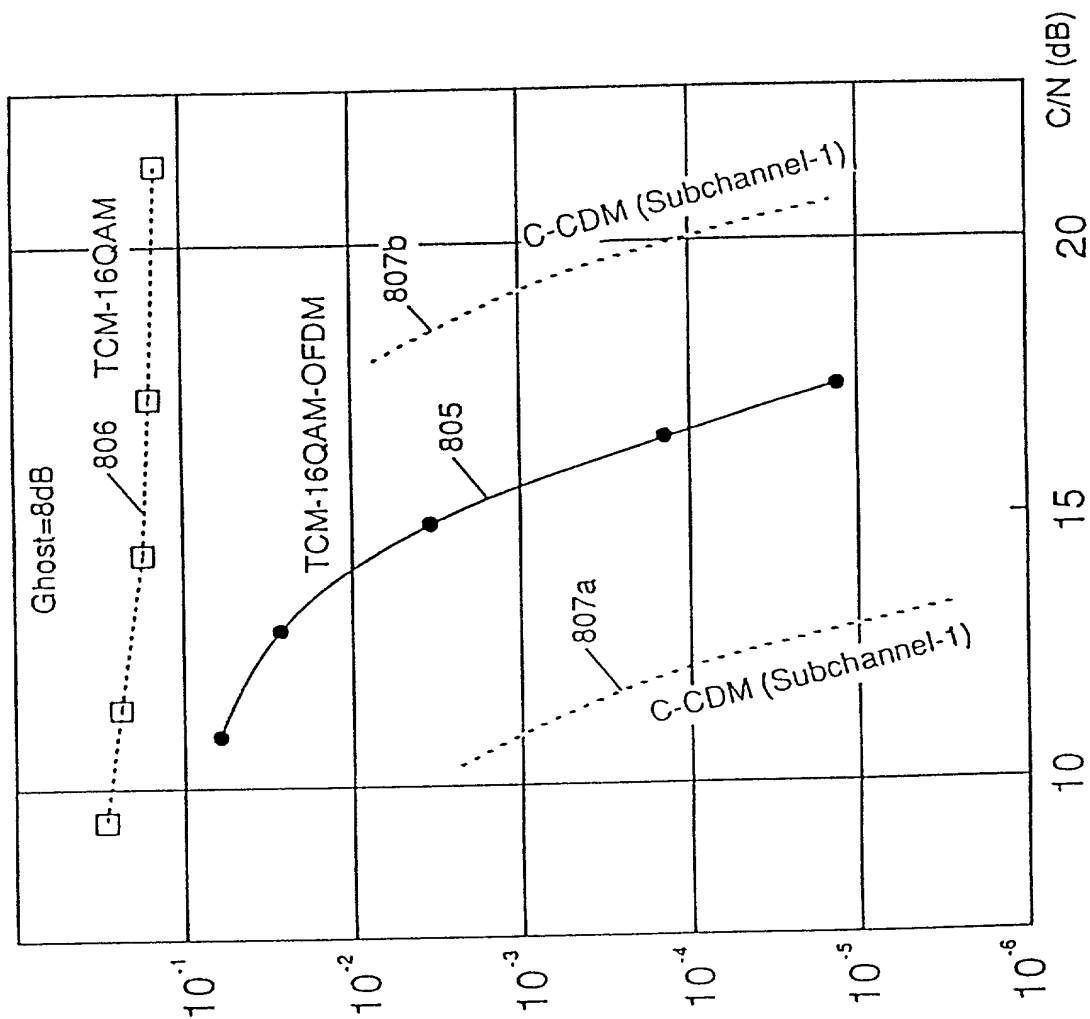


FIG. 131

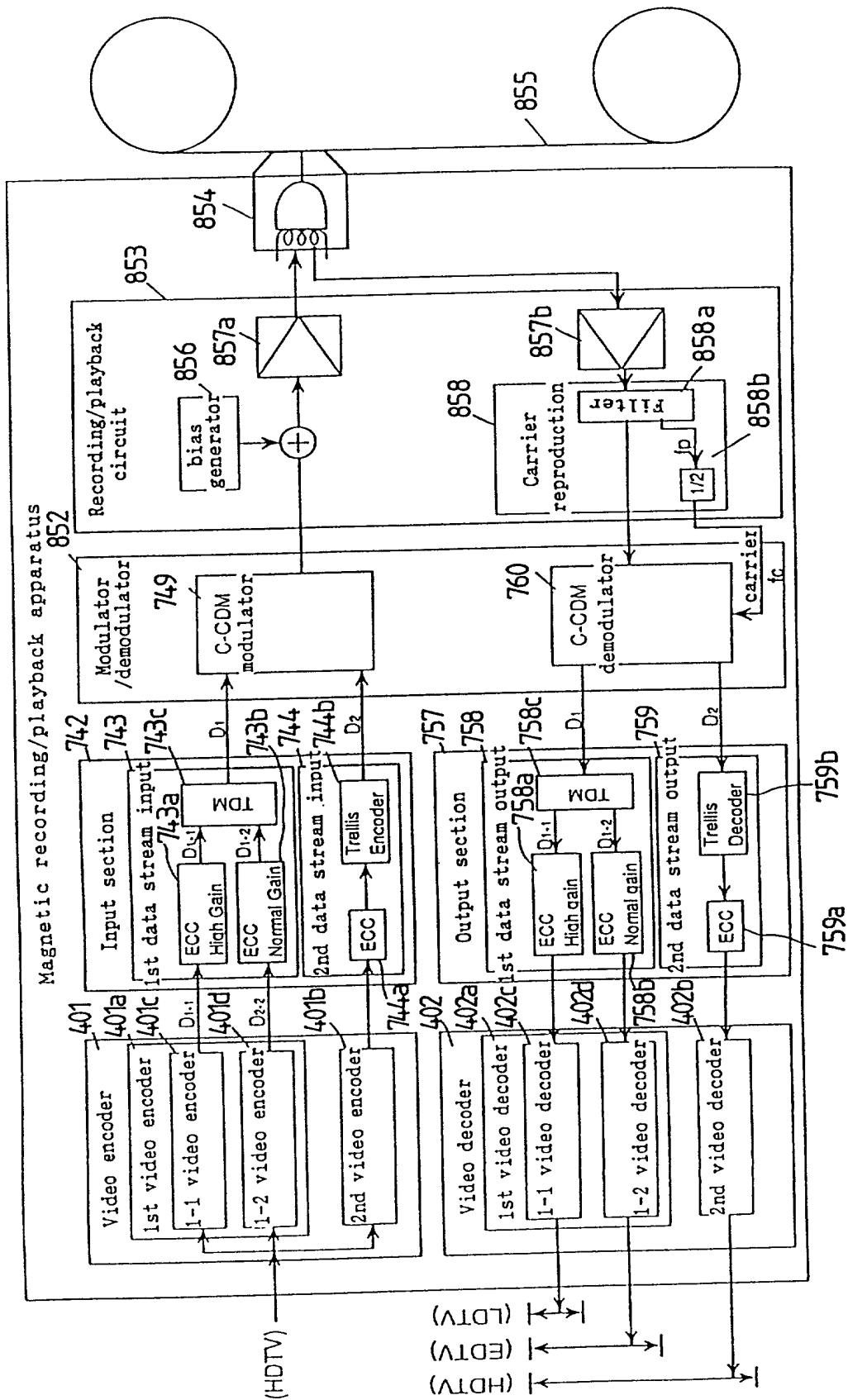


FIG. 132

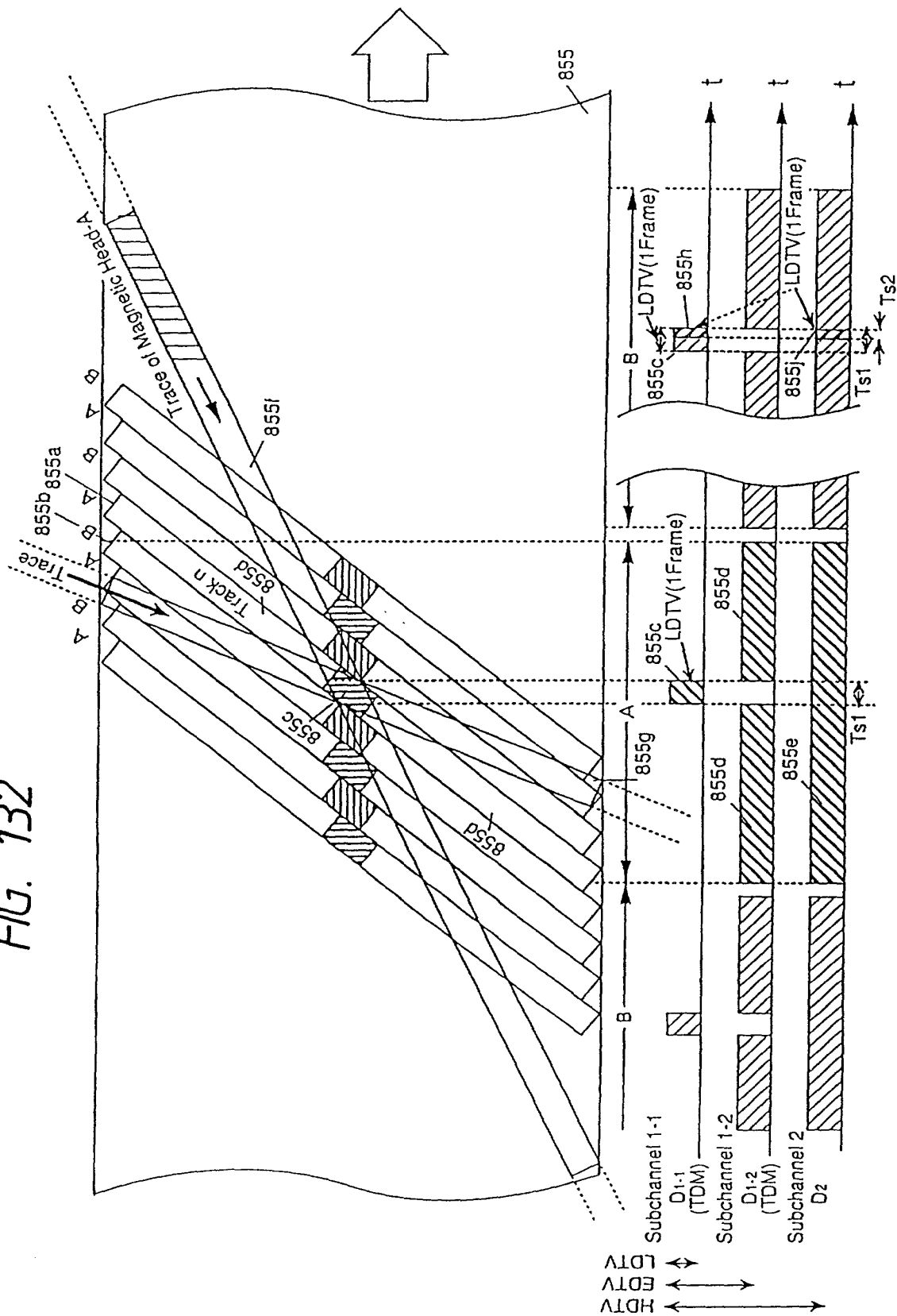


FIG. 134

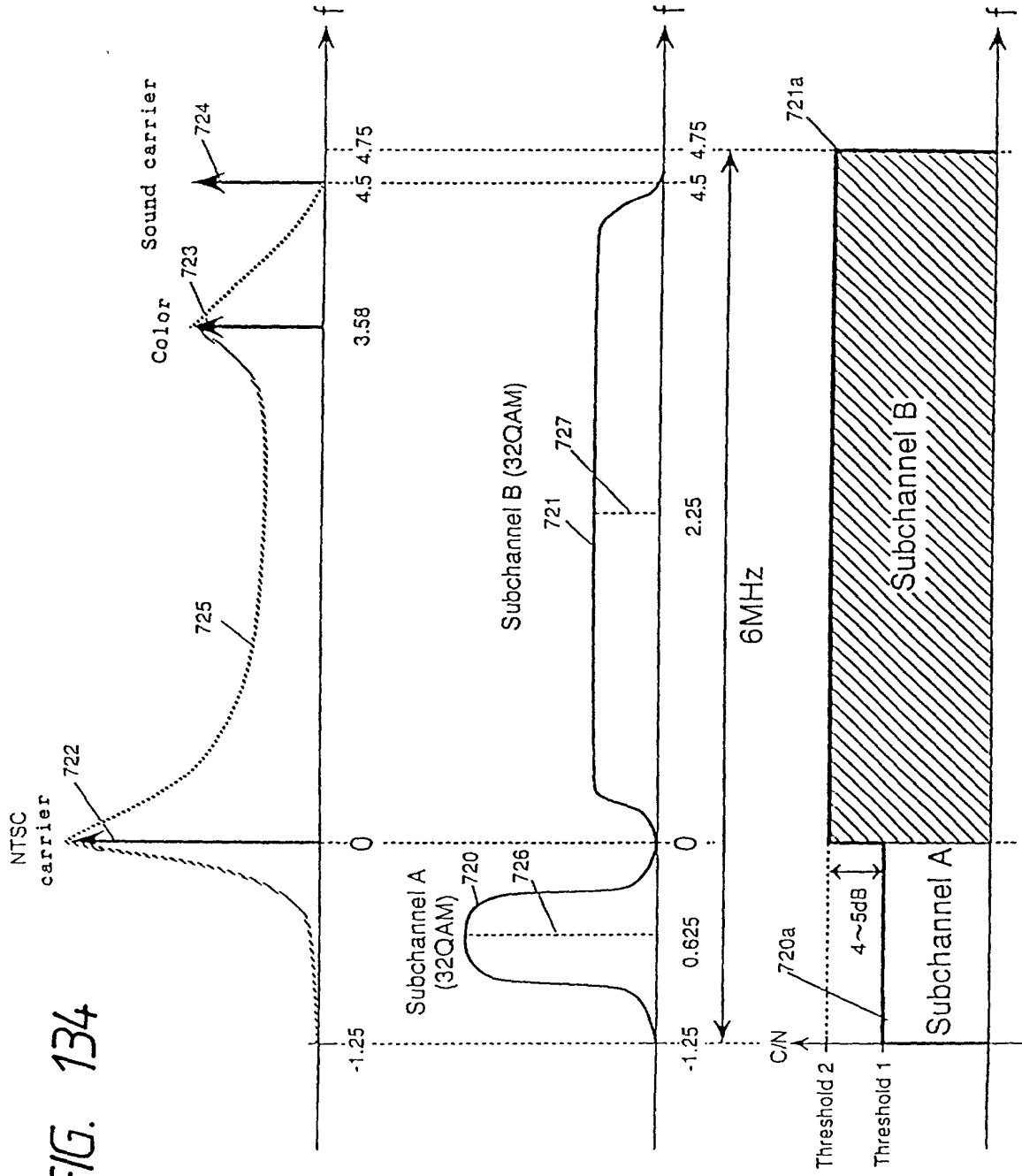


FIG. 135

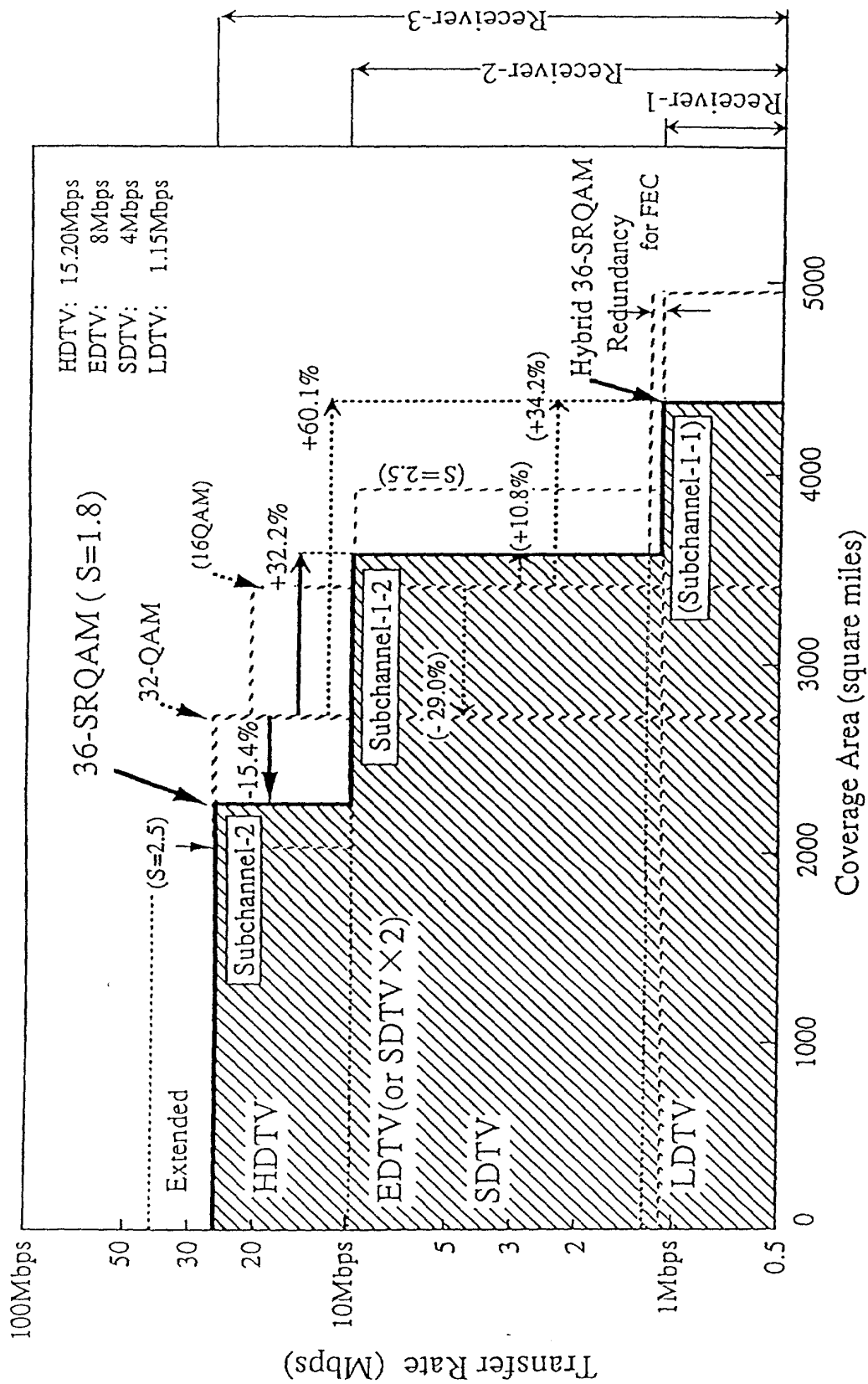
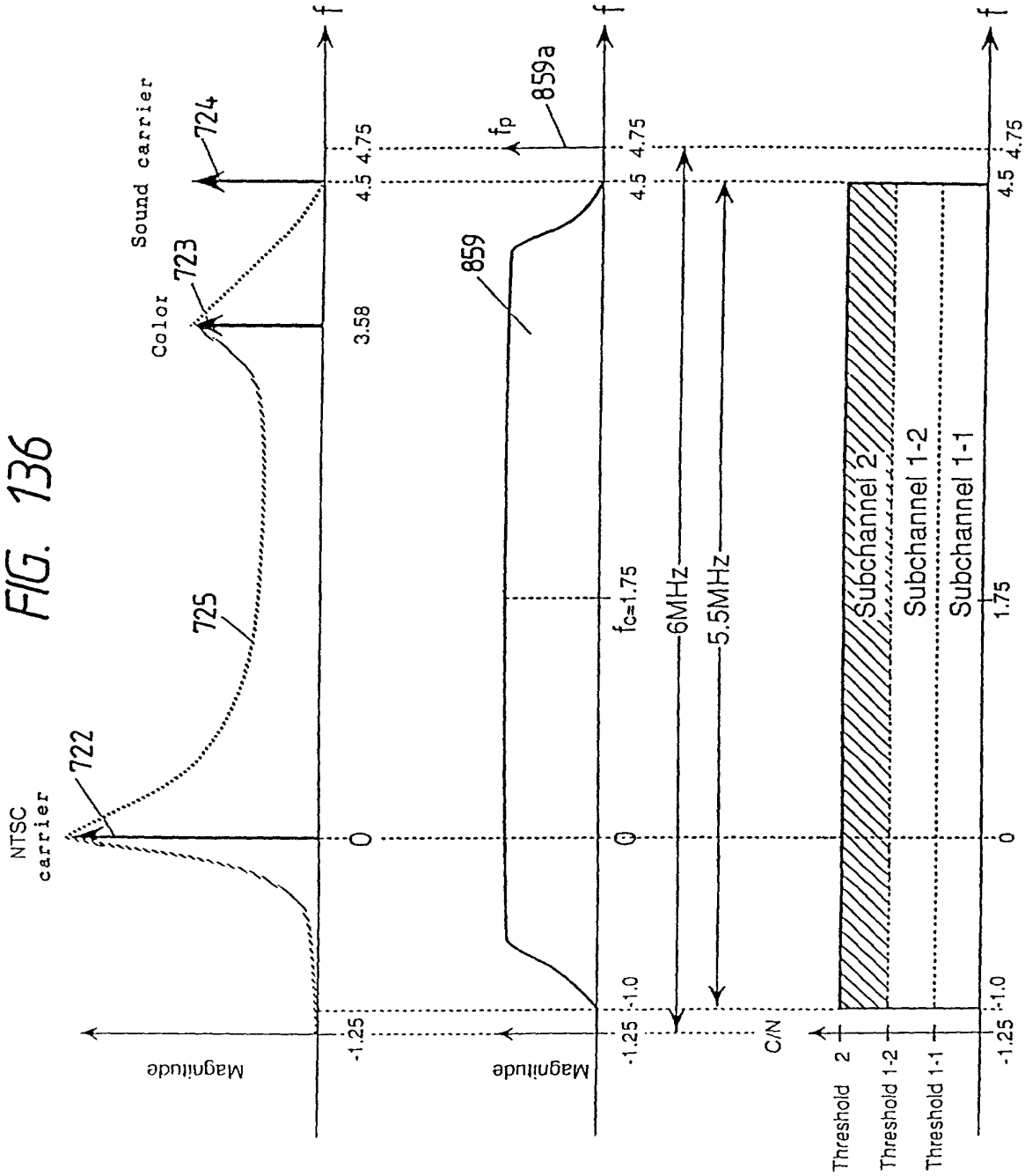


FIG. 136



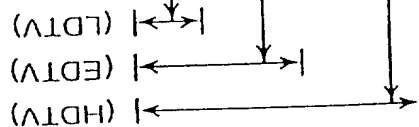


FIG. 138

